

თენგიზ მალრაძე

ელექტროენერგეტიკული სისტემების ფუნქციონირების
ოპტიმალური რეჟიმების მათემატიკური მოდელირება და
ენერგოობიექტებზე რემონტების ოპტიმალური დაგეგმვა

წარდგენილია დოქტორის აკადემიური ხარისხის
მოსაპოვებლად

საქართველოს ტექნიკური უნივერსიტეტი
თბილისი, 0175, საქართველო
ივლისი, 2013

საქართველოს ტექნიკური უნივერსიტეტი

ენერგეტიკისა და ტელეკომუნიკაციის ფაკულტეტი

ჩვენ, ქვემოთ ხელისმომწერნი ვადასტურებთ, რომ გავეცანით თენგიზ
მაღრაძის მიერ შესრულებულ სადისერტაციო ნაშრომს დასახელებით:
„ელექტროენერგეტიკული სისტემების ფუნქციონირების ოპტიმალური
რეჟიმების მათემატიკური მოდელირება და ენერგობიექტებზე
რემონტების ოპტიმალური დაგეგმვა“ და ვაძლევთ რეკომენდაციას
საქართველოს ტექნიკური უნივერსიტეტის ენერგეტიკისა და
ტელეკომუნიკაციის ფაკულტეტის სადისერტაციო საბჭოში მის განხილვას
დოქტორის აკადემიური ხარისხის მოსაპოვებლად.

ხელმძღვანელი: სრ. პროფესორი დავით ჯაფარიძე

რეცენზენტი: სრ. პროფესორი დემი ლაოშვილი

რეცენზენტი: სრ. პროფესორი თამაზ ობგაძე

საქართველოს ტექნიკური უნივერსიტეტი

2013

ავტორი:	თენგიზ მაღრაძე	
დასახელება:	„ელექტროენერგეტიკული	სისტემების
ფუნქციონირების ოპტიმალური რეჟიმების მათემატიკური მოდელირება და ენერგოობიექტებზე რემონტების ოპტიმალური დაგეგმვა“		
ფაკულტეტი :	ენერგეტიკისა და ტელეკომუნიკაციის	
აკადემიური ხარისხი:	დოქტორი	
სხდომა ჩატარდა:	2013 წლის 26 ივლისს	

ინდივიდუალური პიროვნებების ან ინსტიტუტების მიერ ზემომყვანილი დასახელების დისერტაციის გაცნობის მიზნით მოთხოვნის შემთხვევაში მისი არაკომერციული მიზნებით კოპირებისა და გავრცელების უფლება მინიჭებული აქვს საქართველოს ტექნიკურ უნივერსიტეტს.

ავტორის ხელმოწერა

ავტორი ინარჩუნებს დანარჩენ საგამომცემლო უფლებებს და არც მთლიანი ნაშრომის და არც მისი ცალკეული კომპონენტების გადაბეჭდვა ან სხვა რაიმე მეთოდით რეპროდუქცია დაუშვებელია ავტორის წერილობითი ნებართვის გარეშე.

ავტორი ირწმუნება, რომ ნაშრომში გამოყენებული საავტორო უფლებებით დაცული მასალებზე მიღებულია შესაბამისი ნებართვა (გარდა იმ მცირე ზომის ციტატებისა, რომლებიც მოითხოვენ მხოლოდ სპეციფიურ მიმართებას ლიტერატურის ციტირებაში, როგორც ეს მიღებულია სამეცნიერო ნაშრომების შესრულებისას) და ყველა მათგანზე იღებს პასუხისმგებლობას.

რეზიუმე

სადისერტაციო ნაშრომში: “ელექტროენერგეტიკული სისტემების ფუნქციონირების ოპტიმალური რეჟიმების მათემატიკური მოდელირება და ენერგობიუქტებზე რემონტების ოპტიმალური დაგეგვა” დასმული პრობლემის თანამედროვე მოთხოვნების დონეზე დამუშავების მიზნით შესწავლითი ელექტროენერგიის მოკლევადიანი მოხმარების პროგნოზირების, აქტიური სიმძლავრის ოპერატიული რეზერვის ოპტიმალური დაგეგმვის, პრევენციული რემონტების ოპტიმალური დაგეგმვის და მთლიანობაში ელექტროენერგეტიკული სისტემის მუშაობის რეჟიმების ოპტიმიზაციის და დაგეგმვის მსოფლიო გამოცდილება. მის საფუძველზე დასმულია ბიზნეს-ინჟინერინგის პრინციპებით, ელექტროენერგეტიკული სისტემის მუშაობის პროცესების მართვის ოპტიმიზაციის თანამედროვე მათემატიკური მეთოდების გამოყენებით სისტემის ფუნქციონირების რეჟიმების ოპტიმალური დაგეგმვის მეთოდიკის და ალგორითმის შემუშავების ამოცანა.

სადისერტაციო ნაშრომი შედგება შესავლის, ნახაზებისა და ცხრილების ნუსხის, ოთხი ძირითადი თავის (შესაბამისი ქვეთავებით), დასკვნებისა და გამოყენებული ლიტერატურისაგან.

დასახული ამოცანის შესაბამისად კვლევის საწყის ეტაპზე ნეირონული ქსელების გამოყენებით შემუშავებულია ელექტროენერგიის მოხმარების მოკლევადიანი (საათი, დღე-დამე) პროგნოზირების მრავალფაქტორიანი ეკონომიკურ-მათემატიკური მოდელი და შესაბამისი ალგორითმი. მიღებული შედეგების აპრობაციის მიზნით, შეთავაზებული მეთოდიკით ელექტროენერგეტიკული სისტემის მაგალითზე ჩატარებულია ელექტროენერგიის მოხმარების მოკლევადიანი პროგნოზირება.

მეორე ეტაპზე გადაწყვეტილია ელექტროენერგეტიკულ სისტემაში აქტიური სიმძლავრის ოპერატიული რეზერვის ოპტიმალური სიდიდის დაგეგმვის და მაგენერირებელ ობიექტებზე მისი განაწილების პრობლემა. ამ მიმართულებით შეირჩა ოპტიმალურობის მრავალფაქტორიანი კრიტერიუმი. ვინაიდან ოპერატიული რეზერვირება ატარებს განუსაზღვრელობის ხასიათს, დასმული ამოცანა გადაწყდა არამაფიო ლოგოკის მეთოდის გამოყენებით. ექსპერიმენტულად დადგენილი ბლოკ-სქემის საფუძველზე განხორციელდა მრავალვარიანტული სიმულაცია და მიღებული კრიტერიუმის შესაბამისად განისაზღვრა აქტიური სიმძლავრის ოპერატიული რეზერვის ოპტიმალური სიდიდეები. აღნიშნული გზით შესაძლებელი გახდება ელექტროენერგეტიკულ სისტემაში მაღლი სიზუსტით დაიგეგმოს (ყოველსაათობრივი ან დღე-დამური) აქტიური სიმძლავრის ოპერატიული რეზერვის ოპტიმალური პარამეტრები. შემუშავებული მოდელს აქვს უნივერსალური ხასიათი. მისი მეშვეობით შესაძლებელია ნებისმიერი კონფიგურაციის ელექტროენერგეტიკულ სისტემაში მაგენერირებელ ობიექტებზე აქტიური სიმძლავრის ოპერატიული რეზერვის ოპტიმალური განაწილება. შეთავაზებული მეთოდიკით მიღებული შედეგების პრაქტიკული აპრობაცია განხორციელებულია ელექტროენერგეტიკული სისტემის მაგალითზე.

მესამე ეტაპზე, გამომდინარე იქიდან, რომ ელექტროენერგეტიკული სისტემის მუშაობის რეჟიმებში ერთ-ერთი

მნიშვნელოვანი ფაქტორი პრევენციული (გეგმიურ-გამაფრთხილებელი) რემონტების ოპტიმალური დაგეგმვაა, გადაწყვეტილია სისტემაში პრევენციული რემონტების ოპტიმალური დაგეგმვის ამოცანა. საკითხისადმი კომპლექსური მიღებომით ოპტიმიზაციის მრავალფაქტორიანი კრიტერიუმის საფუძველზე წრფივი პროგრამირების მეთოდის გამოყენებით შესრულდა მათემატიკური მოდელირება, შეიქმნა შესაბამისი ალგორითმი და ამ მოდელის მიხედვით დადგინდა წლიურ ჭრილში სხვადასხვა პერიოდებად (კვირეების მიხედვით) დაყოფით პრევენციული რემონტების ჩატარების გრაფიკები. შეთავაზებული მეთოდიკით მიღებული შედეგების აპრობაცია განხორციელებულია ელექტროენერგეტიკული სისტემის მაგალითზე.

მეოთხე ეტაპზე მსოფლიო გამოცდილების მეცნიერული ანალიზის საფუძველზე ჩამოყალიბდა ელექტროენერგეტიკული სისტემის მუშაობის რეჟიმების ოპტიმიზაციის კრიტერიუმი. ამ კრიტერიუმში ოპტიმალურობის ფაქტორებად მიღებული იქნა:

- მარეგულირებელი ჰიდროელექტროსადგურების ელექტროენერგიის გამომუშავების მაქსიმუმი, დატვირთვის გრაფიკში მათი მონაწილეობის მაქსიმუმი. ელექტროსადგურებში იძულებით გაშვებული წყლის მოცულობის და წყლის ხარჯის მინიმუმი.

- სეზონური ჰიდროელექტროსადგურების მიერ ელექტროენერგიის გამომუშავების მაქსიმუმი და იძულებით გაშვებული წყლის მოცულობის მინიმუმი.

- თბოელექტროსადგურებში სათბობის ხარჯის მინიმუმი.
- თბოელექტროსადგურების გამონაბოლქვა CO_2 ემისიის მინიმუმი.

- იმპორტის მინიმუმი.
- წარმოებული ელექტროენერგიის საშუალო შეწონილი ტარიფის მინიმუმი.

- ელექტროენერგეტიკული სისტემების მუშაობის მაღალი საიმედობის და შესაბამისად ელექტროენერგიის წარმოების შეფერხების რისკის მინიმუმი.

არაწრფივი პროგრამირების მეთოდით წინა ეტაპზე დამუშავებული ელექტროენერგიის მოხმარების მოკლევადიანი საპროგნოზო პარამეტრების, ოპერატორული რეზერვის ოპტიმალური საგეგმო მაჩვენებლების, პრევენციული რემონტების გრაფიკის მონაცემების, სასადგურე და სისტემაში არსეული სხვა შეზღუდვების გათვალისწინებით შემუშავებული იქნა ელექტროენერგეტიკული სისტემის მუშაობის რეჟიმების ოპტიმიზაციის მრავალფაქტორიანი მათემატიკური მოდელი და მისი შესაბამისი ალგორითმი. შეთავაზებული მეთოდიკით მიღებული შედეგების აპრობაცია განხორციელებულია ელექტროენერგეტიკული სისტემის მაგალითზე.

კვლევის შედეგები წარმატებით შეიძლება იქნეს გამოყენებული წარმოების იმ მომიჯნავე სფეროებში, სადაც საქმე გვაქვს ბიზნეს-ინჟინერინგის პროცესებით სისტემების მართვასთან. კვლევის შედეგების პრაქტიკაში დანერგვას დიდი ეფექტის მოტანა შეუძლია სოციალურ-პოლიტიკურ სფეროში და ტექნიკური პროგრესის დაჩქარებაში. აღნიშნული განპირობებულია იმით, რომ ელექტროენერგეტიკული სისტემის მუშაობის რეჟიმების ოპტიმალური მართვა უზრუნველყოფს ორგანიზაციის საქმიანობის ტექნიკურ-

ეკონომიკური მაჩვენებლების გაუმჯობესებას. შესაბამისად, ელექტროენერგიის ტარიფების დადგენის ობიექტურობას და მოითხოვს წარმოებაში ახალი პროგრესული ტექნოლოგიის დანერგვას.

Abstract

In phd dissertation “Mathematical modeling of optimal modes of power systems operation and optimal planning of preventive maintenance in power facilities” in oder to solve the problem on the modern level it's studied world experience of short-term demand forecasting of electricity, optimal planning of operative reserve of active power, optimal planning of preventive maintenances and in overall optimization planning of power system operation modes. Based on that it is set task of developing of power system's operational modes optimal planning methodology and algorithm on the basis of business-engineering principles by using of modern mathematical methods of optimization of power system's operational processes.

Dissertation works consists of an introduction, drawings and tables lists, four main chapter (with sections), conclusions and the used literature.

According to set task in the early stage by using of neural networks method it's developed multifactor economical-mathematical model and corresponding algorithm of short-term electricity demand forecasting. The results of the testing of the proposed method are carried out on the example of four system.

On the second stage it's solved problem of planning of operative reserve of active power I power system and its optimal allocation on power-generating facilities. Through this direction was chosen multifactor criterion of optimality. Because of uncertainty, problem is solved by using of fuzzy logic method. Bsed on experimentally determined block-scheme multivariant simulation is done and according to criterion optimal values of operative reserve of active power are determined. By this way it will be possible to plan (hourly or daily) with high precision optimum operational parameters of operative reserve of active power. Developed model has universal character. It makes possible in any configuration of the power system to optimally allocate operative reserve of active power on power-generating facilities. The proposed method is implemented by the approbation of the practical example of power system.

On the third stage due to the fact that in power system's operation modes one of the most important factor is optimal planning of preventive (planned-warning) maintenance, problem of optimal preventive maintenance planning is solved. By a complex approach to the problem, based on multifactor criterion of optimization, by using of linear programming method is performed mathematical modeling, Appropriate algorithm is developed and based on this model in the context of a different annual periods (weeks) preventive maintenance schedules are determined. Testing is carried out from the results obtained from the proposed method on the example of the power system.

On the fourth stage based on scientific analisys of world experience optimization criteria of the modes of operation of power system are formed. These optimality criteria factors are:

- The regulatory (reservoir) hydro power plants electricity generation – maximum, maximum participation in electricity demand schedules, Not used water flow (spillage) and used for generation water flow – minimum;
- Seasonal hydro power plants electricity generation – maximum, Not used water flow (spillage) – minimum;
- Minimum fuel cost in thermal power plants;
- Minimum CO₂ emissions in thermal power plants;
- Minimum average weighted tariff of produced electricity;
- High reliability of operation of power system and minimum electricity production interruption risk.

Based on non-linear programming method with taking into account the prediction parameters of short-term electricity demand, optimal planning indicators of operative reserve of active power, schedule data of preventive maintenance, station and other system constraints solved in previous stages multifactor mathematical model and its corresponding algorithm of optimization of operational modes of power system has been developed. Testing is carried out from the results obtained from proposed method on the example of the power system.

The research results can be used successfully in production areas, where we are dealing with a business-engineering principles of system's managements. Practical implementation of the research results can bring great effect on the socio-political field and can accelerate technical progress. This is due to the fact that optimal management of operational modes of power system ensures improvement of technical-economical indicators of organizations, accordingly, objectivity of electricity tariff setting and requires of setting new progressive technologies in production.

შინაარსი

შესავალი	16
1. ლიტერატურის მიმოხილვა.....	26
2. შედეგები და მათი განსჯა.....	41
თავი I. ელექტროენერგიის მოხმარების მოკლევადიანი პროგნოზირება -----	41
1.1 ამოცანის დასმა და პრობლემის გადაწყვეტის მეთოდოლოგია-----	41
1.2 ექსპერიმენტული ნაწილი-----	47
I თავის დასკვნა-----	52
თავი II. ელექტროენერგეტიკულ სისტემაში განუსაზღრელობის პირობებში აქტიური სიმძლავრის ოპერატიული რეზერვის ოპტიმალური დაგეგმვა-----	54
2.1 ამოცანის დასმა და პრობლემის გადაწყვეტის მეთოდოლოგია-----	54
2.2 ექსპერიმენტული ნაწილი-----	69
II თავის დასკვნა-----	78
თავი III. ელექტროენერგეტიკულ სისტემაში პრევენციული რემონტების ოპტიმალური დაგეგმვა-----	80
3.1 ამოცანის დასმა და პრობლემის გადაწყვეტის მეთოდოლოგია-----	80
3.2 ექსპერიმენტული ნაწილი-----	89
III თავის დასკვნა-----	92
თავი IV. ელექტროენერგეტიკული სისტემის მუშაობის რეჟიმების ოპტიმალური დაგეგმვა-----	93
4.1 ამოცანის დასმა და პრობლემის გადაწყვეტის მეთოდოლოგია-----	93
4.2 ექსპერიმენტული ნაწილი-----	122
IV თავის დასკვნა-----	136
3. დასკვნა-----	137
გამოყენებული ლიტერატურა-----	141
დანართები-----	148

ცხრილების ნუსხა

ცხრილი №1 სხვადასხვა ქვეყნების ელექტროენერგეტიკული სისტემის ოპერატიული რეზერვის მოთხოვნები -----	36
ცხრილი №2 ელექტროენერგიის მოკლევადიან მოხმარებაზე მოქმედი ფაქტორები -----	43
ცხრილი №3 ელექტროენერგეტიკული სისტემის დატვირთვის კვანძის ელექტროენერგიის მოხმარების მოკლევადიანი პროგნოზირების ალგორითმი -----	46
ცხრილი №4 ელექტროენერგიის მოკლევადიან მოხმარებაზე მოქმედი ფაქტორების მნიშვნელობები -----	47
ცხრილი №5 კორელაციური ანალიზის შედეგები -----	48
ცხრილი №6 ფაქტიური პერიოდის საპროგნოზო მაჩვენებლები და პროცენტული გადახრა -----	51
ცხრილი №7 საპროგნოზო პერიოდის (სამი დღის) პროგნოზი და პროცენტული გადახრა სხვადასხვა მეთოდთან შედარებით -----	51
ცხრილი №8 აქტიური სიმძლავრის მოცდენის შეფასების ზოგადი ალბათურ-ვარიანტული ალგორითმი -----	55
ცხრილი №9 პირველი დონისათვის X_1 და X_2 ფაქტორების გავლენა Y_1, Y_2, \dots, Y_i სიდიდეებზე -----	57
ცხრილი №10 მეორე დონისათვის Y_1, Y_2, \dots, Y_i საიმედოობის მახასიათებლების გავლენა Y_s სიდიდეზე -----	57
ცხრილი №11 ელექტროენერგეტიკული სისტემის ოპერატიული რეზერვის ყოველსათობრივი სიდიდის განმსაზღვრელი ალგორითმი- რეზერვის კოდერივის მიზანი-----	60
ცხრილი №12 მაკორექტირებელი ალგორითმი -----	62
ცხრილი №13 i საათის მომუშავე ელექტროენერგეტიკულ სისტემაში პარალელურად პიდროელექტროსადგურების გენერატორების წარმოების და დატვირთვის ნომინალური მნიშვნელობებიდან შესაძლო პროცენტული გადახრები -----	65
ცხრილი №14 i საათის ელექტროენერგეტიკულ სისტემაში პარალელურად მომუშავე პიდროელექტროსადგურების გენერატორების წარმოების და დატვირთვის ნომინალური მნიშვნელობებიდან შესაძლო გადახრების სხვადასხვა სცენარები -----	66

ცხრილი №15 i საათის ელექტროენერგეტიკული სისტემის აქტიური სიმძლავრის შესაძლო დაუბალანსებლობების სცენარები -----	66
ცხრილი №16 ელექტროენერგეტიკული სისტემის აქტიური სიმძლავრის ოპერატიული რეზერვის მინიმალური სიდიდის განმსაზღვრელი ალგორითმი (განუსაზღვრელობის გათვალისწინებით) -----	68
ცხრილი №17. ელექტროენერგეტიკული სისტემის ელექტროგადაცემის ხაზების გამტარუნარიანობა -----	70
ცხრილი №18 ელექტროენერგეტიკული სისტემის ყოველსაათობრივად საჭირო საიმედოობის (მისადები რისკის) დონე -----	71
ცხრილი №19 ელექტროენერგეტიკულ სისტემაში ყოველსაათობრივი ოპერატიული რეზერვის ოპტიმალური სიდიდე -----	71
ცხრილი №20 29-ე გენერატორის გამორთვის სიმულაციის შედეგები -	73
ცხრილი №21. 1 სთ-ის სიმულაციის შედეგები -----	77
ცხრილი №22. ელექტროენერგეტიკული სისტემის აქტიური სიმძლავრის ოპერატიული რეზერვის სიდიდე (მინიმალური, განუსაზღვრელობის გათვალისწინებით) -----	77
ცხრილი №23 $X_1,..,X_{12}$ ფაქტორების და Y_d რეიტინგის შეფასებათა სისტემა -----	81
ცხრილი №24 $X_1,..,X_{12}$ მახასიათებლების გავლენის მატრიცა Y_d რეიტინგზე -----	82
ცხრილი №25. ელექტროენერგეტიკული სისტემის ენერგობიექტზე არსებული ელ.დანადგარების/მოწყობილობების მიმდინარე ტექნიკურ-ეკონომიკური მდგომარეობის შეფასების ალგორითმი -----	86
ცხრილი №26 ელექტროენერგეტიკული სისტემაში პრევენციულ რემონტში გასაყვანი გენერატორების ოპტიმალური წლიური (კვირეების მიხედვით) გრაფიკის ფორმირების ალგორითმი -----	88
ცხრილი №27 ელ.დანადგარების ტექნიკურ-ეკონომიკური მაჩვენებლები (რეიტინგი) -----	89
ცხრილი №28 პრევენციული რემონტისთვის შერჩეული ელექტროდანადგარები -----	90
ცხრილი №29. გენერატორების რემონტების ოპტიმალური გრაფიკი კვირების მიხედვით -----	91

ცხრილი №30 ლექტონენერგეტიკულ სისტემაში ყოველსაათობრივი (დღე-დამური) მუშაობის ოპტიმალური რეჟიმის ანგარიშისა და დაგეგმვის ალგორითმი -----	121
ცხრილი №31 ელექტროენერგეტიკული სისტემის ელექტროგადაცემის ხაზების ტექნიკური პარამეტრები -----	123
ცხრილი №32 მარეგულირებელი პიდროელექტროსადგურის ტექნიკური მონაცემები -----	123
ცხრილი №33 სეზონური პიდროელექტროსადგური №1-ის ტექნიკური მონაცემები -----	124
ცხრილი №34 სეზონური პიდროელექტროსადგური №2-ის ტექნიკური მონაცემები -----	124
ცხრილი №35 თბოელექტროსადგური №1-ის ტექნიკური მონაცემები- 124	
ცხრილი №36 თბოელექტროსადგური №2-ის ტექნიკური მონაცემები --124	
ცხრილი №37. ელექტროენერგეტიკული სისტემის პიდროელექტროსადგურებზე წყლის ჩამონადენის დღე-დამური პროგნოზი -----	125
ცხრილი №38. ელექტროენერგეტიკულ სისტემაში არსებული გენერატორების საექსპლუატაციო მდგომარეობები -----	125
ცხრილი №39. ელექტროსადგურებს შორის აქტიური სიმძლავრის საწყისი ოპტიმალური განაწილება -----	126
ცხრილი №40. ელექტროენერგეტიკული სისტემისთვის ყოველსაათობრივად საჭირო ოპერატორიული რეზერვის სიდიდე -----	127
ცხრილი №41. ელექტროსადგურებს შორის აქტიური სიმძლავრის ოპტიმალური განაწილება ოპერატორიული რეზერვის გათვალისწინებით -----	128
ცხრილი №42. პარალელურად მომუშავე გენერატორის რეაქტიული სიმძლავრის წარმოების ზედა და ქვედ ზღვრები -----	130
ცხრილი №43. პარალელურად მომუშავე გენერატორების აქტიური სიმძლავრის ფარდობითი დანაკარგების ნაზრდი მაბალანსებული კვანძის მიმართ -----	131
ცხრილი №44. ელექტროენერგეტიკულ სისტემაში გადანაწილებული აქტიური სიმძლავრის დანაკარგების მნიშვნელობები -----	132
ცხრილი №45. ელექტროსადგურებს შორის აქტიური სიმძლავრის ოპტიმალური განაწილება აქტიური სიმძლავრის ოპერატორიული რეზერვის და დანაკარგების გათვალისწინებით -----	133
ცხრილი №46. შედარებითი ანალიზის შედეგები -----	135

ნახაზების ნუსხა

ნახაზი №1 შეცდომების გასწორების ალგორითმი	45
ნახაზი №2 ქ. თბილისის ელექტროენერგიის მოხმარების მოკლევადიანი (დღიური) პროგნოზირების მოდელი	49
ნახაზი №3 ქ. თბილისის ელექტროენერგიის მოხმარების 2011 წლის მარტის თვის ყოველდღიური ფაქტიური და საპროგნოზო მაჩვენებლები (ხელოვნური ნეირონული ქსელის მოდელით მიღებული)	56
ნახაზი №4 სამკუთხედის წევრის ზოგადი ფუნქცია	57
ნახაზი №5 ჩამოყალიბებული წესების ზოგადი სტრუქტურა	58
ნახაზი №6 არამკაფიო მოდელირების ინტერაქტიული ზოგადი ბლოკ-სქემა	59
ნახაზი №7 ელექტროენერგეტიკული სისტემის ცალხაზოვანი სქემა	69
ნახაზი №8 ყოველსაათობრივი საიმედოობის დონის შეფასების არამკაფიო ლოგიკის ორდონიანი მოდელი	70
ნახაზი №9 ელექტროენერგეტიკულ სისტემაში პარალელურად მომუშავე გენერატორებზე განაწილებული ოპერატიული რეზიუმების სიდიდე	72
ნახაზი №10 ელექტროენერგეტიკულ სისტემაში პარალელურად მომუშავე გენერატორების მიერ ელექტროენერგიის წარმოება	73
ნახაზი №11 ელექტროენერგეტიკულ სისტემაში პარალურად მომუშავე გენერატორების ელექტროენერგიის ყოველსაათობრივი წარმოება 29-ე გენერატორის გამორთვის შემთხვევაში	74
ნახაზი №12 ელექტროენერგეტიკულ სისტემაში ელექტროენერგეტიკულ სისტემაში სიმძლავრეთა განაწილება ნორმალურ რეჟიმში	75
ნახაზი №13. ელექტროენერგეტიკულ სისტემაში სიმძლავრეთა განაწილება ავარიულ რეჟიმში 29-ე გენერატორის გამორთვის დროს-	75
ნახაზი №14 ელექტროენერგეტიკულ სისტემაში სიმძლავრეთა განაწილების კორექტირებული სიდიდეები ნორმალურ რეჟიმში	76
ნახაზი №15 ელექტროენერგეტიკულ სისტემაში სიმძლავრეთა განაწილების კორექტირებული სიდიდეები ავარიულ რეჟიმში 29-ე გენერატორის გამორთვის შემთხვევაში	76
ნახაზი №16 სამკუთხედის წევრის ზოგადი ფუნქცია	83

ნახაზი №17	ჩამოყალიბებული წესების ზოგადი სტრუქტურა	-----	83
ნახაზი №18	ელექტროდანადგარის კომპლექსური ტექნიკურ-ეკონომიკური მდგრმარეობის შეფასების ზოგადი მოდელი	-----	84
ნახაზი №19	ქვესადგურის ერთ-ერთი მინაერთის უჯრედის ცალხაზოვანი სქემა	-----	89
ნახაზი №20	ჰიდროელექტროსადგურების საშუალო წყალმომარაგება (მკვებავი მდინარეების წყლის ჩამონადენი) კვირეების მიხედვით, მ ³ /წ	-----	91
ნახაზი №21	სათბობის სახარჯო მახასიათებელი სარქველის ეფექტის გათვალისწინებით და გათვალისწინების გარეშე (5 სარქველის შემთხვევაში)	-----	96
ნახაზი №22	ელექტროენერგეტიკული სისტემის ცალხაზოვანი სქემა-	122	

დანართების ნუსხა

დანართი №1. ელექტროენერგეტიკული სისტემის გენერატორების ტექნიკური მონაცემები	148
დანართი №2. ელექტროენერგეტიკული სისტემის დატვირთვის პარამეტრების საათობრივი ტექნიკური მონაცემები	149
დანართი №3. ელექტროენერგეტიკული სისტემის აქტიური სიმძლავრის მოცდენის ალბათობრივ-ვარიანტული ცხრილი	149
დანართი №4. ნახ №4-ზე მოცემული ცალხაზოვანი სქემის ელემენტების მონაცემებია	150
დანართი №5. ელექტროენერგეტიკული სისტემის გენერატორების ტექნიკური მონაცემები	151
დანართი №6. ელექტროენერგეტიკული სისტემის პიკური დატვირთვის მაჩვენებლები კვირეების მიხედვით, მგვტ	152
დანართი №7. დატვირთვის კვანძების აქტიური და რეაქტიული სიმძლავრების მოხმარების პროგნოზი	153
დანართი №8. ელექტროსადგურების გენერატორების სათბობის სახარჯო და CO ₂ ემისიის მახასიათებლები	155
დანართი №9. ელექტროენერგეტიკული სისტემის მუშაობის ოპტიმალური რეჟიმი (1 საათი)	157
დანართი №10. ელექტროენერგეტიკული სისტემის მუშაობის ოპტიმალური რეჟიმი (2 საათი)	157
დანართი №11. ელექტროენერგეტიკული სისტემის მუშაობის ოპტიმალური რეჟიმი (3 საათი)	158
დანართი №12. ელექტროენერგეტიკული სისტემის მუშაობის ოპტიმალური რეჟიმი (4 საათი)	158
დანართი №13. ელექტროენერგეტიკული სისტემის მუშაობის ოპტიმალური რეჟიმი (5 საათი)	159
დანართი №14. ელექტროენერგეტიკული სისტემის მუშაობის ოპტიმალური რეჟიმი (6 საათი)	159
დანართი №15. ელექტროენერგეტიკული სისტემის მუშაობის ოპტიმალური რეჟიმი (7 საათი)	160

შესავალი

სამუშაოს აქტუალობა, მიზანი და კვლევის სიახლე.

ელექტროენერგეტიკული სისტემების მართვაში მუშაობის რეჟიმების დაგეგმვა დროის ოპერატორულ ინტერგალებში (კვირიდან დღე-დამურამდე) წარმოადგენს ელექტროენერგიის და სიმძლავრის ბალანსების ფორმირების და მათი შემდგომი აღსრულების ჯაჭვში მნიშვნელოვან და განუყოფელ რგოლს. დაგეგმვის ხარისხზე არის დამოკიდებული ელექტროენერგეტიკული სისტემების მუშაობის ტექნიკურ-ეკონომიკური მაჩვენებლები, მათ შორის მომხმარებლების ელექტროენერგიის მომარაგების საიმედოობა, ელექტროენერგეტიკული სისტემის მუშაობის და მთლიანად ელექტროენერგიის ბაზრის ფუნქციონირებაში მაქსიმალური ეკონომიკური ეფექტიანობის მიღწევა.

უკანასკნელ პერიოდში მსოფლიოს თითქმის ყველა ქვეყანაში ელექტროენერგეტიკული დარგი დაეჭვემდებარა არსებით გარდაქმნებს. შეიცვალა საკუთრების ფორმები, განხორციელდა მართვის ადმინისტრაციულ-მბრძანებლური მეთოდებიდან ეკონომიკური სტიმულირების მეთოდებზე გადასვლა. ჩამოყალიბდა ელექტროენერგიის შეფასების ახალი კონკურენტული მოდელები, ყოველივე აღნიშნული არ შეიძლება არ შეხებოდა ენერგეტიკული სისტემის მუშაობის რეჟიმების ყოველ-კვირეულ ან დღე-დამურ დაგეგმვის ტექნოლოგიას. ელექტროენერგეტიკულ სისტემებში შემავალი მაგენერირებელი მოწყობილობების მუშაობის ტექნიკურ-ეკონომიკურ მაჩვენებლების გაუმჯობესებასთან ერთად ხდება სახელშეკრულებო ვალდებულებების და ელექტროენერგიის ბაზრის თითოეული მონაწილის ეკონომიკური ინტერესების გათვალისწინება, რაც განაპირობებს ელექტროენერგეტიკული სისტემების მუშაობის (დღე-დამურ-საათობრივი) დაგეგმვის ტექნოლოგიის სერიოზულ ცვლილებებს, რაც თავისთავად იწვევს მიზნის ფუნქციის აუცილებელ გადახედვას, მუშაობის რეჟიმების დაგეგმვაში ახალი მეთოდების დანერგვის და მათი გადაწყვეტისადმი ახალი მიდგომების აუცილებლობას. დღევანედელ პირობებში წინა პლანზე იწევს ელექტროენერგეტიკული

სისტემის მუშაობის რეჟიმებზე მოქმედი ყველა შესაძლო ფაქტორის გათვალისწინებით ელექტროენერგეტიკული სისტემების მუშაობის რეჟიმების დაგეგმვის და ოპტიმიზაციის ახალი კრიტერიუმების დადგენა.

ელექტროენერგეტიკული სისტემების მუშაობის რეჟიმების დაგეგმვის მიმართულებით ჩატარებული კვლევების ანალიზმა გვიჩვენა, რომ ელექტროენერგეტიკული დარგის უწყვეტი და ეკონომიკურად ეფექტიანი მუშაობის უზრუნველსაყოფად ელექტროენერგეტიკული მუშაობის რეჟიმების დაგეგმვის და ახალი ელექტროენერგიის ბაზრების ფუნქციონირების პირობებში ოპტიმიზაციის ამოცანების გადაწყვეტის სამეცნიერო-ტექნიკური პრობლემები არასაკმარისი მოცულობით არის დამუშავებული. რეჟიმების ოპტიმიზაციის კრიტერიუმები არ ატარებენ კომპლექსურ ხასიათს, არ ითვალისწინებენ რეჟიმებზე მოქმედ ფაქტორთა ფართო წრეს და რეჟიმული პროცესების მიმდინარეობის განუსაზღვრელობის პრობლემას. აღნიშნულიდან გამომდინარე, განსაკუთრებულ აქტუალობას იძენს თანამედროვე მათემათიკური მეთოდების, ნეირონული ქსელების, არამკაფიო ლოგიკის და არაწრფივი პროგრამირების გამოყენებით განუსაზღვრელობის პირობებში ელექტროენერგეტიკული სისტემების მუშაობის რეჟიმების ოპტიმიზაციის პრობლემის გადაწყვეტა მრავალფაქტორიანი კრიტერიუმის საფუძველზე.

მოცემული სამუშაოს შესრულების აქტუალობა მნიშვნელოვანწილად იმითაც არის განპირობებული, რომ პრობლემის შეთავაზებული სახით გადაჭრა, საშუალებას აძლევს ელექტროენერგეტიკული სისტემის სადისპერსიურო და ეკონომიკური მართვის სტრუქტურებს მაღალი სამედოობით და ეფექტურად წარმართონ თავიანთი პროფესიული საქმიანობა.

წარმოდგენილი სამუშაოს შესასრულებლად გამოყენებულია სამეცნიერო კვლევის თანამედროვე მეთოდები თვისობრივად ახლებურადაა გადაწყვეტილი ყველა დასმული ამოცანა. კვლევის ერთ-ერთი მნიშვნელოვან სიახლეს წარმოადგენს ის ფაქტი, რომ ელექტროენერგეტიკული სისტემის რეჟიმების დაგეგმვა გათვალისწინებულია ბიზნესის-ინჟინერინგის პრინციპების საფუძველზე,

მართვის პროცესების ოპტიმიზაციის გზით. საკითხისადმი ასეთი მიღებობით გადაწყვეტილია ელექტროენერგიის მოხმარების მოკლევადიანი (დღე-დამე, საათი) პროგნოზირების ამოცანა მაღლი სიზუსტის უზრუნველსაყოფად მრავალფაქტორიანი კრიტერიუმის საფუძველზე ნეირონული ქსელების მეშვეობით განხორციელდება ელექტროენერგიის მოხმარების მოკლევადიანი პროგნოზი. შესრულდება ელექტროენერგეტიკული სისტემის აქტიური სიმძლავრის ოპტიმალური ოპერტიული რეზერვის დაგეგმვა. ვინაიდან ოპერატიული რეზერვის სიდიდეების ცვალებადობა ატარებს განუსაზღვრელობის ხასიათს, არამკაფიო ლოგიკის მეთოდის მეშვეობით მრავალფაქტორიანი კრიტერიუმით გადაიჭრება აქტიური სიმძლავრის ოპრატიული რეზერვის ოპტიმალური დაგეგმვის ამოცანა.

ზემოთ ჩამოთვლილი პრობლემების წინსწრებულად გადაწყვეტა განპირობებული იმით, რომ მოცემული სამუშაოს თანამედროვე მოთხოვნების დონეზე შესრულება შეუძლებელია ელექტროენერგიის მოხმარების ზუსტი მოკლევადიანი პროგნოზის, სისტემაში აქტიური სიმძლავრის ოპერატიული რეზერვის და პრევენციული რემონტების ოპტიმალური დაგეგმვის გარეშე.

სადისერტაციო ნაშრომით გათვალისწინებულ კვლევების მთავარი სიახლე მდგომარობს იმაში, რომ განუსაზღვრელობის პირობებში ელექტროენერგეტიკული სისტემის მუშაობის რეჟიმების ოპტიმიზაციის განსახორციელებლად შერჩეულია ოპტიმალურობის, მრავალფაქტორიანი კომპლექსური ხასიათის მატარებელი კრიტერიუმი, რომელშიც აისახება სისტემაში შემავალი:

- მარეგულირებელი ჰიდროელექტროსადგურების ელექტროენერგიის გამომუშავების მაქსიმუმი, დატვირთვის გრაფიკში მათი მონაწილეობის მაქსიმუმი. ელექტროსადგურებში იძულებით გაშვებული წყლის მოცულობის და წყლის ხარჯის მინიმუმი.
- სეზონური ჰიდროელექტროსადგურების მიერ ელექტროენერგიის გამომუშავების მაქსიმუმი, დატვირთვის გრაფიკში მათი მონაწილეობის მაქსიმუმი და იძულებით გაშვებული წყლის მოცულობის მინიმუმი.
- ობოედექტროსადგურებში სათბობის ხარჯის მინიმუმი.

• თბოელექტროსადგურების გამონაბოლქვში CO_2 ემისიის
მინიმუმი.

• წარმოებული ელექტროენერგიის საშუალო შეწონილი
ტარიფის მინიმუმი.

• ელექტროენერგეტიკული სისტემების მუშაობის მაღალი
საიმედოობის და შესაბამისად ელექტროენერგიის წარმოების
შეფერხებების რისკის მინიმუმი.

ყველა ზემოთ ჩამოთვლილი გაჩვენებლის
ელექტროენერგეტიკული სისტემის მუშაობის რეჟიმში განუხელი
დაცვა დიდი სიზუსტით უზრუნველყოფს სისტემის მუშაობის
რეჟიმების ოპტიმალურობას, მთლიანობაში სისტემის მუშაობის
რეჟიმების ოპტიმიზაციის პრობლემა გადაწყვეტილია
ელექტროენერგიის მოხმარების მოკლევადიანი პროგნოზური
პარამეტრების, აქტიური სიმძლავრის ოპერატორი რეზერვის
ოპტიმალური სიდიდეების, ენერგოობიექტებზე პრევენციული
რემონტების ჩატარების ოპტიმალურად დაგეგმილი გრაფიკის დაცვით,
სასადგურე და სისტემაში არსებული სხვა ტექნიკური შეზღუდვებით.

ჩამოთვლილი კრიტერიუმების და შეზღუდვების
გათვალისწინების საფუძველზე ნეირონული ქსელების, არამკაფიო
ლოგიკის და არაწრფივი პროგრამირების პიბრიდული მოდელის
გამოყენებით შემუშავდება განუსაზღვრელობის პირობებში
ელექტროენერგეტიკული სისტემის მუშაობის რეჟიმების ოპტიმალური
დაგეგმვის მრავალვარიანტული ეკონომიკურ-მათემატიკური მოდელი და
შესაბამისი ალგორითმი. მიღებული კვლევის შედეგები აპრობირებულია
ელექტროენერგეტიკულ სისტემაზე.

კვლევის ობიექტი და ამოცანები. კვლევის ობიექტად
შერჩეულია ელექტროენერგეტიკული სისტემა. მეცნიერებლი კვლევის
საფუძველზე მისი მუშაობის რეჟიმების ოპტიმალური დაგეგმვის
პრობლემის გადაწყვეტა.

კვლევის სტრატეგიად მიღებულია ბიზნეს-ინჟინერინგის
პრინციპებით, ელექტროენერგეტიკული სისტემის მუშაობის პროცესების
მართვის ოპტიმიზაციის თანამედროვე მათემატიკური მეთოდების

გამოყენებით სისტემის ფუნქციონირების რეჟიმების ოპტიმალური დაგეგმვის მეთოდიკის და ალგორითმის შემუშავება.

კვლევა განხორციელდება 4 ეტაპად.

პირველ ეტაპზე ნეირონული ქსელების გამოყენებით შემუშავდება ელექტროენერგიის მოხმარების მოკლევადიანი (საათი, დღე-დამე) პროგნოზირების მრავალფაქტორიანი ეპონომიკურ-მათემატიკური მოდელი და შესაბამისი ალგორითმი. მიღებული შედეგების აპრობაციის მიზნით, შეთავაზებული მეთოდიკით ელექტროენერგეტიკული სისტემის დატვირთვის კვანძის მაგალითზე ჩატარდება ელექტროენერგიის მოხმარების მოკლევადიანი პროგნოზირება.

მეორე ეტაპზე გადაწყვდება ელექტროენერგეტიკულ სისტემაში აქტიური სიმძლავრის ოპერატიული რეზერვის ოპტიმალური სიდიდის დაგეგმვის და მაგენერირებელ ობიექტებზე მისი განაწილების პრობლემა. ამ მიმართულებით შეირჩევა ოპტიმალურობის მრავალფაქტორიანი კრიტერიუმი. ვინაიდან ოპერატიული რეზერვირება ატარებს განუსაზღვრელობის ხასიათს, დასმული ამოცანა გადაწყვდება არამკაფიო ლოგოკის მეთოდის გამოყენებით. ექსპერიმენტულად დადგენილი ბლოკ-სქემის საფუძველზე განხორციელდება მრავალვარიანტული სიმულაცია და მიღებული კრიტერიუმის შესაბამისად განისაზღვრება აქტიური სიმძლავრის ოპერატიული რეზერვის ოპტიმალური სიდიდეები. ამ გზით შესაძლებელი გახდება ელექტროენერგეტიკულ სისტემაში მაღლი სიზუსტით დაგენერირებულ საოვალო (ყოველსაათობრივი ან დღე-დამური) აქტიური სიმძლავრის ოპერატიული რეზერვის ოპტიმალური პარამეტრები. შემუშვებული მოდელი იქნება უნივერსალური ხასიათის. მისი მეშვეობით შესაძლებელი იქნება ნებისმიერი კონფიგურაციის ელექტროენერგეტიკულ სისტემაში მაგენერირებელ ობიექტებზე აქტიური სიმძლავრის ოპერატიული რეზერვის ოპტიმალური განაწილება. შეთავაზებული მეთოდიკით მიღებული შედეგების აპრობაცია განხორციელებული იქნება ელექტროენერგეტიკული სისტემის მაგალითზე.

მესამე ეტაპზე, გამომდინარე იქიდან, რომ ელექტროენერგეტიკული სისტემის მუშაობის რეჟიმებში ერთ-ერთი

მნიშვნელოვანი ფაქტორი პრევენციული (გეგმიურ-გამაფრთხილებელი) რემონტების ოპტიმალური დაგეგმვაა, გადაწყვეტილი იქნება სისტემაში პრევენციული რემონტების ოპტიმალური დაგეგმვის ამოცანა. საკითხისადმი კომპლექსური მიღებომით ოპტიმიზაციის მრავალფაქტორიანი კრიტერიუმის საფუძველზე წრფივი პროგრამირების მეთოდის გამოყენებით შესრულდება მათემატიკური მოდელირება, შეიქმნება შესაბამისი ალგორითმი და ამ მოდელის მიხედვით დადგინდება წლიურ ჭრილში სხვადასხვა პერიოდებად (კვირების მიხედვით) დაყოფით პრევენციული რემონტების ჩატარების გრაფიკები. შეთავაზებული მეთოდიკით მიღებული შედეგების აპრობაცია განხორციელებული იქნება ელექტროენერგეტიკული სისტემის მაგალითზე.

მეოთხე ეტაპზე მსოფლიო გამოცდილების მეცნიერებლი ანალიზის საფუძველზე ჩამოყალიბდება ელექტროენერგეტიკული სისტემის მუშაობის რეჟიმების ოპტიმიზაციის კრიტერიუმი. ამ კრიტერიუმში ოპტიმალურობის ფაქტორებად მიღებული იქნება:

- მარეგულირებელი პიდროელექტროსადგურების ელექტროენერგიის გამომუშავების მაქსიმუმი, დატვირთვის გრაფიკში მათი მონაწილეობის მაქსიმუმი. ელექტროსადგურებში იძულებით გაშვებული წყლის მოცულობის და წყლის ხარჯის მინიმუმი.
- სეზონური პიდროელექტროსადგურების მიერ ელექტროენერგიის გამომუშავების მაქსიმუმი და იძულებით გაშვებული წყლის მოცულობის მინიმუმი.
- ობოედექტროსადგურებში სათბობის ხარჯის მინიმუმი.
- ობოედექტროსადგურების გამონაბოლქვაში CO_2 ემისიის მინიმუმი.
- წარმოებული ელექტროენერგიის საშუალო შეწონილი ტარიფის მინიმუმი.
- ელექტროენერგეტიკული სისტემების მუშაობის მაღალი საიმედობის და შესაბამისად ელექტროენერგიის წარმოების შეფერხებების რისკის მინიმუმი.

არაწრფივი პროგრამირების მეთოდით წინა ეტაპზე დამუშავებული ელექტროენერგიის მოხმარების მოკლევადიანი

საპროგნოზო პარამეტრების, ოპერატიული რეზერვის ოპტიმალური საგეგმო მაჩვენებლების, პრევენციული რემონტების გრაფიკის მონაცემების, სასადგურე და სისტემაში არსეული სხვა შეზღუდვების გათვალისწინებით შემუშავებული იქნება ელექტროენერგეტიკული სისტემის მუშაობის რეჟიმების ოპტიმიზაციის მრავალფაქტორიანი მათემატიკური მოდელი და მისი შესაბამისი ალგორითმი. შეთავაზებული მეთოდიკით მიღებული შედეგების აპრობაცია განხორციელებული იქნება ელექტროენერგეტიკული სისტემის მაგალითზე.

კვლევის მეთოდები. დასმული ამოცანების გადასაჭრელად გამოყენებულია პროცესების მოდელირების თანამედროვე ეკონომიკურ-მათემატიკური მეთოდები და გამოთვლითი ტექნიკის საშუალებები. ნაშრომის მიხედვით დაგეგმილი ელექტროენერგიის მოხმარების მოკლევადიანი (საათი, დღე-დამე) პროგნოზირების ამოცანის გადასაჭრელად ნეირონული ქსელების გამოყენება იმით არის განპირობებული, რომ ეს მეთოდი საშუალებას იძლევა გათვალისწინებული იყოს ელექტროენერგიის მოხმარებაზე მოქმედი ყველა შესაძლო როგორც ტექნიკური, ისე ეკოლოგიური და ეკონომიკური ფაქტორები, რაც მთვარია შესაძლებელია მაღალი სიზუსტით განხორციელდეს ელექტროენერგიის მოხმარების მოკლევადიანი პროგნოზირება. ვინაიდან სისტემაში აქტიური სიმძლავრის ოპერატიულ რეზერვზე მოთხოვნა ატარებს განუსაზღვრელობის ხასიათს. ეს პრობლემა გადაჭრილია არამკაფიო ლოგიკის მეთოდით. პრობლემებისადმი ასეთი მიდგომა საშუალებას იძლევა მრავალი შესაძლო ვარიანტიდან შეარჩიოს ოპტიმალური ვარიანტი, რომელიც მაღალი სიზუსტით დაადგენს სისტემაში აქტიური სიმძლავრის ოპერატიული რეზერვის ოპტიმალური სიდიდეებს და ამ რეზერვის გენერაციის ობიექტზე ოპტიმალურ განაწილებას. კვლევის მეთოდიკის შესაბამისად ენერგოსისტემის ობიექტზე პრევენციული რემონტების ოპტიმალური დაგეგმვა შესრულდება წრფივი პროგრამირებით.

კვლევის მეთოდიკის მოთხოვნებს სრულყოფილად პასუხობს ელექტროენერგეტიკული სისტემის მუშაობის რეჟიმების ოპტიმალური

დაგეგმვის პრობლემების გადასაჭრელად გამოყენებული თანამედროვე მათემატიკური მეთოდების, ნეორონული ქსელების, არამკაფიო ლოგიკის და არაწრფივი პროგრამირების ერთიანი პიბრიდული მოდელი. ამ ურთულესი მათემატიკური მოდელის უმთავრეს უპირატესობას წარმოადგენს ის ფაქტი, რომ ამ მოდელის მეშვეობით შესაძლებელია სისტემის მუშობის რეჟიმებში გათვალისწინებული იყოს ყველა შემთხვევითი ხასიათის ხდომილებები, ოპტიმალურობის კრიტერიუმის მაფორმირებელი ფაქტორები და შეზღუდვების მთელი კომპლექსი.

ნაშრომის პრაქტიკული მნიშვნელობა. სადისერტაციო ნაშრომში განხორციელებული კვლევის შედეგები წარმატებით შეიძლება იქნეს გამოყენებული წარმოების იმ მომიჯნავე სფეროებში, სადაც საქმე გვაქვს ბიზნეს-ინჟინერინგის პრონციპებით სისტემების მართვასთან. კვლევის შედეგების პრაქტიკაში დანერგვას დიდი ეფექტის მოტანა შეუძლია სოციალურ-პოლიტიკურ სფეროში და ტექნიკური პროგრესის დაჩქარებაში. აღნიშნული განპირობებულია იმით, რომ ელექტროენერგეტიკული სისტემის მუშაობის რეჟიმების ოპტიმალური მართვა უზრუნველყოფს ორგანიზაციის საქმიანობის ტექნიკურ-ეკონომიკური მაჩვენებლების გაუმჯობესებას. შესაბამისად, ელექტროენერგიის ტარიფების დადგენის ობიექტურობას და მოითხოვს წარმოებაში ახალი პროგრესული ტექნოლოგიის დანერგვას.

აპრობაცია. სადისერტაციო ნაშრომის ძირითადი შედეგები გამნოქვეყნებულია საერთაშორისო რეცენზირებად და რეფერირებად სამეცნიერო ჟურნალებში: “ენერგია”, “EnergyOnline”, “ბიზნეს-ინჟინერინგი” და “საქართველოს ეკონომიკა” შემდეგი სამეცნიერო შრომების სახით:

1. ჯაფარიძე დ. მალრაძე თ. “ელექტროენერგეტიკულ სისტემაში პრევენციული რემონტების ოპტიმალური დაგეგმვა”. ჟურნალი “ბიზნეს-ინჟინერინგი”. №2 თბილისი. გვ:107-115. 2013 წელი.

2. ართილავა ა. მალრაძე თ. “პროგნოზირების მოდელების გამოყენებით ენერგოკომპანიის წმინდა მოგების გაანგარიშების თავისებურებები”. ჟურნალი “ენერგია”. №1(65). თბილისი. გვ: 53-57. 2013 წელი.

3. ჯაფარიძე დ. მაღრაძე ო. “ბიზნეს-ინჟინერინგის პრინციპებით ელექტროენერგეტიკული სისტემის ოპტიმალური მართვის უზრუნველსაყოფად ელექტროენერგიის მოხმარების მოკლევადიანი პროგნოზირება”. უკრნალი “ბიზნეს-ინჟინერინგი”. №4. თბილისი. გვ: 188-194. 2012 წელი.

4. Japaridze D. Magradze T. “Optimal planning of operative reserve of active power in power system under conditions of uncertainty”. Online scientific-technical journal “EnergyOnline”. №6. Tbilisi. Pages: 1-16. 2012 year.

5. Japaridze D. Magradze T. “Middle-term prediction of electricity demand in Georgia by using of multifactor model”. International scientific-analytical journal “Economy of Georgia”. №3(136). Pages: 32-38. 2009 year.

6. ჯაფარიძე დ. მაღრაძე ო. “საქართველოში ელექტროენერგიის წარმოების საშუალო-ვადიანი პროგნოზირება”. საერთაშორისო სამეცნიერო-ანალიტიკური უკრნალი “საქართველოს ეკონომიკა”. №7-8(128-129). გვ: 96-101. 2008 წელი.

ნაშრომის თემატიკის ირგვლივ საქართველოს ტექნიკურ უნივერსიტეტში მოეწყო თრი თემატური სემინარი და კოლოქვიუმი შემდეგი სახელმწოდებებით:

I სემინარი: “ელექტროენერგეტიკული სისტემის ელექტროსადგურების მუშაობის რეჟიმების მართვის მსოფლიო გამოცდილება და თანამედროვე მეთოდების საქართველოში დანერგვის პერსპექტივები”

II სემინარი: “საქართველოს ენერგეტიკული უსაფრთხოების მდგრმარეობის შეფასება და მისი ამდღების გზები”

კოლოქვიუმი: “ელექტროენერგეტიკულ სისტემაში აქტიური სიმბლავრის ოპერატორი რეზერვის და რემონტების ოპტიმალური დაგეგმვა”.

სადისერტაციო ნაშრომის ძირითადი საკითხები მოხსენების სახით გაშუქდა სამეცნიერო კონფერენციაზე სახელმწოდებით:

1. “ელექტროენერგეტიკულ სისტემაში განუსაზღვრელობის პირობებში აქტიური სიმბლავრის ოპერატორი რეზერვის ოპტიმალური დაგეგმვა”. აშშ-ს საერთაშორისო განვითარების სააგენტოს

“პიდროვნერგეტიკაში ინვესტიციების ხელშეწყობის პროცესისა” და საქართველოს ტექნიკური უნივერსიტეტის ერთობლივი კონფერენცია: “ახალგაზრდა ინჟინრების როლი საქართველოს ენერგეტიკის სექტორში”. სტუ. 17 აპრილი, 2013 წელი.

ნაშრომის მოცულობა და სტრუქტურა. სადისერტაციო ნაშრომი მოიცავს 169 გვერდს. იგი შედგება, შესავლის, ლიტერატურის მიმოხილვის, შედეგების განსჯისა და დასკვნითი ნაწილისაგან. შედეგების განსჯა თავის მხრივ შედგება 4 თავისა და 8 პარაგრაფისგან. თითოეულ თავს თან ერთვის თავისი დასკვნა. ნაშრომში ჩართულია 46 ცხრილი, 22 ნახატი, 33 დანართი, ნაშრომს თან ერთვის გამოყენებული ლიტერატურის ნუსხა.

ლიტერატურის მიმოხილვა

ელექტროენერგეტიკული სისტემის გართულების და სიმძლავრის მუდმივი ზრდის პირობებში დიდი მნიშვნელობა ენიჭება სისტემის მუშაობის რეჟიმების ოპტიმალური მართვის საკითხის გადაწყვეტას. ოპტიმიზაციის ღონისძიებების გატარება არ მოითხოვს დიდ კაპიტალურ ხარჯებს, მაგრამ მათი გამოყენებით წარმოქნება ის რეზერვი, რომელიც საშუალებას იძლევა მნიშვნელოვნად ამაღლდეს ელ. ენერგიის წარმოების, გადაცემისა და განაწილების ეკონომიკური, ტექნიკური და სხვ. ეფექტიანობა.

ელექტროენერგეტიკული სისტემების მუშაობის რეჟიმების მათემატიკური მოდელირების/დაგეგმვის პრობლემების და მათი გადაჭრის გზები ჩამოყალიბებულია მსოფლიოში ცნობილი მეცნიერების ფუნდამენტური შრომების დრმა მეცნიერული ანალიზის საფუძველზე [1,2,3,4,5].

ელექტროენერგეტიკულ სისტემაში მუშაობის რეჟიმების დაგეგმვის კუთხით არსებული მეთოდები იყოფა სამ კატეგორიად: დეტერმინირებული, არატრადიციული და პიბრიდული მეთოდები [6].

ელექტროენერგეტიკული სისტემების მუშაობის რეჟიმების მათემატიკური მოდელირების ყველაზე მეტად გავრცელებული მეთოდებია: არაწრფივი პროგრამირების [7], დინამიკური პროგრამირების [8] და ლაგრანჟის მეთოდი [9]. აღნიშნულ მეთოდებში დისპეტჩერიზაციის დღე-ლამური პერიოდი იყოფა თანაბარ პერიოდებად, სადაც ერთი პერიოდის დატვირთვა ჩათვლილია მუდმივ სიდიდედ [10].

ბენერტი და კვატნი იყვნენ პირველნი, რომელთაც შემოგვთავაზეს პარალელურად მიმუშავე თბოელექტროსადგურების გენერატორებს შორის აქტიური დატვირთვის ოპტიმალური განაწილების შეზღუდვები. მათ გააერთიანეს ანალიტიკური და აქტიური სიმძლავრის ეკონომიკური განაწილების პრინციპები ერთ დინამიკური ოპტიმალური კონტროლის

პრობლემად. შემუშავებულ იქნა შესაბამისი კონტროლერი, რომელიც ამოხსნილ იქნა პონტრიაგინის მაქსიმუმის პრინციპის მიხედვით [11].

არაწრფივი პროგრამირების ალგორითმი შემოტანილ იქნა [7] მიერ, აქტიური სიმძლავრის ოპტიმალური განაწილების პრობლემა გადაწყვეტილია სისტემის ოპერატორული რეზერვის შეზღუდვის გათვალისწინებით. თუმცა მასში არ არის გათვალისწინებული ელექტროგადაცემის დანაკარგები, რის გამოც აღნიშნულმა მეთოდმა დაკარგა პრაქტიკულობა.

[8] ნაშრომში თანმიმდევრული აპროქსიმაციის საფუძველზე შემუშავებულია პროცედურა, რომელშიც აქტიური სიმძლავრის განაწილების პრობლემა დაყოფილია რამდენიმე ეტაპად. ყოველ ეტაპზე პრობლემის გადაწყვეტა განხორციელებულია ორი გენერატორის მონაწილეობით. შემოთავაზებულ იქნა სამი დამაწყვილებელი სქემა, მაგრამ კონკრეტული საუკეთესო სქემა არ იქნა შემოთავაზებული. პირველად შემოთავაზებულ იქნა წრიული-დაწყვილების სქემა, სადაც გენერატორებს ჰქონდათ მინიჭებული ინდექსები სათბობის ხარჯის ფარდობითი ნაზრდის მიხედვით “ყველაზე იაფი”-დან “ყველაზე ძვირი”-მდე. შემდგომი თანმიმდევრობა გულისხმობდა სპირალური დაწყვილების სქემას. “ყველაზე იაფი” გენერატორ დაწყვილდა “ყველაზე ძვირთან”, შემდგომ “ყველაზე ძვირი” გენერატორი დაწყვილდა შემდგომ “ყველაზე იაფთან”. შემდგომ “ყველაზე იაფი” დაწყვილდა “ყველაზე ძვირთან” და ა.შ. ზემოთ აღნიშნული ორი სქემის კომბინაცია წარმოადგენს მესამე დაწყვილების სქემას.

[8,11,12]-ში შემოთავაზებული მეთოდები უგულებელყოფენ ელექტროგადაცემის დანაკარგებს და ოპერატორული რეზერვის შეზღუდვებს. მეორეს მხრივ გუდმა [9]-ში გაითვალისწინა აღნიშნული შეზღუდვები მაგრამ არ გაითვალისწინა თბოელექტროსადგურების ტურბინების სარქველის დატვირთვის ეფექტი. აღნიშნული ამოხსნილ იქნა ლაგრანჟის მამრავლების მეშვეობით.

სისტემაში აქტიური სიმძლავრის ოპტიმალური განაწილების დაგეგმვა წრფივი პროგრამირების მეთოდებით შემოტანილ იქნა [13]-ში უსაფრთხოების და ემისიის შეზღუდვების გათვალისწინებით. მაგრამ აღნიშნულ პლევაში არ არის გათვალისწინებული ოპერატორი რეზერვის შეზღუდვები და თბოელექტროსადგურების ტურბინების სარქველის დატვირთვის ეფექტი.

[14] კვლევის ავტორებმა შექმნეს რამდენიმე ეტაპიანი პრობლემის ამოხსნის ალგორითმი. ალგორითმი წარმოადგენს მათი წინა სამუშაოს [15] გაფართოებას. ალგორითმი შეიცავს გენერატორების დატვირთვის ცვლილების დიაპაზონის შეზღუდვას და რამდენიმე ეტაპიან პერიოდებს. თითოეული ეტაპი შედის მიზნის ფუნქციაში ლაგრანჯის მამრავლის სახით. ალგორითმი შეიცავს უსაფრთხოების შეზღუდვებს, თბოელექტროსადგურების ტურბინების სარქველის დატვირთვის ეფექტის გათვალისწინების გარეშე.

[16] ავტორებმა გაანალიზეს ელექტროენერგეტიკული სისტემის დინამიკური შეზღუდვების გავლენის ეფექტი აქტიური სიმძლავრეების ოპტიმალურ მოკლევადიან განაწილებაზე დერეგულირებულ გარემოში თანმიმდევრული დინამიკური პროგრამირების მეთოდის გამოყენებით. სისტემის უსაფრთხოება გათვალისწინებულ იქნა მუდმივი დენის მოდელის მეშვეობით, ელექტროგადაცემის დანაკარგების უგულებელყოფით.

[17] ავტორმა გამოიყენა მიულერის ალგორითმი აქტიური სიმძლავრის ოპტიმალური განაწილების პრობლემის გადასაჭრელად. შემოთავაზებული ალგორითმი გულისხმობს ლამბდა მნიშვნელობების შერჩევას. შემდგომ, გენერატორების მიერ ელექტროენერგიის წარმოება გამოხატულია ლამბდით ინტერპოლაციის მეთოდის გამოყენებით და ლამბდის რეალური მნიშვნელობები გამოთვლილია აქტიური სიმძლავრის ბალანსის შეზღუდვებით მიულერის მეთოდის გამოყენებით. აპრობაცია განხორციელდა ორ სატესტო სისტემაზე, და შედეგები შედარებულ იქნა სხვა კონკურენტულ მეთოდების შედეგებთან ამოხსნის დროის კუთხით. უთანასწორო შეზღუდვები შეიცავდა გენერატორების დატვირთვის

დიაპაზონის ცვლილების და წარმოების ზღვრების შეზღუდვებს. ელექტროგადაცემის დანაკარგები იქნა უგულებელყოფილი.

ბრენტის მეთოდი – ძებნის მეთოდი [18] იქნა გამოყენებული [19]-ში პარალელურად მომუშავე გენერატორების სათბობის ხარჯის ფარდობითი ნაზრდის გასაგებად თბოელექტროსადგურების ტურბინების სარქველის დატვირთვის ეფექტის გათვალისწინების გარეშე. ლამბდის მინიმალური და მაქსიმალური მნიშვნელობები გამოთვილ იქნა გენერატორის მინიმალური და მაქსიმალური წარმოების საფუძველზე. წინასწარ განსაზღვრული დატვირთვის დროს ლამბდის ოპტიმალური მნიშვნელობა მირებულ იქნა ბრენტის მეთოდის გამოყენებით. გათვალისწინებულ იქნა ელექტროგადაცემის დანაკარგები, მაგრამ არ იქნა გათვალისწინებული ოპერატიული რეზერვის მნიშვნელობა. შემოტავაზებული მეთოდი უფრო სწრაფი იყო სხვა მეთოდებთან შედარებით და ოპერაციული ხარჯები უმნიშვნელოდ მცირე იყო სხვა მეთოდების შედეგებთან შედარებით.

აქტიური სიმბლავრის ოპტიმალური განაწილების მიზნით Hemamalini *et al.* [20]-ში გამოიყენა მაკლარენის მწყრივებზე დაფუძნებული ლაგრანჟის მეთოდი. შემოტავაზებული მეთოდი ითვალისწინებს თბოელექტროსადგურების ტურბინების სარქველის დატვირთვის ეფექტს (სინუსოიდალური ფუნქცია). აპროქსიმაციის შეცდომის გასწორების მიზნით გათვალისწინებულ იქნა დამატებითი ფაქტორები. პრობაცია განხორციელდა 3 სისტემაზე თბოელექტროსადგურების ტურბინების სარქველის დატვირთვის ეფექტის, ოპერატიული რეზერვის და ელექტროგადაცემის დანაკარგების გათვალისწინებით. მეთოდის მთავარი უპირატესობაა სისტრაფე და სხვა მეთოდებთან შედარებით სათბობის ხარჯის შედარებით მცირე მნიშვნელობა.

ეპრისტიკული მეთოდები დეტერმინირებულ მეთოდებთან შედარებით წარმოადგენენ შედარებით ახალ მეთოდებს. არსებობს სხვადასხვა სახის მეთოდები: გენეტიკური ალგორითმები და სხვ და ალგორითმები [21].

[22] ავტორების მიერ შემოთავაზებულ იქნა პარალელური მიკრო გენეტიკური ალგორითმის მოდელი გენერატორების დატვირთვის მიხედვით დაჯგუფების საფუძველზე. კვლევაში გათვალისწინებულია ელექტროგადაცემის დანაკარგები. თბოელექტროსადგურების ტურბინების სარქველის დატვირთვის ეფექტი და ოპერატიული რეზერვი არ არის გათვალისწინებული.

[23]-ში PSO ალგორითმი შემოთავაზებულია პრობლემის ამოსახსნელად. აღნიშნულ კვლევაში გათვალისწინებულია ოპერატიული რეზერვი, ელექტროგადაცემის დანაკარგები და უსაფრთხოების შეზღუდვები. მეთოდის მთავარი უპირატესობას წარმოადგენს სისტრაფე.

[24]-ში დამუშავებულია აქტიური სიმძლავრის ოპტიმალური განაწილების მრავალმიზნობრივი ოპტიმიზაციის პრობლემის ამონახაზისნი. მასში გათვალისწინებულია შემდეგი მიზნის ფუნქციები: სათბობის ხარჯი და ემისიის მაჩვენებელი. შეზღუდვებში გათვალისწინებულია თბოელექტროსადგურების ტურბინების სარქველის დატვირთვის ეფექტი და ელექტროგადაცემის დანაკარგები. აღნიშნული ორი ფუნქცია გაერთიანებულ იქნა ერთ ფუნქციად მიზნის-მიღწევის მეთოდის გამოყენებით [25]. საბოლოოდ PSO ალგორითმი იქნა გამოყენებული ერთიანი მიზნის ფუნქციის ამოხსნისთვის.

[26]-ში კვლევაში ავტორმა შეიმუშავა არა-დომინანტი სორტირების გენეტიკური ალგორითმი-II (NSGA-II), რომ ერთდროულად მინიმიზირებულიყო მთლიანი სათბობის ხარჯი და ემისია. შეზღუდვებში გათვალისწინებული იყო თბოელექტროსადგურების ტურბინების სარქველის დატვირთვის ეფექტი და ელექტროგადაცემის დანაკარგები. ავტორმა შემოგვთავაზა პარეტო-ოპტიმალური ამონახაზისნები. უპირატესობა მდგომარეობს ამონახაზისნის ნაკლებ დროში.

[27] კვლევაში გამოყენებულ იქნა PSO ალგორითმი ფასზე დაფუძნებული სოციალური სარგებლიანობის მაქსიმიზაციისთვის კონკურენტული ბაზრის პირობებში. გათვალისწინებული იყო ორმხრივი მოთხოვნა მიწოდება. დამატებით გათვალისწინებული იყო ემისიის,

უსაფრთხოების და ელექტროგადაცემის დანაკარგების შეზღუდვები. განხილულია ვაჭრობის ორი პერიოდი და ამოხსნილია პრობლემა თავიდან შეზღუდვების გარეშე, ხოლო შემდეგ შეზღუდვებით. კვლევამ აჩვენა, რომ შეზღუდვების რაოდენობის ზრდასთან ერთად თანდათან მცირდებოდა სოციალური სარგებლიანობა.

ელიტარული გენეტიკური ალგორითმი იყო აქტიური სიმძლავრის ოპტიმალური განაწილების პრობლემის გადაწყვეტისთვის [28]-ში. კვლევაში გენერატორის ლირებულების ფუნქციას ჰქონდა წრფივი ხასიათი და გათვალისწინებული იყო ელექტროგადაცემის დანაკარგები. დისპეტჩერიზაციის პერიოდი დაიყო 48 ინტერვალად. თითოეული პერიოდი ამოიხსნა წარმატებით.

შეზღუდული EP მეთოდი იქნა გამოყენებული [29] კვლევაში. შეზღუდვებში გათვალისწინებულია თბოელექტროსადგურების ტურბინების სარქველის დატვირთვის ეფექტი. არ არის გათვალისწინებული ელექტროგადაცემის დანაკარგები. მეთოდში სიმულაციის დროს შეზღუდვებისგან გადახრები კორექტირდება იტერაციული პროცესით. იმისათვის, რომ დაგენერირდეს ახალი პოპულაცია შემოთავაზებულია შემდეგი პროცედურა. შემთხვევით შერჩეულ დროს თვითონებურად შეირჩა ორი გენერატორი და გამომუშავებული სიმძლავრის წილი გადანაწილდა გენერატორებს შორის ისე, რომ არ დარღვეულიყო დაწესებული შეზღუდვები. აღნიშნული მიდგომა მოითხოვს დიდ დროს განსაკუთრებით დიდი სისტემებისათვის.

[30] კვლევაში ავტორებმა აქტიური სიმძლავრის ოპტიუმალური განაწილება განახაზიორციელეს SA მეთოდის გამოყენებით. შეზღუდვებში გათვალისწინებულია თბოელექტროსადგურების ტურბინების სარქველის დატვირთვის ეფექტი და ელექტროგადაცემის დანაკარგები. მეთოდი აპრობირებულ იქნა ერთ სატესტო სისტემაზე. ამოხსნას დასჭირდა 6 წუთი. ავტორებმა დაასკვნეს, რომ ალგორითმის გამოყენება პარალელურად მომუშავე პლატფორმებზე შეამცირებს ამოხსნის დროს.

აქტიური სიმძლავრის ოპტიმალური განაწილების პრობლემის ამოხსნისთვის [31] კვლევაში შემოთავაზებული იქნა QEA გაზრდილი რეალური-პარამეტრული კვანტური გვოლუციური ალგორითმი. მასში გათვალისწინებულია თბოელექტროსადგურების ტურბინების სარქველის დატვირთვის ეფექტი. არ არის გათვალისწინებული ელექტროგადაცემის დანაკარგები. გარდა ამისა, შემუშავებული იქნა ორი ევრისტიკული ალგორითმი ამონახაზისნის მისაღები ზონის აღდგენისა და ამონახაზისნის ხარისხის გაუმჯობესების მიზნით. ალგორითმებია: მისაღები ზონის აღდგენის ალგორითმი (FRAH) და სათბობის ხარჯის ფარდობითი ნაზრდის ოპტიმიზაციის ევრისტიკული ალგორითმი (ICH). მეთოდი აპრობირებული იქნა ორ სისტემაზე. ირებული შედეგები უფრო გაუმჯობესდა ალტერნატიული მეთოდით მიღებულ შედეგებთან შედარებით.

[32] კვლევაში შემოთავაზებულია აქტიური სიმძლავრის განაწილების პრობლემის ამოხსნის მრავალრიცხოვანი ძებნის ალგორითმი (MTS). იპტიმიზაციის პრობლემა ითვალისწინებს ელექტროგადაცემის დანაკარგებს და თბოელექტროსადგურების ტურბინების სარქველის დატვირთვის ეფექტი გათვალისწინებულია მუშაობის აკრძალული ზონების საფუძველზე. ტრადიციული მეთოდის გაუმჯობესების მიზნით ავტორებმა შეიმუშავეს დამატებითი პროცედურები: ინიციალიზაცია (დასარწმუნებლად, რომ პოპულაცია აკმაყოფილებს შეზღუდვების მოთხოვნებს), ადაპტური ძებნა (ბიჯის ადაპტური ცვლა, მეზობელი ამონახაზისნების გენერირებისთვის), მრავალრიცხოვანი ძებნა (პარელელური პროცესორების მიერ), გადაკვეთა (გენეტიკული ალგორითმის პარალელური ამონახაზისნების გაუმჯობესების მიზნით), რეინიციალიზაციის პროცესი (ნაადრევი კონვერგენციის თავიდან აცილების მიზნით, როდესაც ძებნა ჩერდება ლოკალურ ამონახაზისნზე). მეთოდის ეფექტურობა დადგინდა სტატისტიკური მონაცემების საფუძველზე. სტანდარტული გადახრა და ამოხსნის დრო იყო მნიშვნელოვნად მცირე სხვა მეთოდებთან შედარებით.

[33] კვლევაში ავტორებმა შემოიტანეს უპირატესობაზე დაფუძნებული არა-დომინანტი სორტირების გენეტიკური ალგორითმი (PNSGA). არ იქნა გათვალისწინებული ელექტროგადაცემის დანაკარგები და თბოელექტროსადგურების ტურბინების სარქველის დატვირთვის ეფექტი.

[34] კვლევაში შემუშავებულ იქნა ცვლადის სკალირების პიბრიდული დიფერენციალური ეკოლუციური ალგორითმი (VSHDE). აღნიშნული მეთოდში გათვალისწინებულია ელექტროგადაცემის დანაკარგები, თბოელექტროსადგურების ტურბინების სარქველის დატვირთვის ეფექტი და ოპერატიული რეზერვი. ოპერატიული რეზერვის ყოველსათობრივ მოცულობად მიღებულ იქნა დატვირთვის 5%. პრობირებულ იქნა 2 სატესტო სისტემაზე. ამოხსნის დრო შეადგენდა 7 და 23 საათს 10 და 20 გენერატორიანი სისტემებისთვის.

[35]-ში შემუშავებულ იქნა მოდელის ძებნის ალგორითმი (PS). სათბობის ხარჯის მახასიათებელი შეიცავს თბოელექტროსადგურების ტურბინების სარქველის დატვირთვის ეფექტს. გათვალისწინებულია დატვირთვის დიაპაზონის ცვლილების და ელექტროგადაცემის დანაკარგების შეზღუდვები, მაგრამ არ იქნა გათვალისწინებული ოპერატიული რეზერვის შეზღუდვა.

[36] და [37]-ში შემუშავებულ იქნა ხელოვნური იმუნური სისტემა (AIS). ალგორითმი ითვალისწინებს 4 იტერაციულ ალგორითმს: შემთხვევითი პოპულაციის გენერაცია ე.წ იმუნური უჯრედები ან ანტისეულები, პოპულაციის თითოეული წევრის კლონირება მსგავსების პროცენტული მნიშვნელობის მიხედვით, მუტაციის მექანიზმი ცნობილი, როგორც მატურაციის პროცესი, გაუმჯობესების არმქონე ან ლოკალურ ამონახაზისნში გაჭედილი ანტისეულების განადგურება ე.წ დაბერების ოპერატორი. მეთოდების აპრობაცია განხორციელდა ორ სატესტო სისტემაზე. მიღებული შედეგები ამონახაზისნის ხარისხის და დროის მიხედვით იყო უკეთესი სხვა მეთოდებთან შედარებით.

თანამედროვე პირობებში საბაზო ეკონომიკის განვითარებასთან ერთად იზრდება სათბობ-ენერგეტიკული კომპლექსის დარგების განვითარების სტრატეგიის დამუშავების აუცილებლობა [38].

პრობლემის გადაწყვეტის აქტუალობიდან გამომდინარე ელექტროენერგიის მოხმარების მოკლევადიანი პროგნოზირებისადმი მრავალი ცნობილი მეცნიერის ნაშრომია მიძღვნილი [39,40,41,42,43,44,45,46,47,48,49].

ამ კვლევებში ძირითადი აქცენტები გადატანილია პროგნოზირების სტატისტიკურ მეთოდებზე (ავტორეგრესიის მეთოდი, სეზონური მრუდების მეთოდი, ფაქტორული ანალიზი, წრფივი ალგორითმი დაფუძნებული მომავლის განსკვრებაზე უახლოესი წარსულის მონაცემების მიხედვით). ეს მეთოდები საშუალებას იძლევიან დღეების სხვადასხვა ტიპებისათვის აიგოს ავტორეგრესიული მოდელები. სხვა ფაქტორები, ისეთები როგორებიცაა ჰაერის ტემპერატურა, განათებულობის ხარისხი, დღის ხანგრძლივობა, კვირის დღე, ზამთრის დროის საზაფხულო დროზე გადასვლა და პირიქით, ექსტრა-ორდინაციური მოვლენების, ამინდის პირობების პროგნოზები და სხვა ფაქტორები გამოყენებულია გასაშუალებული სიდიდეებით, მათი გავლენა გათვალისწინებულია ელექტროენერგიის მოხმარების წარსული მნიშვნელობების მიხედვით. ეს მეთოდი საშუალებას იძლევა მივიღოთ პროგნოზის კარგი შედეგები სტაბილურ სიტუაციებში [39,42,44,45,46], თუმცა მათი პარამეტრების მოულოდნელი მკვეთრი ცვლილებების დროს ასეთი მიდგომა არ იძლევა საშუალებას გავაკეთოთ სიტუაციის სტორი პროგნოზი, იმის გამო, რომ საქართველოში ადგილი აქვს სიტუაციების მკვეთრ ცვალებადობას ელექტროენერგიის მომხარების მოკლევადიანი პროგნოზირების მითითებული მეთოდი ვერ განხორციელდება სათანადო სიზუსტით. ჩვენს ქვეყანაში ელექტროენერგიის მოთხოვნის მოკლევადიანი პროგნოზის სირთულეს მნიშვნელოვანწილად განაპირობებს მომხმარებლების დიდი რიცხვის არსებობა და ელექტროენერგიის მოხმარებაზე მოქმედი მრავალი ფაქტორის გათვალისწინების აუცილებლობა.

ამასთან მეცნიერთა უმრავლესობა [40,41,43,47,48,49] ელექტროენერგიის მოხმარების მოკლევადიანი პროგნოზირებისათვის ოპტიმალურად თვლის არაკლასიკური მეთოდების გამოყენებას (ხელოვნური ნეირონული ქსელები, არამკაფიო ლოგიკა, გენეტიკური ალგორითმები და სხვა), ვინაიდან ელექტროენერგიის მოთხოვნა მოკლევადიან პერიოდში როგორც წრფივად ისე არაწრფივად დამოკიდებულია მრავალ ფაქტორზე მისი კლასიკური მეთოდებით პროგნოზირება გამნელებულია. შეუძლებელია კლასიკური მეთოდების პროგნოზირების დროს რთული კავშირების გათვალისწინება.

სწორედ ამიტომ ბოლო პერიოდში სპეციალისტების მხრიდან [40,41,43,47,48,49], რომლებიც დაკავებულები არიან ელექტროენერგიის მოხმარების დროითი მწკრივების პროგნოზით სულ უფრო დიდი ყურადღება მქონე ხელოვნურ ნეირონულ ქსელებს. ძირითადი მიმზიდველობა ხელოვნური ნეირონული ქსელის გამოყენების ელექტროენერგიის მოხმარების პროგნოზირებაში მდგომარეობს იმაში, რომ ამ შემთხვევაში შესაძლებელია გამოყენებული იქნეს შემავალი პარამეტრების დიდი რაოდენობა – ისტორიული მონაცემები ელექტროენერგიის მოხმარებაზე და შესაბამისი ისტორიული მონაცემები მათზე მოქმედ ყველა ფაქტორზე, რაც მთავარია შემავალი პარამეტრების გავლენის ფუნქცია გამოსავალ შედეგზე შეიძლება იყოს ნებისმიერი სირთულის (არასწრფივი, არასტაციონარული) და უცნობი ფორმის. გარდა ამისა, მოდელის შემავალი პარამეტრების ნაწილი შეიძლება იყოს რიცხვითი ნაწილი, კატეგორიალური [40,41,43,47,48,49,50].

პრობლემის აქტუალობიდან გამომდინარე უკანასკნელ ათწლეულში მსოფლიოში სიმძლავრის ოპერატორული რეზერვის ოპტიმალური დაგეგმვის სხვადასხვა ასპექტებთან დაკავშირებული კვლევები საკმაო ინტენსივობით წარმოებს [4,5,6,7,8,9,10,11]. ამ შრომებში დასაბუთებულია იმის აუცილებლობა, რომ მოცემული მომენტისათვის ჩასატარებელია გეგმაზომიერი სამუშაოები თეორიულ-ალბათობრივი ანალიზისა და ელექტროენერგეტიკულ სისტემებში საექსპლუატაციო შეზფრთებების

შემთხვევითი პროცესების მახასიათებლების სტატისტიკურ შეფასებასა და მათ ურთიერთკავშირზე სისშირის და აქტიური სიმძლავრის ავტომატური რეგულირების თანამედროვე პრინციპების ნორმატიულ საფუძვლებზე, ავარიული ურთიერთდახმარების განხორციელების პრინციპებზე და ოპერატიული რეზერვირების სხვა პრობლემებზე. მათ შორის სხვა ელექტროენერგეტიკულ სისტემებთან ინტეგრაციის პერსპექტივასთან დაკავშირებულ საკითხებზე.

აქვე ხაზი უნდა გაესვას იმ ფაქტს, რომ ელექტროენერგეტიკული სისტემების აქტიური სიმძლავრეების რეზერვის მობილობის და სიდიდის განსაზღვრის არსებული მეთოდიკა მთელი სისრულით ვერ პასუხობს პრაქტიკის მოთხოვნებს, რადგანაც სუსტად არის ორიენტირებული დროის ინტერვალებში ავტომატურ და ოპერატიულ მართვაში გამოსაყენებლად. ელექტროენერგეტიკული სისტემების ოპერატიული რეზერვის ოპტიმალური დაგეგმვის პრაქტიკაში ფართოდ არის გამოყენებული დეტერმინირებული და ალბათური მეთოდები [53,54,55,56,58].

მსოფლიოს განვითარებული ქვეყნების ელექტროენერგეტიკულ სისტემებს გააჩნიათ ოპერატიული რეზერვის დადგენის განსხვავებული კრიტერიუმები [59,60], რომელთა ჩამონათვალი მოცემულია ცხრილ №1-ში

ცხრილი №1 სხვადასხვა ქვეყნების ელექტროენერგეტიკული სისტემის ოპერატიული რეზერვის მოთხოვნები

ელექტროენერგეტიკული სისტემა	კრიტერიუმი (R_d^t)
საქართველო	მოხმარების მინიმუმ 10% ($10\%P_i^t$)
ავსტრალია და ახალი ზელანდია	$\max(P_i^t)$
BC Hydro (კანადა)	$\max(P_i^{max})$
Manitoba Hydro (კანადა 2)	$80\% \max(P_i^{max}) + 20\% (\sum_{i=1}^n P_i^{max})$
Yukon Electrical (კანადა 3)	$\max(P_i^{max}) + 10\% (P_d^{max})$
ბელგია	UCTE წესები. (ევროპული ქვეყნების ენერგოგაერთიანება). მინიმუმ 460 მგვტ

კალიფორნია	$50\% * \max \left(+7\% P_{other\ generation}, P_{largest\ contingency} \right) + P_{non-firm\ import}$
საფრანგეთი	UCTE წესები. (ევროპული ქვეყნების ენერგოგაერთიანება). მინიმუმ 500 მგბ
PJM (southern) (აშშ) სამხრეთი	$\max(P_i^{max})$
PJM (western) (აშშ) დასავლეთი	$1.5\% (P_d^{max})$
PJM (Other) (აშშ) სხვა დანარჩენი	პიკური დატვირთვის 1.1 % + ტიპიურ დღეებსა და საათებზე ალბათური ანგარიშები
ესპანეთი	მინიმუმ $3(P_d^{max})^{1/2}$ მაქსიმუმ $6(P_d^{max})^{1/2}$
პოლანდია	UCTE წესები. (ევროპული ქვეყნების ენერგოგაერთიანება). მინიმუმ 300 მგბ
UCTE (ევროპული ქვეყნების ენერგოგაერთიანება)	არ არსებობის დადგენილი სტანდარტი. რეკომენდირებული მაქსიმუმია: $(10P_{d,zone}^{max} + 150^2)^{1/2} - 150$

სადაც, P_i^t – t პერიოდის i ელ. სადგურის გამომუშავება; P_i^{max} – t პერიოდის ყველაზე დიდი გამომუშავება (ელ. სადგური); P_d – დატვირთვა.

როგორც ცხრილ №1-ში მოყვანილი მონაცემებიდან ჩანს ელექტროენერგეტიკული სისტემების აქტიური სიმძლავრის ოპერატორული რეზერვის დაგეგმვის კრიტერიუმები ძირითადად ატარებენ დეტერმინირებულ ხასიათს და მათში არ არის გათვალისწინებული ელ. სისტემაში მიმდინარე შემთხვევითი პროცესები. არ არის ნაჩვენები ოპერატორული რეზერვის ოპტიმიზაციის პრობლემის გადაწყვეტის გზები. ელექტროენერგეტიკულ სისტემებში აქტიური სიმძლავრის ოპერატორული რეზერვის ოპტიმალური დაგეგმვა მოითხოვს პრობლემისადმი კომპლექსურ მიღებას. ყველა იმ ფაქტორის გათვალისწინებას, რომლებიც მოქმედებენ ელ. სისტემის მუშაობის საიმედოობაზე. ელ. სისტემების ფუნქციონირების მოთხოვნილი საიმედოობის უზრუნველსაყოფად აუცილებელია სისტემაში

არსებობდეს აქტიური სიმძლავრის ოპერატიული რეზერვის ისეთი მოცულობა, რომელიც ნებისმიერი ელ. გადაცემის ხაზის და ელ. სადგურის ავარიული გამორთვის შემთხვევაში მაქსიმალურად დააკმაყოფილდება მომხმარებლის ელ. ენერგიის მოთხოვნა და მინიმუმადე დაიყვანება როგორც მწარმოებლის, აგრეთვე მომხმარებლის მოსალოდნელი ზარალი. ამ ამოცანის გადაწყვეტის ყველაზე ეფექტურ გზად მიგვაჩნია ელ. სისტემის ფუნქციონირების მიმდინარე პროცესების შეფასებაში ალბათური მეთოდის გამოყენება. ეს მეთოდი საშუალებას გვაძლევს რისკის ინდექსის საშუალებით ანალიზი ჩავუტაროთ სხვადასხვა ოპერატიული პროცესების სცენარებს [53,54,55,58].

ჩატარებული კალევების [51,52,53,54,55,58] ანალიზი ცხადყოფს, რომ ელექტროენერგეტიკულ სისტემაში ოპერატიული რეზერვის ალბათური გზით დადგენის დროს გამოყენებულია მხოლოდ მაგენერირებელი სიმძლავრეების ავარიული გამორთვების სტატისტიკა და ელექტრული სისტემისთვის მისაღები რისკის დონე გარკვეული დროის მონაკვეთში (დღე-დამე) მიღებულია მუდმივ სიდიდე. აღნიშნულმა გარემოებამ შესაძლოა გამოიწვიოს ოპერატიული რეზერვის საკმარისზე მეტი ან ნაკლები სიდიდით განსაზღვრა, რაც საბოლოო ჯამში აისახება ელექტროენერგეტიკული სისტემის საიმედოობის და უსაფრთხოების დონის დაწევის ან ეკონომიკურად გაუმართლებელი სიმძლავრის რეზერვის სიდიდის დადგენაში.

მსოფლიოს სხვადასხვა ენერგოკომპანიების მუშაობის და აღნიშნული მიმართულებით ჩატარებული კალევების [61,62,63,64,65,66,67] ანალიზით ირკვევა, რომ ელექტროენერგეტიკულ სისტემებში რემონტების ოპტიმალური დაგეგმვის უზრუნველსაყოფად მრავალი პრობლემაა გადასაჭრელი. როგორც წესი, ენერგეტიკულ სისტემებში არ არის შემუშავებული რემონტების დაგეგმვის სტრატეგია. სისტემური ხასიათი არ აქვს მიცემული ავარიული გამორთვების ანალიზს, რემონტების დაგეგმვა ხორციელდება ძირითადად ტექნიკური მიზნების მიხედვით, სათანადო ეკონომიკური ფაქტორების გათვალისწინების გარეშე. რემონტების

პრევენციული დაგეგმვა წარმოებს ოპტიმიზაციის ტრადიციული პრინციპებით, რემონტის ოპტიმალურობაზე მოქმედი ფაქტორების შეფასების გარეშე. რაც მთავარია პრობლემის გადაწყვეტას არ აქვს მიცემული კომპლექსური ხასიათი. აღნიშნულიდან გამომდინარე ელექტროენერგეტიკულ სისტემაში პრევენციული რემონტების ოპტიმალური დაგეგმვა უნდა განხორციელდეს დრმა მეცნიერული კვლევის შედეგების მიხედვით, რისთვისაც პირველ რიგში ელექტროენერგეტიკულ სისტემაში შემავალი ელექტრული სადგურების, ელექტროგადაცემის ხაზების ელექტრომოწყობილობების და დანადგარების ტექნიკური მდგომარეობა უნდა შეფასდეს კომპლექსურად. უნდა ეფუძნებოდეს მთლიანად სისტემის საიმედოობის მახასიათებლებს და ელექტროენერგეტიკულ სისტემაში პრევენციული რემონტების ჩატარების ოპტიმალური ხანგრძლივობის განსაზღვრის მეთოდიკას. რაც მთავარია ელექტროენერგეტიკული სისტემის საიმედო მუშაობის უზრუნველყოფაში გამოიკვეთოს რემონტების პრევენციული დაგეგმვის როლი და რემონტების ოპტიმიზაციის ამოცანა უნდა გადაიჭრას მასზე მოქმედი კველა შესაძლო ფაქტორის გათვალისწინებით.

როგორც ზემოთ მოყვანილი ანალიზი გვიჩვენებს, მიუხედავად თეორიული ხასიათის შრომებისა, ამჟამად მოქმედი ალგორითმები და პროგრამები სრულად ვერ აკმაყოფილებენ ელექტროენერგიის მოკლევადიანი მოხმარების პროგნოზირების, აქტიური სიმძლავრის ოპერატორიული რეზერვის, პრევენციული რემონტების დაგეგმვის და მთლიანობაში ელექტროენერგეტიკული სისტემების მუშაობის რეჟიმების ოპტიმალური მართვისადმი წაყენებულ მოთხოვნებს. ისინი არ ატარებენ კომპლექსურ ხასიათს, მათში არ არის გათვალისწინებული კველა ის ტექნიკურ-ეკონომიკური კრიტერიუმი და შეზღუდვა, რაც წაეყენება საბაზრო ეკონომიკის პირობებში ელექტროენერგეტიკული სისტემის მუშაობის რეჟიმების ოპტიმალურ მართვას.

აღნიშნულიდან გამომდინარე განსაკუთრებულ აქტუალობას იძენს ელექტროენერგეტიკულ სისტემაში ელექტროენერგიის

მოკლევადიანი მოხმარების პროგნოზირების, აქტიური სიმძლავრის ოპერატორი რეზერვის დაგეგმვის, პრევენციული რემონტების ოპტიმალური დაგეგმვის და ელექტროენერგეტიკული სისტემების მუშაობის რეჟიმების ოპტიმიზაციის პრობლემების ისეთი სახით გადაწყვეტა, რომ მასში მაქსიმალურად გათვალისწინებული იყოს ყველა ის შესაძლო ფაქტორი და შეზღუდვა, რომელიც მაქსიმალურად უზრუნველყოფს სისტემის მუშაობის ეფექტიანობას.

1. შედეგები და მათი განსჯა

თავი I. ელექტროენერგიის მოხმარების მოკლევადიანი პროგნოზირება

1.1 ამოცანის დასმა და პრობლემის გადაწყვეტის მეთოდოლოგია

ცნობილია, რომ ბიზნეს-ინჟინერინგის ქვაკუთხედს მართვისადმი პროცესული მიღებობა წარმოადგენს [68]. ამ თვალსაზრისით ნებისმიერი ორგანიზაცია შეიძლება განვიხილოთ როგორც პროცესების ნაკრები. პროცესის ოპტიმალურად მართვას მივყავართ დასახული მიზნის მიღწევისკენ და პროცესის მიზანი წარმოჩინდება როგორც ეფექტურობის კრიტერიუმი.

ენერგოსისტემის ფუნქციონირებისადმი პროცესული მიღებობა მოითხოვს მართვის ტრადიციულ მეთოდებზე უარის თქმას, მის სერიოზულ გააზრებას. აქ წინა პლანზე დგება მისი რეჟიმების ოპერატორიული მართვის, მოკლევადიან პერიოდი მუშაობის სრულყოფილად დაგეგმვის, ელექტროსადგურებსა და ელექტრულ ქსელებს შორის დატვირთვების ოპტიმალური განაწილების და ელექტროენერგიის მოთხოვნის დაკვეთილი სიდიდიდან მინიმალური გადახრის უზრუნველყოფა. საგულისხმოა, რომ დაკვეთილი სიდიდიდან ელექტროენერგიის ფაქტიური მოხმარების განსაზღრულ პროცენტზე მეტად გადახრა განაპირობებს მაბალანსირებელი ბაზრიდან ელექტროენერგიის შესყიდვას გაზრდილი ფასებით. ნაკლები მხრისკენ გადახრა ისჯება დამატებითი გადასახადით მიუწოდებელი ელექტროენერგიისათვის.

აღნიშნულიდან გამომდინარე ბიზნეს-ინჟინერინგის პრინციპების საფუძველზე, ოპტიმალური პროცესული მართვის განხორციელებისათვის აუცილებელია მოკლევადიან პერიოდში (საათი, დღე-დამე) ელექტროენერგიის მოხმარების მაღალი სიზუსტით პროგნოზირება.

ელექტროენერგიის მოხმარების მოკლევადიანი პროგნოზის მაღალი სიზუსტე საშუალებას იძლევა შევამციროთ ელექტრობაზრის სუბიექტების ფინანსური დანაკარგები. ამ ამოცანის გადაწყვეტა განსაკუთრებით საპასუხისმგებლოა საქართველოსთვის, რადგანაც ქვეყნის ენერგოსისტემაში და ელექტროენერგეტიკული ბაზრის სუბიექტების მნიშვნელოვან ნაწილს არ გააჩნიათ საკუთარი სიმძლავრეები და არ შეუძლიათ გავლენა იქონიონ მოხმარებლების დატვირთვებზე.

ლიტერატურის მიმოხილვის ანალიზის საფუძველზე ელექტროენერგიის მოკლევადიანი მოხმარების პროგნოზირებისთვის შერჩეულ იქნა ხელოვნური ნეირონული ქსელების მეთოდი [40,41,43,47,48,49,50].

ხელოვნური ნეირონული ქსელები წარმოადგენენ ანალიტიკურ სისტემებს, სადაც დასმული ამოცანები არასაკმარისად მკაფიოდ არის ფორმულირებული. ფორმულირების არასაკმარისი სიზუსტე შეიძლება ხელოვნური ნეიორნული ქსელის უნარით თვითსწავლების უნარზე მონაცემებში იპოვოს დაფარული და გაუგებარი კავშირები. ხელოვნური ნეირონული ქსელის მნიშვნელოვან თვისებას წარმოადგენს უნარი გარე გარემოს ცვლილებებზე დამიკიდებულებით შეიცვალოს თავისი ქცევა და ცოდნა.

ელექტროენერგიის მოხმარების პროგნოზირებისათვის ნეირონული ქსელის ასაგებად აუცილებელია მათზე მოქმედი ფაქტორების გათვალისწინება. ფაქტორების დასადგენად ჩატარებულ იქნა კორელაციური ანალიზი. კორელაციური მატრიცის შესადგენად [47,69] გამოთვლილია შერჩევითი საშუალოები:

$$\bar{\xi}_j = \frac{1}{n} \sum_{i=1}^n x_j \quad (1) \quad \bar{y}_j = \frac{1}{n} \sum_{i=1}^n y_i \quad (2) \quad \text{და} \quad \text{შერჩევითი} \quad \text{საშუალო}$$

$$\text{კვადრატული} \quad \text{გადახრები:} \quad s_{\xi_j}^2 = \sum_{i=1}^n \bar{\xi}_j^2 - \frac{n}{i} (\bar{\xi})^2 \quad (3) \quad \text{და} \quad s_{\bar{y}_j}^2 = \sum_{i=1}^n \bar{y}_j^2 - \frac{n}{i} (\bar{y})^2 \quad (4)$$

კორელაციის შერჩევითი კოეფიციენტი ტოლია:

$$\rho_j = \frac{\sum_{i=1}^n x_j \cdot y - n \cdot \bar{x}_j \cdot \bar{y}_j}{n \cdot s_{\xi_j} \cdot s_{\tau_j}} \quad (5) \quad \text{სადაც, } j - \text{ფაქტორის } \text{ნომერი, } i - \text{წელი, } n -$$

წლების რაოდენობა.

საწყისი ინფორმაციის სახით ანალიზისა და ექსპერტული შეფასების საფუძველზე ელექტროენერგიის მოხმარებასთან კავშირის დასადგენად განხილულია 16 საწყისი ფაქტორი. მათ შორის, პარის მინიმალური და მაქსიმალური ტემპერატურა, ქარის სიჩქარე, ნალექები, დღის ხანგრძლივობა, სადღესასწაულო და უქმე დღეებში ელექტროენერგიის მოხმარება, საპროგნოზო პერიოდში დამატებით მიერთებული მომხარებლების რაოდენობა, ბუნებრივი გაზის მოხმარება.

კორელაციური ანალიზის ჩასატარებლად საჭირო საწყისი ინფორმაცია მოცემულია №2 ცხრილში:

ცხრილი №2 ელექტროენერგიის მოკლევადიან მოხმარებაზე
მოქმედი ფაქტორები

№	ფაქტორი	აღნიშვნა	შენიშვნა
1	1 დღის წინ არსებული მოხმარება	X ₁	მლნ. კვტ. სთ
2	2 დღის წინ არსებული მოხმარება	X ₂	მლნ. კვტ. სთ
3	3 დღის წინ არსებული მოხმარება	X ₃	მლნ. კვტ. სთ
4	4 დღის წინ არსებული მოხმარება	X ₄	მლნ. კვტ. სთ
5	5 დღის წინ არსებული მოხმარება	X ₅	მლნ. კვტ. სთ
6	6 დღის წინ არსებული მოხმარება	X ₆	მლნ. კვტ. სთ
7	7 დღის წინ არსებული მოხმარება	X ₇	მლნ. კვტ. სთ
8	დღე	X ₈	დღის ნომერი (1,2,3,...,7)
9	14 დღის წინ არსებული მოხმარება	X ₉	მლნ. კვტ. სთ
10	მინიმალური ტემპერატურა	X ₁₀	გრადუსი
11	მაქსიმალური ტემპერატურა	X ₁₁	გრადუსი
12	დღის განმავლობაში ქარის საშუალო სიჩქარე	X ₁₂	კუბური მეტრი წამში
13	დღის განმავლობაში ნალექების საშუალო რაოდენობა	X ₁₃	მმ
14	დღის ხანგრძლივობა	X ₁₄	სთ და წუთი
15	დღესასწაული	X ₁₅	(0 ან 1)
16	დამატებით მიერთებულ მომხარებელთა	X ₁₆	რაოდენობა/

	რაოდენობა/სიმძლავრე		მგვტ
17	ელექტროენერგიის დღის მოთხოვნა საპროგნოზო პერიოდში	Y	მლნ. კვტ. სთ

კორელაციური ანალიზის მიღებული მნიშვნელობების საფუძველზე განხორციელებულია ელექტროენერგიის მოკლევადიან მოხმარებაზე მოქმედი საბოლოო ფაქტორების ფორმირება, კერძოდ ნაკლებად კორელირებადი ფაქტორი ამოღებულ იქნება მოდელიდან.

სელოგნური ნეირონული ქსელების მეშვეობით ელექტროენერგიის მოხმარების მოკლევადიანი პროგნოზის განსახორციელებლად აუცილებელია შემავალი და გამომავალი ფაქტორების ერთმანეთთან დაკავშირება. შემავალი და გამომავალი ფაქტორები ერთმანეთს უკავშირდებიან $F(k)$ აქტივაციის ფუნქციით [40,41,43,47,48,49,50].

სიგნალის გადაცემის მექანიზმის გასაგებად განხილულია ნეირონი, რომელშიც შემოდის (w_1, w_2, \dots, w_k) (6) წახნაგის გავლით სიგნალები (x_1, x_2, \dots, x_k) (7). ჯამური შეწონილი სიგნალი ტოლია:

$$net = \sum_{i=1}^k w_i x_i. \quad (8)$$

გამომავალი სიგნალი ნეირონზე იანგარიშება როგორც

$$output = f(net). \quad (9)$$

სადაც, $F(net)$ ფუნქციას ეწოდება შემომსაზღვრელი ან აქტივაციის ფუნქცია.

მსოფლიო პრაქტიკაში [40,41,43,47,48,49,50] გავრცელებულია $F(k)$ აქტივაციის შემდეგი ფუნქციები: ლოგისტიკურ-სიგმოიდური, ზღვრული, ჰიპერბოლურ-ტანგენსური, ნულოვანი ლოგისტიკურ-სიგმოიდური, ბიპოლარულ-სიგმოიდური.

აქტივაციის ფუნქციის სახის შესარჩევად ჩატარდა ექსპერიმენტალური კვლევა. ჩამოთვლილი ფუნქციებიდან ოპტიმალურის შერჩევას საფუძვლად დაედო საშუალო კვადრატული შეცდომის მინიმუმის

კრიტერიუმი [40,41,43,47,48,49,50]. საშუალო კვადრატული შეცდომა გამოთვლილია შემდეგი ფორმულით:

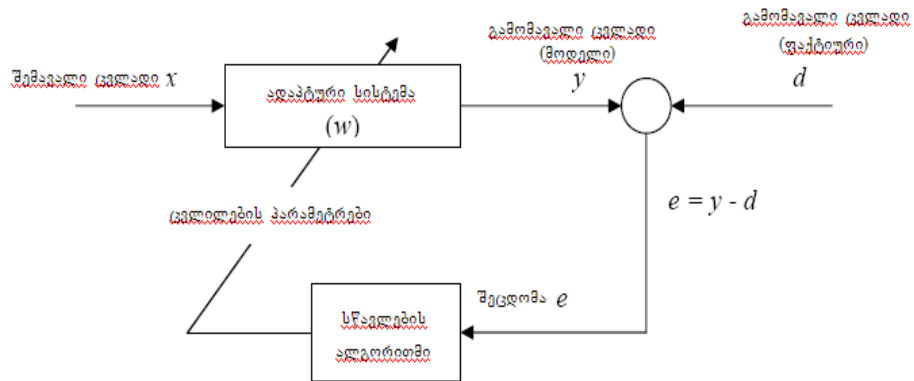
$$J(n) = \frac{1}{2} \sum_k e_k^2(n) \quad (10) \quad \text{სადაც, } e_k(n) = y_k(n) - d_k(n) \quad (11)$$

$d_k(n)$ – ფაქტიური მნიშვნელობა k ნეირონის n დროს, $Y_k(n)$ – მოდელით მიღებული მნიშვნელობა k ნეირონის n დროს.

ნეირონული ქსელის შემდგომი ოპტიმიზაცია ხდება $Y_k(n)$ მნიშვნელობის მინიმიზაციით ფაქტორების სხვადასხვა წონების გათვალისწინებით. მათი წონების ცვალებადობის ფორმულას აქვს შემდეგი სახე:

$$\Delta w_{kj} = \eta e_k(n)x_j(n) \quad (12)$$

აღნიშნული კრიტერიუმით შემუშავებულია ფაქტიური და მოდელით განსაზღვრულ გამომავალ ფაქტორებს შორის მინიმიზაციისათვის შეცდომების გასწორების ალგორითმი, რომელსაც აქვს ნახაზი. №1-ზე მოცემული სახე:



ნახაზი. №1 შეცდომების გასწორების ალგორითმი

ხელოვნური ნეირონული ქსელის სტრუქტურების ანალიზის შედეგად მივედით იმ დასკვნამდე, რომ ელექტროენერგიის მოხმარების მოკლევადიანი პროგნოზირებისათვის უმჯობესია გამოყენებული იქნება

ხელოვნური ნეირონული ქსელის კონფიგურაცია პირდაპირი გავრცელების (აერცეპტონები) შეცდომის უკუ გავრცელების მეთოდით სწავლება. ხელოვნური ნეირონული ქსელის სტრუქტურის შერჩევის დროს გათვალისწინებული იქნა დაფარული შრეების და ამ შრეებში ნეირონების ისეთი რაოდენობა, რომლებიც სრულად აქმაყოფილებენ ელექტროენერგიის მოთხოვნის მოკლევადიანი პროგნოზის სიზუსტისადმი მოთხოვნას.

ზემოთ ჩამოყალიბებული მეთოდოლოგიის შესაბამისად შემუშავებულ იქნა ელექტროენერგეტიკულ სისტემის დატვირთვის კვანძების ელექტროენერგიის მოხმარების მოკლევადიანი (დღე-დამური/საათობრივი) პროგნოზირების ალგორითმი, რომელსაც აქვს ცხრილ №3-ში მოცემული სახე:

ცხრილი №3 ელექტროენერგეტიკული სისტემის დატვირთვის კვანძის ალექტროენერგიის მოხმარების მოკლევადიანი პროგნოზირების ალგორითმი

	დასაწყისი
1	
2	ელექტროენერგეტიკულ სისტემაში არსებული i ($i=1,\dots,n$) დატვირთვის კვანძების სიის ფორმირება
3	i ($i=1,\dots,n$) დატვირთვის კვანძების ელექტროენერგიის დღე-დამური (საათობრივი) მოხმარების წარსული j ($j=1,\dots,m$) მონაცემების ფორმირება
4	i ($i=1,\dots,n$) დატვირთვის კვანძების ელექტროენერგიის მოხმარებაზე მოქმედი საწყისი X_i ($i=1,\dots,k$) ფაქტორების (ადგილმდებარეობის მიხედვით) ფორმირება
5	კორელაციური ანალიზის საფუძველზე i ($i=1,\dots,n$) დატვირთვის კვანძების ელექტროენერგიის მოხმარებაზე მოქმედი საბოლოო X_i ($i=1,\dots,k$) ფაქტორების ფორმირება
6	ექსპერიმენტალური კვლევის საფუძველზე i ($i=1,\dots,n$) დატვირთვის კვანძებისთვის აქტივაციის ფუნქციის და ნეირონების ფარული და არაფარული შრეების რაოდენობის შერჩევა
7	i ($i=1,\dots,n$) დატვირთვის კვანძების ელექტროენერგიის მოხმარების მოკლევადიანი (დღე-დამური/საათობრივი) მოდელების შერჩევა
8	შერჩეული მოდელის საფუძველზე i ($i=1,\dots,n$) დატვირთვის კვანძების ელექტროენერგიის მოკლევადიანი (საათობრივი/დღე-დამური) მოხმარების პროგნოზირება
9	დასასრული

1.2 ექსპერიმენტული ნაწილი

შემუშავებული მეთოდიკა აპრობირებულ იქნა სს “თელასი”-ს მაგალითზე. საწყისი ინფორმაციის სახით გამოყენებულია სს “თელასი”-ს მიერ 2011 წლის მარტის თვეში მოხმარებული ელექტროენერგიის მაჩვენებლები [70,71,72]. ელექტროენერგიის მოხმარებასთან კავშირის დასადგენად განხილულია ცხრილ №2-ში მოცემული საწყისი 16 ფაქტორი. კორელაციური ანალიზის ჩასატარებლად საჭირო საწყისი ინფორმაცია მოცემულია №4 ცხრილში:

ცხრილი №4 ელექტროენერგიის მოკლევადიან მოხმარებაზე მოქმედი ფაქტორების მნიშვნელობები

Nº	X1	X2	X3	X4	X5	X6	X7	X8	X9	X10
1	7,5	7,215	7,493	7,54	7,946	8,09	8,001	2	8,193	-1
2	7,614	7,5	7,215	7,493	7,54	7,946	8,09	3	7,985	-2
3	7,214	7,614	7,5	7,215	7,493	7,54	7,946	4	7,499	2
4	7,001	7,214	7,614	7,5	7,215	7,493	7,54	5	8,201	5
5	6,567	7,001	7,214	7,614	7,5	7,215	7,493	6	7,808	8
6	6,488	6,567	7,001	7,214	7,614	7,5	7,215	7	7,43	7
7	6,093	6,488	6,567	7,001	7,214	7,614	7,5	1	7,756	6
8	6,977	6,093	6,488	6,567	7,001	7,214	7,614	2	8,001	5
9	6,933	6,977	6,093	6,488	6,567	7,001	7,214	3	8,09	3
10	7,023	6,933	6,977	6,093	6,488	6,567	7,001	4	7,946	3
11	7,359	7,023	6,933	6,977	6,093	6,488	6,567	5	7,54	3
12	7,338	7,359	7,023	6,933	6,977	6,093	6,488	6	7,493	3
13	6,584	7,338	7,359	7,023	6,933	6,977	6,093	7	7,215	2
14	6,144	6,584	7,338	7,359	7,023	6,933	6,977	1	7,5	6
15	6,269	6,144	6,584	7,338	7,359	7,023	6,933	2	7,614	6
16	6,122	6,269	6,144	6,584	7,338	7,359	7,023	3	7,214	5
17	5,887	6,122	6,269	6,144	6,584	7,338	7,359	4	7,001	6

გაგრძელება:

Nº	X11	X12	X13	X14	X15	X16	Y
1	9	13,6	0	11:03	0	3832/119	7,614
2	16	18,2	0	11:06	0	0	7,214
3	18,4	24,5	0	11:12	0	0	7,001
4	19	16,4	0	11:15	0	0	6,567
5	14,2	23,6	0	11:16	0	0	6,488
6	21	26,6	0	11:19	0	0	6,093
7	10,2	19	0,8	11:22	0	0	6,977

8	12,5	44,9	1	11:23	0	0	6,933
9	9	36,4	0	11:26	0	0	7,023
10	10	54,4	0	11:30	0	0	7,359
11	10,4	48,9	0	11:33	0	0	7,338
12	15,5	35,1	0	11:34	0	0	6,584
13	22	22,2	0	11:37	0	0	6,144
14	22	25,3	0	11:40	0	0	6,269
15	20,8	21,7	0	11:44	0	0	6,122
16	22	24,5	0	11:47	0	0	5,887
17	23	22	0	11:50	0	0	5,857

კორელაციური ანალიზის შედეგები ასახულია №5 ცხრილში:

ცხრილი №5 კორელაციური ანალიზის შედეგები

ფაქტორი	X1	X2	X3	X4	X5	X6	X7	X8	X9	X10	X11
მოხმარება	0,64	0,17	-0,17	-0,24	-0,13	0,18	0,44	-0,49	0,59	-0,66	-0,87

გაგრძელება:

ფაქტორი	X12	X13	X14	X15	X16
მოხმარება	-0,61	-0,82	0,26	0,11	0,43

კორელაციური ანალიზის ცხადყოფს, რომ ყველა შერჩეულ ფაქტორს გააჩნია საკმარისად დიდი კორელაცია ელექტროენერგიის მოხმარებასთან მიმართებაში. შესაბამისად ცხრილ №2-ში მოცემული თექვსმეტივე ფაქტორი ჩართულია მოკლევადიანი მომხარების პროგნოზირების მოდელში.

ზემოთ ჩამოყალიბებული მეთოდოლოგიის და ცხრილი №4-ის მონაცემების საფუძველზე პროგრამული პაკეტის PredictorXL მეშვეობით, სხვადასხვა აქტივაციის ფუნქციის, ნეირონების არაფარული და ფარული შრეების სხვადასხვა რაოდენობების მიხედვით ექსპრიმენტით დადგენილ იქნა ქ. თბილისში ელექტროენერგიის მოთხოვნის მოკლევადიანი პროგნოზირების (დღიური) ოპტიმალური მოდელი. ჩატარებულმა კვლევამ აჩვენა, რომ ქ. თბილისის ელექტროენერგიის მოხმარების მოკლევადიანი პროგნოზის ყველაზე დიდი სიზუსტით განხორციელება შესაძლებელია,

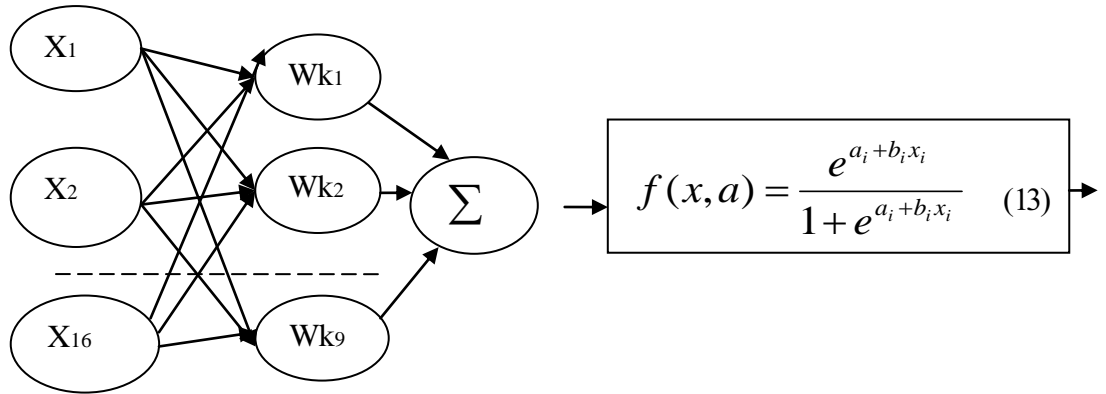
ნეირონების ფარული შრეების – 2 და აქტივაციის ლოგისტიკურ-სიგმოიდური ფუნქციით.

$$\text{ამ ფუნქცია აქვს შემდეგი სახე: } f(x, a) = \frac{e^{a_i + b_i x_i}}{1 + e^{a_i + b_i x_i}} \quad (13)$$

სადაც, X – ელექტროენერგიის მოხმარებაზე მოქმედი X_i ფაქტორია;

a_i და b_i – რეგრესიის კოეფიციენტებია;

ზემოთ მოყვანილი მონაცემების საფუძველზე ქ. თბილისში ელექტროენერგიის მოხმარების მოკლევადიანი (დღიური) პროგნოზირების ხელოვნური ნეირონული ქსელების მოდელს აქვს შემდეგი ნახაზი. №2-ში მოყვანილი სახე:



ნახაზი. №2 ქ. თბილისის ელექტროენერგიის მოხმარების მოკლევადიანი (დღიური) პროგნოზირების მოდელი

ნახაზი. №2-ებ მოცემული ხელოვნური ნეირონული ქსელის მოდელის და №4 ცხრილში მოყვანილი მონაცემების საფუძველზე გაკეთებულია მომავალი პერიოდის (1 დღე) მოკლევადიანი პროგნოზი: (იხ. ცხრილი №6, №7 და ნახაზი. №3):

პარალელურად მრავალფაქტორული მოდელის მეშვეობით გაკეთდა მომავალი 3 დღის პროგნოზირება [69]. მრავალფაქტორული მოდელის შესადგენი და მისი კოეფიციენტების გამოსათვლელი განტოლებათა სისტემა მიიღებს სახეს:

$$\begin{aligned}
& 7,5x_1 + 7,215x_2 + 7,493x_3 + 7,54x_4 + 7,946x_5 + 8,09x_6 + 8,001x_7 + 2x_8 + 8,193x_9 - \\
& - x_{10} + 9x_{11} + 13,6x_{12} + 11,3x_{14} + 119x_{16} = 7,614 \\
& 7,614x_1 + 7,5x_2 + 7,215x_3 + 7,493x_4 + 7,54x_5 + 7,946x_6 + 8,09x_7 + 8,09x_7 + 3x_8 + \\
& + 7,985x_9 - 2x_{10} + 16x_{11} + 18,2x_{12} + 11,06x_{14} = 7,214 \\
& 7,214x_1 + 7,614x_2 + 7,5x_3 + 7,215x_4 + 7,493x_5 + 7,54x_6 + 7,946x_7 + 4x_8 + 7,499x_9 + \\
& + 2x_{10} + 18,4x_{11} + 24,5x_{12} + 11,12x_{14} = 7,001 \\
& 7,001x_1 + 7,214x_2 + 7,614x_3 + 7,5x_4 + 7,215x_5 + 7,493x_6 + 7,54x_7 + 5x_8 + 8,201x_9 + \\
& + 5x_{10} + 19x_{11} + 16,4x_{12} + 11,15x_{14} = 6,567 \\
& 6,567x_1 + 7,001x_2 + 7,214x_3 + 7,614x_4 + 7,5x_5 + 7,215x_6 + 7,493x_7 + 6x_8 + 7,808x_9 + \\
& + 8x_{10} + 14,2x_{11} + 23,6x_{12} + 11,16x_{14} = 6,488 \tag{14} \\
& 6,488x_1 + 6,567x_2 + 7,001x_3 + 7,214x_4 + 7,614x_5 + 7,5x_6 + 7,215x_7 + 7x_8 + 7,43x_9 + \\
& + 7x_{10} + 21x_{11} + 26,6x_{12} + 11,19x_{14} = 6,093 \\
& 6,093x_1 + 6,488x_2 + 6,567x_3 + 7,001x_4 + 7,214x_5 + 7,614x_6 + 7,5x_7 + x_8 + 7,756x_9 + \\
& + 6x_{10} + 10,2x_{11} + 19x_{12} + 0,8x_{13} + 11,22x_{14} = 6,977 \\
& 6,977x_1 + 6,093x_2 + 6,488x_3 + 6,5671x_4 + 7,001x_5 + 7,214x_6 + 7,614x_7 + 2x_8 + 8,001x_9 + \\
& + 5x_{10} + 12,5x_{11} + 44,9x_{12} + x_{13} + 11,23x_{14} = 6,933 \\
& 6,977x_1 + 6,093x_2 + 6,488x_3 + 6,5671x_4 + 7,001x_5 + 7,214x_6 + 7,614x_7 + 2x_8 + 8,001x_9 + \\
& + 5x_{10} + 12,5x_{11} + 44,9x_{12} + x_{13} + 11,23x_{14} = 6,933 \\
& 6,933x_1 + 6,977x_2 + 6,093x_3 + 6,488x_4 + 6,5671x_5 + 7,001x_6 + 7,214x_7 + 3x_8 + 8,09x_9 + \\
& + 3x_{10} + 9x_{11} + 36,4x_{12} + 11,26x_{14} = 7,023 \\
& 7,023x_1 + 6,933x_2 + 6,977x_3 + 6,093x_4 + 6,488x_5 + 6,5671x_6 + 7,001x_7 + 4x_8 + 67,946x_9 + \\
& + 3x_{10} + 10x_{11} + 54,4x_{12} + 11,3x_{14} = 7,359 \\
& 7,359x_1 + 7,023x_2 + 6,933x_3 + 6,977x_4 + 6,093x_5 + 6,488x_6 + 6,5671x_7 + 5x_8 + 7,54x_9 + \\
& + 3x_{10} + 10,4x_{11} + 48,9x_{12} + 11,33x_{14} = 7,338 \\
& 7,338x_1 + 7,359x_2 + 7,023x_3 + 6,933x_4 + 6,977x_5 + 6,093x_6 + 6,488x_7 + 6x_8 + 7,493x_9 + \\
& + 3x_{10} + 15,5x_{11} + 35,1x_{12} + 11,34x_{14} = 6,584 \\
& 6,584x_1 + 7,338x_2 + 7,359x_3 + 7,023x_4 + 6,933x_5 + 6,977x_6 + 6,093x_7 + 7x_8 + 7,215x_9 + \\
& + 2x_{10} + 22x_{11} + 22,2x_{12} + 11,37x_{14} = 6,144 \\
& 6,144x_1 + 6,584x_2 + 7,338x_3 + 7,359x_4 + 7,023x_5 + 6,933x_6 + 6,977x_7 + x_8 + 7,5x_9 + \\
& + 6x_{10} + 22x_{11} + 25,3x_{12} + 11,4x_{14} = 6,269
\end{aligned}$$

მრავალფაქტორიან მოდელს ძებნ შემდეგი სახე:

$$\begin{aligned}
y &= 0.846928x_1 + 0.542948x_3 - 0.38486x_4 + 0.12242x_5 + \\
& + 0.72379x_6 - 0.45708x_7 - 0.15163x_8 - 0.41705x_9 + \\
& + 0.066227x_{10} - 0.09715x_{11} + 0.002387x_{12} - 0.33725x_{13} - \tag{15} \\
& - 0.0053x_{16} + 2.183897
\end{aligned}$$

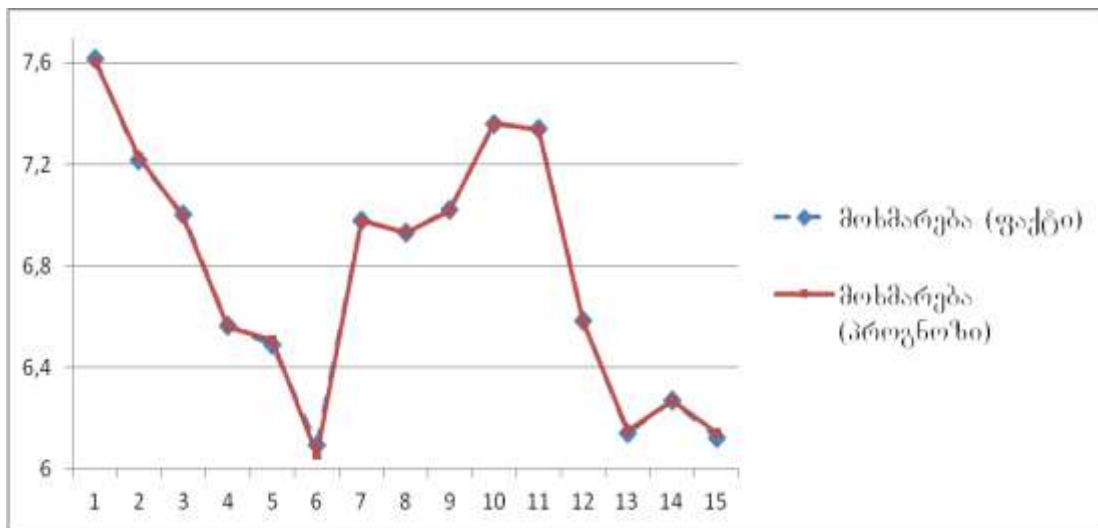
მოდელის ადეპვატურობის შემოწმებისათვის საპროგნოზო
მოდელში არ იქნა ჩართული ბოლო 1 დღის მაჩვენებელი და ჩატარდა
შედარებითი ანალიზი მრავალფაქტორიანი მოდელის შედეგებთან.

ცხრილი №6 ფაქტიური პერიოდის საპროგნოზო მაჩვენებლები და
პროცენტული გადახრა

№	ქ. თბილისის 2011 წ. მარტის თვის ელექტროენერგიის მოხმარება (ფაქტიური)	მოხმარება (პროგნოზი)	პროცენტული გადახრა, %
		მოდელის სტრუქტურა: 16-9-1	
		ნულოვანი ლოგარითმული- სიგმოიდური ფუნქცია	
		11500 იტერაცია	
1	7,614	7,605	0,018
2	7,214	7,228	0,022
3	7,001	6,994	-0,034
4	6,567	6,559	-0,015
5	6,488	6,506	-0,104
6	6,093	6,055	0,619
7	6,977	6,978	0,044
8	6,933	6,933	-0,072
9	7,023	7,017	-0,042
10	7,359	7,365	0,011
11	7,338	7,335	0,025
12	6,584	6,581	0,016
13	6,144	6,152	-0,232
14	6,269	6,270	-0,008

ცხრილი №7 საპროგნოზო პერიოდის (სამი დღის) პროგნოზი და პროცენტული
გადახრა სხვადასხვა მეთოდთან შედარებით

№	ქ. თბილისის 2011 წ. მარტის თვის ელექტრო ენერგიის მოხმარება (ფაქტიური)	მოხმარების (პროგნოზი)	პროცენტული გადახრა %		
		მოდელის სტრუქტურა: 16-2-1			
		ნულოვანი ლოგარითმული- სიგმოიდური ფუნქცია			
1	6,122	6,14	6,001	0,29	2



ნახაზი №3 ქ. თბილისის ელ.ენერგიის მოხმარების 2011 წლის მარტის თვის
უოველდღიური ფაქტიური და საპროგნოზო მაჩვენებლები
(ხელოვნური ნეირონული ქსელის მოდელით მიღებული)

ცხრილ №7-ში მიღებული შედეგები ცხადყოფს ნეირონული ქსელის უპირატესობას მრავალფაქტორიან მოდელთან შედარებით, თუმცა უნდა აღინიშნოს, რომ მასაც საკმაო სიზუსტით შეუძლია მოკლევადიანი პროგნოზის გაკეთება.

I თავის დასკვნა

ჩატარებული კვლევების შედეგებიდან გამომდინარე გაკეთებულია შემდეგი დასკვნები:

1. კორელაციური ანალიზის საფუძველზე დადგენილია ელექტროენერგიის მოკლევადიან მოხმარებაზე მოქმედი ფაქტორები;
2. დამუშავდა ელექტროენერგეტიკულ სისტემაში ელექტროენერგიის მოხმარების მოკლევადიანი პროგნოზირების მეთოდიკა და შესაბამისი ალგორითმი;
3. შემუშავებული მეთოდიკა აპრობირებულ იქნა ქ. თბილისის მაგალითზე. ქ. თბილისში ელექტროენერგიის მოხმარების მოკლევადიანი

პროგნოზირებისათვის შეირჩა ხელოვნური ნეირონული ქსელის სტრუქტურა და კონფიგურაცია, აქტივაციის ფუნქცია და შემუშავდა ელექტროენერგიის მოხმარების პროგნოზირების ოპტიმალური მოდელი. მიღებული შედეგი ცხადყოფს შემუშავებული მეთოდის უპირატესობას სხვა მეთოდებთან შედარებით.

4. ელექტროენერგიის მოხმარების მოკლევადიანი პროგნოზირების შემუშავებული ოპტიმალური მეთოდიკა და ალგორითმი ატარებს უნივერსალურ ხასიათს. აღნიშნული მეთოდიკით შესაძლებელია ნებისმიერი ქალაქის, რაიონის და მთელი ქვეყნის ელექტროენერგიის მოხმარების (საათობრივი/დღე-დამური) მოკლევადიანი პროგნოზის მაღალი სიზუსტით შესრულება. პროგნოზირების მიღებული მოდელი და ალგორითმი საშუალებას იძლევა განხორციელდეს ელექტროენერგეტიკული სისტემის ოპტიმალური ოპერატიული მართვა, მოკლევადიან პერიოდში მუშაობის სრულყოფილი დაგეგმვა, რეჟიმების სათანადო სიზუსტით გაანგარიშება, ელექტროსადგურებსა და ელექტრულ ქსელებს შორის დატვირთვების ოპტიმალური განაწილება, ელექტროენერგიის მოხმოვნის დაკვეთილ სიდიდიდან მინიმალური გადახრის უზრუნველყოფა.

თავი II. ელექტროენერგეტიკულ სისტემაში განუსაზღვრელობის პირობებში აქტიური სიმძლავრის ოპერატიული რეზერვის ოპტიმალური დაგეგმვა

2.1 ამოცანის დასმა და პრობლემის გადაწყვეტის მეთოდოლოგია

ელექტროენერგეტიკულ სისტემებში მაგენენირებელი სიმძლავრეების რეზერვირება წარმოადგენს სისტემის ფუნქციონირების საიმედოობის ამაღლების ერთ-ერთ უმნიშვნელოვანეს ფაქტორს. სიმძლავრის ოპერატიული რეზერვის აუცილებელი სიდიდის, ოპტიმალური სტრუქტურის შენარჩუნების და მობილურობის შექმნა რთული საანგარიშო და საექსპლუატაციო ამოცანაა. ამ ამოცანის ეფექტურად გადაწყვეტა ელექტროენერგეტიკულ სისტემას საშუალებას აძლევს დროულად მოახდინოს აქტიური სიმძლავრის დაუბალანსებლობის კომპენსაცია და განახაზიორციელოს თავისი ძირითადი ფუნქცია, სათანადო ხარისხის ელექტროენერგიით მომხმარებლების უწყვეტი მომარაგება.

მუშაობის ნორმალური და ავარიული რეჟიმების რეალიზაციის პირობებში ქვეყნის ელექტროენერგეტიკული სისტემისათვის სიმძლავრის რეზერვირების სირთულე და პრობლემის აქტუალობა განპირობებულია ელექტროსადგურების და ქსელების ძირითადი მოწყობილობების სიძველით, სათბობის ბალანსის სტრუქტურის არახელსაყრელი ცვლილებით და მისი შესრულების სირთულით, სიმძლავრის რეზერვირების ნორმატიული და მარეგლამენტირებელი დოკუმენტების არასრულყოფილებით.

წარმოდგენილ ნაშრომში შემოთავაზებულია ოპერატიული რეზერვის სიდიდის განსაზღვრის ახალი მეთოდიკა, რაც ეფუძნება მაგენენირებელი სიმძლავრეების ავარიული გამორთვების სტატისტიკის და ელექტროენერგეტიკული სისტემისთვის დროის გარკვეულ მონაკვეთში (საათი) საიმედოობის სხვადასხვა დონის მაჩვენებლებს. ჩატარებული

კვლევებით დადგენილია, რომ ელექტროენერგეტიკული სისტემისთვის დროის გარკვეულ მონაკვეთში (საათი) მისაღები რისკის დონის განსაზღვრა დამოკიდებულია დატვირთვის კვანძების იმ პერიოდში არსებული დატვირთვების სიდიდეებსა და საიმედოობის დონეზე.

ელექტროენერგეტიკულ სისტემაში შესაძლო შემფოთებების სხვადასხვა სცენარების საფუძველზე მაგნიტორეზელი წყაროების აქტიური სიმძლავრის მოცდენის შეფასებისათვის გამოყენებულია ზოგად ალბათურ-ვარიანტული ალგორითმი [53,54,55,58], რომელიც მოცემულია ცხრილ №8-ში:

ცხრილი №8 აქტიური სიმძლავრის მოცდენის შეფასების ზოგადი ალბათურ-ვარიანტული ალგორითმი

სკენარიо №	გენერატორი			$P_{1max} + P_{2max} + P_{nmax}$ (16)	$P_{1max} + P_{2max} + P_{nmax}$ (17)	$P_{1max} + P_{2max} + P_{nmax}$ (18)	P_{1max}	P_{2max}	$P_{r3} = (1 - ORR_1) * ORR_2 * \sum_{i=1}^2 (1 - ORR_i)$ (21)	$P_{r1} = \sum_{i=1}^n (1 - ORR_i)$ (20)	$P_{r2} = ORR_3 * \sum_{i=1}^2 (1 - ORR_i)$ * $\sum_{i=1}^2 (1 - ORR_3)$ (22)	$\sum_{i=1}^n (1 - ORR_i)$ $\sum_{i=1}^2 (1 - ORR_3)$ (23)	$\sum_{i=1}^n (1 - ORR_i)$ $\sum_{i=1}^2 (1 - ORR_3)$ (24)
	1	2	n										
1	1	1	1	$P_{1max} + P_{2max} + P_{nmax}$ (16) <td>$P_{1max} + P_{2max} + P_{nmax}$ (17)</td> <td>$P_{1max} + P_{2max} + P_{nmax}$ (18)</td> <td>0</td> <td>P_{1max}</td> <td>$P_{r3} = (1 - ORR_1) * ORR_2 * \sum_{i=1}^2 (1 - ORR_i)$ (21)</td> <td>$P_{r1} = \sum_{i=1}^n (1 - ORR_i)$ (20)</td> <td>$P_{r2} = ORR_3 * \sum_{i=1}^2 (1 - ORR_i)$ * $\sum_{i=1}^2 (1 - ORR_3)$ (22)</td> <td>$\sum_{i=1}^n (1 - ORR_i)$ $\sum_{i=1}^2 (1 - ORR_3)$ (23)</td> <td>$\sum_{i=1}^n (1 - ORR_i)$ $\sum_{i=1}^2 (1 - ORR_3)$ (24)</td>	$P_{1max} + P_{2max} + P_{nmax}$ (17)	$P_{1max} + P_{2max} + P_{nmax}$ (18)	0	P_{1max}	$P_{r3} = (1 - ORR_1) * ORR_2 * \sum_{i=1}^2 (1 - ORR_i)$ (21)	$P_{r1} = \sum_{i=1}^n (1 - ORR_i)$ (20)	$P_{r2} = ORR_3 * \sum_{i=1}^2 (1 - ORR_i)$ * $\sum_{i=1}^2 (1 - ORR_3)$ (22)	$\sum_{i=1}^n (1 - ORR_i)$ $\sum_{i=1}^2 (1 - ORR_3)$ (23)	$\sum_{i=1}^n (1 - ORR_i)$ $\sum_{i=1}^2 (1 - ORR_3)$ (24)
2	1	1	0	$P_{1max} + P_{2max} + P_{nmax}$ (16) <td>$P_{1max} + P_{2max} + P_{nmax}$ (17)</td> <td>$P_{1max} + P_{2max} + P_{nmax}$ (18)</td> <td>P_{2max}</td> <td>P_{2max}</td> <td>$P_{r3} = (1 - ORR_1) * ORR_2 * \sum_{i=1}^2 (1 - ORR_i)$ (21)</td> <td>$P_{r1} = \sum_{i=1}^n (1 - ORR_i)$ (20)</td> <td>$P_{r2} = ORR_3 * \sum_{i=1}^2 (1 - ORR_i)$ * $\sum_{i=1}^2 (1 - ORR_3)$ (22)</td> <td>$\sum_{i=1}^n (1 - ORR_i)$ $\sum_{i=1}^2 (1 - ORR_3)$ (23)</td> <td>$\sum_{i=1}^n (1 - ORR_i)$ $\sum_{i=1}^2 (1 - ORR_3)$ (24)</td>	$P_{1max} + P_{2max} + P_{nmax}$ (17)	$P_{1max} + P_{2max} + P_{nmax}$ (18)	P_{2max}	P_{2max}	$P_{r3} = (1 - ORR_1) * ORR_2 * \sum_{i=1}^2 (1 - ORR_i)$ (21)	$P_{r1} = \sum_{i=1}^n (1 - ORR_i)$ (20)	$P_{r2} = ORR_3 * \sum_{i=1}^2 (1 - ORR_i)$ * $\sum_{i=1}^2 (1 - ORR_3)$ (22)	$\sum_{i=1}^n (1 - ORR_i)$ $\sum_{i=1}^2 (1 - ORR_3)$ (23)	$\sum_{i=1}^n (1 - ORR_i)$ $\sum_{i=1}^2 (1 - ORR_3)$ (24)
3	1	0	1	$P_{1max} + P_{2max} + P_{nmax}$ (16) <td>$P_{1max} + P_{2max} + P_{nmax}$ (17)</td> <td>$P_{1max} + P_{2max} + P_{nmax}$ (18)</td> <td>P_{2max}</td> <td>P_{2max}</td> <td>$P_{r3} = (1 - ORR_1) * ORR_2 * \sum_{i=1}^2 (1 - ORR_i)$ (21)</td> <td>$P_{r1} = \sum_{i=1}^n (1 - ORR_i)$ (20)</td> <td>$P_{r2} = ORR_3 * \sum_{i=1}^2 (1 - ORR_i)$ * $\sum_{i=1}^2 (1 - ORR_3)$ (22)</td> <td>$\sum_{i=1}^n (1 - ORR_i)$ $\sum_{i=1}^2 (1 - ORR_3)$ (23)</td> <td>$\sum_{i=1}^n (1 - ORR_i)$ $\sum_{i=1}^2 (1 - ORR_3)$ (24)</td>	$P_{1max} + P_{2max} + P_{nmax}$ (17)	$P_{1max} + P_{2max} + P_{nmax}$ (18)	P_{2max}	P_{2max}	$P_{r3} = (1 - ORR_1) * ORR_2 * \sum_{i=1}^2 (1 - ORR_i)$ (21)	$P_{r1} = \sum_{i=1}^n (1 - ORR_i)$ (20)	$P_{r2} = ORR_3 * \sum_{i=1}^2 (1 - ORR_i)$ * $\sum_{i=1}^2 (1 - ORR_3)$ (22)	$\sum_{i=1}^n (1 - ORR_i)$ $\sum_{i=1}^2 (1 - ORR_3)$ (23)	$\sum_{i=1}^n (1 - ORR_i)$ $\sum_{i=1}^2 (1 - ORR_3)$ (24)

4	0	1	1	$P_{1max} + P_{2max} + P_{nmax}$ (19)	P_{3max}	$P_{r4} = ORR_1 * \sum_{i=1}^3 (1 - ORR_i)$ (14)	$\sum_{i=4}^8 P_{ri}$ (25)
N

სადაც, P_{r1} , P_{r2} , , P_{rn} - ი სცენარის ინდივიდუალური ალბათობაა; $\sum_{i=2}^8 P_{r2}$, $\sum_{i=2}^8 P_{r3}$, ..., $\sum_{i=2}^8 P_{rn}$ ი სცენარის ჯამური ალბათობაა; ORR_i - ი გენერატორის მზადყოფნის კოეფიციენტი; P - ი სცენარის ხელმისაწვდომი სიმძლავრე; P_{nmax} - ი გენერატორის მაქსიმალური გამომუშავება.

შენიშვნა: 1 - აღნიშნულია გენერატორის ჩართული მდგომარეობა,

0 - აღნიშნულია გენერატორის გამორთული მდგომარეობა.

ვინაიდან ელექტროენერგეტიკულ სისტემაში აქტიური სიმძლავრის ოპერატიული რეზერვის სიდიდის ცვალებადობა შემთხვევითი ხასიათისაა და მიმდინარეობს განუსაზღვრელობის პირობებში, ელექტროენერგეტიკული სისტემისთვის დროის გარკვეულ მონაკვეთში (საათი) მისაღები Y_t საიმედოობის დონის სწორად განსაზღვრაში ყველა სხვა ცნობილ მეთოდებთან შედარებით უპირატესობა ენიჭება არამკაფიო ლოგიკის მეთოდს [57,58,73].

კვლევებმა გვიჩვენა, რომ ელ. სისტემისათვის დროის გარკვეულ მონაკვეთში (საათი) მისაღები Y_s საიმედოობა უნდა შეფასდეს ორდონიანი არამკაფიო ლოგიკის მოდელის მეშვეობით. ამ მოდელის შემუშავებისათვის საჭიროა ისეთი X_1 , X_2, \dots, X_n ფაქტორების შერჩევა რომლებიც უზრუნველყოფენ Y_s საიმედოობის დონის სრულყოფილ შეფასებას. ანალიზის საფუძველზე შერჩეულ იქნა ორი ფაქტორი: X_1 - თითოეული დატვირთვის კვანძის საათობრივი დატვირთვა და X_2 - თითოეული დატვირთვის კვანძის საიმედოობის დონე.

პირველ დონეზე განხორციელდა თითოეული დატვირთვის კვანძის Y_1, Y_2, \dots, Y_i მისაღები რისკის დონის შეფასება X_1 და X_2 ფაქტორების საფუძველზე. მეორე დონეზე მოხდა Y_1, Y_2, \dots, Y_i რისკის დონეების საფუძველზე საბოლოო Y_s რისკის დონის შეფასება. ექსპერტული შეფასების საფუძველზე შედგენილია X_1 და X_2 მახასიათებლების გავლენის მატრიცა Y_1, Y_2, \dots, Y_i და Y_s საიმედოობის დონეზე. შედეგები მოცემულია ცხრილ №9-სა და №10-ში.

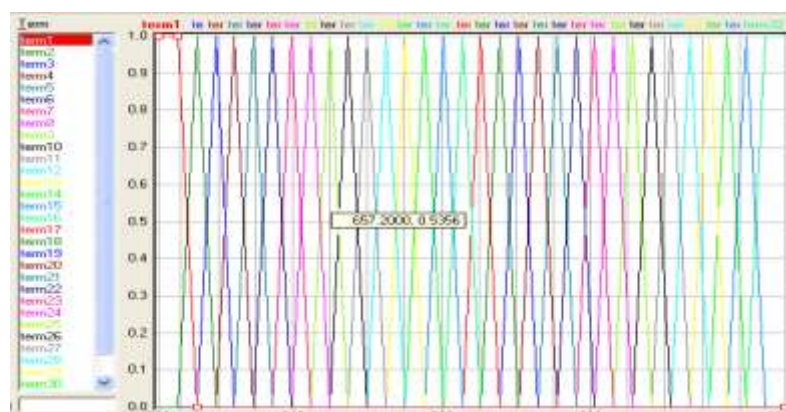
ცხრილი №9 პირველი დონისათვის X_1 და X_2 ფაქტორების გავლენა Y_1, Y_2, \dots, Y_i სიდიდეებზე

ფაქტორი	X1	X2
	ზრდა	ზრდა
Y_1, Y_2, \dots, Y_i	იზრდება	იზრდება

ცხრილი №10 მეორე დონისათვის Y_1, Y_2, \dots, Y_i რისკის მახასიათებლების გავლენა Y_s სიდიდეზე

ფაქტორი	Y_1, Y_2, \dots, Y_i
	ზრდა
Y_s	იზრდება

i დატვირთვის კვანძისთვის $X_1, X_2, Y_1, Y_2, \dots, Y_i$ და Y_s რისკის დონის მახასიათებლების არამკაფიო სიმრავლეზე დასაყვანად გამოყენებულია სამკუთხედის წევრის ფუნქცია და ყოველსაათობრივი მაჩვენებლები დაყოფილია 32 ნაწილად, რომელსაც აქვს ნახაზი. №4 მოცემული ზოგადი სახე:



ნახაზი. №4 სამკუთხედის წევრის ზოგადი ფუნქცია

X_1, X_2 მახასიათებლების დამოკიდებულების Y_1, Y_2, \dots, Y_i -ზე და Y_1, Y_2, \dots, Y_i მახასიათებლების Y_s რისკის დონეზე შეფასების ფუნქციური დამოკიდებულება:

$$Y_1, Y_2, \dots, Y_i = \psi_1(X_1, X_2), \quad (26)$$

$$Y_s = \psi_2(Y_1, Y_2, \dots, Y_i) \quad (27)$$

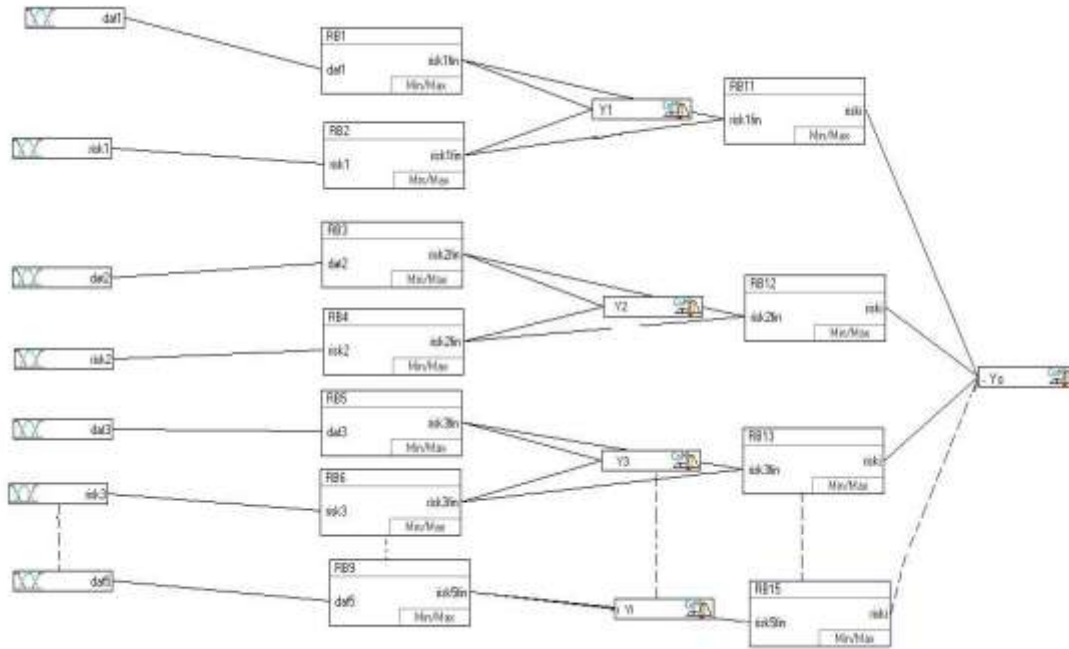
სადაც, ψ_1 და ψ_2 პროცედურაა, რომელიც შეიცავს წესების ბაზას და აკაგშირებს $X_1, X_2, Y_1, Y_2, \dots, Y_i$ და Y_s მახასიათებლებს ერთმანეთთან.

X_1 და X_2 მახასიათებლების გავლენის მატრიცის საფუძველზე i რაოდენობის დატვირთვის კვანძისათვის n რაოდენობის ჩამოყალიბებული წესების მიხედვით დგინდება ყოველ X_1 და X_2 მახასიათებლის ცვალებადობის გავლენა Y_t -ს მნიშვნელობაზე და Y_1, Y_2, \dots, Y_i -ს ცვალებადობის გავლენა Y_s მახასიათებელზე. ამ პროცესის აღწერა მოცემულია ნახაზი. №5-ზე:

#	IF dat1	THEN	
		Dos	risk1fin
1	term1	1.00	term32
2	term2	1.00	term31
3	term3	1.00	term30
4	term4	1.00	term29
5	term5	1.00	term28
6	term6	1.00	term27
7	term7	1.00	term26
8	term8	1.00	term25

ნახაზი. №5 ჩამოყალიბებული წესების ზოგადი სტრუქტურა სადაც, $term_i = X_1, X_2, Y_1, Y_2, \dots, Y_i$ და Y_s მახასიათებლების i ინტერვალია; Dos - i ინტერვალის შესაბამისი წესის წონაა;

წარმოდგენილი შემსვლელი ინფორმაციის დამუშავებისა (ფაზიფიკაცია) და საბოლოო შედეგის (დეფაზიფიკაცია) მისაღებად სხვადასხვა დატვირთვის კვანძის გათვალისწინებით შემუშავდა არამკაფიო მოდელირების პროცესის მიმდინარეობის ინტერაქტიული ზოგადი ბლოკ-სქემა (ნახაზი. №6).



ნახაზი. №6 არამკაფიო მოდელირების ინტერაქტიული ზოგადი ბლოკ-სქემა

სადაც, dat_i – i კვანძის საათობრივი დატვირთვაა; $risk_i$ – i დატვირთვის კვანძის მოთხოვნილი საათობრივი რისკის დონეა; $RB_i(dat_i)$ – i კვანძის i დატვირთვის Y_i რისკის დონეზე გავლენის წესების მაჩვენებელი ბლოკია; $RB_i(risk_i)$ – i დატვირთვის კვანძის i რისკის დონის Y_i რისკის დონეზე გავლენის წესების მაჩვენებელი ბლოკია; Y_1, \dots, Y_i – i დატვირთვის კვანძის შეფასებული რისკის დონეა; Y_s - ელექტროენერგეტიკული სისტემის ყოველსაათობრივი მისაღები რისკის დონეა.

საბოლოო შედეგის მიღება (დეფაზიფიკაცია) განხორციელდა მინიმაქსის მეთოდის გამოყენებით [57,58,73].

ჩატარებული პლაგების შედეგებიდან გამომდინარე შემუშავებულია ელექტროენერგეტიკული სისტემის ოპერატორული რეზერვის ყოველსაათობრივი სიდიდის განმსაზღვრელი ალგორითმი, რომელიც ასახულია ცხრილ №11-ში:

ცხრილი №11 ელექტროენერგეტიკული სისტემის ოპერატორული რეზერვის ყოველსათობრივი სიდიდის განმსაზღვრელი ალგორითმი

1	დასაწყისი
2	სცენარი № 1, 2, 3, . . N ფორმირება
3	შესაბამისი არამკაფიო ლოგიკის მოდელის და ყოველსათობრივი t რისკის დონის ფორმირება
4	$\sum_{i=2}^8 P_{r2}$, $\sum_{i=3}^8 P_{r3}$, (21) $\sum_{i=4}^8 P_{r4}$, (22) $\sum_{i=4}^8 P_{rn}$ ჯამური ალბათობების და Y_t შედარება
5	$Y_t \leq \sum_{i=4}^8 P_{rn}$, (28) მაშინ $\sum_{i=4}^8 P_{rn}$ (25) ალბათობის შესაბამისი № 1, 2, 3, . . N სცენარის არჩევა
6	ამორჩეული N სცენარის შესაბამისი P ხელმისაწვდომი სიმძლავრის შერჩევა
7	t საათისთვის მინიმალურად საჭირო ოპერატორული რეზერვი $R_t = D_t - P$ (29)
8	არსებული რეზერვის $R_{a1}, R_{a2}, \dots, R_{an}$ ფორმირება ($R_{an} = D_t - \sum_{i=1}^n P_i$) (30)
9	თუ $R_{an} \geq R_t$, (31) მაშინ მაშინ სისტემას არ ესაჭიროება დამატებით ოპერატორული რეზერვი ოპტიმალური ოპერატორული რეზერვი: $R_O = R_{an}$; (32) თუ $R_{an} < R_t$, მაშინ მაშინ სისტემას ესაჭიროება დამატებით $R_f = R_t - R_{an}$ (33) ოპერატორული რეზერვი; ოპტიმალური ოპერატორული რეზერვი: $R_O = R_{an} + R_t^{-1}$ (34)
10	პროპორციის მეთოდის გამოყენებით [1] R_O ოპტიმალური ოპერატორული რეზერვის განაწილება პარალელურად მომუშავე მაგენენირებელ წყაროებზე
11	დასასრული

პარალელურად მომუშავე მაგენენირებელი წყაროების მიერ ელექტროენერგიის წარმოების და შესაბამისი ოპერატორული რეზერვის ელექტროგადაცემის ხაზებში ოპტიმალური განაწილების მიზნით ნიუტონ-რაფსონის მეთოდის გამოყენებით ყოველსათობრივად განხორციელებულია ელექტროენერგეტიკულ სისტემაში სიმძლავრეთა განაწილების სიმულაცია ნორმალური და ავარიული რეჟიმების დროს [1,74]. ელექტროენერგეტიკულ სისტემაში არსებული ელექტროგადაცემის ხაზებში დროის გარკვეულ მონაკვეთში გამტარულნარობის არსებობის შემთხვევისთვის შემუშავდა ოპტიმიზაციის ზოგადი ფუნქცია შეზღუდვებით [1], რომელიც ახდენს ოპერატორული რეზერვის და სიმძლავრეთა ისეთ გადანაწილებას სისტემაში, რომ ნორმალური და

ავარიული რეჟიმების დროს არსებული გადატვირთული ელექტროგადაცემის ხაზი ან ხაზები განიტვირთება. მიზნის ფუნქციას შეზღუდვებით აქვს შემდეგი ზოგადი სახე:

$$X \Rightarrow \min \quad \text{მიზნის ფუნქცია} \quad (35)$$

შეზღუდვები:

$$D_i = \frac{\sum_{i=1}^n (B_i * C_i)}{\sum_{i=1}^n C_i}; \quad (36) \quad F_i = \frac{A_i * B_i * C_i}{D_i * \sum_{i=1}^n C_i}; \quad (37)$$

$$G_i = C_i - F_i; \quad (38) \quad H_i = -B_i * C_i * \frac{-J}{50} I_i = G_i + H_i; \quad (39) \quad J = \frac{-G_{igam} * 50}{K_d * \sum_{i=1}^n G_i + M * \rho * (E - \sum_{i=1}^n C_i)}; \quad (40)$$

$$\rho = \frac{\sum_{i=1}^n (C_i - C_{igam})}{\sum_{i=1}^n G_i}; \quad (41) \quad A_1 = A_2 = \dots = A_i; \quad (42) \quad D_i = \sum_{i=1}^n G_i; \quad (43) \quad G_1 : G_2 : \dots : G_i \leq C_1 : C_2 : \dots : C_i; \quad (44)$$

$$I_1 : I_2 : \dots : I_i \leq C_1 : C_2 : \dots : C_i \quad (45) \quad \sum_{i=1}^n F_i = R_{0i} \quad (46) \quad X = I_i \quad (47) \quad \text{or} \quad I_1 + I_2 + \dots + I_i \quad (48)$$

სადაც,

D_i - ელექტროენერგეტიკული სისტემის სტატიკური მახასიათებლის დახრილობის კოეფიციენტია;

B_i - **i** გენერატორის სტატიკური მახასიათებლის დახრილობის კოეფიციენტია,

C_i - **i** გენერატორის ნომინალური (მაქსიმალური) სიმძლავრეა;

F_i - **i** გენერატორზე პროპორციონალური განაწილებული რეზისის სიდიდეა;

A_i - პარალელურად მომუშავე გენერატორებზე განსაზღვრული რეზისის საერთო რაოდენობაა;

G_i - **i** გენერატორის წარმოება ნომინალური რეჟიმის დროს;

H_i - **i** გენერატორის მიერ დამატებით განვითარებული სიმძლავრეა ავარიული რეჟიმის პირობებში, რომელიმე **G_{igam}** გენერატორის ავარიული გამორთვის დროს;

J - **G_{igam}** გენერატორის ავარიული გამორთვის შემთხვევაში სისტემის სიხშირის გადახრა;

I_i - ავარიული რეჟიმის პირობებში **i** გენერატორის ჯამური წარმოებაა **G_i** გენერატორის ავარიული გამორთვის დროს;

G_{igam} - **G_{igam}** გენერატორის გამორთვამდე მისი ფაქტიური გამომუშავება;

K_d - დატვირთვის სტატიკური მახასიათებლის დახრილობის კოეფიციენტია;

M - სტატიკური მახასიათებლის დახრილობის კოეფიციენტია **G_{igam}** გენერატორის ავარიული გამორთვის შემთხვევაში;

p - სიმძლავრის რეზერვის კოეფიციენტია;

C_{igam} - ავარიულად გამორთული გენერატორის ნომინალური (მაქსიმალური) სიმძლავრეა;

X - გადატვირთული ელექტროგადაცემის ხაზის მკვებავი კვანძის გამომუშავებაა.

R_{0i} - **i** სთ-ის დროს ოპტიმალური ოპერატიული რეზერვის სიდიდეა;

D_i - **i** სთ-ის დროს დატვირთვის კვანძების მოხმარებაა; **i = 1, ..., n**;

¹ - შენიშვნა: დამატებით საჭირო ოპერატიული რეზერვი განაწილებულია მაგენენირებელ წყაროებზე, ხოლო მოხმარების დაფარვის დეფიციტი ალგორითმში გათვალისწინებულია როგორც იმპორტი.

მიღებული ოპტიმიზაციის ზოგადი ფუნქციის საფუძველზე შემუშავებულია სიმულაციის შედეგად ელექტროენერგეტიკულ სისტემაში არსებული ელექტროგადაცემის ხაზებში დროის გარკვეულ მონაკვეთში გამტარუნარობის არსებობის შემთხვევის მაკორექტირებელი ზოგადი ალგორითმი, რომელიც ასახულია ცხრილ №12-ში:

ცხრილი №12 მაკორექტირებელი ალგორითმი

1	დასაწყისი
2	პარალელურად მომუშავე მაგენენირებელი წყაროების t სთ-ის წარმოების და პროპორციის მეთოდის გამოყენებით მათზე გადანაწილებული R _i ოპერატიული რეზერვის სიდიდის მიხედვით ნორმალური და ავარიული რეჟიმის პირობებში ელექტროგადაცემის ხაზებში სიმძლავრეთა განაწილების სიმულაცია
3	სიმულაციის შედეგად მიღებული ელექტროგადაცემის ხაზების ფაქტიური ტვირთის შედარება დასაშვებ გამტარუნარიანობასთან

	<p>ნორმალურ და ავარიულ რეჟიმების დროს:</p> <p>თუ $P_{line,facti} \leq P_{line,peri}$ (46) მაშინ i ხაზი არ არის გადატვირთული, მაშინ გადადი 7 ეტაპზე</p> <p>თუ $P_{line,facti} > P_{line,peri}$ (47) მაშინ i ხაზი გადატვირთულია და გადადი შემდეგ - 3 ეტაპზე</p>
4	$i=1,\dots,n$ გადატვირთული ხაზების ფორმირება
5	მაკორექტირებელი ოპტიმიზაციის ფუნქციის მეშვეობით პარალელურად მომუშავე მაგენენირებელი წყაროების t სთ-ის წარმოების და პროპორციის მეთოდის გამოყენებით მათზე გადანაწილებული R_i ოპერატიული რეზერვის ახალი სიდიდის განსაზღვრა
6	ნორმალური და ავარიული რეჟიმის პირობებში ელექტროგადაცემის ხაზებში სიმძლავრეთა განაწილების სიმულაცია
7	დასასრული

ელექტროენერგეტიკულ სისტემაში სხვადასხვა მაჩვენებლების (წყლის ჩამონადენი, დატვირთვა და სხვ.) ცვალებადობა შემთხვევითი ხასიათისაა და მიმდინარეობს განუსაზღვრელობის პირობებში, მისი ზუსტი პროგნოზირება ფაქტურად შეუძლებელია, რამაც შესაძლებელია გამოიწვიოს ცალკეული ელექტროსადგურების და მთლიანად ელექტროენერგეტიკული სისტემის მუშაობის შეფერხება. ამიტომ საჭიროა ყოველსაათობრივი და დღე-დამური მუშაობის რეჟიმების მოდელირების და ოპერატიული რეზერვის ოპტიმალური სიდიდის დაგეგმვის დროს გათვალისწინებული იყოს პიდროელექტროსადგურებისა და სისტემის ჯამური დატვირთვის სხვადასხვა განუსაზღვრელობები.

მსოფლიო პრაქტიკაში არსებობს სხვადასხვა შემთხვევითი პროცესების აღმწერი განაწილების კანონები [75]. სხვადასხვა მეთოდებთან შედარებით უპირატესობა ენიჭება მონტე-კარლოს მეთოდს, რომელიც ეფუძნება ნორმალური განაწილების კანონს. იგი ალბათური მეთოდია და უდგება სტოქასტიკური ხასიათის ამოცანებს [76].

აღნიშნული მეთოდი საშუალებას იძლევა განუსაზღვრელობის პირობებში მოიძებნოს დასმული ამოცანის ამონახაზისნი. იგი ეფუძნება ნორმალური განაწილების კანონს და მის საფუძველზე შემთხვევითი ციფრების გენერაციის საშუალებით ხორციელდება ამა თუ იმ სიტუაციის/პროცესის იმიტაცია. თუ მრავალჯერ განვახორციელებთ ერთი

და იმავე საწყისი მდგომარეობის შემთხვევით სიმულაციას გამოვლინდება ყველა ან თითქმის ყველა შესაძლო მოსალოდნელი შედეგი. რაც მეტი იქნება იტერაციის რაოდენობა მით მეტი იქნება ალბათობა ამა თუ იმ მოვლენის მოხდენის.

ალბათობის თეორიაში ნორმალური განაწილება (იგივე გაუსის განაწილება) წარმოადგენს უწყვეტი ტიპის განაწილებას [75,76]. ის აღწერს ისეთი შემთხვევითი სიდიდის განაწილებას, რომელიც კონცენტრირებულია ერთი მნიშვნელობის ირგვლივ. გრაფიკულად ნორმალური განაწილების სიმკვრივეს ზარის ფორმა აქვს. ანალიზურად იგი შემდეგნაირად ჩაიწერება:

$$f(x) = \frac{1}{\sigma\sqrt{2\pi}} e^{-\frac{(x-\mu)^2}{2\sigma^2}}, \quad (49)$$

სადაც μ პარამეტრი წარმოადგენს განაწილების მათემატიკურ ლოდინს, ანუ x -ის იმ მნიშვნელობას, რომლის გარშემოც კონცენტრირდება განაწილება (რომლის მოხდენის ალბათობაც ყველაზე დიდია), ხოლო σ^2 ახასიათებს განაწილების დისპერსიას (იგივე გარიაციას), ანუ გაფანტულობას. რაც უფრო დიდია ამ უკანასკნელის მნიშვნელობა, მით უფრო "ბრტყელია" განაწილების სიმკვრივის გრაფიკი და პირიქით. ფუნქცია სიმეტრიულია $x = \mu$ წრფის მიმართ და სრულდება პირობა $p(x) \rightarrow 0$, როცა $x \rightarrow \pm\infty$, ანუ რაც უფრო გადახრილია მნიშვნელობა მათემატიკური ლოდინიდან, მით უფრო ნაკლებია მისი მოხდენის ალბათობა.

დავუშვათ ელექტროენერგეტიკული სისტემა შედგება n რაოდენობის გენერატორებისგან, რომლის i სთ-თვის წარმოებებია P_1, P_2, \dots, P_n . ელექტროენერგეტიკული სისტემის ჯამური გენერაციაა $\sum_{i=1}^n P_i$. (50) სისტემაში m რაოდენობის დატვირთვის კვანძია, რომელთა დატვირთვებია D_1, D_2, \dots, D_m . სისტემის ჯამური დატვირთვაა i სთ-თვის $\sum_{i=1}^m D_i$. (51)

დავუშვათ i სთ-თვის ელექტროენერგეტიკული სისტემის ცენტრალურ დისპერჩერს აქვს მოლოდინი, რომ სხვადასხვა ფაქტორების განუსაზღვრელობის გამო i სთ-თვის მუშაობაში მყოფი

პიდროელექტროსადგურების P_1, P_2, \dots, P_n გენერაციების და სისტემის ჯამური დატვირთვის პროგნოზული მნიშვნელობებიდან მოსალოდნელი გადახრები $+10\%$ ფარგლებში იმერყევებს.

შესაძლო გადახრების მაქსიმალურ და მინიმალურ მნიშვნელობებს აქვთ ცხრილ №13-ში მოცემული სახე:

ცხრილი №13 i საათის მომუშავე ელექტროენერგეტიკულ სისტემაში არალელურად პიდროელექტროსადგურების გენერატორების წარმოების და დატვირთვის ნომინალური მნიშვნელობებიდან შესაძლო პროცენტული გადახრები

გენერატორი	გენერატორი			$\sum_{i=1}^n (D_i - P_{sxva})$ (52)
	1	2	n	
მაქსიმალური $+10\%$	P'_1	P'_2	P'_n	$\sum_{i=1}^n D'_i - P'_{sxva}$ (53)
მინიმალური 10%	P''_1	P''_2	P''_n	$\sum_{i=1}^n D''_i - P''_{sxva}$ (54)

სადაც, $\sum_{i=1}^n (D_i - P_{sxva})$ - ელექტროენერგეტიკული სისტემის i საათის ჯამური დატვირთვაა თბოელექტროსადგურების და გენერაციის სხვა წყაროების ელექტროენერგიის გენერაციის გამოკლებით (გარდა პიდროელექტროსადგურის გამომუშავებისა).

მათემატიკურად განუსაზღვრელობის აღწერის მიზნით i სთ-თვის განხორციელებულია მოსალოდნელი ყველა შესაძლო გადახრების სიმულაცია ცხრილ №13-ში მოცემულ ფარგლებში მონტე-კარლოს მეთოდის გამოყენებით თანაბარზომიერი განაწილების კანონის [76] საფუძველზე შემთხვევითი ციფრების გენერაციით. შედეგები მოცემულია ცხრილ №14-ში:

ცხრილი №14 i საათის ელექტროენერგეტიკულ სისტემაში პარალელურად მომუშავე ჰიდროელექტროსადგურების გენერატორების წარმოების და დატვირთვის ნომინალური მნიშვნელობებიდან შესაძლო გადახრები სხვადასხვა სცენარები

სცენარი	გენერატორი			დატვირთვა
	1	2	n	$\sum_{i=1}^n (D_i - P_{sxva})$ (55)
სიმულაცია-1	P_1'''	P_2'''	P_n'''	$\sum_{i=1}^n D_i''' - P_{sxva}'''$ (56)
სიმულაცია-2	P_1''''	P_2''''	P_n''''	$\sum_{i=1}^n D_i'''' - P_{sxva}''''$ (57)
სიმულაცია-n	$P_1^{''''n}$	$P_2^{''''n}$	$P_n^{''''n}$	$\sum_{i=1}^n (D_i^{''''n} - P_{sxva}^{''''n})$ (58)

სხვადასხვა სცენარებისათვის მიღებულია აქტიური სიმძლავრის შესაძლო უბალანსობები, რომელიც გამოითვლება შემდეგი ფორმულით:

$$\sum_{i=1}^n P_i^j - \sum_{i=1}^n (D_i^j - P_{sxva}^j) = \Delta P^j \quad (59)$$

სადაც, $\sum_{i=1}^n P_i^j$ - j სცენარის დროს ელექტროენერგეტიკული სისტემის ჯამური გენერაცია; $\sum_{i=1}^n D_i^j$ - j სცენარის დროს ელექტროენერგეტიკული სისტემის ჯამური დატვირთვა; ΔP_i^j - j სცენარის დროს ელექტროენერგეტიკული სისტემის აქტიური სიმძლავრის უბალანსობა. ქტიური სიმძლავრის შესაძლო დაუბალანსებლობის სცენარებს აქვთ ცხრილ №15-ში მოცემული სახე:

ცხრილი №15 i საათის ელექტროენერგეტიკული სისტემის აქტიური სიმძლავრის შესაძლო დაუბალანსებლობების სცენარები

სცენარი	დაუბალანსებლობა
სიმულაცია-1	ΔP^1
სიმულაცია-2	ΔP^2
სიმულაცია-n	ΔP^n

ΔP^1 , ΔP^2 , ΔP^n მნიშვნელობების ნორმალური განაწილების მრუდის ასაგებად გამოთვლილია საშუალო არითმეტიკული და სტრანდარტული გადახრა შემდეგი ფორმულებით:

$$M = \frac{\sum \Delta P^n}{N} \quad S = \sqrt{\frac{\sum (\Delta P^n - M)^2}{N-1}} \quad (60)$$

სადაც, M – საშუალო არითმეტიკულია, S – სტრანდარტული გადახრა, ΔP^n – n სცენარის შესაბამისი აქტიური სიმძლავრის უბალანსობაა, $S=1$ სცენარის (სიმულაციის) რაოდენობა.

განსაზღვრული M და S მნიშვნელობების საფუძველზე (1) ფორმულის მიხედვით აგებულია ნორმალური განაწილების მრუდი.

მიღებული მნიშვნელობების სხვადასხვა ალბათობების გამოსათვლელად შედგენილი ნორმალური განაწილების მრუდი გადაყვანილია სტრანდარტულ ნორმალური განაწილების მრუდედ, რომლის საშუალო არითმეტიკული $M=0$ და სტრანდარტული გადახრა $S=1$.

ΔP^n უბალანსობის ალბათობის გამოსათვლელად გამოყენებულია Z ქულების შეფასება, რომელსაც ΔP^n მნიშვნელობა გადაჰყავს Z სტრანდარტიზებულ ქულაში. მას აქვს შემდეგი სახე:

$$Z = \frac{\Delta P^n - M}{S} \quad (61)$$

Z სხვადასხვა ქულების შესაბამისად სტრანდარტული ნორმალური განაწილების ცხრილის მეშვეობით ვსაზღვრავთ შესაბამის ალბათობას.

ელექტროენერგეტიკული სისტემის i ყოველსაათობრივი ოპერატორიული რეზერვის მინიმალური სიდიდის (სხვადასხვა განუსაზღვრელობების გათვალისწინებით) გამოსათვლელად ნახაზი N_6 შემუშავებული არამკაფიო ლოგიკის მოდელით მიღებული ყოველსაათობრივი მისაღები რისკის დონეების მიხედვით განხორციელებულია შესაბამისი ალბათობების შერჩევა, რომლის საფუძველზეც ამორჩევულია შესაძლო დაუბალანსებლობის სიდიდიდე.

შემუშავებულია i სთ-თვის ელექტროენერგეტიკული სისტემის აქტიური სიმძლავრის ოპერატორის ოპერატორიული რეზერვის მინიმალური სიდიდის განმსაზღვრელი ცხრილ №16-ში მოცემული ალგორითმი.

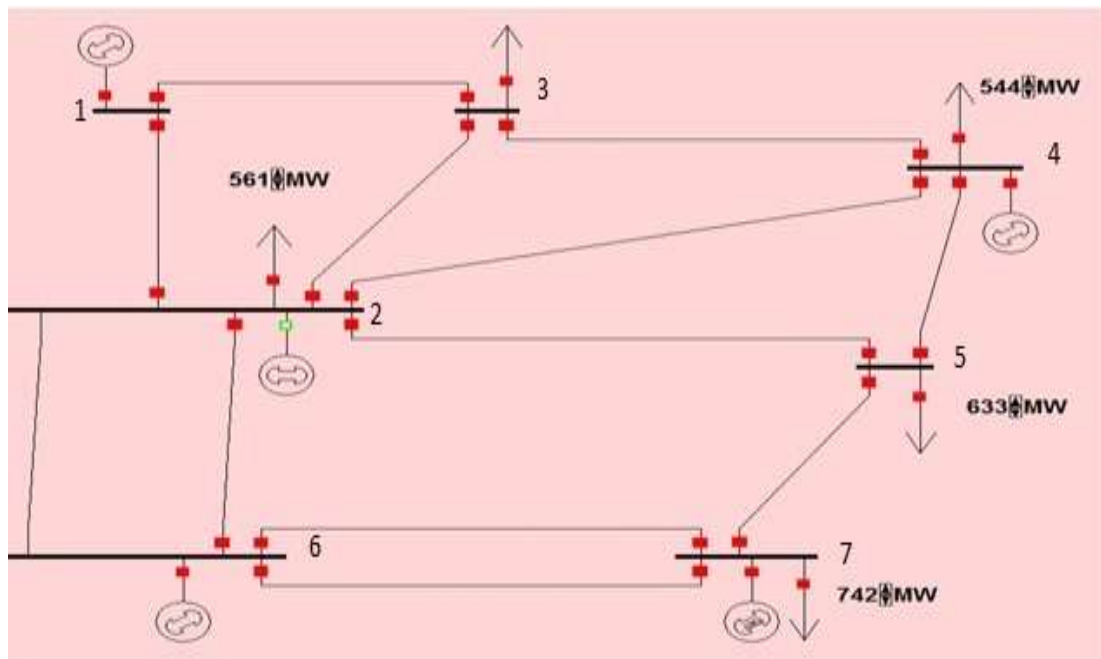
ცხრილი №16 ელექტროენერგეტიკული სისტემის აქტიური სიმძლავრის ოპერატორიული რეზერვის მინიმალური სიდიდის განმსაზღვრელი ალგორითმი
(განუსაზღვრელობის გათვალისწინებით)

1	დასაწყისი
2	i (i=1,...,24) საათისთვის პარალელურად მომუშავე ჰიდროელექტროსადგურების k (k=1,...,n) გენერატორების სის ფორმირება
3	i (i=1,...,24) საათისთვის პარალელურად მომუშავე ჰიდროელექტროსადგურების k (k=1,...,n) გენერატორების და სისტემის დატვირთვის სიდიდეების ფორმირება
4	i (i=1,...,24) საათისთვის პარალელურად მომუშავე ჰიდროელექტროსადგურების k (k=1,...,n) გენერატორების და სისტემის დატვირთვის სიდიდეების შესაძლო პროცენტული გადახრების ფორმირება
5	i (i=1,...,24) საათისთვის პარალელურად მომუშავე ჰიდროელექტროსადგურების k (k=1,...,n) გენერატორების და სისტემის დატვირთვის სიდიდეების გადახრების ზედა და ქვედა ზღვრების ფორმირება
6	მონტე-კარლოს მეთოდის და თანაბარი განაწილების კანონის საფუძველზე i (i=1,...,24) საათისთვის პარალელურად მომუშავე ჰიდროელექტროსადგურების k (k=1,...,n) გენერატორების და სისტემის დატვირთვის სიდიდეების გადახრების სხვადასხვა m (m=1,...,j) სცენარების ფორმირება
7	i (i=1,...,24) საათისთვის ელექტროენერგეტიკული სისტემის აქტიური სიმძლავრის ΔP^n დაუბალანსებლობების სცენარების ფორმირება
8	i (i=1,...,24) საათისთვის აქტიური სიმძლავრის ΔP^n დაუბალანსებლობების საშუალო არითმეტიკული M და სტანდარტული გადახრის S მნიშვნელობების ფორმირება
9	ნორმალური განაწილების კანონის საფუძველზე i (i=1,...,24) საათისთვის ΔP^n დაუბალანსებლობების შესაბამისი ალბათობების გამოთვლა და ნორმალური განაწილების მრუდის აგება
10	ნახაზი №2.3 შემუშავებული არამკაფიო დოგიკის მოდელით მიღებული ყოველსაათობრივი მისაღები რისკის დონეების მიხედვით ნორმალური განაწილების მრუდიდან შესაბამისი ალბათობების და ΔP^n დაუბალანსებლობების შერჩევა
11	დასასრული

2.2 ექსპერიმენტული ნაწილი

ელექტროენერგეტიკული სისტემის აქტიური სიმძლავრის ყოველსაათობრივი ოპერატორული რეზერვის ოპტიმალური დაგეგმვის მეთოდიკის პრაქტიკაში აპრობაციის მიზნით მაგალითისათვის განხილულია ელექტროენერგეტიკული სისტემა. ცხრილ №17, დანართ №1 და №2-ში, ნახაზი №7-ში მოცემულია სისტემის მახასიათებლები. სისტემაში არსებული ძაბვა 220 კვ-ია. გამარტივების მიზნით რეაქტორული ტვირთები და კარვები ეგბ-ებში მიღებულია 0-ის ტოლად.

დანართ №1, №2-ის და ცხრილ №8-ის მონაცემების მიხედვით მიღებულია ელექტროენერგეტიკული სისტემის მაგენენირებელი წყაროების აქტიური სიმძლავრის მოცდენის ალბათობრივ-ვარიანტული დანართი №3.



ნახაზი №7 ელექტროენერგეტიკული სისტემის ცალხაზოვანი სქემა²

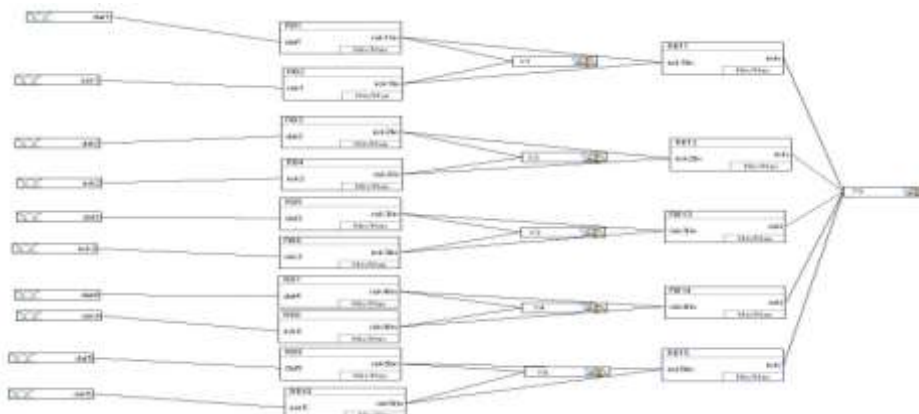
² შენიშვნა: გამარტივების მიზნით რამდენიმე გენერატორი ნახაზიაზე წარმოდგენილია ერთ გენერატორად.

ცხრილი №17. ელექტროენერგეტიკული სისტემის ელექტროგადაცემის
ხაზების გამტარუნარიანობა

გვ.№	კვანძიდან	კვანძამდე	დასაშვები გამტარუნარიანობა, მგვტ
1	1	2	1000
2	1	3	1000
3	2	3	1000
4	2	4	1000
5	2	5	1000
6	2	6	750
7	2	6	750
8	3	4	1000
9	4	5	1000
10	5	7	1000
11	6	7	1000
12	6	7	1000

დანართი №2-ის მონაცემების მიხედვით სისტემაში არსებული 5 დატვირთვის კვანძისათვის ზემოთ მოყვანილი მეთოდოლოგიის საფუძველზე შემუშავებულია არამკაფიო ლოგიკის მოდელი, რომელიც ასახულია ნახაზი. №8-ზე.

პროგრამული პაკეტის Fuzzytech-ის ბაზაზე შესრულებული გაანგარიშებით დადგენილია ელექტროენერგეტიკული სისტემის ყოველსაათობრივად თითოეული დატვირთვის კვანძის საიმედოობის Y_1, Y_2, Y_3, Y_4, Y_5 და მთლიანად სისტემისთვის საჭირო Y_s რისკის დონეები. ანალიზის შედეგები მოცემულია ცხრილ №18-ზე.



ნახაზი №8 ყოველსაათობრივი რისკის დონის შეფასების
არამკაფიო ლოგიკის ოდნონიანი მოდელი

**ცხრილი №18 ელექტროენერგეტიკული სისტემის ყოველსაათობრივი და
მისაღები რისკის დონე**

საათი	0-1	1-2	2-3	3-4	4-5	5-6	6-7	7-8
Y ₁	0.0156	0.0167	0.018	0.0165	0.0156	0.0166	0.0193	0.0165
Y ₂	0.0248	0.0211	0.0205	0.0239	0.0216	0.0201	0.0215	0.0213
Y ₃	0.0292	0.021	0.0286	0.0234	0.0212	0.0297	0.0273	0.0254
Y ₄	0.018	0.0175	0.02	0.0174	0.0156	0.0166	0.0132	0.0153
Y ₅	0.0143	0.0143	0.015	0.015	0.0136	0.0133	0.02	0.0103
Y _s	0.022	0.02	0.0222	0.0216	0.0191	0.02	0.0218	0.0207
საათი	8-9	9-10	10-11	11-12	12-13	13-14	14-15	15-16
Y ₁	0.0109	0.0181	0.0182	0.0169	0.0138	0.0136	0.0153	0.0103
Y ₂	0.0226	0.0217	0.0199	0.0213	0.0179	0.0224	0.0152	0.0196
Y ₃	0.0205	0.0218	0.0202	0.0246	0.0232	0.0215	0.0266	0.0259
Y ₄	0.0166	0.0127	0.0138	0.0134	0.0172	0.0147	0.0176	0.0103
Y ₅	0.0108	0.0111	0.0115	0.0158	0.0127	0.0188	0.0113	0.0154
Y _s	0.0195	0.0188	0.0189	0.0205	0.0189	0.0202	0.0201	0.0203
საათი	16-17	17-18	18-19	19-20	20-21	21-22	21-22	22-23
Y ₁	0.0134	0.0123	0.02	0.012	0.0114	0.0149	0.0156	0.02
Y ₂	0.02	0.0255	0.0231	0.0182	0.0152	0.0189	0.0214	0.0177
Y ₃	0.0231	0.0252	0.0216	0.02	0.0233	0.0245	0.02	0.0267
Y ₄	0.0176	0.0103	0.0115	0.0172	0.0156	0.0178	0.013	0.0175
Y ₅	0.0161	0.0131	0.0131	0.0149	0.0137	0.017	0.0167	0.014
Y _s	0.0205	0.0194	0.0184	0.019	0.0183	0.0209	0.0202	0.0202

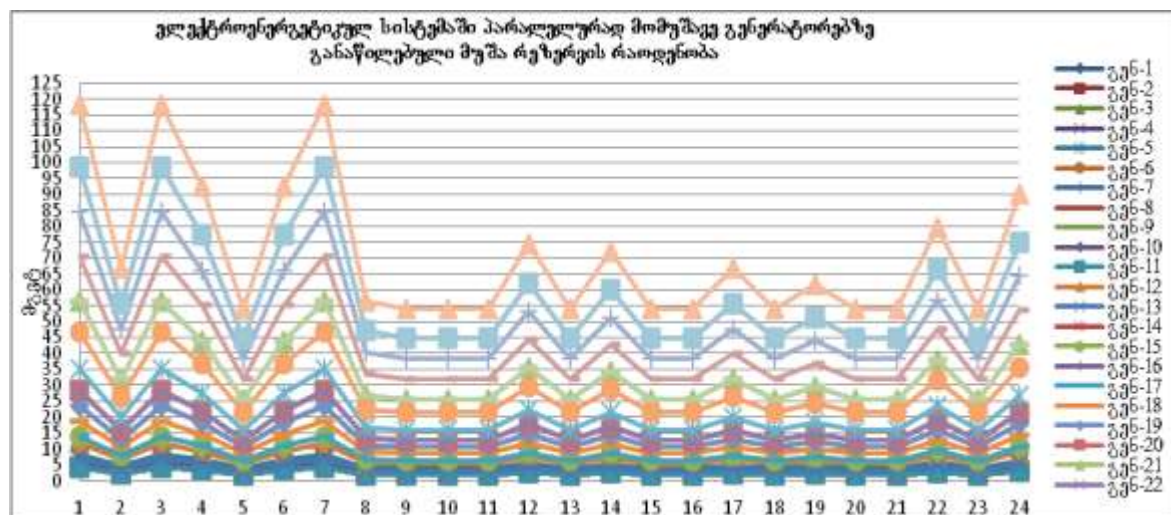
დანართ №1, №2 და ცხრილ №18 ასახული მონაცემებით და ცხრილ №11-ში მოცემული ალგორითმით განსაზღვრულია ელექტროენერგეტიკულ სისტემაში ყოველსაათობრივი ოპერატორული რეზისურების ოპტიმალური სიდიდე და შედეგები შეტანილია ცხრილ №19-ში.

ცხრილი №19 ელექტროენერგეტიკულ სისტემაში ყოველსაათობრივი ოპერატორული რეზისურების ოპტიმალური სიდიდე

საათი	0-1	1-2	2-3	3-4	4-5	5-6	6-7	7-8
არსებული ოპერატორული რეზისურები	920	520	920	720	420	720	920	440
დამატებით საჭირო ოპერატორული რეზისურები	0	0	0	0	0	0	0	0
სულ ოპერატორული რეზისურები	920	520	920	720	420	720	920	440

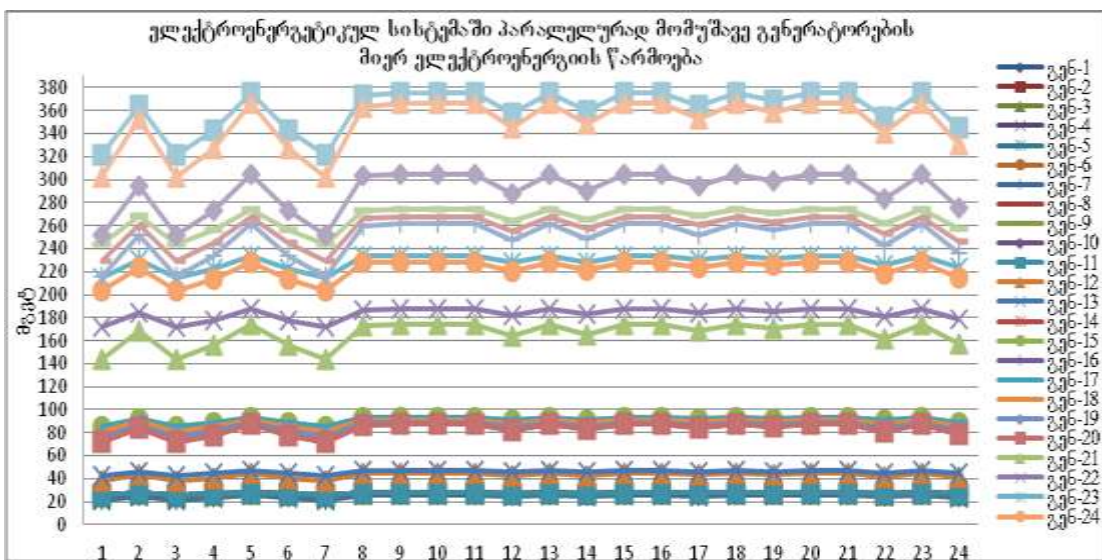
% დატვირთვასთან	28.75	14.44	28.75	21.17	11.35	21.17	28.75	11.95
საათი	8-9	9-10	10-11	11-12	12-13	13-14	14-15	15-16
არსებული ოპერატიული რეზერვი	200	340	280	580	320	560	340	220
დამატებით საჭირო ოპერატიული რეზერვი	220	80	140	0	100	0	80	200
სულ ოპერატიული რეზერვი	420	420	420	580	420	560	420	420
% დატვირთვასთან	10.71	11.11	10.93	16.38	11.05	15.73	11.11	10.76
საათი	16-17	17-18	18-19	19-20	20-21	21-22	21-22	22-23
არსებული ოპერატიული რეზერვი	520	280	480	240	120	620	400	700
დამატებით საჭირო ოპერატიული რეზერვი	0	140	0	180	300	0	20	0
სულ ოპერატიული რეზერვი	520	420	480	420	420	620	420	700
% დატვირთვასთან	14.44	10.93	13.18	10.82	10.5	17.714	11.29	20.46

ელექტროენერგეტიკულ სისტემაში პარალელურად მომუშავე განვითარებული მუშა რეზერვის რაოდნობა მოცემულია ნახაზი. №9-ზე.



ნახაზი №9 ელექტროენერგეტიკულ სისტემაში პარალელურად მომუშავე განვითარებული მუშა რეზერვის რაოდნობა

ცხრილ №8-სა და ნახაზი №9-ზე მოცემული მონაცემებიდან გამომდინარე ელექტროენერგეტიკულ სისტემაში პარალელურად მომუშავე გენერატორების მიერ ელექტროენერგიის წარმოებას აქვს ნახაზი №10-ზე ასახული სახე:



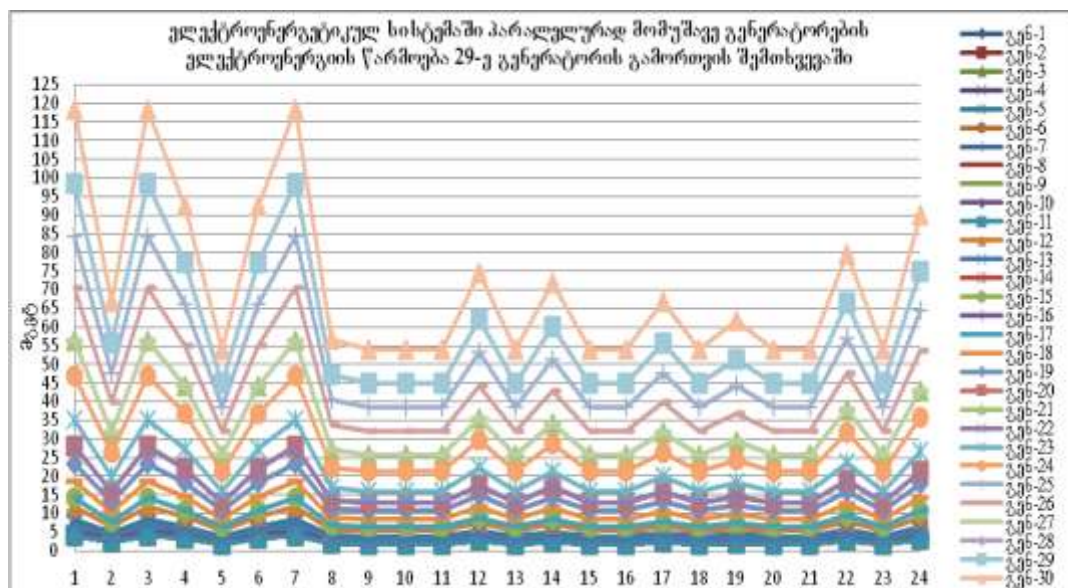
ნახაზი. №10 ელექტროენერგეტიკულ სისტემაში პარალელურად მომუშავე გენერატორების მიერ ელექტროენერგიის წარმოება

ზემოაღნიშნული მეთოდოლოგიის შესაბამისად მიღებული ოპერატორი რეზერვის ოპტიმალურობის დასადგენად ყოველსაათობრივად განხორციელებულია სისტემაში არსებული ყველაზე დიდი სიმძლავრის 29-ე გენერატორის ავარიული გამორთვის სიმულაცია და შედეგები შეტანილია ცხრილი №20-სა და გამოსახულია ნახაზი №11-ზე.

ცხრილი №20 29-ე გენერატორის გამორთვის სიმულაციის შედეგები

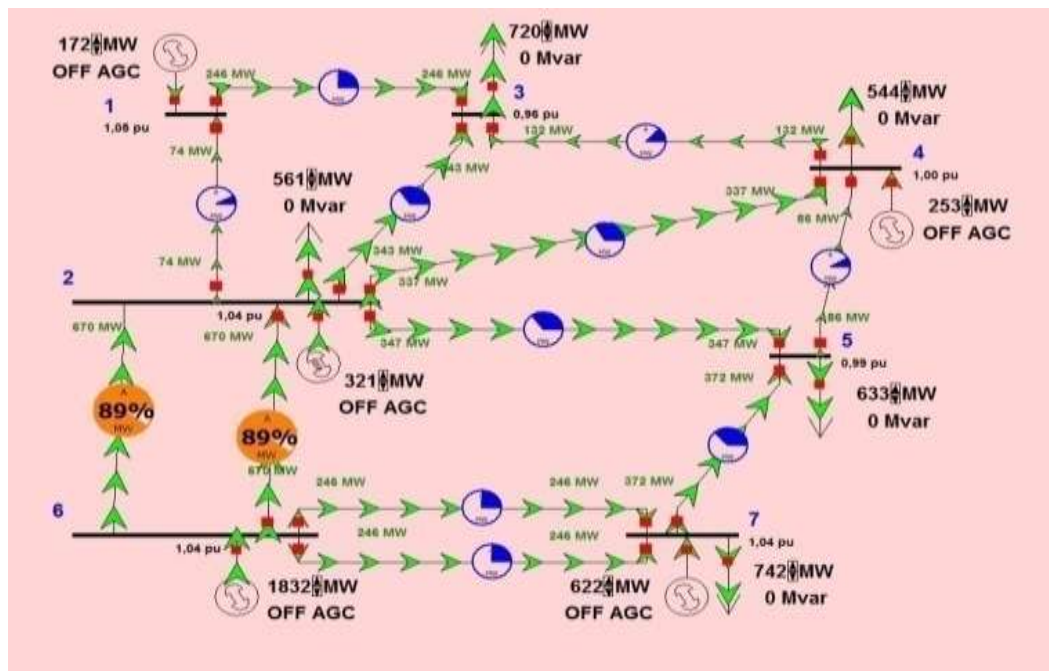
საათი	0-1	1-2	2-3	3-4	4-5	5-6	6-7	7-8
დარჩენილი ოპერატორი რეზერვი, მგვტ	620.44	183.43	620.44	401.86	74.23	401.86	620.44	96.04
სისტერის გადახრა	-0.171	-0.192	-0.171	-0.182	-0.198	-0.182	-0.171	-0.197
ჯამური დატვირთვის შემცირება, მგვტ	-22	-28	-22	-25	-29	-25	-22	-29
ჯამური დატვირთვის შემცირება, %	0,68	0,77	0,68	0,73	0,78	0,73	0,68	0,78
საათი	8-9	9-10	10-11	11-12	12-13	13-14	14-15	15-16
დარჩენილი	75.83	74.81	75.25	248.94	74.96	227.10	74.81	75.68

ოპერატიული რეზერვი, მგვტ								
სისშირის გადახრა	-0.197	-0.197	-0.197	-0.189	-0.197	-0.190	-0.197	-0.197
ჯამური დატვირთვის შემცირება, მგვტ	-31	-30	-30	-27	-30	-27	-30	-31
ჯამური დატვირთვის შემცირება, %	0,79	0,79	0,78	0,76	0,78	0,75	0,79	0,79
საათი	16-17	17-18	18-19	19-20	20-21	21-22	21-22	22-23
დარჩენილი ოპერატიული რეზერვი, მგვტ	183.44	75.25	139.70	75.54	76.40	292.64	74.38	380.02
სისშირის გადახრა	-0.192	-0.197	-0.194	-0.197	-0.196	-0.187	-0.197	-0.183
ჯამური დატვირთვის შემცირება, მგვტ	-28	-30	-28	-31	-31	-26	-29	-25
ჯამური დატვირთვის შემცირება, %	0,77	0,78	0,76	0,79	0,77	0,74	0,77	0,73

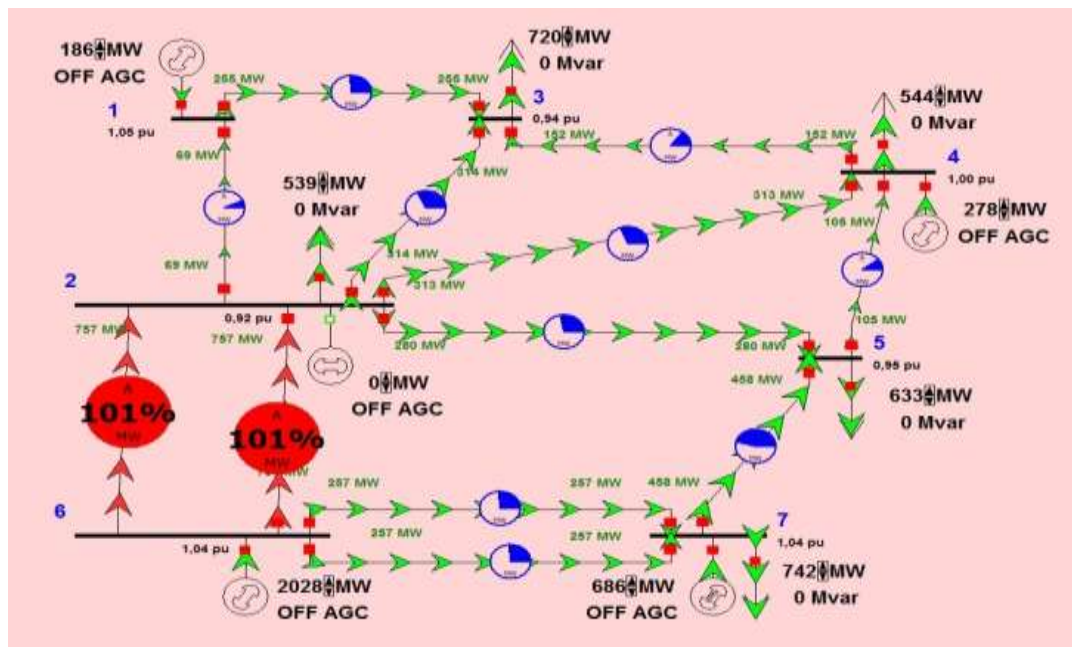


ნახაზი №11: ელექტროენერგეტიკულ სისტემაში პარალურად მომუშავე
გენერატორების ელექტროენერგიის ყოველსათობრივი წარმოება 29-ე
გენერატორის გამორთვის შემთხვევაში

ელექტროგადაცემის ხაზების განტარუნარიანობის
შესამოწმებლად 24 სთ-თვის განხორციელებულია სისტემაში
სიმძლავრეთა განაწილების სიმულაცია პროგრამა PowerWorld-ის
გამოყენებით [74] ნორმალურ და ავარიულ რეჟიმებში. 1 საათისთვის
მიღებულ შედეგებს აქვთ ნახაზი №12 და №13-ზე გამოსახული სახე:



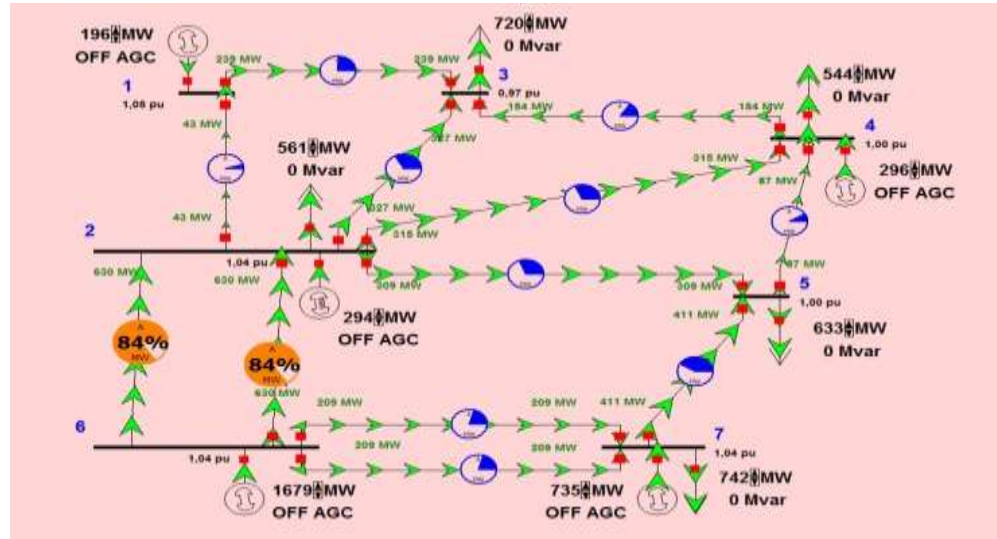
ნახაზი №12. ელექტროენერგეტიკულ სისტემაში ელექტროენერგეტიკულ
სისტემაში სიმძლავრეთა განაწილება ნორმალურ რეჟიმში



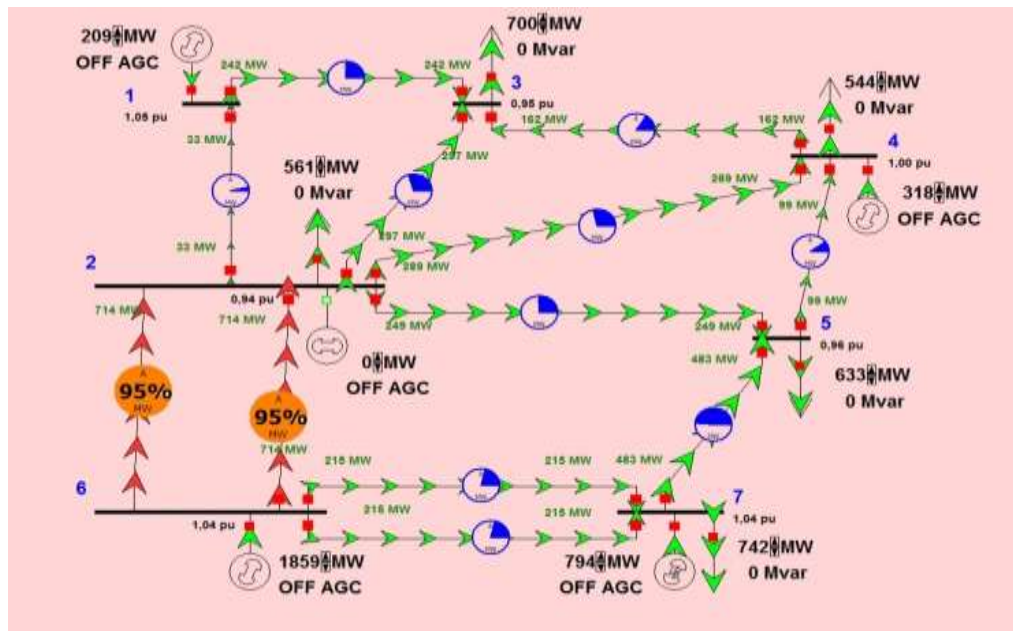
ნახაზი №13. ელექტროენერგეტიკულ სისტემაში სიმძლავრეთა განაწილება
ავარიულ რეჟიმში 29-ე გენერატორის გამორთვის დროს

როგორც ნახაზი. №13-დან ჩანს 29-ე გენერატორის ავარიული
გამორთვის შემთხვევაში 6-2 კვანძებს შორის ორი ელექტროგადაცემის
ნაზი გადაიტვირთება.

ცხრილ №12-ზე მოცემული მაკორექტირებელი ალგორითმის საფუძველზე განხორციელებული ანგარიშების შედეგებს აქვთ ნახაზი №14 და ნახაზი №15-ზე მოცემული სახე.



ნახაზი. №14. ელექტროენერგეტიკულ სისტემაში სიმძლავრეთა განაწილების კორექტირებული სიდიდეები ნორმალურ რეჟიმში



ნახაზი. №15 ელექტროენერგეტიკულ სისტემაში სიმძლავრეთა განაწილების კორექტირებული სიდიდეები ავარიულ რეჟიმში 29-ე გენერატორის გამორთვის შემთხვევაში

როგორც ნახაზი №14 და №15-დან ჩანს არც ნორმალურ და არც ავარიულ რეჟიმში ელექტროენერგეტიკული სისტემის არცერთი

გენერატორი და ელექტროგადაცემის ხაზი არ არის გადატვირთული.
სიმულაციის შედეგები 1 სთ-ისთვის მოცემულია ცხრილ №21-ში.

ცხრილი №21. 1 სთ-ის სიმულაციის შედეგები

დასახელება		საწყისი	კორექტირებული
სისტემაში დარჩენილი ოპერატორული რეზერვი, მგვტ		620,44	518,62
სიხშირის გადახრა		-0,171	-0,1556
სისტემაში ძაბვების დონეები	მინიმალური	ნორმალური რეჟიმი	211,2
	მაქსიმალური	ავარიული რეჟიმი	202,4
	მინიმალური	ნორმალური რეჟიმი	231
	მაქსიმალური	ავარიული რეჟიმი	231
ჯამური დატვირთვის შემცირება, მგვტ		-22	-19,9168

ცხრილ №16-ში მოცემული ალგორითმის საფუძველზე
განუსაზღვრელობის პირობებში ელექტროენერგეტიკული სისტემის აქტიური სიმძლავრის ოპერატიული რეზერვის ოპტიმალური სიდიდის (მინიმალური) ანგარიშის შედეგები მოცემულია ცხრილ №22-ში.

ცხრილი №22. ელექტროენერგეტიკული სისტემის აქტიური სიმძლავრის ოპერატიული რეზერვის სიდიდე (მინიმალური, განუსაზღვრელობის გათვალისწინებით)

საათი	0-1	1-2	2-3	3-4	4-5	5-6	6-7	7-8
Y_s	0,022	0,02	0,0222	0,0216	0,0191	0,02	0,0218	0,0207
საშუალო	0,34	0,19	-0,15	-0,05	0,14	-0,06	0,06	-0,07
სტ. გადახრა	112,82	129,21	112,19	121,24	133,18	120,69	112,39	133,16
მინიმალური ოპერატიული რეზერვი	257	300	255	278	310	279	258	305
% დატვირთვასთან	8,03	8,33	7,97	8,18	8,38	8,21	8,06	8,29
საათი	8-9	9-10	10-11	11-12	12-13	13-14	14-15	15-16
Y_s	0,0195	0,0188	0,0189	0,0205	0,0189	0,0202	0,0201	0,0203
საშუალო	0,0122	0,0122	0,0122	0,0268	0,0122	0,0156	0,0122	0,0122
სტ. გადახრა	134,73	134,73	134,73	128,20	134,73	128,41	134,73	134,73
მინიმალური ოპერატიული	312	315	315	297	315	295	310	310

რეზერვი								
% დატვირთვასთან	7,96	8,33	8,20	8,39	8,29	8,29	8,20	7,95
საათი	16-17	17-18	18-19	19-20	20-21	21-22	22-23	23-24
Y_s	0.0205	0.0194	0.0184	0.019	0.0183	0.0209	0.0202	0.0202
საშუალო	-0,104	0,012	-0,09	0,012	0,012	0,10	0,012	0,075
სტ. გადახრა	129,64	134,73	132,96	134,73	134,73	125,30	134,73	121,98
მინიმალური ოპერატორი რეზერვი	298	312	311	315	316	289	310	281
% დატვირთვასთან	8,28	8,13	8,54	8,12	7,90	8,26	8,33	8,22

II თავის დასკვნა

ჩატარებული კვლევების შედეგად:

1. შემუშავებულია ელექტროენერგეტიკული სისტემის სხვადასხვა მაგენერირებელი წყაროების ავარიული სცენარების ფორმირების ალგორითმი;
2. ელექტროენერგეტიკული სისტემის და მისი დატვირთვის კვანძების რისკის დონის შეფასების თრდონიანი არამკაფიო ლოგიკის მათემატიკური მოდელი;
3. პროპორციის მეთოდის გამოყენებით აქტიური სიმძლავრის ოპერატორი რეზერვის ოპტიმალური სიდიდეები გადანაწილებულია პარალელურად მომუშავე გენერატორებზე;
4. ელექტროენერგეტიკულ სისტემაში არსებული ელექტროგადაცემის ხაზებში დროის გარკვეულ მონაკვეთში ავარიული რეჟიმის პირობებში გამტარუნარობის არსებობის შემთხვევისთვის შემუშავებულია ოპტიმიზაციის ფუნქცია და შესაბამისი მაკორექტირებელი ალგორითმი, რომელიც ახდენს ოპერატორი რეზერვის და აქტიურ სიმძლავრეთა ისეთ გადანაწილებას სისტემაში, რომ ნორმალური და ავარიული რეჟიმების დროს არსებული გადატვირთული ელექტროგადაცემის ხაზი ან ხაზები განიტვირთება.

5. ჩამოყალიბებულია ელექტროენერგეტიკული სისტემის აქტიური სიმძლავრის ოპერატორიული რეზერვის ოპტიმალური დაგეგმვის მეთოდიკა და ალგორითმი;
6. შემუშავებულია ელექტროენერგეტიკულ სისტემაში პარალელურად მომუშავე პიდროველექტროსადგურებსა და დატვირთვის კვანძების დატვირთვების განუსაზღვრელობების საფუძველზე ელექტროენერგეტიკული სისტემისთვის ყოველსაათობრივად საჭირო აქტიური სიმძლავრის ოპერატორიული რეზერვის მინიმალური ოპტიმალური სიდიდის განმსაზღვრელი მეთოდიკა და შესაბამისი ალგორითმი;
7. შემუშავებული მეთოდიკა ატარებს უნივერსალურ ხასიათს ის ელექტროენერგეტიკულ სისტემას საშუალებას აძლევს მაგენენირებელი მოწყობილობების პარამეტრების, დატვირთვის კვანძების საიმედოობის მახასიათებლების, ელგადაცემის ხაზების გამტარუნარიანობის და ელექტროენერგიაზე ყოველსაათობრივი მოთხოვნის პარამეტრების შესაბამისად ოპტიმალურად დაგეგმოს ოპერატორიული რეზერვის ყოველსაათობრივი სიდიდე.

თავი III. ელექტროენერგეტიკულ სისტემაში პრევენციული რემონტების ოპტიმალური დაგეგმვა

3.1 ამოცანის დასმა და პრობლემის გადაწყვეტის მეთოდოლოგია

ელექტროენერგეტიკული სისტემის მუშაობის საიმედოობის უზრუნველყოფაში განსაკუთრებული მნიშვნელობა ენიჭება რემონტების ოპტიმალურად დაგეგმვას. რემონტების დაგეგმვაში გათვალისწინებული უნდა იყოს ოპტიმალურობის საერთო პრინციპები, რაც ნიშნავს მოწყობილობების ფაქტიური ტექნიკურ-ეკონომიკური მდგომარეობის, დადგენილი ნორმატივების და არსებული რესურსების შესაბამისად პრევენციული რემონტების ჩატარებას ელექტროსადგურების და სისტემაში შემავალი სხვა მოწყობილობების გეგმიურ-გამაფრთხილებლი რემონტების არსებული სისტემის ჩარჩოებში. რემონტების ჩატარებაზე დაკვეთის მომზადებას წინ უნდა უსწრებდეს სარემონტო სამუშაოების მოცულობის და ხანგრძლივობის შეფასებას. სარემონტო რეზერვის სიმძლავრის მდგენელი უნდა დაიგეგმოს, ენერგოსისტემის მუშაობის საიმედოობისადმი წაყენებული მოთხოვნების მიხედვით, აგრეგატების და მოწყობილობების რემონტის ხანგრძლივობა უნდა შეიზღუდოს საექსპლუატაციო და ტექნილოგიური ხასიათიდან გამომდინარე.

დასმული პრობლემების გადაწყვეტის მიზნით ლიტერატურის მიმოხილვის ანალიზის საფუძველზე და ჩატარებული კვლევის შედეგად ელექტროენერგეტიკულ სისტემაში შემავალ ენერგოობიექტებზე არსებული მოწყობილობა-დანადგარების ტექნიკური მდგომარეობის კომპლექსურად შეფასებაში გამოიკვეთა არამკაფიო ლოგიკის მეთოდის დიდი უპირატესობა [73,57,58]. ეს მეთოდი საშუალებას იძლევა ელექტროდანადგარების ტექნიკურ-ეკონომიკური მდგომარეობის შეფასებაში გათვალისწინებულ იქნას ფაქტორების დიდი რაოდენობა. ამოცანა მდგომარეობს იმაში, რომ ელექტროენერგეტიკული სისტემის ენერგოობიექტებზე არსებული ელექტროდანადგარების ტექნიკურ-ეკონომიკური შეფასებისათვის შეირჩეს ისეთი X_1 , X_2 , X_n ფაქტორები, რომლებიც უზრუნველყოფენ i

ელექტროდანადგარის Y_d რეიტინგის სრულყოფილად დადგენას. არსებული გამოცდილების [61,62,63,64,65,66,67] და რეალური მდგომარეობის ანალიზის საფუძველზე შერჩეული იქნა 12 ფაქტორი:

X_1 - ელექტროდანადგარის მიმდინარე ტექნიკური მდგომარეობა (ვიზუალური), ქულა;

X_2 - პერსონალის უსაფრთხოებაზე ზემოქმედება, ქულა;

X_3 - ელექტროენერგეტიკული სისტემის სამეცნიერო ზემოქმედება, ქულა;

X_4 - გარემოზე ზემოქმედება, ქულა;

X_5 - ელექტროდანადგარის ღირებულება, ლარი;

X_6 - ელექტროდანადგარის ავარიული გამორთვების სიხშირე, პროცენტი/100;

X_7 - ელექტროდანადგარის რემონტის დრო, საათი;

X_8 - ელექტროდანადგარის რემონტისთვის საჭირო სარემონტო პერსონალის რაოდენობა, კაცი;

X_9 - ელექტროდანადგარის ექსპლუატაციაში ყოვნის ხანგრძლივობა, წელი;

X_{10} - ელექტროდანადგარის ტექნიკური მდგომარეობის გაზომვის შედეგები, ქულა;

X_{11} - ხანგრძლივობა (ბოლოს ჩატარებული რემონტიდან), წელი;

X_{12} - ელექტროდანადგარის საშუალო დატვირთვა, პროცენტი;

Y_d - ელექტროდანადგარის მიმდინარე რეიტინგი, ქულა.

Y_d - დაბალი ქულა (რეიტინგი) აღნიშნავს, ელექტროდანადგარის ცუდ მიმდინარე ტექნიკურ-ეკონომიკურ მდგომარეობას.

X_1, \dots, X_{12} ფაქტორების შეფასებათა სისტემა მოცემულია ცხრილ №23-ში:

ცხრილი №23. X_1, \dots, X_{12} ფაქტორების და Y_d რეიტინგის შეფასებათა სისტემა

№	ფაქტორი	შეფასებათა სისტემა (მინიმალური და მაქსიმალური ზღვრები)		
		1 (ცუდი)	2 (საშუალო)	3 (კარგი)
1	X_1	1 (ცუდი)	2 (საშუალო)	3 (კარგი)
2	X_2	1 (დიდი)	2 (საშუალო)	3 (მცირე)
3	X_3	1 (დიდი)	2 (საშუალო)	3 (მცირე)
4	X_4	1 (დიდი)	2 (საშუალო)	3 (მცირე)

5	X_5	შესაფასებელი I_1, I_2, \dots, I_n ელ.დანადგარების Z_1, Z_2, \dots, Z_n დირებულებებს შორის მინიმალური და მაქსიმალური მნიშვნელობა		
6	X_6	შესაფასებელი I_1, I_2, \dots, I_n ელ.დანადგარების G_1, G_2, \dots, G_n ავარიული გამორთვების სიხშირეებს შორის მინიმალური და მაქსიმალური მნიშვნელობა		
7	X_7	შესაფასებელი I_1, I_2, \dots, I_n ელ.დანადგარების T_1, T_2, \dots, T_n სარემონტო დროებს შორის მინიმალური და მაქსიმალური მნიშვნელობა		
8	X_8	შესაფასებელი I_1, I_2, \dots, I_n ელ.დანადგარების რემონტისთვის საჭირო P_1, P_2, \dots, P_n სარემონტო პერსონალის რაოდენობებს შორის მინიმალური და მაქსიმალური მნიშვნელობა		
9	X_9	შესაფასებელი I_1, I_2, \dots, I_n ელ.დანადგარების E_1, E_2, \dots, E_n ექსპლუატაციაში ყოფნის ხანგრძლივობებს შორის მინიმალური და მაქსიმალური მნიშვნელობა		
10	X_{10}	1 (ცუდი)	2 (საშუალო)	3 (კარგი)
11	X_{11}	შესაფასებელი I_1, I_2, \dots, I_n ელ.დანადგარების ბოლოს ჩატარებული რემონტიდან K_1, K_2, \dots, K_n ხანგრძლივობებს შორის მინიმალური და მაქსიმალური მნიშვნელობა		
12	X_{12}	0 % (მცირე)	50 % (საშუალო)	100 % (დიდი)
13	Y_d	1 (ცუდი)	2 (საშუალო)	3 (კარგი)

ექსპერტული შეფასების საფუძველზე შედგენილია X_1, \dots, X_{12} მახასიათებლების გავლენის მატრიცა Y_d რეიტინგზე. შედეგები შეტანილია ცხრილ №24-ში.

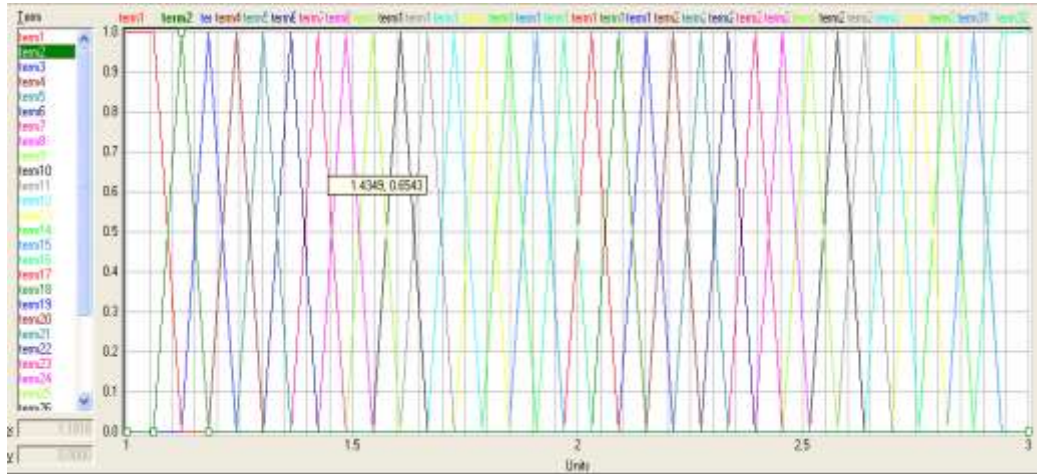
ცხრილი №24. X_1, \dots, X_{12} მახასიათებლების გავლენის მატრიცა Y_d რეიტინგზე

ფაქტორი	X_1	X_2	X_3	X_4	X_5	X_6
	ზრდა	ზრდა	ზრდა	ზრდა	ზრდა	ზრდა
Y_d	ზრდა	ზრდა	ზრდა	ზრდა	კლება	კლება
	დადებითი კავშირი		უარყოფითი კავშირი		უარყოფითი კავშირი	

გაგრძელება:

ფაქტორი	X_7	X_8	X_9	X_{10}	X_{11}	X_{12}
	ზრდა	ზრდა	ზრდა	ზრდა	ზრდა	ზრდა
Y_d	კლება	კლება	კლება	ზრდა	კლება	კლება
	უარყოფითი კავშირი		დადებითი კავშირი		უარყოფითი კავშირი	

Y_d რეიტინგის და X_1, X_2, \dots, X_{12} ფაქტორების არამკაფიო სიმრავლეზე დასაყვანად გამოყენებულია სამკუთხედის წევრის ფუნქცია და ცხრილ №1-ში ასახული მაჩვენებლები დაყოფილია 32 ნაწილად. ერთ-ერთი მაჩვენებელს აქვს ნახაზი. №16 მოცემული ზოგადი სახე:



ნახაზი №16 სამკუთხედის წევრის ზოგადი ფუნქცია

X_1, X_2, \dots, X_{12} ფაქტორების Y_d რეიტინგის შეფასებაზე ფუნქციურ დამოკიდებულებას აქვს შემდეგი სახე:

$$Y_1, Y_2, \dots, Y_i = \psi_1(X_1, X_2), \quad (62) \quad Y_s = \psi_2(Y_1, Y_2, \dots, Y_i) \quad (62)$$

სადაც, ψ_1 და ψ_2 პროცედურაა, რომელიც შეიცავს წესების ბაზას და აკაგშირებს X_1, X_2, \dots, X_{12} და Y_d მახასიათებლებს ერთმანეთთან.

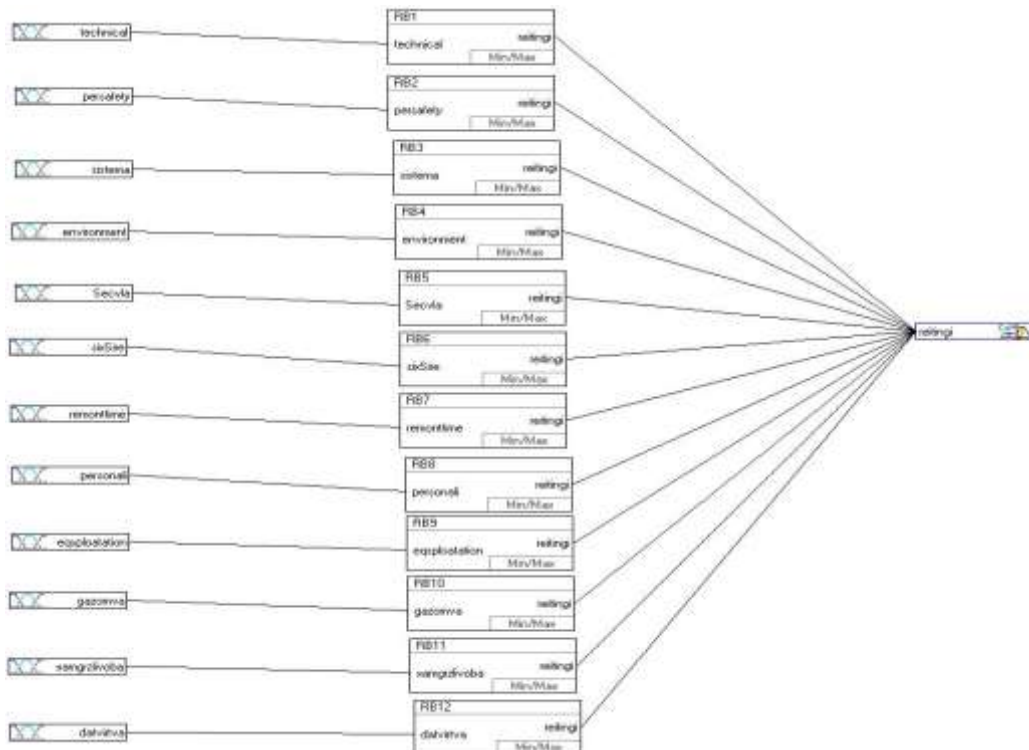
X_1, X_2, \dots, X_{12} ფაქტორების Y_d რეიტინგზე გავლენის მატრიცის n რაოდენობის ჩამოყალიბებული წესების მიხედვით დგინდება ყოველ X_1, X_2, \dots, X_{12} მახასიათებლის ცვალებადობის გავლენა Y_d -ს მნიშვნელობაზე. ეს პროცესი აღწერილია ნახაზი. №17-ზე:

#	IF dat1	THEN DoS	risk1fin
1	term1	1.00	term32
2	term2	1.00	term31
3	term3	1.00	term30
4	term4	1.00	term29
5	term5	1.00	term28
6	term6	1.00	term27
7	term7	1.00	term26
8	term8	1.00	term25

ნახაზი №17 ჩამოყალიბებული წესების ზოგადი სტრუქტურა

სადაც, $term_i = X_1, X_2, \dots, X_{12}$ და Y_d მახასიათებლების i ინტერვალია; $Dos - i$ ინტერვალის შესაბამისი წესის წონაა;

წარმოდგენილი შემსვლელი ინფორმაციის დამუშავებისა (ფაზიფიკაცია) და საბოლოო შედეგის (დეფაზიფიკაცია) მისაღებად სხვადასხვა დატვირთვის კვანძის გათვალისწინებით შემუშავდა არამკაფიო მოდელირების პროცესის მიმდინარეობის ინტერაქტიული ზოგადი ბლოკ-სქემა (ნახაზი. №18).



ნახაზი №18. ელექტროდანადგარის კომპლექსური ტექნიკურ-ეკონომიკური მდგრმარეობის შეფასების ზოგადი მოდელი

სადაც, $technical, \dots, datvirtva$ (პირველი ბლოკი) – i ფაქტორია; RBi – i ფაქტორის Y_d რეიტინგზე გავლენის წესების მაჩვენებელი ბლოკია; Y_d – ელექტროდანადგარის მიმდინარე რეიტინგია.

საბოლოო შედეგის მიღება (დეფაზიფიკაცია) განხორციელდა მაქსიმუმის ცენტრის მეთოდის გამოყენებით (მინიმაქსის პრინციპი) [73,57,58], რომელსაც აქვთ შემდეგი ზოგადი სახე:

$$Y_d = \frac{(X_1\mu_1 + X_2\mu_2 + \dots + X_n\mu_n)}{(\mu_1 + \mu_2 + \dots + \mu_n)} \quad (63)$$

სადაც, \mathbf{X}_i - i ფაქტორია; $\boldsymbol{\mu}_i$ - i ფაქტორის მნიშვნელობის დამაჯერებლობის ხარისხია (ალბათობა)

ზემოაღნიშნული მეთოდოლოგიით ენერგობიექტზე არსებული ყველა ელექტროდანადგარისათვის განხორციელდა ტექნიკურ-ეკონომიკური მდგომარეობის შეფასება და მიღებულია Y_{d1}, \dots, Y_{dn} შეფასებათა სიმრავლე.

ენერგობიექტზე არსებული ელექტროდანადგარების პრევენციული რემონტებისათვის გამოყოფილი B_d შეზღუდული ბიუჯეტის პირობებში Y_{d1}, \dots, Y_{dn} შეფასებათა სიმრავლეების საფუძველზე ოპტიმალურად შეირჩევა ელექტროდანადგარების ის ერთობლიობა, რომელთაც გააჩნიათ დაბალი რეიტინგი (ცუდი მიმდინარე ტექნიკურ-ეკონომიკური მდგომარეობა).

ზემოაღნიშნული პრობლემა გამოისახება შემდეგი კრიტერიუმების სახით:

1. პრევენციულ რემონტში გასაყვანი ელ.მოწყობილობების რაოდენობის მაქსიმუმი;
2. პრევენციულ რემონტში გასაყვანი დაბალი რეიტინგის მქონე ელ.მოწყობილობების მაქსიმუმი;
3. პრევენციული რემონტისთვის გამოყოფილი თანხის გამოყენების მაქსიმუმი.

მატემატიკურად ოპტიმიზაციის [69,77] ფუნქცია, შეზღუდვებით გამოისახება შემდეგნაირად:

$$\mathbf{L} \rightarrow \max \quad (64)$$

შეზღუდვები:

$$\mathbf{D} + \mathbf{R} - \mathbf{Y}_d = \mathbf{L}$$

$$\mathbf{D}_1 + \mathbf{D}_2 + \dots + \mathbf{D}_n = \mathbf{D} \quad (65)$$

$$\begin{aligned} R_1 * D_1 + R_2 * D_2 + \dots + R_n * D_n &= R \\ Y_{d1} * D_1 + Y_{d2} * D_2 + \dots + Y_{dn} * D_n &= Y_d \\ R &\leq B_d \\ R &= B_d \quad D_1, D_2, \dots, D_n : 0,1 \end{aligned}$$

სადაც, Y_d – ელ.დანადგარების ჯამური რეიტინგია; R (B_d) – პრევენციული რემონტებისათვის გამოყოფილი ჯამური ბიუჯეტის თანხაა; $D_i = 0$ an 1 (0 ელ.დანადგარი არ ექვემდებარება პრევენციულ რემონტს, 1 ელ.დანადგარი ექვემდებარება პრევენციულ რემონტს); D - პრევენციულ რემონტში გასული ელ.დანადგარების ჯამური რაოდენობაა; Y_{di} – i ელ.დანადგარის მიმდინარე რეიტინგია.

ჩატარებული კვლევების შედეგებიდან გამომდინარე შემუშავებულია ელექტროენერგეტიკული სისტემის ენერგობიექტზე არსებული ელექტროდანადგარების/მოწყობილობების მიმდინარე ტექნიკურ-ეკონომიკური მდგომარეობის შეფასების ალგორითმი, რომელიც ასახულია ცხრილ №25-ში:

ცხრილი №25. ელექტროენერგეტიკული სისტემის ენერგობიექტზე არსებული ელ.დანადგარების/მოწყობილობების მიმდინარე ტექნიკურ-ეკონომიკური მდგომარეობის შეფასების ალგორითმი

1	დასაწყისი
2	შესაფასებელი I_1, I_2, \dots, I_n ელ.დანადგარების სიის ფორმირება
3	I_1, I_2, \dots, I_n ელ.დანადგარების შეფასებათა სისტემის ფორმირება (მინიმალური და მაქსიმალური ზღვრები)
4	ექსპერტული შეფასების საფუძველზე X_1, \dots, X_{12} მახასიათებლების Y_d რეიტინგზე გავლენის მატრიცის ფორმირება
5	Y_d რეიტინგის და X_1, X_2, \dots, X_{12} ფაქტორების არამკაფიო სიმრავლეზე დაყვანა
6	X_1, X_2, \dots, X_{12} ფაქტორების Y_d რეიტინგზე გავლენის მატრიცის ន რაოდენობის ჩამოყალიბებული წესების ფორმირება
7	ელ.დანადგარის კომპლექსური ტექნიკური მდგომარეობის შეფასების მოდელის ფორმირება
8	შესაფასებელი I_1, I_2, \dots, I_n ელექტროდანადგარისათვის ტექნიკური მდგომარეობის შეფასება და Y_{d1}, \dots, Y_{dn} შეფასებათა სიმრავლის ფორმირება
9	პრევენციული რემონტებისათვის გამოყოფილი B_d შეზღუდული ბიუჯეტის პირობებში Y_{d1}, \dots, Y_{dn} შეფასებათა სიმრავლეების საფუძველზე ოპტიმიზაციის მიზნის ფუნქციის (კრიტერიუმების) და შესაბამისი შეზღუდვების ფორმირება
10	შემუშავებული (4) ოპტიმიზაციის ფუნქციის საფუძველზე პრევენციულ რემონტში გასაყვანი ელ.დანადგარების სიის ფორმირება
11	დასასრული

ელექტროენერგეტიკულ სისტემაში თ დროის მონაკვეთში მაგენერიზებელი წყაროების რემონტების ოპტიმალური დაგეგმვის გადასაწყვეტად შემუშავებული მეთოდოლოგია ატარებს კომპლექსურ ხასიათს, მასში გათვალისწინებულია ოპტიმიზაციის შემდეგი კრიტერიუმები:

1. ოპერატიული რეზერვის მაქსიმუმი (მგვტ-ში) $R \rightarrow \max$;
2. ჰიდროელექტროსადგურების მიერ წყლის გამოყენების მაქსიმუმი (კუბურ მეტრში) $H \rightarrow \max$;
3. რემონტი გასაყვანი გენერაცორების ავარიული გამორთვების ალბათობის (კოვფიციენტის) მაქსიმუმი $O \rightarrow \max$.

ზემოაღნიშნული 3 კრიტერიუმის მიხედვით შემუშავდა გენერატორების პრევენციული რემონტების ოპტიმალური დაგეგმვის წლიური (კვირების მიხედვით) გრაფიკის წრფივი ოპტიმიზაციის ფუნქცია და ალგორითმი, რომელსაც აქვს შემდეგი სახე:

$$\text{მიზნის ფუნქცია} \quad X \rightarrow \max \quad (68)$$

შეზღუდვები

$X = R - H + O$

$$\begin{aligned}
& A_{11} + A_{21} + A_{31} + \dots + A_{521} = 1 \\
& A_{12} + A_{22} + A_{32} + \dots + A_{522} = 1 \\
& \cdots \cdots \cdots \cdots \cdots \cdots \cdots \cdots \\
& A_{1n} + A_{2n} + A_{3n} + \dots + A_{52n} = 1 \\
& G_{1dadg} * A_{11} + G_{2dadg} * A_{12} + \dots + G_{ndadg} * A_{1n} = P_{1remont} \\
& G_{1dadg} * A_{21} + G_{2dadg} * A_{22} + \dots + G_{ndadg} * A_{2n} = P_{2remont} \\
& \cdots \cdots \cdots \cdots \cdots \cdots \cdots \cdots \\
& G_{1dadg} * A_{52n} + G_{2dadg} * A_{52n} + \dots + G_{ndadg} * A_{52n} = P_{52remont} \\
& R_1 = G_d - D_1 - P_{1remont} \\
& R_2 = G_d - D_2 - P_{2remont} \\
& \cdots \cdots \cdots \cdots \cdots \cdots \cdots \cdots \\
& R_{52} = G_d - D_{52} - P_{52remont} \\
& R = R_1 + R_2 + \dots + R_{52} \\
& H_1 = h_{11} * A_{11} + h_{12} * A_{12} + \dots + h_{1n} * A_{1n} \\
& H_2 = h_{21} * A_{21} + h_{22} * A_{22} + \dots + h_{2n} * A_{2n} \\
& \cdots \cdots \cdots \cdots \cdots \cdots \cdots \cdots \\
& H_{52} = h_{521} * A_{521} + h_{522} * A_{522} + \dots + h_{52n} * A_{52n} \\
& H = H_1 + H_2 + \dots + H_{52} \\
& O_1 = o_{11} * A_{11} + o_{12} * A_{12} + \dots + o_{1n} * A_{1n} \\
& O_2 = o_{21} * A_{21} + o_{22} * A_{22} + \dots + o_{2n} * A_{2n} \\
& \cdots \cdots \cdots \cdots \cdots \cdots \cdots \cdots \\
& O_{52} = o_{521} * A_{521} + o_{522} * A_{522} + \dots + o_{52n} * A_{52n} \\
& O = O_1 + O_2 + \dots + O_{52} \\
& A_{11}, A_{12}, \dots, A_{1n} = \text{Oor1} \\
& A_{21}, A_{22}, \dots, A_{2n} = \text{Oor1} \\
& R_1, R_2, \dots, R_{52} \geq M_1, M_2, \dots, M_{52}
\end{aligned} \tag{69}$$

სადაც, $A_j - i$ კვირაა, j გენერატორის რემონტი გაყვანის მდგომარეობაა.

გენერატორის მდგომარეობის აღნიშვნა: 0 - აგრეგატი არ არის რემონტი, 1 აგრეგატი რემონტია;

$R_i - i$ კვირის აქტიური სიმძლავრის რეზერვის სიდიდე, მგვტ-ში;

M_i - ელექტროენერგეტიკული სისტემისთვის i კვირის აქტიური სიმძლავრის რეზერვის საჭირო რაოდენობაა;

$G_{idagm} - i$ გენერატორის დადგმული სიმძლავრეა, მგვტ-ში;

$D_i - i$ კვირის ელექტროენერგეტიკული სისტემის პიკური დატვირთვაა, მგვტ-ში;

$P_{iremont} - i$ კვირის რემონტი გასული გენერატორების ჯამური სიმძლავრეა, მგვტ-ში;

$h_{ij} - i$ კვირას j გენერატორის წყლის ჩამონადენია, კუბურ მეტრში;

$H_i - i$ კვირას რემონტი გასული ჰესების მკვებავი მდინარეების ჯამური წყლის ჩამონადენია, კუბურ მეტრში;

$o_{ij} - i$ კვირას j გენერატორის გამორთვის ალბათობაა;

$O_i - i$ კვირას რემონტი გაყვანილი გენერატორების აგარიული გამორთვების ჯამური ალბათობებია (კოეფიციენტებია);

G_d - ელექტროენერგეტიკული სისტემის დადგმული სიმძლავრეა, მგვტ-ში;

ჩატარებული კვლევების შედეგებიდან გამომდინარე შემუშავებულია ელექტროენერგეტიკული სისტემაში პრევენციულ რემონტი გასაყვანი გენერატორების ოპტიმალური წლიური (კვირების მიხედვით) გრაფიკის ფორმირების ალგორითმი, რომელიც ასახულია ცხრილ №26-ში:

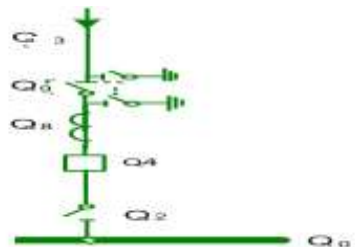
ცხრილი №26. ელექტროენერგეტიკული სისტემაში პრევენციულ რემონტი გასაყვანი გენერატორების ოპტიმალური წლიური (კვირების მიხედვით)
გრაფიკის ფორმირების ალგორითმი

1	დასაწყისი
2	რემონტი გასაყვანი J_1, J_2, \dots, J_n გენერატორების სის ფორმირება
3	J_1, J_2, \dots, J_n გენერატორების და ელექტროენერგეტიკული სისტემის მონაცემების: G_{idagm} , o_{ij} , G_d , h_{ij} , D_i ფორმირება
4	ოპტიმიზაციის მიზნის ფუნქციის (კრიტერიუმების) და შესაბამისი

შეზღუდვების ფორმირება	
5	ოპტიმიზაციის ფუნქციის საფუძველზე J_1, J_2, \dots, J_n გენერატორების პრევენციული რემონტების ოპტიმალური დაგეგმვის წლიური (კვირეების მიხედვით) გრაფიკის ფორმირება
6	ზემოაღნიშნული გრაფიკის საფუძველზე ელექტროენერგეტიკული სისტემის აქტიური სიმძლავრის ყოველკვირეული ოპერატიული რეზერვის ფორმირება
7	დასასრული

3.2 ექსპერიმენტული ნაწილი

ზემოაღნიშნული მეთოდოლოგიის პრაქტიკული აპრობაციის მიზნით განხილულია ერთ-ერთი ქვესადგურის მინაერთის უჯრედი, რომლის ცალხაზოვანი სქემა მოცემულია ნახაზი №19-ზე:



ნახაზი №19. ქვესადგურის ერთ-ერთი მინაერთის უჯრედის ცალხაზოვანი სქემა

ექსპერტული შეფასების საფუძველზე ნახაზი №19-ზე მოცემული ცალხაზოვანი სქემის ელემენტების მონაცემები შეტანილია დანართ №4-ში.

ცხრილ №25-ში მოცემული ალგორითმის გამოყენებით, დანართ №4-ის მონაცემების საფუძველზე მიღებულ შედეგებს აქვთ ცხრილ №27-ში მოცემული სახე:

ცხრილი №27 ელ.დანადგარების ტექნიკურ-ეკონომიკური მაჩვენებლები (რეიტინგი)

ელემენტი	დასახელება	რეიტინგი
Q_0	სალტე	2.0
Q_2	გამთიშველი	1.9667
Q_3	შემომავალი სალტე	1.9791
Q_4	ამომრთველი	2.1389
Q_8	დენის ტრ-რი	2.1666
Q_9	გამთიშველი	2.1963

პრევენციული რემონტებისათვის გამოყოფილი ბიუჯეტის თანხის მაქსიმალური 10000 ლარის პირობებში ოპტიმიზაციის ფუნქცია მიიღებს შემდეგ სახეს:

$$L - \max \quad (66)$$

შეზღუდვები:

$$D+R - Y_d = 0$$

$$1000* D_1 + 2000* D_2 + 1000* D_3 + 4000* D_4 + 1500* D_5 + 3000* D_6 = R \quad (67)$$

$$2* D_1 + 1.9667* D_2 + 1.9791* D_3 + 2.1389* D_4 + 2.1666* D_5 + 2.1963* D_6 = Y_d$$

$$R \leq 10000$$

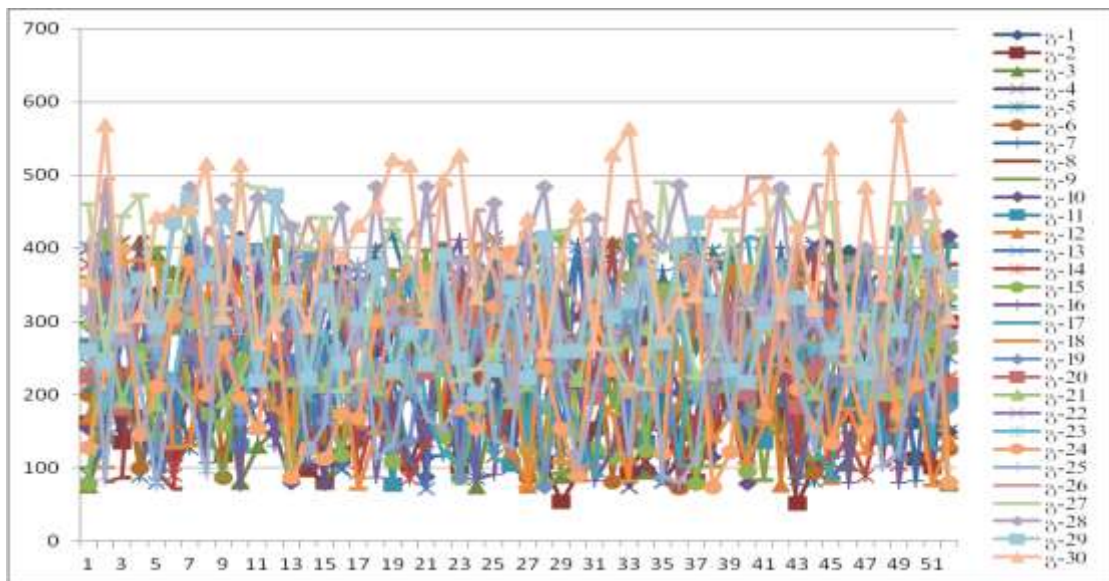
$$D_1, D_2, D_3, D_4, \dots, D_n: 0, 1$$

ოპტიმიზაციის შედეგად მიღებულია $Y_d = 8,281$ შეფასების საერთო რეიტინგი და პრევენციული რემონტისთვის შერჩეული ელ.მოწყობილობების ჩამონათვალი მოცემულია ცხრილ №28-ში.

ცხრილი №28. პრევენციული რემონტისთვის შერჩეული ელ.დანადგარები

ელემენტი	დასახელება	პრევენციული რემონტის ჩატარება
Q_0	სალტე	არა
Q_2	გამთიშველი	კი
Q_3	შემომავალი სალტე	კი
Q_4	ამომრთველი	კი
Q_8	დენის ტრ-რი	არა
Q_9	გამთიშველი	კი

ცხრილ №26-ში წარმოდგენილი ალგორითმის და შემუშავებული მეთოდოლოგიის პრაქტიკაში გამოყენების მიზნით, პრევენციული რემონტების ოპტიმალური დაგეგმვა განხორციელებულია ერთ-ერთი ელექტროენერგეტიკული სისტემის მაგალითზე, რომელიც აერთიანებს 32 მაგაზინირებელ წყაროს (გენერატორს). განხილული ელექტროენერგეტიკული სისტემის პირობებია: პრევენციულ რემონტში უნდა გავიდეს ყველა გენერატორი თითოეული 1 კვირის ხანგრძლივობით. აქტიური სიმძლავრის ყოველკვირეული რეზერვის უნდა იყოს ნოლზე მეტი. ანგარიშისათვის საწყისი მონაცემები მოცემულია დანართ №5, №6-ში და ნახაზი. №20-ზე.



ნახაზი. №20. ჰიდროელექტროსადგურების საშუალო წყალმომარაგება (მკვებავი მდინარეების წყლის ჩამონადენი) კვირეების მიხედვით, $\text{მ}^3/\text{წ}$

(12), (13), (14) ოპტიმიზაციის ფუნქციასა და განტოლებათა სისტემაში საწყისი მონაცემების ჩასმის და შესაბამისად მისი ამოხსნით მივიღებთ ელექტროენერგეტიკულ სისტემაში მომუშავე გენერატორების რემონტების ოპტიმალურ გრაფიკს, რომლის შედეგებიც შეტანილია ცხრილ №29-ში.

ცხრილი №29. გენერატორების რემონტების ოპტიმალური გრაფიკი კვირეების მიხედვით

გენერატორი	1	2	3	4	5	6	7	8	9	10	11	12	13	14	15	16
კვირა	21	43	24	33	44	36	28	6	52	15	19	27	21	36	1	10
გენერატორი	17	18	19	20	21	22	23	24	25	26	27	28	29	30	31	32
კვირა	45	14	28	3	24	34	47	38	5	17	16	26	24	28	1	1

III თავის დასკვნა

ჩატარებული კვლევების შედეგად, შემუშავებულია:

1. ელექტროენერგეტიკულ სისტემაში შემავალ
ენერგობიუქტებზე არსებული მოწყობილობა-დანადგარების ტექნიკურ-
ეკონომიკური მდგომარეობის კომპლექსური შეფასების მატემატიკური
მოდელი და მის საფუძველზე ჩამოყალიბებულია ამ პრობლემის
გადაწყვეტის მეთოდოლოგია და ალგორითმი.

2. პრევენციული რემონტებისთვის გამოყოფილი შეზღუდული
ბიუჯეტის პირობებში რემონტში გასაყვანი ელექტოდანადგარების
ოპტიმალური შერჩევის ოპტიმიზაციის ფუნქცია და ალგორითმი.

3. მაგენენირებელი წყაროების პრევენციული რემონტების
წლიური (კვირეების მიხედვით) გრაფიკის ოპტიმალური დაგეგმვის
ოპტიმიზაციის ფუნქცია და ალგორითმი.

ელექტროენერგეტიკულ სისტემაში პრევენციული რემონტების
ზემოთ ჩამოყალიბებული მეთოდოლოგია ატარებს უნივერსალურ
ხასიათს, მისი გამოყენება შესაძლებელია ნებისმიერი
ენერგოკომპანიისთვის. აღნიშნული მეთოდიკის პრაქტიკაში დანერგვა
მნიშვნელოვანწილად განაპირობებს ელექტროსისტემის საიმედო
ფუნქციონირებას, მომხარებელთა ელექტროენერგიით უწყვეტ
ელექტრომომარაგებას და გააუმჯობესებს ორგანიზაციის ეკონომიკურ
მაჩვენებლებს.

თავი IV. ელექტროენერგეტიკული სისტემის მუშაობის რეჟიმების ოპტიმალური დაგეგმვა

4.1 ამოცანის დასმა და პრობლემის გადაწყვეტის მეთოდოლოგია

ელექტროენერგეტიკული სისტემის გართულების და სიმძლავრის მუდმივი ზრდის პირობებში დიდი მნიშვნელობა ენიჭება სისტემის ნორმალური რეჟიმების ოპტიმალური მართვის საკითხის გადაწყვეტას. ოპტიმიზაციის ღონისძიებების გატარება არ მოითხოვს დიდ კაპიტალურ ხარჯებს, მაგრამ მათი გამოყენებით წარმოიქნება ის რეზერვი, რომელიც საშუალებას იძლევა მნიშვნელოვნად ამაღლდეს ელ. ენერგიის წარმოების, გადაცემისა და განაწილების ეკონომიკური, ტექნიკური და სხვ. ეფექტიანობა.

ლიტერატურული მიმოხილვის ანალიზიდან გამომდინარე განსაკუთრებულ აქტუალობას იძენს ელექტროენერგეტიკული სისტემების მუშაობის რეჟიმების ოპტიმიზაციის პრობლემის ისეთი სახით გადაწყვეტა, რომ მასში მაქსიმალურად გათვალისწინებული იყოს ყველა ის შესაძლო ფაქტორი, რომელიც მაქსიმალურად უზრუნველყოფს სისტემის მუშაობის ეფექტიანობას. ფუნქციონირების საიმედოობასთან ერთად მიღწეული უნდა იყოს სისტემაში შემავალი ყველა სუბიექტის ინტერესების დაცვა.

ელექტროენერგეტიკული სისტემების ფუნქციონირების რეჟიმების ოპტიმალური დაგეგმვის მსოფლიოში გამოჩენილი მეცნიერების ამ საკითხისადმი მიძღვნილი კვლევების [1,2,3,4,5] შედეგების შესწავლის და ლიტერატურული მიმოხილვის ანალიზის შედეგად მივედით იმ დასკვნამდე, რომ დასმული პრობლემის სრულყოფილად გადაჭრა შესაძლებელია კვლევისადმი სისტემური მიღვომით და ოპტიმიზაციის ისეთი კრიტერიუმის შერჩევით, რომელსაც ექნება კომპლექსური ხასიათი და მოიცავს ოპტიმიზაციაზე მოქმედ ყველა შესაძლო ფაქტორს.

სწორედ ამ გარემოების გათვალისწინებით არის შერჩეული ელექტროენერგეტიკული სისტემის ფუნქციონირების რეჟიმების ქვემო ჩამოთვლილი კრიტერიუმები:

საწყის ეტაპზე აქტიური სიმძლავრის ოპტიმალური განაწილებისთვის შემუშავებულია ოპტიმიზაციის ფუნქცია შემდეგი კრიტერიუმებისა და შეზღუდვების გათვალისწინებით:

- მარეგულირებელი პიდროელექტროსადგურების გამომუშავება – $E_{hpp\,(reg)}$ მაქსიმუმი;
- მარეგულირებელი პიდროელექტროსადგურების დატვირთვის გრაფიკში მონაწილეობა – G_{hpp} მაქსიმუმი;
- მარეგულირებელი პიდროელექტროსადგურებიდან იძულებით გაშვებული წყლის მოცულობა – W მინიმუმი;
- მარეგულირებელ ელექტროსადგურების წყლის ხარჯი - $Q_{hpp\,(reg)}$ მინიმუმი;
- სეზონური პიდროელექტროსადგურების გამომუშავება – $E_{hpp\,(sez)}$ მაქსიმუმი;
- სეზონური პიდროელექტროსადგურების გამოუყენებელი წყლის მოცულობა – Z მინიმუმი;
- ობოედექტროსადგურების სათბობის ხარჯი - B მინიმუმი;
- ობოედექტროსადგურების CO_2 ემისია - C მინიმუმი;
- ელექტროენერგიის წარმოების შეფერხებების რისკის დონე – S მინიმუმი;
- ელექტროენერგიის წარმოების საშუალო შეწონილი ტარიფი – T_{sas} მინიმუმი.

ელექტროსადგურებს აქტიური სიმძლავრის ოპტიმალური განაწილების ოპტიმიზაციის ფუნქციის შესადგენად საწყის ეტაპზე განხორციელებულია ელექტროსადგურების (აგრეგატების) ენერგეტიკული მახასიათებლების აგება [1,2,5].

ელექტროენერგიის წარმოების, გადაცემისა და განაწილების პროცესში ენერგოსისტემის თითოეული ელემენტის, დანადგარმოწყობილობების მუშაობის ეფექტურობა დამოკიდებულია მთელ რიგ ტექნიკურ-ეკონომიკურ მახასიათებლებზე, რომელთა შორის

მნიშვნელოვანი როლი უჭირავს ელექტროსადგურების (აგრეგატების) ენერგეტიკულ მახასიათებლებს [1,2,5].

ელექტროენერგეტიკული რეჟიმების ოპტიმიზაციის ამოცანების გადასაწყვეტად განტოლებათა სისტემაში ელექტროსადგურის სახარჯო და თბოელექტროსადგურების მავნე ნივთიერებების გამონაბოლქვის ემისიის მახასიათებლების გათვალისწინების მიზნით გამოყენებულია მახასიათებლების გენერატორის დატვირთვაზე დამოკიდებულების აღმწერი მეორე რიგის პოლინომის ფუნქცია [1,2,5]:

$$Q = a + bP + cP^2 \quad (70) \quad \text{წყლის ხარჯის ენერგეტიკული მახასიათებელი}$$

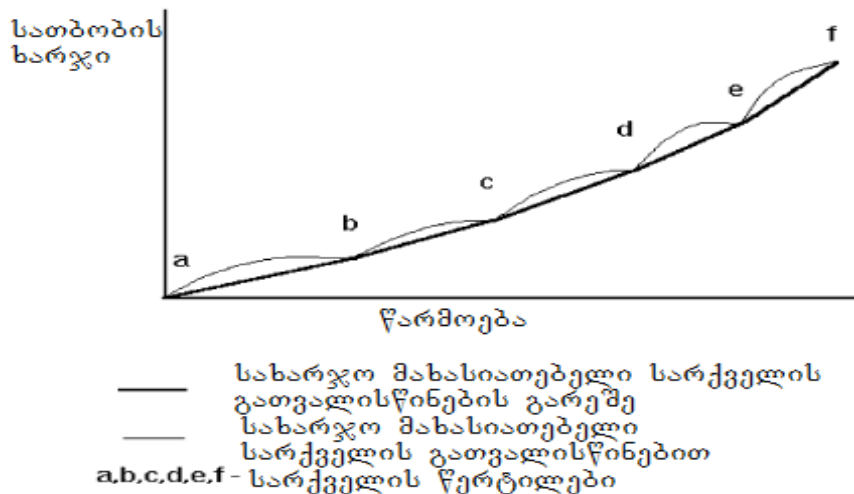
$$B = a + bP + cP^2 \quad (71) \quad \text{სათბობის ხარჯის ენერგეტიკული მახასიათებელი}$$

სადაც, a – სათბობის ხარჯია a , b , c – სათბობის და წყლის ხარჯის მახასიათებლების კოეფიციენტებია; P – თბოელექტროსადგურის და ჰიდროელექტროსადგურის გენერატორების ელექტროენერგიის მიმდინარე გამომუშავებაა;

სახარჯო მახასიათებლების აგების საფუძველს შეიძლება წარმოადგენდეს როგორც ქარხნული მონაცემები, ასევე ნატურალური გაზომვების შედეგები. ქარხნული მონაცემები ექსპლუატაციის პირობებში იცვლება და, ამიტომ, საჭიროა პერიოდულად ჩატარდეს ნატურალური გაზომვები. ნატურალური გაზომვები საშუალებას გვაძლევს დავადგინოთ საქარხნო მონაცემების დროში ცვლილების დინამიკა და, აქედან გამომდინარე, ასეთი გაზომვების შედეგები უფრო მიახლოებულია რეალობასთან.

ზემოაღნიშნული სათბობის ხარჯის ენერგეტიკული მახასიათებელი აღწერს მხოლოდ მცირე სიმძლავრის ერთსარქველიანი ორთქლტურბინიანი ტურბინების სახარჯო მახასიათებლებს. პრაქტიკაში თბოელექტროსადგურის ექსპლუატაციის დროს სათბობის ხარჯი გაცილებით მეტია ვიდრე სათბობის ხარჯის პვადრატული მახასიათებელის შემთხვევაში, რაც განპირობებულია სარქველების რაოდენობითა და მათი მახასიათებლებით, რასაც “სარქველის დატვირთვის ეფექტს” უწოდებენ [78,79,80]. დიდი სიმძლავრის ორთქლტურბინიანი თბოელექტროსადგურები ექსპლუატაციის

პროცესში დატვირთვის გაზრდის დროს თანმიმდევრობით ხორციელდება სარქველების გადება/დაკეტვა. თითოეული სარქველის გადების დროს ხდება სათბობის ხარჯის დიდი ზრდა, რაც გამოწვეულია დანაკარგებით. აღნიშნული თანდათანობით იკლებს სარქველის გადებასთან ერთად. აღნიშნულის გათვალისწინებით სათბობის სახარჯო მახასიათებელი მიიღებს ნახაზი. №21-ზე მოცემულ სახეს:



ნახაზი №21. სათბობის სახარჯო მახასიათებელი სარქველის ეფექტის გათვალისწინებით და გათვალისწინების გარეშე (5 სარქველის შემთხვევაში)

ოპტიმიზაციის ფუნქციაში “სარქველის დატვირთვის ეფექტი”-ს გასათვალისწინებლად მსოფლიო პრაქტიკაში გამოყენებულია სინუსოიდალური ფუნქცია [78,79,80].

საბოლოო მახასიათებელს აქვს შემდეგი სახე:

$$B = a + bP + cP^2 + |e * \sin(f(P_{\min} - P))| \quad (71)$$

სადაც, B – სათბობის ხარჯია a , b , c – სათბობის ხარჯის მახასიათებლის კოეფიციენტებია; e და f სარქველის მდგომარეობის ამსახველი წერტილების კოეფიციენტებია. P_{\min} – თბოელექტროსადგურის გენერატორის მიერ ელექტროენერგიის დასაშვები მინიმალური გამომუშავებაა; P – თბოელექტროსადგურის გენერატორის ელექტროენერგიის მიმდინარე გამომუშავებაა;

დიდი გლობალური პრობლემა, რომელიც უკავშირდება ენერგოეფექტურობას, არის გარემოს დაცვა ანუ ენერგეტიკის გარემოზე ნებატიური ზემოქმედების შემცირება. ენერგეტიკის განვითარება

გავლენას ახდენს გარემომცველ სამყაროს ყველა სტრუქტურულ ელემენტზე: ატმოსფეროზე, ჰიდროსფეროზე თუ ლითოსფეროზე. ენერგორესურსების მაქსიმალურად დაზოგვა და მათი ეკოლოგიურად უსაფრთხოდ გამოყენება თანამედროვე საკაცობრიო პრობლემა. საქართველოს ენერგოსისტემის დაბალეფექტურობა უშუალო კავშირშია გარემოს დაბინძურების მასშტაბებთან. ელექტროენერგეტიკული სისტემა მაგნენირებელი წყაროები თბოელექტროსადგურები, რომლებიც ორგანული სათბობის უდიდეს მომხმარებლებს წარმოადგენენ ატმოსფერული ჰაერის ყველაზე დიდი დამაბინძურებელიც არიან. ორგანული სათბობის წვის შედეგად ატმოსფეროში გამოიბოლქვება სხვადასხვა მავნე ნივთიერებები: SO_2 -ის, NO_x , CO_2 , V_2O_5 და მტვრის ემისიები [81].

აქედან გამომდინარე თბოელექტროსადგურების რეჟიმების ოპტიმიზაცია გარდა სათბობის ხარჯის მინიმიზაციისა, აგრეთვე აქტუალურია ატმოსფეროში გამონაბოლქვი სხვადასხვა მავნე ნივთიერებების ოპტიმიზაციის კუთხიდაც.

აღნიშნულიდან გამომდინარე ოპტიმიზაციის ფუნქციაში შემოტანილია CO_2 ემისიის მახასიათებელი [13,24,26].

$$C = C_0 + aP + bp^2 \quad \text{CO}_2\text{-ის ემისიის მახასიათებელი} \quad (72)$$

სადაც, $C - \text{CO}_2$ ემისიის მოცულობაა; C_0 , a , $b - \text{CO}_2$ ემისიის მახასიათებლის კოეფიციენტებია; P - თბოელექტროსადგურის გენერატორის ელექტროენერგიის მიმდინარე გამომუშავებაა; ექსპერიმენტით (ნატურალური გაზომვების) მონაცემების საფუძველზე ანალიზური გამოსახულების მისაღებად გამოყენებულია უმცირეს კვადრატო მეთოდი [5].

ზემოაღნიშნული კრიტერიუმებისა და ელექტროსადგურების მახასიათებლების საფუძველზე ელექტროენერგეტიკულ სისტემაში ყოველსაათობრივად (დღე-დამურად) ელექტროსადგურებს შორის აქტიური სიმძლავრის ოპტიმალური განაწილების უზრუნველსაყოფად შემუშავებულია არაწრფივი ოპტიმიზაციის ფუნქცია შემდეგი შეზღუდვებით:

მიზნის ფუნქცია:

$$E_{hpp(rsg)} + E_{hpp(sez)} - (G_{hpp} + W + Z + B + Q + C + S + T_{saS}) \Rightarrow max \quad (73)$$

შეზღუდვები:

საძიებო ცვლადები: $P_{jk}, P_{jo}, P_{jf}, P_{jy}$

გენერატორის სტატუსი: $X_{jk}, X_{jo}, X_{jf}, X_{jy}$

ელექტროენერგეტიკული ბალანსი: $E_j + E_{j\ import} = D_j + E_{j\ export}$

იმპორტი: თუ $E_j < D_j$ მაშინ $E_{j\ import} = D_j - E_j$ (74)

სხვა შემთხვევაში $E_{j\ import} = 0$

ექსპორტი: თუ $E_j > D_j$ მაშინ $E_{j\ export} = E_j - D_j$

სხვა შემთხვევაში $E_{j\ export} = 0$

სადაც,

$E_{hpp(rsg)}$ – ელექტროენერგეტიკულ სისტემაში არსებული მარეგულირებელი ჰიდროელექტროსადგურების ჯამური დღე-დამური გამომუშავებაა, მგვტ.სთ;

$E_{hpp(sez)}$ - ელექტროენერგეტიკულ სისტემაში არსებული სეზონური ჰიდროელექტროსადგურების ჯამური დღე-დამური გამომუშავებაა, მგვტ.სთ;

Z - ელექტროენერგეტიკულ სისტემაში არსებული სეზონური ჰიდროელექტროსადგურების გამოუყენებელი წყლის ჯამური დღე-დამური მოცულობაა, მლნ.მ³;

G_{hpp} - ელექტროენერგეტიკულ სისტემაში არსებული მარეგულირებელი ჰიდროელექტროსადგურების დღე-დამური დატვირთვის გრაფიკში მაქსიმალური მონაწილეობის აღმნიშვნელი ცვლადია (ელექტროენერგეტიკული სისტემის ჯამური დატვირთვისა და მარეგულირებელი ჰიდროელექტროსადგურების ჯამური წარმოების შორის სხვაობაა), მგვტ.სთ;

W - ელექტროენერგეტიკულ სისტემაში არსებული მარეგულირებელი წყალსაცავებიდან იძულებით გაშვებული წყლის ჯამური დღე-დამური მოცულობაა, მლნ. მ³;

B - ელექტროენერგეტიკულ სისტემაში არსებული თბოელექტროსადგურების ჯამური დღე-დამური სათბობის ხარჯია, კგ/სთ;

Q - ელექტროენერგეტიკულ სისტემაში არსებული მარეგულირებელი ჰიდროელექტროსადგურების ჯამური დღე-დამური წყლის ხარჯია, მ³/წმ;

C - ელექტროენერგეტიკულ სისტემაში არსებული თბოელექტროსადგურების ჯამური დღე-დამური CO_2 ემისიის მოცულობაა, კგ/სთ;

S - ელექტროენერგეტიკულ სისტემაში არსებული ელექტროსადგურების ელექტროენერგიის წარმოების შეფერხებების რისკის ჯამური დღე-დამური დონე;

P_{jk} - **j** საათს **k** გენერატორის ელენერგიის გამომუშავებაა (მარეგულირებელი ჰიდროელექტროსადგური), მგვტ.სთ;

P_{jo} - **j** საათს **o** გენერატორის ელენერგიის გამომუშავებაა (სეზონური ჰიდროელექტროსადგური), მგვტ.სთ;

P_{jf} - **j** საათს **f** გენერატორის ელენერგიის გამომუშავებაა (თბოელექტროსადგური), მგვტ.სთ;

P_{jy} - **j** საათს **y** გენერატორის ელენერგიის გამომუშავებაა (სხვა გენერაციის წყარო), მგვტ.სთ;

X_{jk} - **j** საათს **k** გენერატორის მდგომარეობაა (0 - გამორთულია, 1 - ჩართულია);

X_{jo} - **j** საათს **o** გენერატორის მდგომარეობაა (0 - გამორთულია, 1 - ჩართულია);

X_{jf} - **j** საათს **f** გენერატორის მდგომარეობაა (0 - გამორთულია, 1 - ჩართულია);

X_{jy} - **j** საათს **y** გენერატორის მდგომარეობაა (0 - გამორთულია, 1 - ჩართულია);

E_j - **j** საათს ელექტროენერგეტიკული სისტემაში ელექტროენერგიის გამომუშავებაა, მგვტ.სთ;

$E_{j \text{ import}}$ - **j** საათს ელექტროენერგეტიკული სისტემაში იმპორტირებული ელექტროენერგიის მოცულობაა, მგვტ.სთ;

D_j - j საათს ელექტროენერგეტიკული სისტემის დატვირთვაა, მგვინარებელი;

$E_{j \text{ export}}$ - j საათს ელექტროენერგეტიკული სისტემიდან ექსპორტირებული ელექტროენერგიის მოცულობაა, მგვინარებელი;

მარეგულირებელი პიდროელექტროსადგურებში:

- ელექტროენერგიის გამომუშავება განისაზღვრება შემდეგი გამოსახულებით:

$$\begin{aligned} E_{hpp(\text{reg})} &= \sum_{i=1}^m E_{hpp(\text{reg})i} & E_{hpp(\text{reg})i} &= \sum_{j=1}^{24} E_{hpp(\text{reg})j} \\ E_{hpp(\text{reg})j} &= \sum_{k=1}^n E_{hpp(\text{reg})jk} & E_{hpp(\text{reg})jk} &= P_{jk} \end{aligned} \quad (75)$$

$$P_{jk \min} \leq P_{jk} \leq P_{jk \max}$$

$$\text{თუ } P_{jk \min} < P_{jk} \text{ მაშინ } X_{jk} = 1$$

$$\text{სხვა შემთხვევაში } X_{jk} = 0$$

სადაც,

j - საათია;

i - მარეგულირებელი პიდროელექტროსადგურის ნომერია;

m - ელექტროენერგეტიკული სისტემაში არსებული მარეგულირებელი პიდროელექტროსადგურის რაოდენობაა;

n - i მარეგულირებელი პიდროელექტროსადგურზე მდგარი გენერატორების რაოდენობაა;

k - i მარეგულირებელი პიდროელექტროსადგურზე არსებული გენერატორების ნომრებია;

$P_{jk \min}$ - j საათს k გენერატორის მიერ ელ.ენერგიის მინიმალური გამომუშავებაა, მგვინარებელი;

$P_{jk \max}$ - j საათს k გენერატორის მიერ ელ.ენერგიის მაქსიმალური გამომუშავებაა, მგვინარებელი;

P_{jk} - j საათს k გენერატორის მიერ ელ.ენერგიის გამომუშავებაა, მგვტ.სთ;

$E_{hpp(\text{reg})j}$ - j საათს მარეგულირებელი პიდროელექტროსადგურის ჯამური გამომუშავებაა, მგვტ.სთ;

$E_{hpp(\text{reg})i}$ - i მარეგულირებელი პიდროელექტროსადგურის მიერ ელ.ენერგიის დღე-დამური გამომუშავებაა, მგვტ.სთ;

$E_{hpp(\text{reg})}$ - ელექტროენერგეტიკულ სისტემი არსებული მარეგულირებელი პიდროელექტროსადგურის მიერ ელ.ენერგიის დღე-დამური გამომუშავებაა, მგვტ.სთ;

- დატვირთვის გრაფიკში მაქსიმალური მონაწილეობა იანგარიშება ფორმულით:

$$G_{hpp} = \sum_{j=1}^{24} G_{jhpp} \quad G_{jhpp} = D_j - E_{hpp(\text{reg})j} \quad (76)$$

სადაც,

D_j - j საათს ელექტროენერგეტიკული სისტემის ჯამური დატვირთვაა, მგვტ.სთ;

G_{jhpp} - j საათს ელექტროენერგეტიკული სისტემის ჯამური დატვირთვისა და მარეგულირებელი პიდროელექტროსადგურების ჯამური წარმოების შორის სხვაობაა, მგვტ.სთ.

- წყლის ხარჯი გამოითვლება:

$$Q_{hpp(\text{reg})} = \sum_{i=1}^m Q_{hpp(\text{reg})i} \quad Q_{hpp(\text{reg})i} = \sum_{j=1}^{24} Q_{hpp(\text{reg})j} \quad (77)$$

$$Q_{hpp(\text{reg})j} = \sum_{k=1}^n 3600 * Q_{hpp(\text{reg})jk} \quad Q_{hpp(\text{reg})jk} = a_{jk} + b_{jk}P_{jk} + c_{jk}P_{jk}^2$$

სადაც,

a_{ji}, b_{jk}, c_{jk} - j საათს i მარეგულირებელი
პიდროელექტროსადგურის k გენერატორის წყლის ხარჯის
ენერგეტიკული მახსინათებლის კოეფიციენტებია;

$Q_{hpp\text{(reg)}jk}$ - j საათს i მარეგულირებელი
პიდროელექტროსადგურის k გენერატორის P_{jk} შესაბამისი დატვირთვის
წყლის ხარჯია, $\text{მ}^3/\text{წმ}$;

$Q_{hpp\text{(reg)}j}$ - j საათს i მარეგულირებელი
პიდროელექტროსადგურის k გენერატორის P_{jk} შესაბამისი დატვირთვის
წყლის საათობრივი ხარჯია, $\text{მ}^3/\text{წმ}$;

$Q_{hpp\text{(reg)}i}$ - i მარეგულირებელი პიდროელექტროსადგურის დღე-
ღამური წყლის ხარჯია, $\text{მ}^3/\text{წმ}$;

$Q_{hpp\text{(reg)}}$ - ელექტროენერგეტიკულ სისტემაში არსებული
მარეგულირებელი პიდროელექტროსადგურების ჯამური დღე-ღამური
წყლის ხარჯია, $\text{მ}^3/\text{წმ}$;

- წყლის ბალანსი განისაზღვრება შემდეგი გამოსახულებით:

$$V_{i,j+1} = V_{ji} + 3600 * H_{ji} - 3600 * Q_{ji} - 3600 * W_{ji} \quad V_{24} = V_1 \\ 0 \leq W_{jk} \leq W_{jk\max} \quad W_j = \sum_{k=1}^n W_{jk} \quad W_i = \sum_{j=1}^{24} W_j \quad W = \sum_{i=1}^m W_i \quad (78)$$

სადაც,

V_{ji} - j საათს i მარეგულირებელი პიდროელექტროსადგურის
წყალსაცავში არსებული წყლის მოცულობაა, $\text{მლ}.$ მ^3 ;

H_{ji} - j საათს i მარეგულირებელი პიდროელექტროსადგურის
წყალსაცავში წყლის ბუნებრივი ჩამონადენია, $\text{მ}^3/\text{წმ}$;

Q_{ji} - j საათს i მარეგულირებელი პიდროელექტროსადგურის
წყლის ხარჯია, $\text{მ}^3/\text{წმ}$, ელექტროენერგიის წარმოებაზე;

W_{ji} - j საათს i მარეგულირებელი პიდროელექტროსადგურიდან
იძულებით გაშვებული წყლის მოცულობაა, $\text{მ}^3/\text{წმ}$;

$W_{jk\max}$ - j საათს i მარეგულირებელი
პიდროელექტროსადგურიდან იძულებით გაშვებული წყლის
მაქსიმალური (დასაშვები) მოცულობაა, $\text{მ}^3/\text{წმ}$;

W_i - i მარეგულირებელი პიდროელექტროსადგურიდან დღე-ღამურად იძულებით გაშვებული წყლის ჯამური მოცულობაა, მ³/წმ;

W - ელექტროენერგეტიკულ სისტემაში არსებული მარეგულირებელი წყალსაცავიდან იძულებით გაშვებული წყლის ჯამური მოცულობაა, მ³/წმ.

- ელექტროენერგიის გამომუშავების რისკის დონის შეფასება წარმოებს განტოლებით:

$$S_{hpp(reg)} = \sum_{i=1}^m S_{hpp(reg)i} \quad S_{hpp(reg)i} = \sum_{j=1}^{24} S_{hpp(reg)j}$$

$$S_{hpp(reg)j} = \sum_{k=1}^n S_{hpp(reg)jk} \quad S_{hpp(reg)jk} = R_{hpp(reg)jk} * P_{jk} \quad (79)$$

სადაც,

j - საათია;

i - მარეგულირებელი პიდროელექტროსადგურის ნომერია;

m - ელექტროენერგეტიკულ სისტემაში არსებული მარეგულირებელი პიდროელექტროსადგურის რაოდენობაა;

n - i მარეგულირებელ პიდროელექტროსადგურზე მდგარი გენერატორების რაოდენობაა;

k - i მარეგულირებელ პიდროელექტროსადგურზე არსებული გენერატორების ნომრებია;

P_{jk} - j საათს i მარეგულირებელი პიდროელექტროსადგურის k გენერატორის მიერ ელენერგიის გამომუშავებაა, მგვტ.სთ;

$R_{hpp(reg)jk}$ - j საათს i მარეგულირებელი პიდროელექტროსადგურის k გენერატორის გამორთვის ალბათობაა;

$S_{hpp(reg)jk}$ - j საათს i მარეგულირებელი პიდროელექტროსადგურის k გენერატორის რისკის დონე;

$S_{hpp(reg)j}$ - j საათს i მარეგულირებელი პიდროელექტროსადგურის გამომუშავების რისკის დონე;

$S_{hpp(reg)i}$ - i მარეგულირებელი პიდროელექტროსადგურის გამომუშავების დღე-ღამური რისკის დონე;

$S_{hpp(\text{reg})}$ - ელექტროენერგეტიკულ სისტემაში არსებული მარეგულირებელი პიდროველექტროსადგურების დღე-დამური გამომუშავების რისკის დონე.

- გაყიდული ელექტროენერგიიდან მიღებული შემოსავალის საანგარიშო ფორმულას აქვს სახე:

$$I_{hpp(\text{reg})} = \sum_{i=1}^m I_{hpp(\text{reg})i} \quad I_{hpp(\text{reg})i} = \sum_{j=1}^{24} I_{hpp(\text{reg})j} \quad (80)$$

$$I_{hpp(\text{reg})j} = \sum_{k=1}^n I_{hpp(\text{reg})jk} \quad I_{hpp(\text{reg})jk} = T_{hpp(\text{reg})jk} * P_{jk}$$

სადაც,

j - საათია;

i - მარეგულირებელი პიდროველექტროსადგურის ნომერია;

m - ელექტროენერგეტიკულ სისტემაში არსებული მარეგულირებელი პიდროველექტროსადგურის რაოდენობაა;

n - i მარეგულირებელ პიდროველექტროსადგურზე მდგარი გენერატორების რაოდენობაა;

k - i მარეგულირებელ პიდროველექტროსადგურზე არსებული გენერატორების ნომრებია;

P_{jk} - j საათს i მარეგულირებელი პიდროველექტროსადგურის k გენერატორის მიერ ელენერგიის გამომუშავებაა, მგვტ.სთ;

$T_{hpp(\text{reg})jk}$ - j საათს i მარეგულირებელი პიდროველექტროსადგურის k გენერატორის ელექტროენერგიის წარმოების ტარიფია, ლარი/მგვტ.სთ;

$I_{hpp(\text{reg})jk}$ - j საათს i მარეგულირებელი პიდროველექტროსადგურის k გენერატორის შემოსავალია, ლარი/სთ;

$I_{hpp(\text{reg})j} - j$ საათს i მარეგულირებელი პიდროველექტროსადგურის j გენერატორის შემოსავალია, ლარი/სთ;

$I_{hpp(\text{reg})i}$ - i მარეგულირებელი პიდროელექტროსადგურის დღე-ღამური შემოსავალია, ლარი/სთ;

$I_{hpp(\text{reg})}$ - ელექტროენერგეტიკულ სისტემაში არსებული მარეგულირებელი პიდროელექტროსადგურების ჯამური დღე-ღამური შემოსავალია, ლარი/სთ.

- სხვა სასადგურე და პიდროტექნიკური შეზღუდვები იანგარიშება:

$$Q_{hpp(\text{reg})jk,sxva} + W_{ji} \leq W_{jk \max} \quad (81)$$

სადაც,

$W_{jk \max}$ - j საათს i მარეგულირებელი პიდროელექტროსადგურიდან იძულებით გაშვებული წყლის მაქსიმალური (დასაშვები) მოცულობაა, $\text{მ}^3/\text{წ}$;

W_{ji} - j საათს i მარეგულირებელი პიდროელექტროსადგურიდან იძულებით გაშვებული წყლის მოცულობაა, $\text{მ}^3/\text{წ}$;

$Q_{hpp(\text{reg})jk,sxva}$ - j საათს i მარეგულირებელი პიდროელექტროსადგურის k გენერატორის სხვა წყლის ხარჯია გამოწვეული სხვადასხვა პიდროტექნიკური და სასადგურე შეზღუდვებით, კერძოდ მდინარის სანიტარული ნორმები, ირიგაციის მოთხოვნები და სხვა, $\text{მ}^3/\text{წ}$.

სეზონური პიდროელექტროსადგურებში:

- ელექტროენერგიის გამომუშავება იანგარიშება გამოსახულებით:

$$E_{hpp(sez)} = \sum_{i=1}^z E_{hpp(sez)i} \quad E_{hpp(sez)i} = \sum_{j=1}^{24} E_{hpp(sez)j} \quad E_{hpp(sez)j} = \sum_{o=1}^w E_{hpp(sez)jo} \quad (82)$$

$$E_{hpp(sez)jo} = P_{jo} \quad P_{jo \min} \leq P_{jo} \leq P_{jo \max}$$

$$\text{თუ } P_{j0 \min} < P_{j0} \text{ მაშინ } X_{j0} = 1$$

$$\text{სხვა შემთხვევაში } X_{j0} = 0$$

სადაც,

j – საათია;

i – სეზონური პიდროელექტროსადგურის ნომერია;

z – ელექტროენერგეტიკულ სისტემაში არსებული სეზონური პიდროელექტროსადგურის რაოდენობაა;

w – i სეზონურ პიდროელექტროსადგურზე მდგარი გენერატორების რაოდენობაა;

o – i სეზონურ პიდროელექტროსადგურზე არსებული გენერატორების ნომრებია;

$P_{j0 \ min}$ – j საათს o გენერატორის მიერ ელ.ენერგიის მინიმალური გამომუშავებაა, მგვტ.სთ;

$P_{j0 \ max}$ – j საათს o გენერატორის მიერ ელ.ენერგიის მაქსიმალური გამომუშავებაა, მგვტ.სთ;

P_{jo} - – j საათს o გენერატორის მიერ ელ.ენერგიის გამომუშავებაა, მგვტ.სთ;

$E_{hpp(sez)j}$ - j საათს სეზონური პიდროელექტროსადგურის მიერ ელ.ენერგიის ჯამური გამომუშავებაა, მგვტ.სთ;

$E_{hpp(sez)i}$ - i სეზონური პიდროელექტროსადგურის მიერ ელ.ენერგიის დღე-ღამური გამომუშავებაა, მგვტ.სთ;

$E_{hpp(sez)}$ - ელექტროენერგეტიკულ სისტემაში არსებული სეზონური პიდროელექტროსადგურის მიერ ელ.ენერგიის დღე-ღამური გამომუშავებაა, მგვტ.სთ;

- წყლის სარჯის მოცულობა გამოითვლება შემდეგი გამოსახულებით:

$$Q_{hpp(sez)} = \sum_{i=1}^z Q_{hpp(sez)i} \quad Q_{hpp(sez)i} = \sum_{j=1}^{24} Q_{hpp(sez)j} \quad (83)$$

$$Q_{hpp(sez)j} = \sum_{o=1}^w 3600 * Q_{hpp(sez)jo} \quad Q_{hpp(sez)jo} = a_{jo} + b_{jo}P_{jo} + c_{jo}P_{jo}^2$$

სადაც,

a_{jo}, b_{jo}, c_{jo} - j საათს i სეზონური პიდროელექტროსადგურის o გენერატორის წყლის ხარჯის ენერგეტიკული მახსიათებლის კოეფიციენტებია;

$Q_{hpp(sez)jo}$ - j საათს i სეზონური პიდროელექტროსადგურის o გენერატორის P_{jo} შესაბამისი დატვირთვის წყლის ხარჯია, $\text{მ}^3/\text{წ}$;

$Q_{hpp(sez)j}$ - j საათს i სეზონური პიდროელექტროსადგურის o გენერატორის P_{jo} შესაბამისი დატვირთვის წყლის საათობრივი ხარჯია, $\text{მ}^3/\text{წ}$;

$Q_{hpp(sez)i}$ - i სეზონური პიდროელექტროსადგურის დღე-დამური წყლის ხარჯია, $\text{მ}^3/\text{წ}$;

$Q_{hpp(sez)}$ - ელექტროენერგეტიკულ სისტემაში არსებული სეზონური პიდროელექტროსადგურების ჯამური დღე-დამური წყლის ხარჯია, $\text{მ}^3/\text{წ}$;

- ელექტროენერგიის გამომუშავების რისკის დონის შეფასება წარმოებულია შემდეგი ფორმულებით:

$$S_{hpp(sez)} = \sum_{i=1}^z S_{hpp(sez)i} \quad S_{hpp(sez)i} = \sum_{j=1}^{24} S_{hpp(sez)j} \\ S_{hpp(sez)j} = \sum_{o=1}^w S_{hpp(sez)jo} \quad S_{hpp(sez)jo} = R_{hpp(sez)jo} * P_{jo} \quad (84)$$

სადაც,

j - საათია;

i - სეზონური პიდროელექტროსადგურის ნომერია;

z - ელექტროენერგეტიკულ სისტემაში არსებული სეზონური პიდროელექტროსადგურის რაოდენობაა;

w - i სეზონურ პიდროელექტროსადგურზე მდგარი გენერატორების რაოდენობაა;

o - i სეზონურ პიდროელექტროსადგურზე არსებული გენერატორების ნომრებია;

P_{jo} – j საათს i სეზონური პიდროელექტროსადგურის ი გენერატორის მიერ ელ.ენერგიის გამომუშავებაა, მგვტ.სთ;

$R_{hpp(ssz)jo}$ - j საათს i სეზონური პიდროელექტროსადგურის ი გენერატორის გამორთვის ალბათობაა;

$S_{hpp(ssz)jo}$ - j საათს i სეზონური პიდროელექტროსადგურის ი გენერატორის რისკის დონე;

$S_{hpp(ssz)j}$ – j საათს i სეზონური პიდროელექტროსადგურის გამომუშავების რისკის დონე;

$S_{hpp(ssz)i}$ – i სეზონური პიდროელექტროსადგურის გამომუშავების დღე-დამური რისკის დონე;

$S_{hpp(ssz)}$ - ელექტროენერგეტიკულ სისტემაში არსებული სეზონური პიდროელექტროსადგურების ელ.ენერგიის დღე-დამური გამომუშავების რისკის დონე.

- გაყიდული ელექტროენერგიიდან მიღებული შემოსაგალი იანგარიშება ფორმულით:

$$I_{hpp(ssz)} = \sum_{i=1}^z I_{hpp(ssz)i} \quad I_{hpp(ssz)i} = \sum_{j=1}^{24} I_{hpp(ssz)j} \quad (85)$$

$$I_{hpp(ssz)j} = \sum_{o=1}^w I_{hpp(ssz)jo} \quad I_{hpp(ssz)jo} = T_{hpp(ssz)jo} * P_{jo}$$

სადაც,

j – საათია;

i – სეზონური პიდროელექტროსადგურის ნომერია;

z – ელექტროენერგეტიკულ სისტემაში არსებული სეზონური პიდროელექტროსადგურის რაოდენობაა;

w – i სეზონურ პიდროელექტროსადგურზე მდგარი გენერატორების რაოდენობაა;

o – i სეზონურ პიდროელექტროსადგურზე არსებული გენერატორების ნომრებია;

P_{jo} - – j საათს i სეზონური პიდროელექტროსადგურის ი გენერატორის მიერ ელ.ენერგიის გამომუშავებაა, მგვტ.სთ;

$T_{hpp(ssz)j\sigma}$ - j საათს i სეზონური პიდროელექტროსადგურის o გენერატორის ელექტროენერგიის წარმოების ტარიფია, ლარი/მგვტ.სთ;

$I_{hpp(ssz)j\sigma}$ - j საათს i სეზონური პიდროელექტროსადგურის o გენერატორის შემოსავალია, ლარი/სთ;

$I_{hpp(ssz)j\sigma} = j$ საათს i სეზონური პიდროელექტროსადგურის შემოსავალია, ლარი/სთ;

$I_{hpp(ssz)i}$ - i სეზონური პიდროელექტროსადგურის დღე-დამური შემოსავალია, ლარი/სთ;

$I_{hpp(ssz)}$ - ელექტროენერგეტიკულ სისტემაში არსებული სეზონური პიდროელექტროსადგურების ჯამური დღე-დამური შემოსავალია, ლარი/სთ.

თბოელექტროსადგურებში:

- ელექტროენერგიის გამომუშავება იანგარიშება:

$$E_{thermal} = \sum_{i=1}^r E_{thermal\ i} \quad E_{thermal\ i} = \sum_{j=1}^{24} E_{thermal\ j} \quad E_{thermal\ j} = \sum_{f=1}^u E_{thermal\ jf} \quad (86)$$

$$E_{thermal\ jf} = P_{jf} \quad P_{jf\ min} \leq P_{jf} \leq P_{jf\ max}$$

$$\text{თუ } P_{jf\ min} < P_{jf} \text{ მაშინ } X_{jf} = 1$$

$$\text{სხვა შემთხვევაში } X_{jf} = 0$$

სადაც,

j - საათია;

i - სეზონური თბოელექტროსადგურის ნომერია;

z - ელექტროენერგეტიკულ სისტემაში არსებული თბოელექტროსადგურის რაოდენობაა;

w - i თბოელექტროსადგურზე მდგარი გენერატორების რაოდენობაა;

o - i თბოელექტროსადგურზე არსებული გენერატორების ნომრებია;

$P_{jo\ min}$ - j საათს o გენერატორის მიერ ელ.ენერგიის მინიმალური გამომუშავებაა, მგვტ.სთ;

$P_{j_{max}}$ - j საათს ი გენერატორის მიერ ელ.ენერგიის მაქსიმალური გამომუშავებაა, მგვტ.სთ;

P_{j_0} - j საათს ი გენერატორის მიერ ელ.ენერგიის გამომუშავებაა, მგვტ.სთ;

$E_{hpp(sez)j}$ - j საათს თბოელექტროსადგურის მიერ ელ.ენერგიის ჯამური გამომუშავებაა, მგვტ.სთ;

$E_{hpp(sez)i}$ - i თბოელექტროსადგურის მიერ ელ.ენერგიის დღე-ღამური გამომუშავებაა, მგვტ.სთ;

$E_{hpp(sez)}$ - ელექტროენერგეტიკულ სისტემაში არსებული თბოელექტროსადგურის მიერ ელ.ენერგიის დღე-ღამური გამომუშავებაა, მგვტ.სთ;

- სათბობის ხარჯის მოცულობა განისაზღვრება შემდეგი გამოსახულებით:

$$B_{thermal} = \sum_{i=1}^r B_{thermal\ i} \quad B_{thermal\ i} = \sum_{j=1}^{24} B_{thermal\ j} \quad (87)$$

$$\begin{aligned} B_{thermal\ j} &= \sum_{f=1}^u B_{thermal\ jf} \quad B_{thermal\ jf} \\ &= a_{jf} + b_{jf} P_{jf} + c_{jf} P_{jf}^2 + |e * \sin(f(P_{min} - P_{jf}))| \end{aligned}$$

სადაც,

a_{jf}, b_{jf}, c_{jf} - j საათს i თბოელექტროსადგურის f გენერატორის სათბობის ხარჯის ენერგეტიკული მახასიათებლის კოეფიციენტებია;

$B_{thermal\ jf}$ - j საათს i თბოელექტროსადგურის f გენერატორის

P_{jf} შესაბამისი დატვირთვის სათბობის ხარჯია, კგ/სთ;

$B_{thermal\ j}$ - j საათს i თბოელექტროსადგურის f გენერატორის

P_{jf} შესაბამისი დატვირთვის წყლის საათობრივი ხარჯია, კგ/სთ;

$B_{thermal\ i}$ - i თბოელექტროსადგურის დღე-ღამური სათბობის ხარჯია, კგ/სთ;

$B_{thermal}$ – ელექტროენერგეტიკულ სისტემაში არსებული თბოელექტროსადგურების ჯამური დღე-დამური სათბობის ხარჯია, კგ/სთ;

- CO_2 -ის ემისიის მოცულობა იანგარიშება შემდეგი ფორმულით:

$$C_{thermal} = \sum_{i=1}^r C_{thermal i} \quad C_{thermal i} = \sum_{j=1}^{24} C_{thermal j} \quad (88)$$

$$C_{thermal j} = \sum_{v=1}^u C_{thermal jf} \quad C_{thermal jv} = a_{jv} + b_{jv}P_{jv} + c_{jv}P_{jv}^2$$

სადაც,

a_{jv}, b_{jv}, c_{jv} - j საათს i თბოელექტროსადგურის v გენერატორის CO_2 ემისიის მახასიათებლის კოეფიციენტებია;

$C_{thermal jv}$ - j საათს i თბოელექტროსადგურის v გენერატორის P_{jv} შესაბამისი დატვირთვის პირობებში CO_2 ემისიის საათობრივი რაოდენობაა, კგ/სთ;

$C_{thermal j}$ - j საათს i თბოელექტროსადგურის P_{jv} ჯამური დატვირთვის პირობებში CO_2 ემისიის საათობრივი რაოდენობაა, კგ/სთ;

$C_{thermal i}$ - i თბოელექტროსადგურის CO_2 დღე-დამური ემისიის რაოდენობაა, კგ/სთ;

$C_{thermal}$ – ელექტროენერგეტიკულ სისტემაში არსებული თბოელექტროსადგურების CO_2 ემისიის ჯამური დღე-დამური რაოდენობაა, კგ/სთ;

- ელექტროენერგიის გამომუშავების რისკის დონის შეფასება სრულდება ფორმულით:

$$S_{thermal} = \sum_{i=1}^r S_{thermal i} \quad S_{thermal i} = \sum_{j=1}^{24} S_{thermal j} \quad (89)$$

$$S_{thermal j} = \sum_{f=1}^u S_{thermal jf} \quad S_{thermal jf} = R_{thermal jf} * P_{jf}$$

სადაც,

j – საათია;

i – თბოელექტროსადგურის ნომერია;

r – ელექტროენერგეტიკულ სისტემაში არსებული თბოელექტროსადგურის რაოდენობაა;

u – i თბოელექტროსადგურზე მდგარი გენერატორების რაოდენობაა;

f – i თბოელექტროსადგურზე არსებული გენერატორების ნომრებია;

P_{jf} – j საათს i თბოელექტროსადგურის ი გენერატორის მიერ ელენერგიის გამომუშავებაა, მგვტ.სთ;

$R_{thermal\ jf}$ – j საათს i თბოელექტროსადგურის ი გენერატორის გამორთვის ალბათობაა;

$S_{thermal\ jf}$ – j საათს i თბოელექტროსადგურის ი გენერატორის რისკის დონე;

$S_{thermal\ j}$ – j საათს i თბოელექტროსადგურის გამომუშავების რისკის დონე;

$S_{thermal\ i}$ – i თბოელექტროსადგურის გამომუშავების დღე-დამური რისკის დონე;

$S_{thermal}$ – ელექტროენერგეტიკულ სისტემაში არსებული თბოელექტროსადგურების დღე-დამური გამომუშავების რისკის დონე.

- გაყიდული ელექტროენერგიიდან მიღებული შემოსაგალი ნაანგარიშებულია შემდეგი გამოსახულებით:

$$I_{thermal} = \sum_{i=1}^r I_{thermal\ i} \quad I_{thermal\ i} = \sum_{j=1}^{24} I_{thermal\ j} \quad (90)$$

$$I_{thermal\ j} = \sum_{f=1}^u I_{thermal\ jf} \quad I_{thermal\ jf} = T_{thermal\ jf} * P_{jf}$$

სადაც,

j – საათია;

i – თბოელექტროსადგურის ნომერია;
 r – ელექტროენერგეტიკულ სისტემაში არსებული
 თბოელექტროსადგურის რაოდენობაა;
 u – i თბოელექტროსადგურზე მდგარი გენერატორების
 რაოდენობაა;
 f – i თბოელექტროსადგურზე არსებული გენერატორების
 ნომრებია;

P_{jf} – j საათს i თბოელექტროსადგურის f გენერატორის მიერ
 ელექტროგიის გამომუშავებაა, მგვტ.სთ;

$T_{thermal\ jf}$ – j საათს i თბოელექტროსადგურის f გენერატორის
 ელექტროენერგიის წარმოების ტარიფია, ლარი/მგვტ.სთ;

$I_{thermal\ jf}$ – j საათს i თბოელექტროსადგურის f გენერატორის
 შემოსავალია, ლარი/სთ;

$I_{thermal\ j}$ – j საათს i თბოელექტროსადგურის შემოსავალია,
 ლარი/სთ;

$I_{thermal\ i}$ – i თბოელექტროსადგურის დღე-დამური შემოსავალია,
 ლარი/სთ;

$I_{thermal}$ – ელექტროენერგეტიკულ სისტემაში არსებული
 თბოელექტროსადგურების ჯამური დღე-დამური შემოსავალია,
 ლარი/სთ.

- თბური (თერმული) შეზღუდვების ანგარიში ჩატარებულია
 ორ ეტაპად:

- ირველ ეტაპზე იანგარიშება გენერატორების ჩართულ
 მდგომარეობაში ყოფნის (მუშაობის) მინიმალური დრო:

$$T_{f,on,i,j} \geq T_{f,up,i,j} \quad (91)$$

სადაც,

$T_{f,on,j}$ – j საათს i თბოელექტროსადგურის f გენერატორის
 ჩართულ მდგომარეობაში ყოფნის (მუშაობის) დროა, სთ;

$T_{f,up,i,j}$ - j საათს i თბოელექტროსადგურის f გენერატორის ჩართულ მდგომარეობაში ყოფნის (მუშაობის) დასაშვები მინიმალური დროა, სო.

- მეორე ეტაპზე იანგარიშება გენერატორების გამორთულ მდგომარეობაში ყოფნის მინიმალური დრო:

$$T_{f,off,i,j} \geq T_{f,down,i,j} \quad (92)$$

სადაც,

$T_{f,off,j}$ - j საათს i თბოელექტროსადგურის f გენერატორის გამორთულ მდგომარეობაში ყოფნის დროა, სო;

$T_{f,off,i,j}$ - j საათს i თბოელექტროსადგურის f გენერატორის გამორთულ მდგომარეობაში ყოფნის მინიმალური დროა, სო.

გენერაციის სხვა წყაროების:

- ელექტროენერგიის გამომუშავების მოცულობების ანგარიში წარმოებს შემდეგი გამოსახულებით:

$$E_{other} = \sum_{i=1}^d E_{other,i} \quad E_{other,i} = \sum_{j=1}^{24} E_{other,j} \quad E_{other,j} = \sum_{y=1}^x E_{other,ji}$$

$$E_{other,ji} = P_{ji} \quad P_{jymin} \leq P_{ji} \leq P_{jymax} \quad (93)$$

$$\text{თუ } P_{jymin} < P_{ji} \text{ მაშინ } X_{ji} = 1$$

$$\text{სხვა შემთხვევაში } X_{ji} = 0$$

სადაც,

j – საათია;

i – სხვა ელექტროსადგურის ნომერია;

z – ელექტროენერგეტიკულ სისტემაში სხვა ელექტროსადგურის რაოდენობაა;

$w = i$ სხვა ელექტროსადგურზე მდგარი გენერატორების რაოდენობაა;

$o = i$ სხვა ელექტროსადგურზე არსებული გენერატორების ნომრებია;

$P_{jo\ min} = j$ საათს o გენერატორის მიერ ელენერგიის მინიმალური გამომუშავებაა, მგვტ.სთ;

$P_{jo\ max} = j$ საათს o გენერატორის მიერ ელენერგიის მაქსიმალური გამომუშავებაა, მგვტ.სთ;

$P_{jo} - = j$ საათს o გენერატორის მიერ ელენერგიის გამომუშავებაა, მგვტ.სთ;

$E_{hpp(sez)j} = j$ საათს სხვა ელექტროსადგურის მიერ ელენერგიის ჯამური გამომუშავებაა, მგვტ.სთ;

$E_{hpp(sez)i} = i$ სხვა ელექტროსადგურის მიერ ელენერგიის დღე-დამური გამომუშავებაა, მგვტ.სთ;

$E_{hpp(sez)} =$ ელექტროენერგეტიკულ სისტემაში არსებული სხვა ელექტროსადგურის მიერ ელენერგიის დღე-დამური გამომუშავებაა, მგვტ.სთ;

- პირველადი რესურსის ხარჯის ანგარიში ჩატარებულია შემდეგი ფორმულებით:

$$B_{other} = \sum_{i=1}^d B_{other\ i} \quad B_{other\ i} = \sum_{j=1}^{24} B_{other\ j} \quad (94)$$

$$B_{other\ j} = \sum_{y=1}^x B_{other\ jy} \quad B_{other\ jy} = a_{jy} + b_{jy}P_{jy} + c_{jy}P_{jy}^2$$

სადაც,

a_{jy}, b_{jy}, c_{jy} - j საათს i სხვა ელექტროსადგურის y გენერატორის პირველადი რესურსის ხარჯის ენერგეტიკული მახასიათებლის პოეფიციენტებია;

$B_{thermal\ jy}$ - j საათს i სხვა ელექტროსადგურის y გენერატორის P_{jy} შესაბამისი დატვირთვის პირველადი რესურსის ხარჯია, $\text{კგ}(\text{მ}^3)/\text{სთ}(\text{წმ})$;;

$B_{thermal\ j}$ - j საათს i სხვა ელექტროსადგურის y გენერატორის P_{jy} შესაბამისი დატვირთვის პირველადი რესურსის საათობრივი ხარჯია, $\text{კგ}(\text{მ}^3)/\text{სთ}(\text{წმ})$;;

$B_{thermal\ i}$ - i სხვა ელექტროსადგურის პირველადი რესურსის დღე-დამური ხარჯია, $\text{კგ}(\text{მ}^3)/\text{სთ}(\text{წმ})$;;

$B_{thermal}$ - ელექტროენერგეტიკულ სისტემაში არსებული სხვა ელექტროსადგურების პირველადი რესურსის ჯამური დღე-დამური ხარჯია, $\text{კგ}(\text{მ}^3)/\text{სთ}(\text{წმ})$;

- ელექტროენერგიის გამომუშავების რისკის დონე
შეფასებულია გამოსახულებით:

$$S_{other} = \sum_{i=1}^d S_{other\ i} \quad S_{other\ i} = \sum_{j=1}^{24} S_{other\ j} \quad (95)$$

$$S_{other\ j} = \sum_{y=1}^x S_{other\ jy} \quad S_{other\ jy} = R_{other\ jy} * P_{jy}$$

სადაც,

j - საათია;

i - სხვა ელექტროსადგურის ნომერია;

d - ელექტროენერგეტიკულ სისტემაში არსებული სხვა ელექტროსადგურის რაოდენობაა;

x - i სხვა ელექტროსადგურზე მდგარი გენერატორების რაოდენობაა;

y - i სხვა ელექტროსადგურზე არსებული გენერატორების ნომრებია;

P_{jy} - - j საათს i სხვა ელექტროსადგურის y გენერატორის მიერ ელენერგიის გამომუშავებაა, მგვტ.სთ;

$R_{other\ jy}$ - j საათს i სხვა ელექტროსადგურის უ გენერატორის გამორთვის ალბათობაა;

$S_{other\ jy}$ - j საათს i სხვა ელექტროსადგურის უ გენერატორის რისკის დონე;

$S_{other\ i}$ - j საათს i სხვა ელექტროსადგურის გამომუშავების რისკის დონე;

$S_{thermal\ i}$ - i საათს i სხვა ელექტროსადგურის გამომუშავების დღე-დამური რისკის დონე;

S_{other} - ელექტროენერგეტიკულ სისტემაში არსებული სხვა ელექტროსადგურების დღე-დამური გამომუშავების რისკის დონე.

- გაყიდული ელექტროენერგიიდან მიღებული შემოსავალი განისაზღვრება შემდეგი გამოსახულებით:

$$I_{other} = \sum_{i=1}^d I_{other\ i} \quad I_{other\ i} = \sum_{j=1}^{24} I_{other\ j} \quad (96)$$

$$I_{other\ j} = \sum_{y=1}^x I_{other\ jy} \quad I_{other\ jy} = T_{other\ jy} * P_{jy}$$

სადაც,

j - საათია;

i - სხვა ელექტროსადგურის ნომერია;

d - ელექტროენერგეტიკულ სისტემაში არსებული სხვა ელექტროსადგურის რაოდენობაა;

x - i სხვა ელექტროსადგურზე მდგარი გენერატორების რაოდენობაა;

y - i სხვა ელექტროსადგურზე არსებული გენერატორების ნომრებია;

P_{jy} - j საათს i სხვა ელექტროსადგურის უ გენერატორის მიერ ელენერგიის გამომუშავებაა, მგბტ.სთ;

$T_{other\ jy}$ - j საათს i სხვა ელექტროსადგურის უ გენერატორის ელექტროენერგიის წარმოების ტარიფია, ლარი/მგვტ.სთ;

$I_{\text{other } j}$ - j საათს i სხვა ელექტროსადგურის y გენერატორის შემოსავალია, ლარი/სთ;

$I_{\text{other } j} = j$ საათს i სხვა ელექტროსადგურის შემოსავალია, ლარი/სთ;

$I_{\text{other } i}$ - i სხვა ელექტროსადგურის დღე-დამური შემოსავალია, ლარი/სთ;

I_{other} - ელექტროენერგეტიკულ სისტემაში არსებული სხვა ელექტროსადგურების ჯამური დღე-დამური შემოსავალია, ლარი/სთ.

- ელექტროენერგიის წარმოების საშუალო შეწონილი ტარიფის საანგარიშო ფორმულას აქვს სახე:

$$T_{\text{sas}} = \frac{\sum_{j=1}^{24} T_{\text{sas } j}}{24} \quad T_{\text{sas } j} = \frac{(I_{\text{hpp(reg)} j} + I_{\text{hpp(sez)} j} + I_{\text{thermal } j} + I_{\text{other } j})}{(E_{\text{hpp(reg)} j} + E_{\text{hpp(sez)} j} + E_{\text{thermal } j} + E_{\text{other } j})} \quad (97)$$

T_{sas} - ელექტროენერგეტიკულ სისტემაში არსებული ელექტროსადგურების წარმოებული ელექტროენერგიის საშუალო დღე-დამური საშუალო შეწონილი ტარიფის სიდიდე, ლარი/მგვტ.სთ;

$I_{\text{hpp(reg)} j}$ - j საათს მარეგულირებელი პიდროელექტროსადგურების შემოსავალია, ლარი/სთ;

$I_{\text{hpp(sez)} j}$ - j საათს სეზონური პიდროელექტროსადგურების შემოსავალია, ლარი/სთ;

$I_{\text{thermal } j}$ - j საათს თბოელექტროსადგურების შემოსავალია, ლარი/სთ;

$I_{\text{other } j}$ - j საათს გენერაციის სხვა წყაროების შემოსავალია, ლარი/სთ;

$E_{\text{hpp(reg)} j}$ - j საათს მარეგულირებელი პიდროელექტროსადგურების გამომუშავებაა, მგვტ.სთ;

$E_{\text{hpp(sez)} j}$ - j საათს სეზონური პიდროელექტროსადგურების გამომუშავებაა, მგვტ.სთ;

$E_{\text{thermal } j}$ - j საათს თბოელექტროსადგურების გამომუშავებაა, მგვტ.სთ;

$E_{\text{other } j}$ - j საათს გენერაციის სხვა წყაროების გამომუშავებაა, მგვტ.სთ;

შემუშავებული ოპტიმიზაციის ფუნქცია ერთის მხრივ ახორციელებს ელექტროენერგეტიკულ სისტემაში გენერატორთა შემადგენლობის ოპტიმიზაციას და მეორეს მხრივ ადგენს მათ შორის აქტიური სიმძლავრის ოპტიმალური განაწილების პარამეტრებს.

შემდგომ ეტაპზე ელექტროენერგეტიკულ სისტემაში ელექტროსადგურებს შორის აქტიური სიმძლავრის ოპტიმალურ განაწილებაში (1) ალგორითმის საფუძველზე განსაზღვრული აქტიური სიმძლავრის ყოველსათობრივი ოპერატიული რეზერვის სიდიდეების გათვალისწინების მიზნით ელექტროენერგეტიკულ სისტემაში არსებული თითოეული გენერატორის მაქსიმალური სიმძლავრეები (გამომუშავება) შეზღუდვები შეიცვლება და მიიღებს შემდეგ სახეს:

$$P_{jk \min} \leq P_{jk} \leq (P_{jk \max} - P_{jk \text{ rez}}) \quad (98)$$

$$P_{jo \min} \leq P_{jo} \leq (P_{jo \max} - P_{jo \text{ rez}}) \quad (99)$$

$$P_{jf \min} \leq P_{jf} \leq (P_{jf \max} - P_{jf \text{ rez}}) \quad (100)$$

$$P_{jy \min} \leq P_{jy} \leq (P_{jy \max} - P_{jy \text{ rez}}) \quad (101)$$

სადაც,

$P_{jk \text{ rez}}$ - j საათს k გენერატორის ოპერატიული რეზერვის სიდიდეა (მარეგულირებელი ჰიდროელექტროსადგური), მგვტ.სთ;

$P_{jo \text{ rez}}$ - j საათს o გენერატორის ოპერატიული რეზერვის სიდიდეა (სეზონური ჰიდროელექტროსადგური), მგვტ.სთ;

$P_{jf \text{ rez}}$ - j საათს f გენერატორის ოპერატიული რეზერვის სიდიდეა (თბოელექტროსადგური), მგვტ.სთ;

$P_{jy \text{ rez}}$ - j საათს y გენერატორის ოპერატიული რეზერვის სიდიდეა (გენერაციის სხვა წყარო), მგვტ.სთ.

შემდგომ ეტაპზე ყოველსაათობრივად რეაქტიული სიმძლავრის წარმოების ოპტიმიზაციის მიზნით დადგენილია j საათისთვის ელექტროენერგეტიკულ სისტემაში პარალელურად მომუშავე გენერატორების რეაქტიული სიმძლავრის წარმოების ზედა და ქვედა ზღვრები გენერატორების სიმძლავრის კოეფიციენტის სათანადო დონეზე შენარჩუნების გზით.

თითოეული გენერატორისთვის სიმძლავრის კოეფიციენტის მინიმუმალურ დონედ მიღებულ იქნა 0,85. აქტიური სიმძლავრის მიხედვით სიმძლავრეთა სამკუთხედის საფუძველზე [82] დადგენილ იქნა რეაქტიული სიმძლავრის გამომუშავების/მოხმარების ზედა და ქვედა ზღვრები:

$$\text{ზედა ზღვარი: } Q_{max} = \sqrt{\frac{P^2}{0,7225} - P^2} \quad (102)$$

ქვედა ზღვარი არის მისი შებრუნებული სიდიდე $Q_{min} = -Q_{max}$ (103).

მეოთხე ეტაპზე ზემოთ დამუშავებული მეოთვიკის საფუძველზე ელექტროენერგეტიკულ სისტემაში j საათისთვის დამყარებული რეჟიმის ანგარიშისა და სიმულაციის (სიმძლავრეთა განაწილება, სხვადასხვა ტექნიკური პარამეტრების (ძაბვა, ელექტროგადაცემის ხაზების დატვირთულობა და სხვ.) მიზნით გამოყენებულია ნიუტონ-რაფსონის მეთოდი [83,84].

მეხუთე ეტაპზე j საათისთვის ელექტროენერგეტიკულ სისტემაში არსებული აქტიური სიმძლავრის დანაკარგების გენერატორებზე ოპტიმალური განაწილების მიზნით გამოყენებულია აქტიური სიმძლავრის ფარდობითი ნაზრდის მეთოდი [1]. აღნიშნული მეთოდის მეშვეობით j საათისთვის ელექტროენერგეტიკულ სისტემაში არსებული მაბალანსირებელი კვანძის მიმართ გაანგარიშებულია გენერატორების აქტიური სიმძლავრის ფარდობითი ნაზრდის მნიშვნელობები და სისტემის ჯამური დანაკარგი. აქტიური სიმძლავრის დანაკარგი გადანაწილებულია გენერატორების ფარდობითი დანაკარგის მნიშვნელობების მინიმუმის პრინციპით, ყველაზე მცირე მნიშვნელობის მქონე გენერატორებზე მათი გამომუშავების შესაძლებლობების მიხედვით.

მეექვსე ეტაპზე ზემოაღნიშნული მეთოდიკით განსაზღვრული მნიშვნელობების მიხედვით j საათისთვის ნიუტონ-რაფსონის მეთოდის გამოყენებით განხორციელებულია ელექტროენერგეტიკული სისტემის რეჟიმული პარამეტრების საბოლოო მნიშვნელობების დადგენა.

№1,2,3,4 თავებში ჩამოყალიბებული მეთოდოლოგიის მიხედვით ელექტროენერგეტიკულ სისტემაში j საათისთვის მუშაობის

ოპტიმალური რეჟიმის ანგარიშისა და დაგეგმვისათვის შემუშავებულია ცხრილ №30-ში მოცემული ალგორითმი:

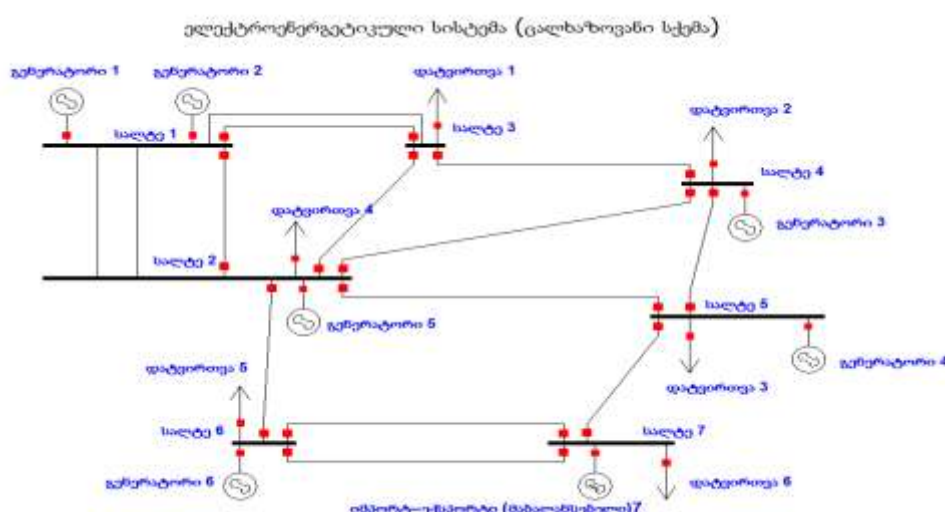
ცხრილი №30. ლექტროენერგეტიკულ სისტემაში ყოველსაათობრივი (დღე-დამური) მუშაობის ოპტიმალური რეჟიმის ანგარიშისა და დაგეგმვის ალგორითმი

1	დასაწყისი
2	ელექტროენერგეტიკულ სისტემაში i ($i=1, \dots, 24$) საათისთვის g ($g=1, \dots, k$) გენერატორების და მათი ტექნიკური პარამეტრების სის ფორმირება
3	ელექტროენერგეტიკულ სისტემაში j ($j=1, \dots, n$) დატვირთვის პვანების და მათი ტექნიკური პარამეტრების სის ფორმირება
4	i ($i=1, \dots, 24$) საათისთვის ელექტროენერგიის მოკლევადიან მოხმარებაზე მოქმედი X_1, \dots, X_{16} ფაქტორების საპროგნოზო მნიშვნელობების ფორმირება
5	j ($j=1, \dots, n$) დატვირთვის კვანძის ელექტროენერგიის მოხმარების მოკლევადიანი პროგნოზირებისათვის შესაბამისი საპროგნოზო მოდელის (ხელოვნური ნეირონული ქსელი) შერჩევა
6	j ($j=1, \dots, n$) დატვირთვის კვანძის ელექტროენერგიის მოხმარების მოკლევადიანი i ($i=1, \dots, 24$) (საათობრივი, დღე-დამური) მნიშვნელობების პროგნოზირება
7	j ($j=1, \dots, n$) დატვირთვის კვანძის i ($i=1, \dots, 24$) ყოველსაათობრივი საპროგნოზო მნიშვნელობების ფორმირება
8	ცხრილი №25 და №26-ის ალგორითმების საფუძველზე i ($i=1, \dots, 24$) საათისთვის პრევენციულ რემონტში გაყვანილი g ($g=1, \dots, k$) გენერატორების სის ფორმირება
9	i ($i=1, \dots, 24$) საათისთვის პრევენციულ რემონტში გაუყვანელი g ($g=1, \dots, k$) გენერატორების სის ფორმირება
10	g ($g=1, \dots, k$) გენერატორებისათვის ენერგეტიკული და CO_2 ემისიის გახასიათებლების ფორმირება
11	(73) ოპტიმიზაციის ფუნქციის საფუძველზე i ($i=1, \dots, 24$) საათისთვის აქტიური სიმძლავრის ოპტიმალური განაწილება ექსპორტის და იმპორტის გათვალისწინებით
12	11-ე ეტაპის საფუძველზე პარალელურად მომუშავე გენერატორების სის ფორმირება
13	(73) ოპტიმიზაციის ფუნქციის და 12-ე ეტაპზე ფორმირებული სის საფუძველზე i ($i=1, \dots, 24$) საათისთვის ელექტროენერგეტიკულ სისტემაში აქტიური სიმძლავრის ოპერატორის მოქადაცების რეზერვის ფორმირება
14	(73) ოპტიმიზაციის ფუნქციის და 13-ე ეტაპზე ფორმირებული ოპერატორის რეზერვის საფუძველზე i ($i=1, \dots, 24$) საათისთვის ელექტროენერგეტიკულ სისტემაში აქტიური სიმძლავრის ოპტიმალური განაწილება ოპერატორის რეზერვის, ექსპორტის და იმპორტის გათვალისწინებით

15	$i (i=1, \dots, 24)$ საათისთვის $g (g=1, \dots, k)$ გენერატორების ოპტიმალური აქტიური სიმძლავრეების ფორმირება
16	$i (i=1, \dots, 24)$ საათისთვის $g (g=1, \dots, k)$ გენერატორების რეაქტიული სიმძლავრის წარმოებისა და მოხმარების მიზნიმალური და მაქსიმალური ზღვრების ფორმირება
17	$i (i=1, \dots, 24)$ საათისთვის ელექტროენერგეტიკული სისტემის დამყარებული რეჟიმის ანგარიში და სიმულაცია
18	$i (i=1, \dots, 24)$ საათისთვის $g (g=1, \dots, k)$ გენერატორების აქტიური სიმძლავრის დანაკარგების ფარდობითი ნაზრდის მნიშვნელობების ფორმირება და მის საფუძველზე პარალელურად მომუშავე გენერატორებზე დანაკარგების გადანაწილება
19	აქტიური სიმძლავრის დანაკარგების გათვალისწინებით $i (i=1, \dots, 24)$ საათისთვის ელექტროენერგეტიკული სისტემის რეჟიმული პარამეტრების საბოლოო სიის ფორმირება
20	დასასრული

4.2 ექსპერიმენტული ნაწილი

შემუშავებული ალგორითმის აპრობაციის მიზნით განხილულია ელექტროენერგეტიკული სისტემა, რომლის ტექნიკური პარამეტრებია ცხრილ №№31,32,33,34,35,36-ში მოცემული მონაცემები. სისტემის ცალხაზოვანი სქემა მოცემულია ნახაზი №22-ზე. ელექტროენერგეტიკული სისტემისთვის ყოველსაბორივად რეაქტიული სიმძლავრის სიჭარეებს ან დეფიციტს აბალანსებს ექსპორტ-იმპორტის მაბალანსებელი სალტე.



ნახ. №22 ელექტროენერგეტიკული სისტემის ცალხაზოვანი სქემა

ცხრილი №31 ელექტროენერგეტიკული სისტემის
ელექტროგადაცემის ხაზების ტექნიკური პარამეტრები

ცვლილების ნომერი	საფრთხოების სახი	სიგრძე, მ	სადენი – AC-240/32				დასაშვები დენი	
			გრძივი პარამეტრები	განივი პარამეტრები	გამტარობა $Bx10^{-6}$ ომი/კმ	გამტარობა $Gx10^{-6}$ ომი/კმ		
1	1	2	20	0,121	0,435	2,60	0	610
2	1	2	20	0,121	0,435	2,60	0	610
3	1	2	20	0,121	0,435	2,60	0	610
4	1	3	30	0,121	0,435	2,60	0	610
5	1	3	30	0,121	0,435	2,60	0	610
6	2	3	40	0,121	0,435	2,60	0	610
7	2	4	80	0,121	0,435	2,60	0	610
8	2	5	60	0,121	0,435	2,60	0	610
9	2	6	50	0,121	0,435	2,60	0	610
10	3	4	40	0,121	0,435	2,60	0	610
11	4	5	30	0,121	0,435	2,60	0	610
12	5	7	40	0,121	0,435	2,60	0	610
13	6	7	60	0,121	0,435	2,60	0	610
14	6	7	60	0,121	0,435	2,60	0	610

ცხრილი №32. მარეგულირებელი ჰიდროელექტროსადგურის
ტექნიკური მონაცემები:

წყალსაცავი (რეზერვუარი)		
მაქსიმალური მოცულობა, მ³		100000
მინიმალური მოცულობა, მ³		80000
იძულებით წყალგაშვების მაქსიმალური მოცულობა, მ³		100000
ელექტრული პარამეტრები		
გენერატორი №1	სრული სიმძლავრე, მვა	588
	სიმძლავრის კოეფიციენტი	$\cos\varphi = 0,85$
	მაქსიმალური წარმოება, მგვტ	500
	მინიმალური წარმოება, მგვტ	0
გენერატორი №2	სრული სიმძლავრე, მვა	588
	სიმძლავრის კოეფიციენტი	$\cos\varphi = 0,85$
	მაქსიმალური წარმოება, მგვტ	500
	მინიმალური წარმოება, მგვტ	0
ტარიფი, ლარი/კვტ.სთ		0,03
რისკის დონე	გ-1	0,03
	გ-2	0,01

ცხრილი №33. სეზონური პიდროველექტროსადგური №1-ის
ტექნიკური მონაცემები:

გენერატორი №1	სრული სიმძლავრე, მვა	58,8
	სიმძლავრის კოეფიციენტი	$\cos\varphi = 0,85$
	მაქსიმალური წარმოება, მგვტ	50
	მინიმალური წარმოება, მგვტ	0
	ტარიფი, ლარი/კვტ.სთ	0,04
	რისკის დონე	0,01

ცხრილი №34. სეზონური პიდროველექტროსადგური №2-ის
ტექნიკური მონაცემები:

გენერატორი №1	სრული სიმძლავრე, მვა	47
	სიმძლავრის კოეფიციენტი	$\cos\varphi = 0,85$
	მაქსიმალური წარმოება, მგვტ	40
	მინიმალური წარმოება, მგვტ	0
	ტარიფი, ლარი/კვტ.სთ	0,03
	რისკის დონე	0,02

ცხრილი №35. თბოელექტროსადგური №1-ის ტექნიკური მონაცემები:

გენერატორი №1	სრული სიმძლავრე, მვა	588
	სიმძლავრის კოეფიციენტი	$\cos\varphi = 0,85$
	მაქსიმალური წარმოება, მგვტ	500
	მინიმალური წარმოება, მგვტ	0
	ტარიფი, ლარი/კვტ.სთ	0,1
	რისკის დონე	0,03

ცხრილი №36. თბოელექტროსადგური №2-ის ტექნიკური მონაცემები:

გენერატორი №1	სრული სიმძლავრე, მვა	588
	სიმძლავრის კოეფიციენტი	$\cos\varphi = 0,85$
	მაქსიმალური წარმოება, მგვტ	500
	მინიმალური წარმოება, მგვტ	0
	ტარიფი, ლარი/კვტ.სთ	0,098
	რისკის დონე	0,01

პიდროველექტროსადგურებზე წყლის ბუნებრივი ჩამონადენის
დღე-დამური (საათობრივი) პროგნოზი მოცემულია ცხრილ №37-ში.

ცხრილი №37. ელექტროენერგეტიკული სისტემის
პიდროველექტროსადგურებზე წყლის ჩამონადენის დღე-დამური პროგნოზი

სთ	1	2	3	4	5	6	7	8
მარეგულირებელი ჰესი	120	207	132	120	110	110	105	115
სეზონური ჰესი №1	43	75	48	45	42	43	42	45
სეზონური ჰესი №2	20	34	21	19	18	18	17	18
სთ	9	10	11	12	13	14	15	16
მარეგულირებელი ჰესი	120	115	110	120	120	100	130	110
სეზონური ჰესი №1	48	47	46	50	51	44	57	49
სეზონური ჰესი №2	18	17	17	17	17	15	17	16
სთ	17	18	19	20	21	22	23	24
მარეგულირებელი ჰესი	134	110	150	160	120	160	130	100
სეზონური ჰესი №1	60	50	70	77	57	80	64	49
სეზონური ჰესი №2	17	15	17	17	15	17	15	14

ცხრილ №29-ში მოყვანილი აღგორითმის და (29)-ე
ოპტიმიზაციის ფუნქციის შესაბამისად ელექტროენერგეტიკულ
სისტემაში არსებული გენერატორების საექსპლუატაციო
მდგომარეობებს ექნებათ ცხრილ №38-ში მოცემული სახე:

ცხრილი №38. ელექტროენერგეტიკულ სისტემაში არსებული
გენერატორების საექსპლუატაციო მდგომარეობები

სთ	1	2	3	4	5	6	7	8
გენერატორი №1 (მარეგ. ჰესი)	1	1	1	1	1	1	1	1
გენერატორი №2 (მარეგ. ჰესი)	1	1	1	1	1	1	1	1
გენერატორი №5 (თესი)	1	1	1	1	1	1	1	1
გენერატორი №6 (თესი)	1	1	1	1	1	1	1	1
გენერატორი №3 (სეზონური ჰესი)	1	1	1	1	1	1	1	1
გენერატორი №4 (სეზონური ჰესი)	1	1	1	1	1	1	1	1
სთ	9	10	11	12	13	14	15	16
გენერატორი №1 (მარეგ. ჰესი)	1	1	1	1	1	1	1	1
გენერატორი №2 (მარეგ. ჰესი)	1	1	1	1	1	1	1	1
გენერატორი №5 (თესი)	1	1	1	1	1	1	1	1
გენერატორი №6 (თესი)	1	1	1	1	1	1	1	1

გენერატორი №3 (სეზონური ჰესი)	1	1	1	1	1	1	1	1
გენერატორი №4 (სეზონური ჰესი)	1	1	1	1	1	1	1	1
სთ	17	18	19	20	21	22	23	24
გენერატორი №1 (მარეგ. ჰესი)	1	1	1	1	1	1	1	1
გენერატორი №2 (მარეგ. ჰესი)	1	1	1	1	1	1	1	1
გენერატორი №5 (თესი)	1	1	1	1	1	1	1	1
გენერატორი №6 (თესი)	1	1	1	1	1	1	1	1
გენერატორი №3 (სეზონური ჰესი)	1	1	1	1	1	1	1	1
გენერატორი №4 (სეზონური ჰესი)	1	1	1	1	1	1	1	1

ალგორითმის, ოპტიმიზაციის ფუნქციის და ცხრილ №37-ში
მოცემული გენერატორების საექსპლუატაციო მდგომარეობების
საფუძველზე ელექტროსადგურებს შორის აქტიური სიმძლავრის საწყის
ოპტიმალურ განაწილებას ექნება ცხრილ №39-ში მოცემული სახე:

ცხრილი №39. ელექტროსადგურებს შორის აქტიური
სიმძლავრის საწყისი ოპტიმალური განაწილება

სთ	1	2	3	4	5	6	7	8
გენერატორი №1 (მარეგ. ჰესი)	223	358	235	212	204	182	194	199
გენერატორი №2 (მარეგ. ჰესი)	223	358	235	212	204	182	194	184
გენერატორი №5 (თესი)	104	62	230	299	355	329	412	486
გენერატორი №6 (თესი)	119	71	265	345	408	378	472	500
გენერატორი №3 (სეზონური ჰესი)	20	32	22	21	20	20	20	21
გენერატორი №4 (სეზონური ჰესი)	11	20	12	11	10	9	9	9
წარმოების ჯამი	700	900	1000	1100	1200	1100	1300	1400
იმპორტი	0	0	0	0	0	0	0	0
ექსპორტი	0	0	0	0	0	0	0	0
დატვირთვა	700	900	1000	1100	1200	1100	1300	1400
სთ	9	10	11	12	13	14	15	16
გენერატორი №1 (მარეგ. ჰესი)	223	203	193	212	212	173	231	193

გენერატორი №2 (მარეგ. ჰესი)	223	203	193	212	212	173	231	193
გენერატორი №5 (თესი)	500	402	365	299	253	198	187	179
გენერატორი №6 (თესი)	500	462	420	344	291	228	216	206
გენერატორი №3 (სეზონური ჰესი)	22	22	21	23	23	21	25	23
გენერატორი №4 (სეზონური ჰესი)	9	9	8	9	9	7	9	7
წარმოების ჯამი	1478	1300	1200	1100	1000	800	900	800
იმპორტი	22,5	0	0	0	0	0	0	0
ექსპორტი	0	0	0	0	0	0	0	0
დატვირთვა	1500	1300	1200	1100	1000	800	900	800
სთ	17	18	19	20	21	22	23	24
გენერატორი №1 (მარეგ. ჰესი)	239	193	268	284	223	276	231	173
გენერატორი №2 (მარეგ. ჰესი)	239	193	254	284	223	276	231	173
გენერატორი №5 (თესი)	87	86	40	41	150	142	234	337
გენერატორი №6 (თესი)	100	99	49	50	172	164	269	388
გენერატორი №3 (სეზონური ჰესი)	27	23	30	32	26	33	28	23
გენერატორი №4 (სეზონური ჰესი)	8	7	9	9	7	8	7	6
წარმოების ჯამი	700	600	650	700	800	900	1000	1100
იმპორტი	0	0	0	0	0	0	0	0
ექსპორტი	0	0	0	0	0	0	0	0
დატვირთვა	700	600	650	700	800	900	1000	1100

ალგორითმის შესაბამისად დავუშვათ ელექტროენერგეტიკულ სისტემას j საათს ესაჭიროება ცხრილ №40-ში მოცემული ოპერატიული რეზერვის შემდეგი რაოდენობები:

ცხრილი №40. ელექტროენერგეტიკული სისტემისთვის ყოველსაათობრივად საჭირო ოპერატიული რეზერვის სიდიდე

სთ	1	2	3	4	5	6	7	8
გენერატორი №1 (მარეგ. ჰესი)	22	36	25	21	19	19	18	19
გენერატორი №2 (მარეგ. ჰესი)	22	36	25	21	19	19	18	19
გენერატორი №5 (თესი)	13	9	25	34	41	36	47	51
გენერატორი №6 (თესი)	13	9	25	34	41	36	47	51

ჯამი	70	90	100	110	120	110	130	140
სთ	9	10	11	12	13	14	15	16
გენერატორი №1 (მარეგ. ჰესი)	22	20	19	21	21	17	22	20
გენერატორი №2 (მარეგ. ჰესი)	22	20	19	21	21	17	22	20
გენერატორი №5 (თესი)	52	45	41	34	29	23	23	20
გენერატორი №6 (თესი)	52	45	41	34	29	23	23	20
ჯამი	148	130	120	110	100	80	90	80
სთ	17	18	19	20	21	22	23	24
გენერატორი №1 (მარეგ. ჰესი)	23	20	27	28	22	29	23	16
გენერატორი №2 (მარეგ. ჰესი)	23	20	27	28	22	29	23	16
გენერატორი №5 (თესი)	12	10	6	7	18	16	27	39
გენერატორი №6 (თესი)	12	10	6	7	18	16	27	39
ჯამი	70	60	65	70	80	90	100	110

ცხრილ №40-ში მოცემული ოპერატიული რეზერვის გათვალისწინებით ელექტროსადგურებს შორის აქტიური სიმძლავრის ოპტიმალურ განაწილებას (29)-ე თარიღიზაციის ფუნქციაში (95), (96), (97), (98) შეზღუდვების შეტანით ექნება ცხრილ №41-ში მოცემული სახე:

ცხრილი №41. ელექტროსადგურებს შორის აქტიური სიმძლავრის ოპტიმალური განაწილება ოპერატიული რეზერვის გათვალისწინებით

სთ	1	2	3	4	5	6	7	8
გენერატორი №1 (მარეგ. ჰესი)	201	322	221	191	173	173	165	173
გენერატორი №2 (მარეგ. ჰესი)	201	322	221	191	174	174	165	173
გენერატორი №5 (თესი)	124,23	94,84	243,57	319,06	382,81	336,31	453,04	449,17
გენერატორი №6 (თესი)	143,08	109,25	280,46	367,35	440,74	387,21	453,29	449,17
გენერატორი №3 (სეზონური ჰესი)	20	32	22	21	20	20	20	21
გენერატორი №4 (სეზონური ჰესი)	11	20	12	11	10	9	9	9
წარმოების ჯამი	700	900	1000	1100	1200	1100	1264	1274
იმპორტი	0	0	0	0	0	0	35,8	126
ექსპორტი	0	0	0	0	0	0	0	0
დატვირთვა	700	900	1000	1100	1200	1100	1300	1400
სთ	9	10	11	12	13	14	15	16

გენერატორი №1 (მარეგ. ჰესი)	201	182	173	191	191	156	199	183
გენერატორი №2 (მარეგ. ჰესი)	201	182	174	191	191	156	199	183
გენერატორი №5 (თესი)	448,42	449,43	382,70	318,92	272,40	214,28	217,74	187,51
გენერატორი №6 (თესი)	448,42	455,26	440,60	367,19	313,64	246,74	250,72	215,93
გენერატორი №3 (სეზონური ჰესი)	22	22	21	23	23	21	25	23
გენერატორი №4 (სეზონური ჰესი)	9	9	8	9	9	7	9	7
წარმოების ჯამი	1330	1300	1200	1100	1000	800	900	800
იმპორტი	170,3	0	0	0	0	0	0	0
ექსპორტი	0	0	0	0	0	0	0	0
დატვირთვა	1500	1300	1200	1100	1000	800	900	800
სთ	17	18	19	20	21	22	23	24
გენერატორი №1 (მარეგ. ჰესი)	206	183	242	249	201	258	208	145
გენერატორი №2 (მარეგ. ჰესი)	206	183	241	249	201	258	208	146
გენერატორი №5 (თესი)	117,94	94,48	59,55	74,99	170,26	159,54	255,11	362,84
გენერატორი №6 (თესი)	135,84	108,83	68,62	86,40	196,07	183,72	293,74	417,74
გენერატორი №3 (სეზონური ჰესი)	27	23	30	32	26	33	28	23
გენერატორი №4 (სეზონური ჰესი)	8	7	9	9	7	8	7	6
წარმოების ჯამი	700	600	650	700	800	900	1000	1100
იმპორტი	0	0	0	0	0	0	0	0
ექსპორტი	0	0	0	0	0	0	0	0
დატვირთვა	700	600	650	700	800	900	1000	1100

ელექტროენერგეტიკული სისტემის დღე-დამური მუშაობის რეჟიმის ანგარიშისათვის გამოყენებულია ნიუტონ-რაფსონის მეთოდი [83,84]. რეჟიმების მოდელირება გაკეთდა პროგრამა PowerWorld-ის დახმარებით [74].

საწყის ეტაპზე (99) და (100) გამოსახულებების საფუძველზე დადგინდა პარარელულად მომუშავე თითოეული გენერატორის რეაქტორული სიმძლავრის წარმოებისა და მოხმარების ოპტიმალური ზღვრები, რომელთაც აქვთ ცხრილ №42-ში მოცემული სახე:

ცხრილი №42. პარალელურად მომუშავე გენერატორის
რეაქტიული სიმძლავრის წარმოების ზედა და ქვედ ზღვრები

სთ	1	2	3	4	5	6	7	8
გენერატორი №1 (მარეგ. ჰესი)	125	200	137	118	107	107	102	107
გენერატორი №2 (მარეგ. ჰესი)	125	200	137	118	107	107	102	107
გენერატორი №5 (თესი)	77	59	151	198	237	208	281	278
გენერატორი №6 (თესი)	89	68	174	228	273	240	281	278
გენერატორი №3 (სეზონური ჰესი)	12	20	14	13	12	12	12	13
გენერატორი №4 (სეზონური ჰესი)	7	12	7	7	6	6	6	6
სთ	9	10	11	12	13	14	15	16
გენერატორი №1 (მარეგ. ჰესი)	125	113	107	118	118	97	123	113
გენერატორი №2 (მარეგ. ჰესი)	125	113	107	118	118	97	123	113
გენერატორი №5 (თესი)	278	279	237	198	169	133	135	116
გენერატორი №6 (თესი)	278	282	273	228	194	153	155	134
გენერატორი №3 (სეზონური ჰესი)	14	14	13	14	14	13	15	14
გენერატორი №4 (სეზონური ჰესი)	6	6	5	6	6	4	6	4
სთ	17	18	19	20	21	22	23	24
გენერატორი №1 (მარეგ. ჰესი)	128	113	150	154	125	160	129	90
გენერატორი №2 (მარეგ. ჰესი)	128	113	150	154	125	160	129	90
გენერატორი №5 (თესი)	73	59	37	46	106	99	158	225
გენერატორი №6 (თესი)	84	67	43	54	122	114	182	259
გენერატორი №3 (სეზონური ჰესი)	17	14	19	20	16	20	17	14
გენერატორი №4 (სეზონური ჰესი)	5	4	6	6	4	5	4	4

პროგრამა Powerworld-ის გამოყენებით j საათისთვის
მოდელირებულ იქნა ელექტროენერგეტიკული სისტემის მუშაობის
ოპტიმალური რეჟიმები. აქტიური სიმძლავრის დანაკარგების ნაზრდის

მეთოდის [1] გამოყენებით თითოეული გენერატორის
 გაანგარიშებულ იქნა დანაკარგების ფარდობითი ნაზრდის
 მნიშვნელობები მაბალანსებელი კვანძის მიმართ, რომელთა
 მნიშვნელობებსაც აქვთ ცხრილ №43-ში მოცემული სახე:

ცხრილი №43. პარალელურად მომუშავე გენერატორების აქტიური სიმძლავრის
 ფარდობითი დანაკარგების ნაზრდი მაბალანსებელი კვანძის მიმართ

სო	1	2	3	4	5	6	7	8
გენერატორი №1 (მარეგ. ჰესი)	0,0112	0,0259	0,0142	0,0121	0,0103	0,0109	0,0099	0,0034
გენერატორი №2 (მარეგ. ჰესი)	0,0112	0,0259	0,0142	0,0121	0,0103	0,0109	0,0099	0,0034
გენერატორი №5 (თესი)	0,0054	0,0144	0,0087	0,0084	0,008	0,0081	0,0074	0,0021
გენერატორი №6 (თესი)	-0,0194	-0,014	-0,0236	-0,0265	-0,0302	-0,0262	-0,0326	-0,0413
გენერატორი №3 (სეზონური ჰესი)	-0,0166	-0,0136	-0,0205	-0,0233	-0,0262	-0,0233	-0,0276	-0,035
გენერატორი №4 (სეზონური ჰესი)	-0,0003	-0,0038	0,0003	0,0014	0,0026	0,0019	0,0026	0,0035
დანაკარგი	7,358	11,954	11,504	12,523	14,632	13,333	15,3	16,72
სო	9	10	11	12	13	14	15	16
გენერატორი №1 (მარეგ. ჰესი)	0,004	0,0139	0,0112	0,0159	0,0134	0,0063	0,0099	0,0067
გენერატორი №2 (მარეგ. ჰესი)	0,004	0,0139	0,0112	0,0159	0,0134	0,0063	0,0099	0,0067
გენერატორი №5 (თესი)	0,0016	0,0117	0,009	0,0117	0,009	0,0034	0,0057	0,0033
გენერატორი №6 (თესი)	-0,0442	-0,0291	-0,0294	-0,0234	-0,0236	-0,0247	-0,0231	-0,0165
გენერატორი №3 (სეზონური ჰესი)	-0,0377	-0,0249	-0,0258	-0,022	-0,0213	-0,0208	-0,017	-0,0171
გენერატორი №4 (სეზონური ჰესი)	0,0033	0,0022	0,0029	0,0006	0,0003	0,0019	0,0012	0,0013
დანაკარგი	18,24	18,214	16,66	13,428	11,314	8,14	9,138	8,02
სო	17	18	19	20	21	22	23	24
გენერატორი №1 (მარეგ. ჰესი)	0,012	0,0093	0,0165	0,0178	0,0112	0,0163	0,0153	0,0133
გენერატორი №2 (მარეგ. ჰესი)	0,012	0,0093	0,0165	0,0178	0,0112	0,0163	0,0153	0,0133
გენერატორი №5 (თესი)	0,0055	0,0035	0,0078	0,0088	0,0057	0,009	0,0104	0,0101
გენერატორი №6 (თესი)	-0,0136	-0,0132	-0,0088	-0,0106	-0,0211	-0,0185	-0,021	-0,0213
გენერატორი №3	-0,0142	-0,0134	-0,0111	-0,013	-0,018	-0,0149	-0,0192	-0,0223

(სეზონური პერიოდი)								
გენერატორი №4 (სეზონური პერიოდი)	-0,0007	-0,0005	-0,0024	-0,0023	0,0003	-0,0012	-0,0001	0,0018
დანაკარგი	5,65	5,96	6,16	6,98	7,45	9,44	11,54	12,13

აქტიური სიმძლავრის დანაკარგების გადანაწილება გათვალისწინებულია აქტიური სიმძლავრის დანაკარგების ფარდობითი ნაზრდის მინიმუმის პრინციპით მარეგულირებელი პიდროელექტროსადგურების ან თბოელექტროსადგურების გენერატორებზე გამომუშავების ზედა ზღვრის (ოპერატორული რეზერვის ჩათვლით) დაცვით. გადანაწილებულ დანაკარგებს აქვთ ცხრილ №44-ში მოცემული სახე:

ცხრილი №44. ელექტროენერგეტიკულ სისტემაში გადანაწილებული აქტიური სიმძლავრის დანაკარგების მნიშვნელობები

სთ	1	2	3	4	5	6	7	8	
გენერატორი №6 (თესი)	150,53	121,34	292,19	380,19	455,79	400,88	იმპორტი	იმპორტი	
სთ	9	10	11	12	13	14	15	16	
გენერატორი №1 (მარეგ. პერიოდი)			იმპორტი (13) 5-ე გენერატორი - 455	6-ე გენერატორი - 455; 5-ე გენერატორი - 385,5	380,97	325,18	255,014	260,05	224,1
სთ	17	18	19	20	21	22	23	24	
გენერატორი №1 (მარეგ. პერიოდი)	141,55	114,84	74,87	93,45	203,65	193,34	305,52	430,23	

გენერატორების აქტიური სიმძლავრის წარმოება ოპერატორული რეზერვის და დანაკარგების გათვალისწინებით მიიღებს ცხრილ №45-ში მოცემულ სახეს:

**ცხრილი №45. ელექტროსადგურებს შორის აქტიური სიმძლავრის
ოპტიმალური განაწილება აქტიური სიმძლავრის ოპერატიული
რეზერვის და დანაკარგების გათვალისწინებით**

სთ	1	2	3	4	5	6	7	8
გენერატორი №1 (მარეგ. ჰესი)	201	322	221	191	173	173	165	173
გენერატორი №2 (მარეგ. ჰესი)	201	322	221	191	174	174	165	173
გენერატორი №5 (თესი)	124,23	94,84	243,57	319,06	382,81	336,31	453,04	449,17
გენერატორი №6 (თესი)	150,52	121,34	292,18	380,18	455,79	400,88	453,29	449,17
გენერატორი №3 (სეზონური ჰესი)	20	32	22	21	20	20	20	21
გენერატორი №4 (სეზონური ჰესი)	11	20	12	11	10	9	9	9
წარმოების ჯამი	700	900	1000	1100	1200	1100	1264	1274
იმპორტი	0	0	0	0	0	0	51,08	142,7
ექსპორტი	0	0	0	0	0	0	0	0
დატვირთვა	700	900	1000	1100	1200	1100	1300	1400
აქტიური სიმძლავრის დანაკარგი	7,75	12,18	11,75	13,24	15,6	13,19	16,41	17,06
სთ	9	10	11	12	13	14	15	16
გენერატორი №1 (მარეგ. ჰესი)	201	182	173	191	191	156	199	183
გენერატორი №2 (მარეგ. ჰესი)	201	182	174	191	191	156	199	183
გენერატორი №5 (თესი)	448,42	455	385,46	318,92	272,40	214,28	217,74	187,51
გენერატორი №6 (თესი)	448,42	455,26	455	380,97	325,17	255,01	260,04	224,09
გენერატორი №3 (სეზონური ჰესი)	22	22	21	23	23	21	25	23
გენერატორი №4 (სეზონური ჰესი)	9	9	8	9	9	7	9	7
წარმოების ჯამი	1330	1300	1200	1100	1000	800	900	800
იმპორტი	188,5	12,77	0	0	0	0	0	0
ექსპორტი	0	0	0	0	0	0	0	0
დატვირთვა	1500	1300	1200	1100	1000	800	900	800
აქტიური სიმძლავრის დანაკარგი	18,38	18,03	16,46	13,89	11,57	9,29	9,78	7,6
სთ	17	18	19	20	21	22	23	24
გენერატორი №1 (მარეგ. ჰესი)	206	183	242	249	201	258	208	145
გენერატორი №2	206	183	241	249	201	258	208	146

(მარეგ. ჰესი)								
გენერატორი №5 (თესი)	117,94	94,48	59,55	74,99	170,26	159,54	255,11	362,84
გენერატორი №6 (თესი)	141,54	114,84	74,87	93,45	203,64	193,33	305,52	430,22
გენერატორი №3 (სეზონური ჰესი)	27	23	30	32	26	33	28	23
გენერატორი №4 (სეზონური ჰესი)	8	7	9	9	7	8	7	6
წარმოების ჯამი	700	600	650	700	800	900	1000	1100
იმპორტი	0	0	0	0	0	0	0	0
ექსპორტი	0	0	0	0	0	0	0	0
დატვირთვა	700	600	650	700	800	900	1000	1100
აქტიური სიმძლავრის დანაკარგი	6,48	5,32	6,42	7,44	8,9	9,87	11,63	13,06

შემოთავაზებული მეთოდიკის საფუძველზე ელექტრო-ენერგეტიკული სისტემის მუშაობის ოპტიმალურ 24 საათიან რეჟიმს აქვს დანართებში №№9,10,11,12,13,14,15,16,17,18,19,20,21,22,23,24,25,26,27,28,29, 30,31,32 მოცემული სახე. ცხრილი №45-ის მონაცემების საფუძველზე აგებული ელექტროენერგეტიკული სისტემის 24 საათიანი რეჟიმის პარამეტრები მოცემულია დანართ №33-ში.

შემოთავაზებული მეთოდიკის უპირატესობის დასაბუთების მიზნით ჩატარებულია შედარებითი ანალიზი სათბობის ხარჯის მინიმუმის კრიტერიუმის მეთოდთან. ანალიზის შედეგები მოცემულია ცხრილ №46-ში.

ცხრილი №46. შედარებითი ანალიზის შედეგები

მაჩვენებელი	კრიტერიუმი		% პროცენტული სხვაობა
	სათბობის ხარჯის მინიმუმი	შემოთავაზებული მეთოდიკა	
საშუალო შეწონილი ტარიფი	6,24	6,2	-0,65 %
სათბობის ხარჯი	4154	4351	4,74 %
წყლის ხარჯი	4711	4711	0
ჰესების გამომუშავება	11429	11429	0
თესების	12300	12300	0

გამომუშავება			
შემოსავალი	154218	153612	-0,39 %
რისკის დონე	532	472	-12,7 %
CO ₂ ემისია	30576436	24785015	- 23,36 %
იმპორტი	22,5	22,5	0
ექსპორტი	0	0	0

როგორც შედარებითი ანალიზიდან ჩანს ისეთი მაჩვენებლები როგორებიცაა: წყლის ხარჯი, ჰესების გამომუშავება, თესების გამომუშავება, იმპორტი და ექსპორტი დარჩა უცვლელი, ხოლო საშუალო შეწონილი ტარიფი შემცრიდა 0,65 %-ით, შემოსავალი შემცირდა 0,39 %-ით, ელექტროსადგურების გამომუშავების რისკის დონე შემცირდა 12,7 %-ით, თბოელექტროსადგურებზე CO₂ ემისია შემცირდა 23,36 %-ით, სათბობის ხარჯი გაიზარდა 4,74 %-ით.

შედარებითი ანალიზი ცხადყოფს შემოთავაზებული მეთოდიკის უპირატესობას ტრადიციულ სათბობის ხარჯის მინიმუმის კრიტერიუმის მეთოდთან შედარებით.

IV თავის დასკვნა

ჩატარებული კვლევის შედეგიდ:

1. ელექტროენერგეტიკულ სისტემაში სხვადასხვა ტექნიკურ-განომიკური კრიტერიუმების საფუძველზე შემუშავებულია აქტიური სიმძლავრის ოპტიმალური განაწილების ოპტიმიზაციის ფუნქცია;
2. დადგენილია პარალელურად მომუშავე გენერატორებს შორის რეაქტორული სიმძლავრის წარმოების ოპტიმალური ზღვრები;
3. დანაკარგების ფარდობითი ნაზრდის პრინციპის საფუძველზე პარალელურად მომუშავე გენერატორებზე განხორციელებულია აქტიური სიმძლავრის დანაკარგების ოპტიმალური განაწილება;
4. ჩამოყალიბებულია ელექტროენერგეტიკული სისტემის მუშაობის რეჟიმების ოპტიმალური დაგეგმვის მეთოდოლოგია, შემუშავებულია შესაბამისი მეთოდიკა და ალგორითმი;

5. ელექტროენერგეტიკული სისტემის მუშაობის რეჟიმების სიმულაცია განხორციელებულია ნიუტონ-რაფსონის მეთოდის გამოყენებით;
6. შემუშავებული მეთოდიკა აპრობირებულ იქნა ელექტროენერგეტიკული სისტემის მაგალითზე და ჩატარებულია შედარებითი ანალიზი სათბობის ხარჯის მინიმუმის მეთოდთან.

3. დასკვნები

ჩატარებული პერიოდის შედეგების შედეგებიდან გამომდინარე გაპეტებულია შემდეგი დასკვნები:

1. კორელაციური ანალიზის საფუძველზე დადგენილია ელექტროენერგიის მოკლევადიან მოხმარებაზე მოქმედი ფაქტორები;
2. დამუშავებულია ელექტროენერგიის მოხმარების მოკლევადიანი პროგნოზირების მეთოდიკა და შესაბამისი ალგორითმი;
3. შემუშავებული მეთოდიკა აპრობირებულია ქ. თბილისის მაგალითზე. ქ. თბილისის ელექტროენერგიის მოხმარების მოკლევადიანი პროგნოზირებისათვის შერჩეულია სელოვნური ნეირონული ქსელის სტრუქტურა და კონფიგურაცია, აქტივაციის ფუნქცია და ფორმირებულია ელექტროენერგიის მოხმარების პროგნოზირების ოპტიმალური მოდელი. მიღებული შედეგი ცხადყოფს შემუშავებული მეთოდის უპირატესობას სხვა მეთოდებთან შედარებით.
4. აღნიშნული მეთოდიკა და ალგორითმი ატარებს უნივერსალურ ხასიათს. მისი გამოყენებით შესაძლებელია ნებისმიერი ქალაქის, რაიონის და მთელი ქვეყნის ელექტროენერგიის მოხმარების (საათობრივი/დღე-დამური) მოკლევადიანი პროგნოზის მაღალი სიზუსტით შესრულება. პროგნოზირების მიღებული მოდელი და ალგორითმი საშუალებას იძლევა განხორციელდეს ელექტროენერგეტიკული სისტემის ოპტიმალური ოპერატორული მართვა, მოკლევადიან პერიოდში მუშაობის სრულყოფილი დაგეგმვა, რეჟიმების სათანადო სიზუსტით გაანგარიშება, ელექტროსადგურებსა და ელექტრულ ქსელებს შორის დატვირთვების ოპტიმალური განაწილება, ელექტროენერგიის მოთხოვნის დაკვეთილ სიდიდიდან მინიმალური გადახრის უზრუნველყოფა.
5. ჩამოყალიბებულია ელექტროენერგეტიკული სისტემის სხვადასხვა მაგენერირებელი წყაროების ავარიული სცენარების ფორმირების ალგორითმი;

6. შემუშავებულია ელექტროენერგეტიკული სისტემის და მისი დატვირთვის კვანძების საიმედოობის დონის შეფასების ორდონიანი არამკაფიო ლოგიკის მათემატიკური მოდელი;

7. პროპორციის მეთოდის გამოყენებით აქტიური სიმძლავრის ოპერატიული რეზერვის ოპტიმალური სიდიდეები გადანაწილებულია პარალელურად მომუშავე გენერატორებზე;

8. ელექტროენერგეტიკულ სისტემაში არსებული ელექტროგადაცემის ხაზებში დროის გარკვეულ მონაკვეთში ავარიული რეჟიმის პირობებში გამტარუნარობის არსებობის შემთხვევისთვის შემუშავებულია ოპტიმიზაციის ფუნქცია და შესაბამისი მაკორექტირებელი ალგორითმი, რომელიც ახდენს ოპერატიული რეზერვის და აქტიურ სიმძლავრეთა ისეთ გადანაწილებას სისტემაში, რომ ხორმალური და ავარიული რეჟიმების დროს არსებული გადატვირთული ელექტროგადაცემის ხაზი ან ხაზები განიტვირთება.

9. ჩამოყალიბებულია ელექტროენერგეტიკული სისტემის აქტიური სიმძლავრის ოპერატიული რეზერვის ოპტიმალური დაგეგმვის მეთოდიკა და ალგორითმი;

10. ელექტროენერგეტიკულ სისტემაში პარალელურად მომუშავე ჰიდროელექტროსადგურებსა და დატვირთვის კვანძების დატვირთვების განუსაზღვრელობების საფუძველზე ფორმირებულია ელექტროენერგეტიკული სისტემისთვის ყოველსაათობრივად საჭირო აქტიური სიმძლავრის ოპერატიული რეზერვის მინიმალური ოპტიმალური სიდიდის განმსაზღვრელი მეთოდიკა და შესაბამისი ალგორითმი;

11. 9-ე და 10-ე პუნქტებში ჩამოყალიბებული მეთოდიკა ატარებს უნივერსალურ ხასიათს. ის ელექტროენერგეტიკულ სისტემას საშუალებას აძლევს მაგენენირებელი მოწყობილობების პარამეტრების, დატვირთვის კვანძების საიმედოობის მახასიათებლების, ელექტროგადაცემის ხაზების გამტარუნარიანობის და ელექტროენერგიაზე ყოველსაათობრივი მოთხოვნის პარამეტრების შესაბამისად ოპტიმალურად დაგეგმოს ოპერატიული რეზერვის ყოველსაათობრივი სიდიდე.

12. ელექტროენერგეტიკულ სისტემაში შემავალ ენერგობიუქტებზე არსებული მოწყობილობა-დანადგარების ტექნიკურ-ეკონომიკური მდგრმარეობის კომპლექსური შეფასების შერჩეული მატემატიკური მოდელის საფუძველზე ჩამოყალიბებულია ამ პრობლემის გადაწყვეტის მეთოდოლოგია და შესაბამისი ალგორითმი.

13. პრევენციული რემონტებისთვის გამოყოფილი შეზღუდული ბიუჯეტის პირობებში რემონტი გასაყვანი ელექტოდანადგარების ოპტიმალურობის უზრუნველსაყოფად მიღებულია ოპტიმიზაციის ფუნქცია და შესაბამისი ალგორითმი.

14. დადგენილია ელექტროენერგეტიკული სისტემის მაგენენირებელი წყაროების პრევენციული რემონტების წლიური (კვირეების მიხედვით) გრაფიკის ოპტიმალური დაგეგმვის ოპტიმიზაციის ფუნქცია და შესაბამისი ალგორითმი.

15. ელექტროენერგეტიკულ სისტემაში პრევენციული რემონტების ჩამოყალიბებული მეთოდოლოგია ატარებს უნივერსალურ ხასიათს, მისი გამოყენება შესაძლებელია ნებისმიერი ენერგოკომპანიისთვის. აღნიშნული მეთოდიკის პრაქტიკაში დანერგვა მნიშვნელოვანწილად განაპირობებს ელექტროსისტემის საიმედო ფუნქციონირებას, მომხარებელთა ელექტროენერგიით უწყვეტ ელექტრომომარაგებას და გააუმჯობესებს ორგანიზაციის ეკონომიკურ მაჩვენებლებს.

16. ელექტროენერგეტიკულ სისტემაში სხვადასხვა ტექნიკურ-ეკონომიკური კრიტერიუმების საფუძველზე შერჩეულია აქტიური სიმძლავრის ოპტიმალური განაწილების ოპტიმიზაციის ფუნქცია;

17. დადგენილია პარალელურად მომუშავე გენერატორებს შორის რეაქტიული სიმძლავრის წარმოების და მოთხოვნის ოპტიმალური ზღვრები;

18. დანაკარგების ფარდობითი ნაზრდის პრინციპის საფუძველზე პარალელურად მომუშავე გენერატორებზე განხორციელებულია აქტიური სიმძლავრის დანაკარგების ოპტიმალური განაწილება;

19. ჩამოყალიბებულია ელექტროენერგეტიკული სისტემის მუშაობის რეჟიმების ოპტიმალური დაგეგმვის მეთოდიკა და შესაბამისი ალგორითმი;

20. ნიუტონ-რაფსონის მეთოდის გამოყენებით განხორციელებულია ელექტროენერგეტიკული სისტემის მუშაობის რეჟიმების სიმულაცია;

21. არაწრფივი პროგრამირების მეთოდით წინა ეტაპებზე დამუშავებული ელექტროენერგიის მოხმარების მოკლევადიანი საპროგნოზო პარამეტრების, ოპერატორის რეზერვის ოპტიმალური საგეგმო მაჩვენებლების, პრევენციული რემონტების გრაფიკის მონაცემების, სასადგურე და სისტემაში არსეული სხვა შეზღუდვების გათვალისწინებით შემუშავებულია ელექტროენერგეტიკული სისტემის მუშაობის რეჟიმების ოპტიმიზაციის მრავალფაქტორიანი მათემატიკური მოდელი და მისი შესაბამისი ალგორითმი.

წარმოდგენილი მეთოდოლოგია ატარებს უნივერსალურ ხასიათს. მისი გამოყენებით შესაძლებელია ნებისმიერი სიდიდის და კონფიგურაციის ელექტროენერგეტიკულ სისტემის ფუნქციონირების ოპტიმალური რეჟიმების დაგეგმვა. მეთოდოლოგია აპრობირებულ იქნა ელექტროენერგეტიკული სისტემის მაგალითზე. სათბობის ხარჯის მინიმუმის მეთოდთან შედარებითმა ანალიზმა ცხადყო შემუშავებული მეთოდიკის უპირატესობა.

გამოყენებული ლიტერატურა

1. მახარაძე გ. “ენერგოსისტემების რეჟიმების მართვა და ოპტიმიზაცია”. გამომცემლობა „ტექნიკური უნივერსიტეტი”, 2005 წ.
2. Веников В.А. и др., Оптимизация режимов электростанций и энергосистем. Учебник для вузов - М. Энергоиздат, 1981 г.
3. Веников В.А., Электрические расчеты програмирование и оптимизация режимов. Издательство „Высшая школа” 1973 г.
4. Горшtein B. M., Методи оптимизации режимов энергосистем. Москва Энергоиздат, 1981 г.
5. ჯიქია თ. “ჰიდროსადგურთა კასკადის მუშაობის გრძელვადიანი რეჟიმების ოპტიმიზაცია”. სადოქტორო დისერტაცია. ტექნიკური უნივერსიტეტი. 2011 წელი.
6. Abu-Mouti F.S. “Optimal economic and environmental operation of electric power systems via modern meta-heuristic optimization algorithms”. Phd thesis. Dalhousie University. 2011.
7. J. van den Bosch, "Optimal Dynamic Dispatch Owing to Spinning-Reserve and Power-Rate Limits," *Power Apparatus and Systems, IEEE Transactions on*, vol. PAS-104, no. 12, pp. 3395-3401, 1985.
8. D.W. Ross and Sungkook Kim, "Dynamic Economic Dispatch of Generation," *Power Apparatus and Systems, IEEE Transactions on*, vol. PAS-99, no. 6, pp. 2060-2068, 1980.
9. W.G. Wood, "Spinning Reserve Constrained Static and Dynamic Economic Dispatch," *Power Apparatus and Systems, IEEE Transactions on*, vol. PAS-101, no. 2, pp. 381-388, 1982.
10. F. Li, R. Morgan and D. Williams, "Hybrid Genetic Approaches to Ramping Rate Constrained Dynamic Economic Dispatch," *Electr. Power Syst. Res.*, vol. 43, no. 2, pp. 97-103, 1997.
11. T.E. Bechert and H.G. Kwatny, "On the Optimal Dynamic Dispatch of Real Power," *Power Apparatus and Systems, IEEE Transactions on*, vol. PAS-91, no. 3, pp. 889-898, 1972.
- 12 T.E. Bechert and Nanming Chen, "Area Automatic Generation Control by Multi-Pass Dynamic Programming," *Power Apparatus and Systems, IEEE Transactions on*, vol. 96, no. 5, pp. 1460-1469, 1977.

13. Y.H. Song and I. Yu, "Dynamic Load Dispatch with Voltage Security and Environmental Constraints," *Electr. Power Syst. Res.*, vol. 43, no. 1, pp. 53-60, 1997.
14. W.R. Barcelo and P. Rastgoufard, "Dynamic Economic Dispatch using the Extended Security Constrained Economic Dispatch Algorithm," *Power Systems, IEEE Transactions on*, vol. 12, no. 2, pp. 961-967, 1997.
15. W.R. Barcelo and P. Rastgoufard, "Control Area Performance Improvement by Extended Security Constrained Economic Dispatch," *Power Systems, IEEE Transactions on*, vol. 12, no. 1, pp. 120-128, 1997.
16. R.W. Ferrero and S.M. Shahidehpour, "Dynamic Economic Dispatch in Deregulated Systems," *International Journal of Electrical Power & Energy Systems*, vol. 19, no. 7, pp. 433-439, 1997.
17. K. Chandram, N. Subrahmanyam and M. Sydulu, "Dynamic Economic Dispatch by Equal Embedded Algorithm," *Electrical and Computer Engineering, 2006. ICECE '06. International Conference on*, pp. 21-24, 2006.
18. R.P. Brent, Algorithms for Minimization without Derivatives, N.J.: Prentice-Hall, Englewood Cliffs, 1973.
19. K. Chandram, N. Subrahmanyam and M. Sydulu, "Brent Method for Dynamic Economic Dispatch with Transmission Losses," *Transmission and Distribution Conference and Exposition, 2008. T&D. IEEE/PES*, pp. 1-5, 2008.
20. S. Hemamalini and S.P. Simon, "Dynamic Economic Dispatch using Maclaurin Series Based Lagrangian Method," *Energy Conversion and Management*, vol. 51, no. 11, pp. 2212-2219, 2010.
21. E. Mezura-Montes, Constraint-Handling in Evolutionary Optimization, Heidelberg: Springer Berlin, 2009.
22. W. Ongsakul and J. Tippayachai, "Parallel Micro Genetic Algorithm Based on Merit Order Loading Solutions for Constrained Dynamic Economic Dispatch," *Electr. Power Syst. Res.*, vol. 61, no. 2, pp. 77-88, 2002.
23. Zwe-Lee Gaing, "Constrained Dynamic Economic Dispatch Solution using Particle Swarm Optimization," *Power Engineering Society General Meeting, 2004. IEEE*, pp. 153-158 Vol.1, 2004.
24. M. Basu, "Particle Swarm Optimization Based Goal-Attainment Method for Dynamic Economic Emission Dispatch," *Electric Power Components and Systems*, vol. 34, no. 9, pp. 1015-1025, 2006.
25. V. Chankong and Y. Haimes, Multiobjective Decision Making: Theory and Methodology, New York: North-Holland, 1983.

26. M. Basu, "Dynamic Economic Emission Dispatch using Nondominated Sorting Genetic Algorithm-II," *International Journal of Electrical Power & Energy Systems*, vol. 30, no. 2, pp. 140-149, 2008.
27. Bo Zhao, Chuangxin Guo and Yijia Cao, "Dynamic Economic Dispatch in Electricity Market using Particle Swarm Optimization Algorithm," *Intelligent Control and Automation, 2004. WCICA 2004. Fifth World Congress on*, vol. 6, pp. 5050-5054 Vol.6, 2004.
28. F. Li, R. Morgan and D. Williams, "Towards More Cost Saving Under Stricter Ramping Rate Constraints of Dynamic Economic Dispatch Problems-a Genetic Based Approach," *Genetic Algorithms in Engineering Systems: Innovations and Applications, 1997. GALESIA 97. Second International Conference on* (Conf. Publ. no. 446), pp. 221-225, 1997.
29. K. Shailti Swamp and A. Natarajan, "Constrained Optimization using Evolutionary Programming for Dynamic Economic Dispatch," *Intelligent Sensing and Information Processing, 2005. Proceedings of 2005 International Conference on*, pp. 314-319, 2005.
30. C.K. Panigrahi, P.K. Chattpadhyay, R.N. Chakrabarti and M. Basu, "Simulated Annealing Technique for Dynamic Economic Dispatch," *Electric Power Components and Systems*, vol. 34, no. 5, pp. 577-587, 2006.
31. G.S.S. Babu, D.B. Das and C. Patvardhan, "Dynamic Economic Dispatch Solution using an Enhanced Real-Quantum Evolutionary Algorithm," *Power System Technology and IEEE Power India Conference, 2008. POWERCON 2008. Joint International Conference on*, pp. 1-6, 2008.
32. S. Pothiya, I. Ngamroo and W. Kongprawechnon, "Application of Multiple Tabu Search Algorithm to Solve Dynamic Economic Dispatch Considering Generator Constraints," *Energy Conversion and Management*, vol. 49, no. 4, pp. 506-516, 2008.
33. Xiuqin Shang, Jiangang Lu and Youxian Sun, "A Preference-Based Non-Dominated Sorting Genetic Algorithm on Dynamic Economic Dispatch," *Intelligent Control and Automation, 2008. WCICA 2008. 7th World Congress on*, pp. 2794-2797, 2008.
34. J.-. Chiou, "A Variable Scaling Hybrid Differential Evolution for Solving Large-Scale Power Dispatch Problems," *Generation, Transmission & Distribution, IET*, vol. 3, no. 2, pp. 154-163, 2009.
35. J.S. Alsumait, M. Qasem, J.K. Sykulski and A.K. Al-Othman, "An Improved Pattern Search Based Algorithm to Solve the Dynamic Economic Dispatch Problem with Valve-Point Effect," *Energy Conversion and Management*, vol. 51, no. 10, pp. 2062-2067, 2010.
36. M. Basu, "Artificial Immune System for Dynamic Economic Dispatch," *International Journal of Electrical Power & Energy Systems*, vol. 33, no. 1, pp. 131-136, 2011.

37. S. Hemamalini and S.P. Simon, "Dynamic Economic Dispatch using Artificial Immune System for Units with Valve-Point Effect," *International Journal of Electrical Power & Energy Systems*, vol. In Press, Corrected Proof, pp. 1-7, 2011.
38. გიორგიშვილი გ. საქართველოს ენერგეტიკული ბალანსის სტრუქტურის საშუალოვანიანი საპროგნოზო პარამეტრების განსაზღვრა". დადოქტორო დისერტაცია. საქართველოს ტექნიკური უნივერსიტეტი. 2011 წ.
39. Campo, R. & Ruiz, P. (1987). Adaptive weather-sensitive short-term load forecasting. *IEEE Transactions on Power Systems*, 3, 592-600.
40. Chow, T.W.S. & Leung, C.T. (1996). Neural network based short-term load forecasting system using weather compensation. *IEEE Transactions on Power Systems*, 11, 1736-1742.
41. Hippert HS, Pedreira CE, Souza RC. Neural networks for short-term load forecasting: a review and evaluation, *IEEE Transactions on Power Systems* 2001; 16; 44-55.
42. Makukule N.A, Sigauke C. and Lesaoana M.. Daily electricity demand forecasting in South Africa. *African Journal of Business Management* Vol. 6 (9), pp. 3246-3252, 7 March, 2012.
43. Rui, Y. & El-Keib, A.A. (2004). A review of ANN-based short-term load forecasting models, mimeo, Department of Electrical Engineering, University of Alabama.
44. Taylor, J. W. (2003). Short-term Electricity Demand Forecasting using Double Seasonal Exponential Smoothing. *Journal of the Operational Research Society*, Vol 54, 799-805.
45. Taylor, J.W. & Buizza R. (2003). Using weather ensemble predictions in electricity demand forecasting. *International Journal of Forecasting*, 19, 57-70.
46. Taylor, J. W. (2006). A Comparison of Univariate Methods for Forecasting Electricity Demand up to a Day Ahead. *International Journal of Forecasting*, Vol 22, 1-16
47. Zhang, G., Patuwo, B.E. & Hu, M.Y. (1998). Forecasting with artificial neural networks: The state of the art. *International Journal of Forecasting*, 14, 35-62.
48. Соломкин А.В. "Краткосрочное прогнозирование потребления электроэнергии с помощью нейросетевых методов". Электронное научное издание "Электроника и информационные технологии". 2011.
49. Соломкин А.В. "Применение нейросетевых методов для прогнозирования потребления электроэнергии". Электронное научное издание "Электроника и информационные технологии". 2009.

50. ა. ელიტბარაშვილი. ნიურობული ქსელები. Georgian Electronic Scientific Journal: Computer Science and Telecommunications. 2006. No.3(10).
51. Бабкин Д.В., Шульженко С.В. Планирование режимов субъектов ОЭС в современных условиях // Энергетика: управление, качество и эффективность использования энергоресурсов: Тез. докл. III Всерос. науч. техн. конф. - Благовещенск, 2003.—С.81-86.
52. Летун В.М., Глуз И.С. Некоторые проблемы оптимального управления режимом работы энергосистемы в условиях оптового рынка. //Энергетик, 2002, № 1.
53. K. KILK*, M. VALDMA. DETERMINATION OF OPTIMAL OPERATING RESERVES IN POWER SYSTEMS. Oil Shale, 2009, Vol. 26, No. 3 Special, pp. 220–227. 2009 Estonian Academy Publishers.
http://www.kirj.ee/public/oilshale_pdf/2009/issue_3s/oil-2009-3S-220-227.pdf
54. Amir Motamedi . Mahmud Fotuhi-Firuzabad . RESTRUCTURED POWER SYSTEMS USING A HYBRID DETERMINISTIC/PROBABILISTIC APPROACH . 5th International Conference on Electrical and Electronics Engineering, 5-9 December 2007, Bursa Turkey, ELECO2007.
http://www.emo.org.tr/ekler/d43ce3fc206f289_ek.pdf
55. Mohammad Taghi Ameli , Saeid Moslehpoour , Mahdavikhah Golnazsadat. Determining the Spinning Reserve In Power Systems By Corrected Recursive PJM Method. International Conference on Engineering & Technology. 2009 Year.
http://www.ijme.us/cd_08/PDF/64-%20ENT%20205.pdf
56. K. AFSHAR, M. EHSAN**, M. FOTUHI-FIRUZABAD, A. AHMADI-KHATIR AND N. BIGDELI . A NEW APPROACH FOR RESERVE MARKET CLEARING AND COST ALLOCATING IN A POOL MODEL. Iranian Journal of Science & Technology, Transaction B, Engineering, Vol. 31, No. B6, pp 593-602. Printed in The Islamic Republic of Iran, 2007.
57. Young Fang. Fuzzy portfolio optimization. Springer, Berlin. 2008 Year.
58. Cornelius T. Leondes. Fuzzy logic and expert system applications. Academic press. Los angeles. 1998 Year.
59. საქართველოს ენერგეტიკის მინისტრის ბრძანება №77 ელექტროენერგიის (სიმძლავრის) ბაზრის წესების დამტკიცების შესახებ.2006 წლის 30 აგვისტო ქ. თბილისი.
60. Miguel Angel Ortega Vazquez. Optimizing spinning reserve requirements. University of Manchester. School of electrical and electronic engineering. Degree of philosophy. 2006 May.
http://www.eee.manchester.ac.uk/research/groups/eeps/publications/reportstheses/aoe/ortega-vazquez_PhD_2006.pdf

61. Резницкий Александр Исаакович. Разработка нового метода планирования ремонтов оборудования электростанций с учетом расходуемых ресурсов. Диссертация на соискание ученой степени канд. технических наук. 2007 год.
62. Maintenance Optimization for Power Distribution Systems. Doctoral thesis. Royal Institute of Technology Stockholm, Sweden, 2008 year. http://www.etk.ee.kth.se/personal/hilber/hilber_PhD_thesis.pdf
63. Keshav P. Dahal, Nopasit Chakpitak. Generator maintenance scheduling in power systems using metaheuristic-based hybrid approaches. 2006 year. Journal “Electric power systems research”. <http://eastwest.inf.brad.ac.uk/document/publication/KeshavNopasit-EPSR.pdf>
64. S. Baskar, P. Subbaraj, M.V.C. Rao, S. Tamilselvi, Genetic algorithms solution to generator maintenance scheduling with modified genetic operators, IEE Proceedings: Generation, Transmission and Distribution 150 (01) (2003) 56–66.
65. J. Yellen, T. M. Al-Khamis, S. Vemuri, and L. Lemonidis, “A decomposition approach to unit maintenance scheduling,” IEEE Trans. Power Syst., vol. 7, no. 2, pp. 726–733, May 1992.
66. Saraiva, J. T., M. L. Pereira, V. T. Mendes, J. C. Sousa, 2011. A Simulated Annealing based approach to solve the generator maintenance scheduling problem. An Overview. Intl. J. Electric Power Systems Research 81, Elsevier, : 1283–1291.
67. Marwali, M. and Shahidehpour, M., Maintenance Scheduling in Restructured Power Systems, Kluwer Academic Publishers, London. Page 14. 2000 year.
68. Чернов С. С. Перминов А. Ю. Кузичев В. М. Методический подход к моделированию бизнес-процессов управляющей компании. Проблемы современной экономики, N 2 (30), 2009.
69. დ. ჯაფარიძე, თ. მაღრაძე. საქართველოში ელექტროენერგიის მოთხოვნის საშუალოვადიანი პროცენზირება მრავალფაქტორული მოდელის გამოყენებით. „საქართველოს ეკონომიკა“. 2009 წ. №9.
70. სს “საქართველოს სახელმწიფო ელექტროსისტემ”-ის 2011 მარტის ოვის ანგარიში. www.gse.com.ge
- 71.სს “თელასი”-ს 2011 წლის ანგარიში. www.telasi.ge
72. www.freemeteo.com
73. დ. ჯაფარიძე, ზ. გაჩეჩილაძე, თ. მაღრაძე. საშუალოვადიან პერიოდში საქართველოს ელექტროენერგეტიკული უსაფრთხოების უზრუნველსაყოფად ოპტიმალური საინვესტიციო პორტფელის შერჩევა. სამეცნიერო-ტექნიკური უურნალი “ენერგია”. №3(59). 2011 წ. ივნისი. გვ: 11-19. <http://www.energyonline.ge/energyonline/issue5/ge/ax-Japaridze.pdf>

74. <http://www.powerworld.com>.
75. Patel J.K, Campbell B. R. Handbook of the Normal Distribution, Second Edition (Statistics: A Series of Textbooks and Monographs). CRC Press. 2 edition. 1996
76. Kalos M.H. , Whitlock P.A. Monte Carlo Methods. Second edition. 2009.
77. Amemiya. Advanced Econometrics. Harvard University Press. ISBN 0-674-00560-0. 1985 year.
78. Chaturvedi, K.T., Pandit, M., Srivastava, L.: Self-organizing hierarchical particle swarm optimization for nonconvex economic dispatch, IEEE Transactions on Power Systems, pp.1079--1087 (2008).
79. Kumar, A., Dhanushkodi, K., Kumar, J., Paul, C.: Particle swarm optimization solution to emission and economic dispatch problem, Proc. Conf. Convergent Technologies for Asia-Pacific Region (TENCON-2003), vol. 1, pp. 435--439 (2003).
80. Coelho, L.S., Mariani, V.C.: Combining of Chaotic differential evolution and quadratic programming for economic dispatch optimization with valve-point effect, IEEE Transactions on Power Systems, vol. 21, pp. 989 -- 996 (2006).
81. სუბაშვილი ბ. გარდაბნის თბოელექტროსადგურის ზეგავლენა აგროლანდშაფტებზე და მისი რადიოეკოლოგიური დახასიათება. სოფლის მეურნეობის დოქტორის აკადემიური ხარისხის მოსაპოვებელი დისერტაცია. აიპ “საქართველოს აგრარული უნივერსიტეტი”. თბილისი. 2011 წ.
82. მახარაძე გ. ელექტრული ენერგიის წარმოება, გადაცემა და განაწილება. გამომცემლობა “უნივერსალი”. 2006.
83. Bach H. Load Flow Analysis by Newton-Raphson Method. Publisher “University of Tennessee at Chattanooga”. 1985.
84. Nguyen H.L. Newton-Raphson method in complex form power system load flow analysis. Power Systems, IEEE Transactions on (Volume:12 , Issue: 3) Pages: 1355-1359. 1997.

დანართები

დანართი №1. ელექტროენერგეტიკული სისტემის გენერაციორების ტექნიკური მონაცემები

მახასიათებელი		ელ. სადგურის ტიპი			
მაქს. წარმოება	15	0,01	0	30	თბო
	15	0,02	0	30	თბო
	20	0,03	0	30	თბო
	25	0,02	0	30	პიდრო
	30	0,04	0	30	პიდრო
	15	0,01	0	30	თბო
	15	0,01	0	30	თბო
	15	0,01	0	30	თბო
	20	0,02	0	30	თბო
	20	0,01	0	30	თბო
	15	0,02	0	30	თბო
	25	0,01	0	50	პიდრო
	15	0,01	0	50	თბო
	30	0,02	0	100	პიდრო
	15	0,01	0	100	თბო
	25	0,03	0	100	პიდრო
	15	0,01	0	100	თბო
	20	0,02	0	100	თბო
	25	0,02	0	100	პიდრო
	30	0,01	0	100	თბო
	30	0,02	0	200	პიდრო
	15	0,03	0	200	თბო
	15	0,01	0	250	თბო
	20	0,01	0	250	თბო
	30	0,04	0	300	პიდრო
	25	0,01	0	300	პიდრო
	20	0,02	0	300	თბო
	30	0,03	0	350	პიდრო
	25	0,01	0	420	პიდრო
	30	0,01	0	420	პიდრო
-	-	0	4120	-	ჯამი

დანართი №2. ელექტროენერგეტიკული სისტემის დატვირთვის კვანძების საათობრივი ტექნიკური მონაცემები

№5	№4	№3	№2	№1	3 ՀՅԱՅԻՆ ՃՅԱՅԻՆ ՃՅԱՅԻՆ
3200	742	633	561	544	720 կտ-1
3600	741,4	649,4	840,4	683,4	685,4 կտ-2
3200	715,2	561,2	582,2	702,2	639,2 կտ-3
3400	713,4	652,4	758,4	584,4	691,4 կտ-4
3700	769,2	713,2	832,2	665,2	720,2 կտ-5
3400	778,2	679,2	540,2	716,2	686,2 կտ-6
3200	519	790	626	668	597 կտ-7
3680	900	723	692	674	691 կտ-8
3920	873,6	678,6	857,6	629,6	880,6 կտ-9
3780	864,4	806,4	812,4	661,4	635,4 կտ-10
3840	848,6	770,6	863,6	724,6	632,6 կտ-11
3540	683,8	785,8	717,8	675,8	676,8 կտ-12
3800	802,2	658,2	763,2	796,2	780,2 կտ-13
3560	569,2	742,2	823,2	637,2	788,2 կտ-14
3780	857,6	644,6	651,6	895,6	730,6 կտ-15
3900	700,2	886,2	674,2	735,2	904,2 կտ-16
3600	673	645	767	721	794 կտ-17
3840	787,6	891,6	698,6	630,6	831,6 կտ-18
3640	788,2	847,2	818,2	612,2	574,2 կտ-19
3880	720,6	658,6	875,6	784,6	840,6 կտ-20
4000	766	712	762	897	863 կտ-21
3500	637,6	638,6	719,6	759,6	744,6 կտ-22
3720	651	797	878	672	722 կտ-23
3420	755	649	646	802	568 կտ-24
					0,01 0,02 0,03 0,01 0,01 Կ _d = 2
					(ՀՅԱՅԻՆ ՃՅԱՅԻՆ ՃՅԱՅԻՆ)

დანართი №3. ელექტროენერგეტიკული სისტემის აქტიური სიმძლავრის მოცდენის
ალბათობრივ-ვარიანტული ცხრილი

დანართი №4. ნახაზი №4-ზე მოცემული ცალხაზოვანი სქემის ელემენტების მონაცემებია

ელემენტი	დასახელება	X ₁	X ₂	X ₃	X ₄	X ₅	X ₆	X ₇	X ₈	X ₉	X ₁₀	X ₁₁	X ₁₂	ელ.დანადგარის პრევენციული რემონტის ხარჯი, ლარი	პრევენციული რემონტებისთვის გამოყოფილი ბიუჯეტის მაქსიმალური თანხა, ლარი
Q ₀	სალტე	3	3	1	3	2000	0,05	10	3	20	-	19	90	1000	10000
Q ₂	გამთიშველი	2	2	1	3	3000	0,04	15	4	10	-	10	90	2000	
Q ₃	შემომავალი სალტე	3	3	1	3	2000	0,025	10	3	20	-	19	90	1000	
Q ₄	ამომრთველი	1	1	1	2	5000	0,03	25	5	10	-	12	90	4000	
Q ₈	დენის ტრ-რი	1	1	1	2	2500	0,02	20	3	15	3	13	90	1500	
Q ₉	გამთიშველი	2	2	1	3	3000	0,01	15	4	12	-	14	90	3000	

დანართი №5. ელექტროენერგეტიკული სისტემის გენერაცორების ტექნიკური მონაცემები

გენერატორი	1 (ჰიდრო)	2 (ჰიდრო)	3 (ჰიდრო)	4 (ჰიდრო)	5 (ჰიდრო)	6 (ჰიდრო)	7 (ჰიდრო)	8 (ჰიდრო)
დადგმული სიმძლავრე, მგვტ	12	12	12	12	12	20	20	20
ავარიული გამორთვის ალბათობა	0,01	0,02	0,03	0,01	0,02	0,04	0,05	0,03
გენერატორი	9 (ჰიდრო)	10 (ჰიდრო)	11 (ჰიდრო)	12 (ჰიდრო)	13 (ჰიდრო)	14 (ჰიდრო)	15 (ჰიდრო)	16 (ჰიდრო)
დადგმული სიმძლავრე, მგვტ	20	76	76	76	76	100	100	100
ავარიული გამორთვის ალბათობა	0,02	0,02	0,01	0,02	0,01	0,01	0,03	0,02
გენერატორი	17 (ჰიდრო)	18 (ჰიდრო)	19 (ჰიდრო)	20 (ჰიდრო)	21 (ჰიდრო)	22 (ჰიდრო)	23 (ჰიდრო)	24 (ჰიდრო)
დადგმული სიმძლავრე, მგვტ	100	100	100	155	155	155	155	197
ავარიული გამორთვის ალბათობა	0,03	0,04	0,01	0,01	0,02	0,03	0,01	0,01
გენერატორი	25 (ჰიდრო)	26 (ჰიდრო)	27 (ჰიდრო)	28 (ჰიდრო)	29 (ჰიდრო)	30 (ჰიდრო)	31 (თბო)	32 (თბო)
დადგმული სიმძლავრე, მგვტ	197	197	197	197	197	350	400	400
ავარიული გამორთვის ალბათობა	0,01	0,02	0,01	0,02	0,03	0,03	0,05	0,05

დანართი №6. ელექტროენერგეტიკული სისტემის პიკური დატვირთვის მაჩვენებლები კვირეების მიხედვით, მგვტ

კვირა	1	2	3	4	5	6	7	8	9	10
დატვირთვა	2456,7	2565	2502,3	2376,9	2508	2396,85	2371,2	2297,1	2109	2100,45
კვირა	11	12	13	14	15	16	17	18	19	20
დატვირთვა	2037,75	2071,95	2006,4	2137,5	2054,85	2280	2148,9	2385,45	2479,5	2508
კვირა	21	22	23	24	25	26	27	28	29	30
დატვირთვა	2439,6	2311,35	2565	2527,95	2553,6	2453,85	2151,75	2325,6	2282,85	2508
კვირა	31	32	33	34	35	36	37	38	39	40
დატვირთვა	2057,7	2211,6	2280	2077,65	2069,1	2009,25	2223	1980,75	2063,4	2063,4
კვირა	41	42	43	44	45	46	47	48	49	50
დატვირთვა	2117,55	2120,4	2280	2510,85	2522,25	2590,65	2679	2536,5	2684,7	2764,5
კვირა	51	52	-	-	-	-	-	-	-	-
დატვირთვა	2850	2721,75	-	-	-	-	-	-	-	-

დანართი №7. დატვირთვის კვანძების აქტიური და რეაქტიული სიმძლავრეების მოხმარების პროგნოზი

სთ	1		2		3		4		5		6		7		8	
დატვირთვა	აქტიური	რეაქტიული														
კვანძი №1	100	10	130	13	150	15	150	15	166	17	150	15	183	18	200	20
კვანძი №2	200	20	230	23	240	24	250	25	266	27	240	24	283	28	300	30
კვანძი №3	150	15	180	18	190	19	210	21	226	23	210	21	243	24	260	26
კვანძი №4	150	15	180	18	200	20	220	22	236	24	220	22	253	25	270	27
კვანძი №5	50	5	100	10	120	12	150	15	166	17	150	15	183	18	200	20
კვანძი №6	50	5	80	8	100	10	120	12	140	14	130	13	155	16	170	17
ჯამი	700	70	900	90	1000	100	1100	110	1200	120	1100	110	1300	130	1400	140
სთ	9		10		11		12		13		14		15		16	
დატვირთვა	აქტიური	რეაქტიული														
კვანძი №1	216	22	183	18	166	17	120	12	120	12	116	12	180	18	216	22
კვანძი №2	316	32	283	28	266	27	250	25	240	24	216	22	230	23	116	12
კვანძი №3	276	28	243	24	226	23	220	22	200	20	166	17	130	13	166	17
კვანძი №4	286	29	253	25	236	24	210	21	190	19	166	17	180	18	166	17
კვანძი №5	216	22	155	16	140	14	150	15	150	15	66	7	80	8	70	7
კვანძი №6	190	19	183	18	166	17	150	15	100	10	70	7	100	10	66	7
ჯამი	1500	150	1300	130	1200	120	1100	110	1000	100	800	80	900	90	800	80
სთ	17		18		19		20		21		22		23		24	

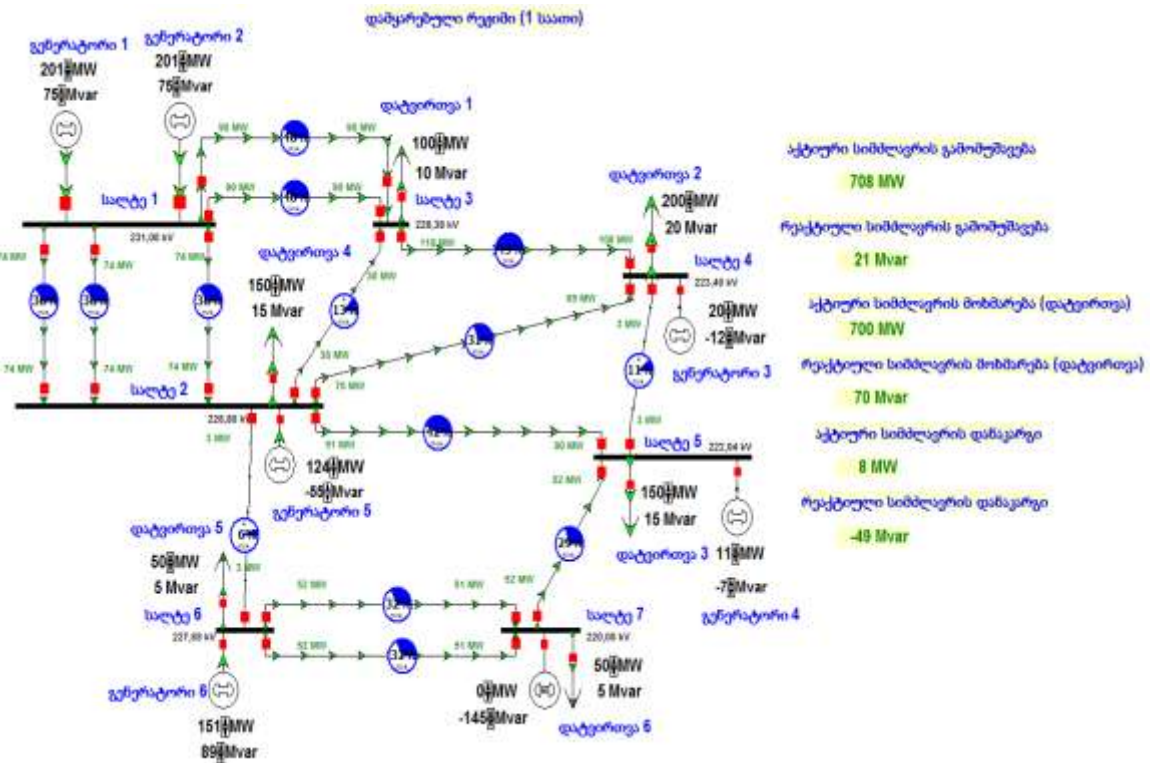
Համար	Առաջնային գործություն														
Ա360 №1	100	10	84	8	94	9	94	9	116	12	190	19	150	15	120
Ա360 №2	150	15	134	13	134	13	154	15	216	22	220	22	230	23	210
Ա360 №3	150	15	134	13	144	14	164	16	156	16	140	14	190	19	230
Ա360 №4	190	19	170	17	180	18	180	18	176	18	170	17	180	18	220
Ա360 №5	60	6	44	4	54	5	54	5	70	7	100	10	130	13	160
Ա360 №6	50	5	34	3	44	4	54	5	66	7	80	8	120	12	160
Ճամո	700	70	600	60	650	65	700	70	800	80	900	90	1000	100	1100

დანართი №8. ელექტროსადგურების გენერატორების სათბობის სახარჯო და CO₂ ემისიის მახასიათებლები

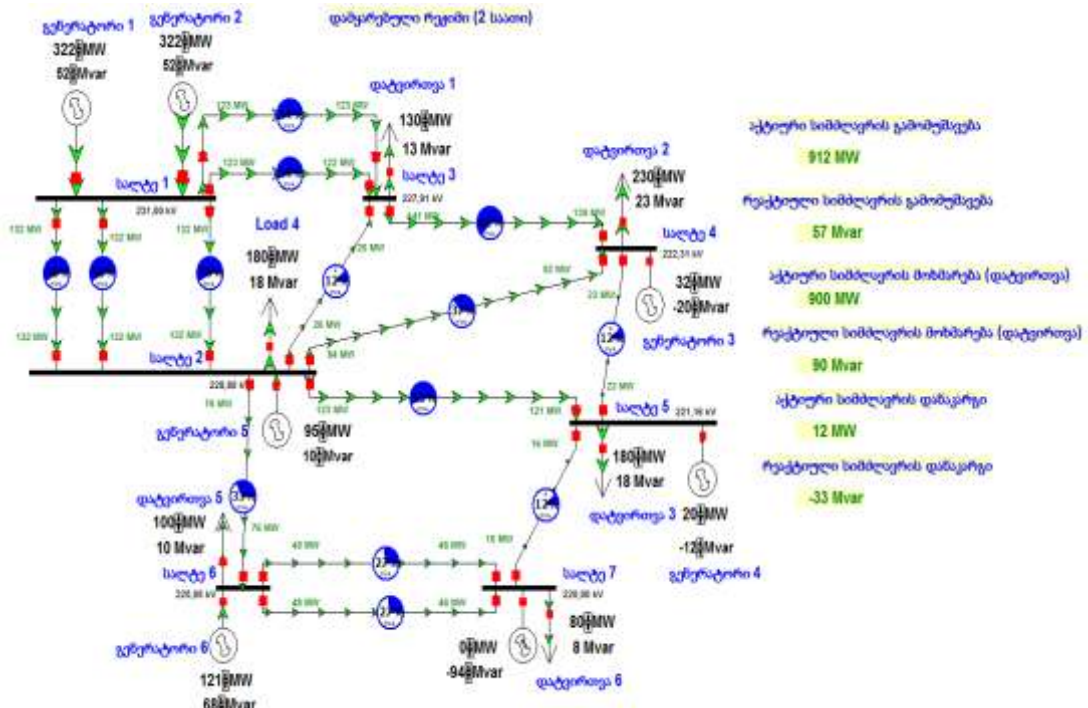
მარეგულირებელი (წყალსაცავიანი) ჰესი										
გ-1, გ-2, დატვირთვა	500	450	400	350	300	250	200	150	100	50
გაზომვებით მიღებული	146,24	129,59	113,64	98,39	83,84	69,99	56,84	44,39	32,64	21,59
საანგარიშო (საპასპორტო) ხარჯი	146,3	129,62	113,71	98,45	83,89	70	56,87	44,42	32,65	21,6
ცდომილება, %	0,041	0,02	0,06	0,06	0,05	0,01	0,05	0,06	0,03	0,04
ენერგეტიკული (წყლის სახარჯო) მახასიათებელი	$Q = 11,24 + 0,2P + 0,00014P^2$									
მდინარის (გამდინარე) ჰესი-1										
გ-1, დატვირთვა	50	45	40	35	30	25	20	15	10	5
გაზომვებით მიღებული	150,24	127,2	106,2	87,24	70,24	55,24	42,24	31,24	22,24	15,24
საანგარიშო (საპასპორტო) ხარჯი	150,226	127,16	106,1	87,1253	70,1261	55,113	42,168	31,111	21,8353	14,386
ცდომილება, %	0,02	0,09	0,12	0,1	0,08	0,07	0,03	0,04	0,09	0,13
ენერგეტიკული (წყლის სახარჯო) მახასიათებელი	$Q = 10,24 + 0,8P + 0,04P^2$									
მდინარის (გამდინარე) ჰესი-2										
გ-1, დატვირთვა	40	35	30	25	20	15	10	5		
გაზომვებით მიღებული	77	64,12	52,5	42,125	33	25,125	18,5	13,125		
საანგარიშო (საპასპორტო) ხარჯი	76,97	63,98	52,27	41,88	32,75	24,84	18,33	12,82		
ცდომილება, %	0,02	0,09	0,12	0,1	0,08	0,07	0,03	0,04		
ენერგეტიკული (წყლის სახარჯო) მახასიათებელი	$Q = 9 + 0,7P + 0,025P^2$									
თბოელექტროსადგური-1										
გ-1, დატვირთვა	500	450	400	350	300	250	200	150	100	50
სათბობი										
გაზომვებით მიღებული	151,24	134,59	118,64	103,39	88,84	74,99	61,84	49,39	37,64	26,59

საანგარიშო (საპასპორტო) ხარჯი	151,29	134,69	118,58	103,45	88,75	74,92	61,81	49,43	37,61	26,62										
ცდომილება, %	0,033	0,07	0,05	0,05	0,10	0,09	0,04	0,08	0,07	0,11										
ენერგეტიკული (სათბობის სახარჯო) მახასიათებელი	$B = 16,24 + 0,2P + 0,00014P^2$ (გამარტივების მიზნით უგულებელყოფილია “სარქველის დატვირთვის ეფექტი”)																			
CO ₂ ემისია																				
გაზომვებით მიღებული	1619957	1311937	1036366	793246,2	582575,9	404355,6	258585,3	145265	64394,69	15974,39										
საანგარიშო (საპასპორტო) ხარჯი	1620000	1313000	1035900	793100	582999	404458	258501	145261	64385	15958										
ცდომილება, %	0,002	0,08	-0,04	0,01	0,07	0,02	0,03	0,002	0,01	0,103										
CO ₂ ემისიის მახასიათებელი	$C = 4,091 - 5,094P + 6,49P^2$																			
თბოელექტროსადგური-2																				
სათბობი																				
გ-1, დატვირთვა	500	450	400	350	300	250	200	150	100	50										
გაზომვებით მიღებული	196,24	174,59	153,64	133,39	113,84	94,99	76,84	59,39	42,64	26,59										
საანგარიშო (საპასპორტო) ხარჯი	196,21	174,62	153,67	133,46	113,95	94,9	76,78	59,33	42,67	26,58										
ცდომილება, %	0,015	0,017	0,01	0,05	0,09	0,09	0,07	0,10	0,07	0,03										
ენერგეტიკული (სათბობის სახარჯო) მახასიათებელი	$B = 11,24 + 0,3P + 0,00014P^2$ (გამარტივების მიზნით უგულებელყოფილია “სარქველის დატვირთვის ეფექტი”)																			
CO ₂ ემისია																				
გაზომვებით მიღებული	1406479	1138976	899663,7	688541,1	505608,4	3508566	224313,1	125950,5	55777,84	13795,19										
საანგარიშო (საპასპორტო) ხარჯი	1405354	1137951	899303,8	688128	505254,5	3506812	224268,2	125912,7	55772,26	13780,02										
ცდომილება, %	0,08	0,09	0,04	0,06	0,07	0,05	0,02	0,03	0,01	0,11										
CO ₂ ემისიის მახასიათებელი	$C = 2,543 - 6,047P + 5,638P^2$																			

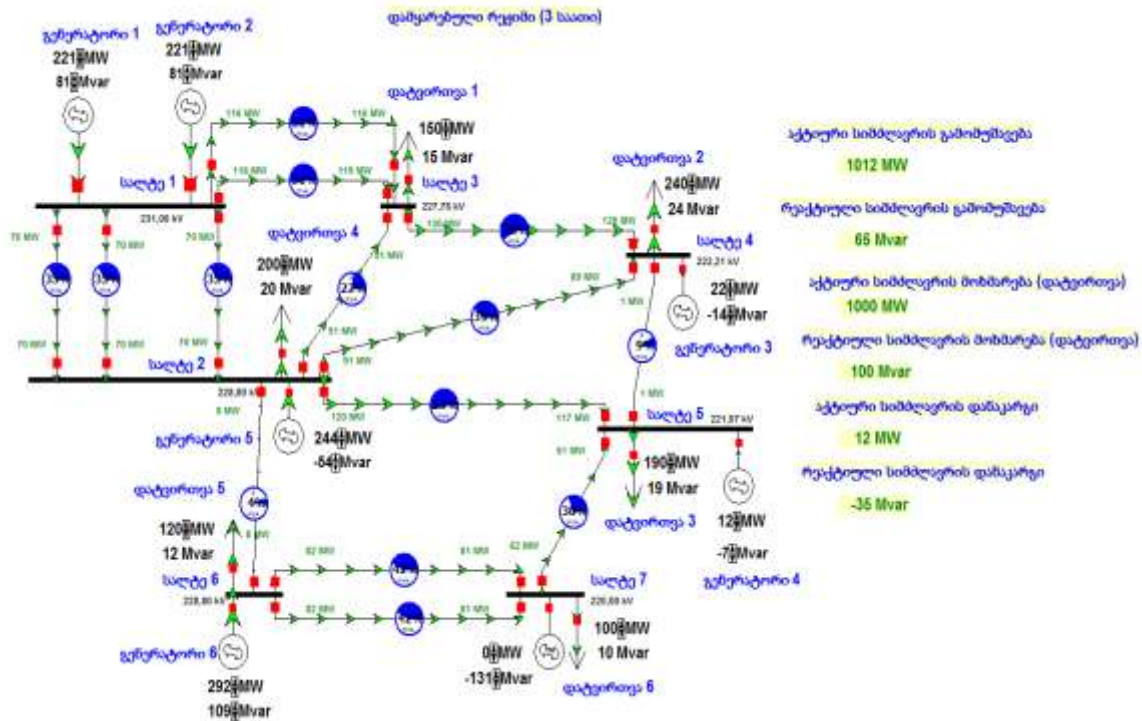
ელექტროენერგეტიკული სისტემის 24 საათიანი (დღე-ღამური) მუშაობის ოპტიმალური რეჟიმები



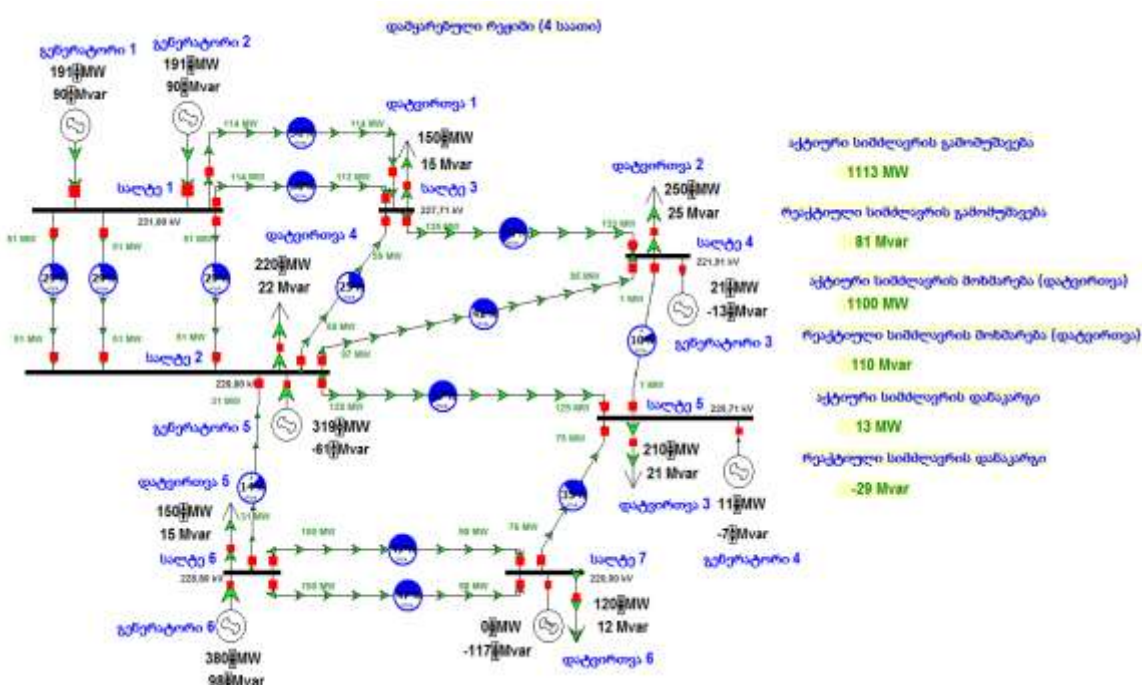
დანართი №9. ელექტროენერგეტიკული სისტემის მუშაობის ოპტიმალური რეჟიმი (1 საათი)



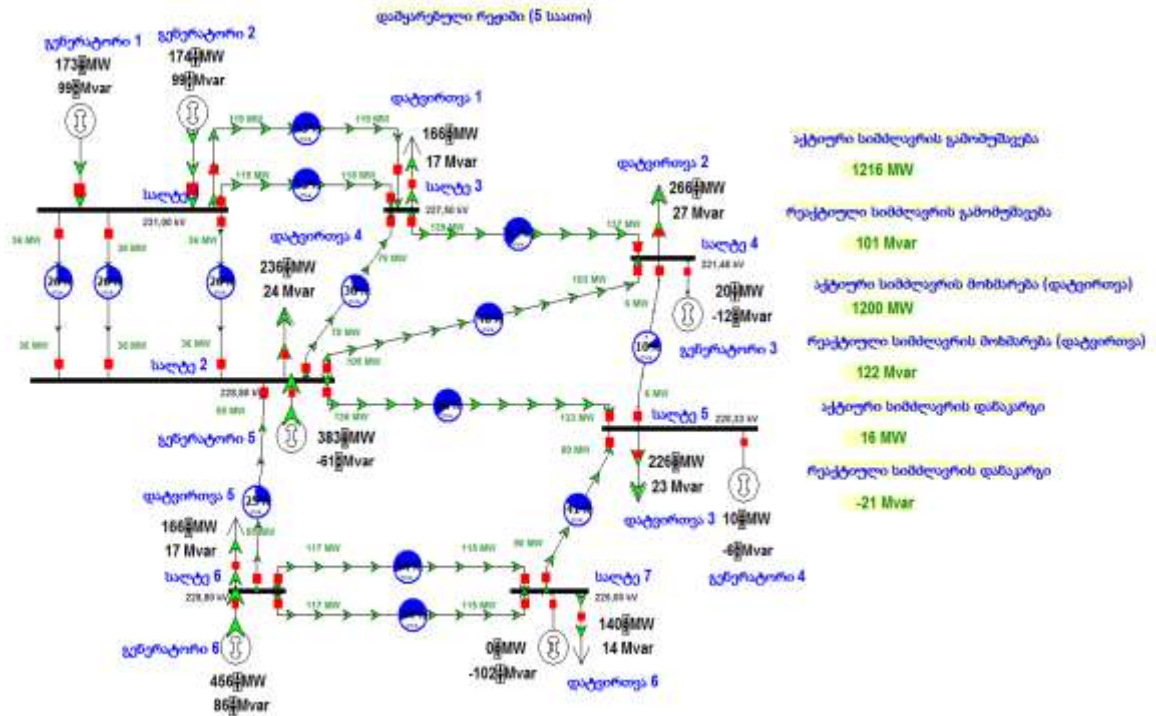
დანართი №10. ელექტროენერგეტიკული სისტემის მუშაობის ოპტიმალური რეჟიმი (2 საათი)



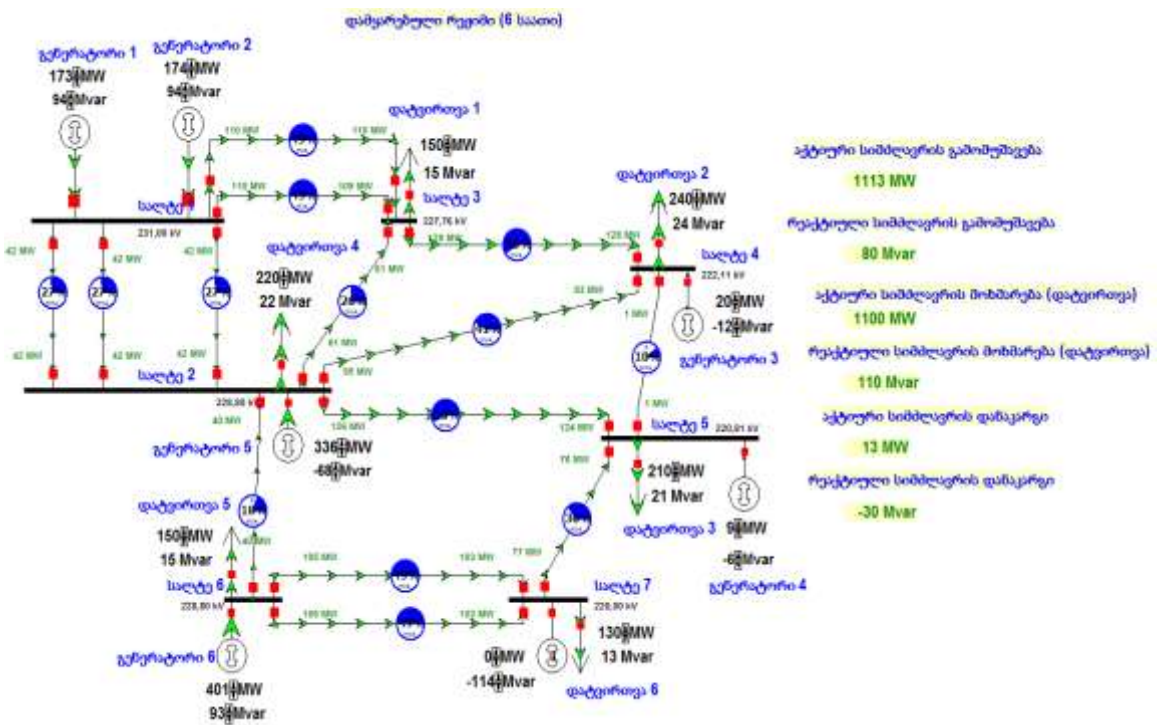
დანართი №11. ელექტროენერგეტიკული სისტემის მუშაობის ოპტიმალური რეჟიმი (3 საათი)



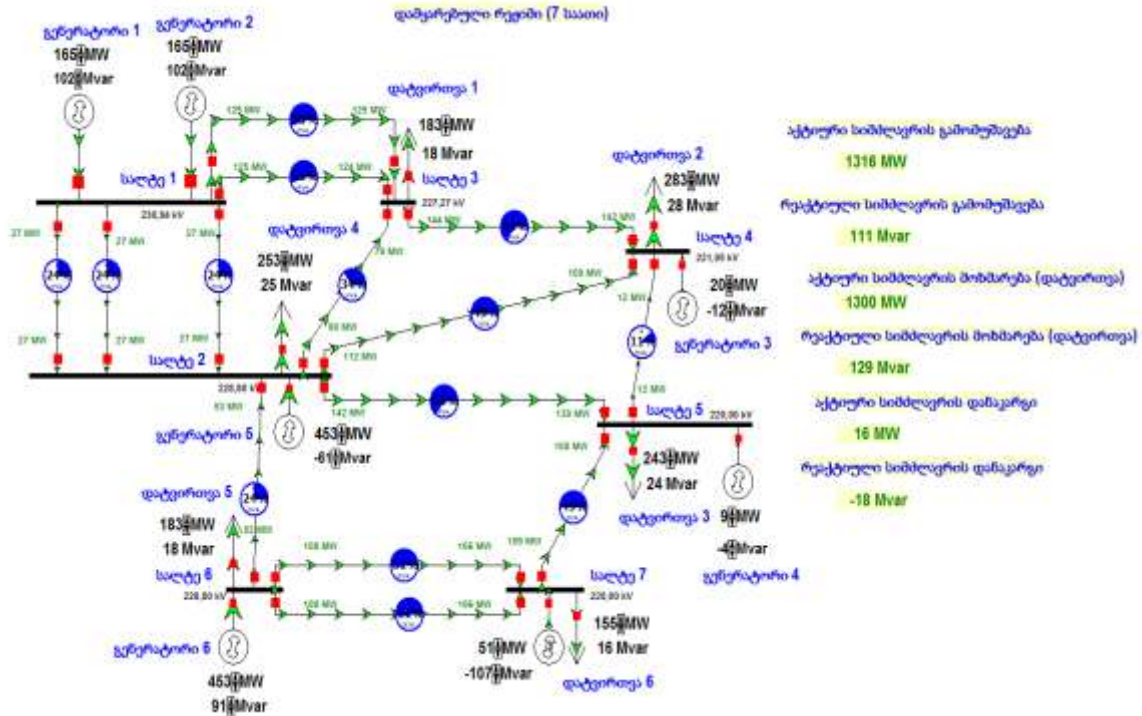
დანართი №12. ელექტროენერგეტიკული სისტემის მუშაობის ოპტიმალური რეჟიმი (4 საათი)



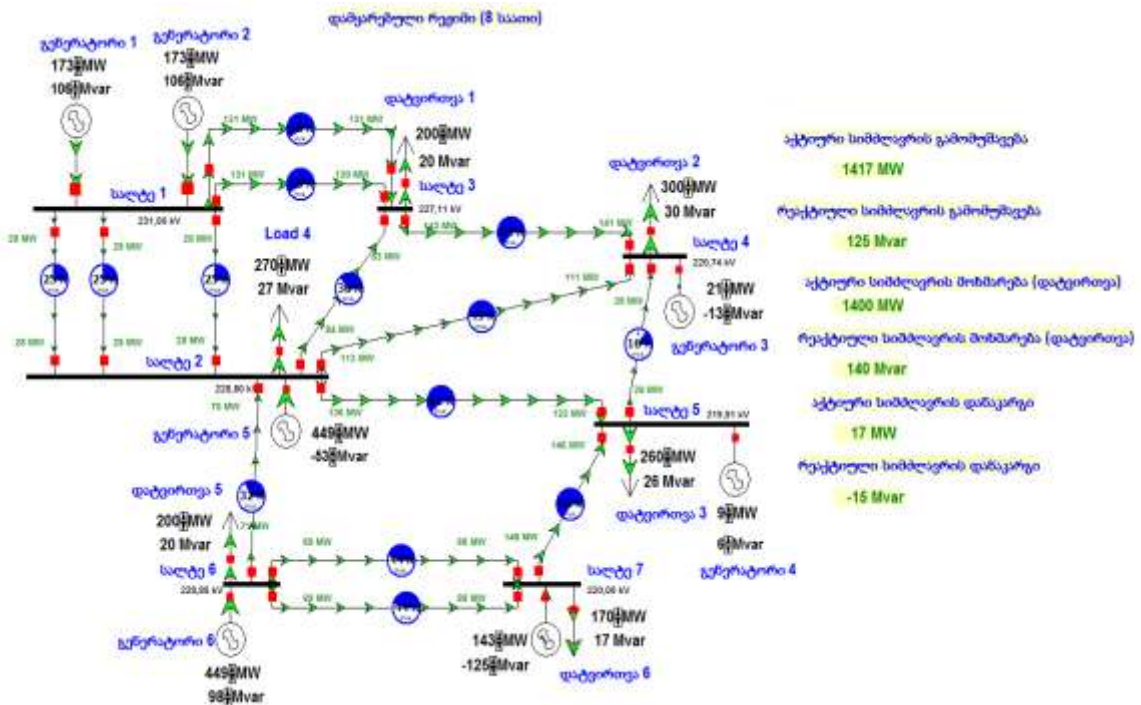
დანართი №13. ელექტროენერგეტიკული სისტემის მუშაობის ოპტიმალური რეჟიმი (5 საათი)



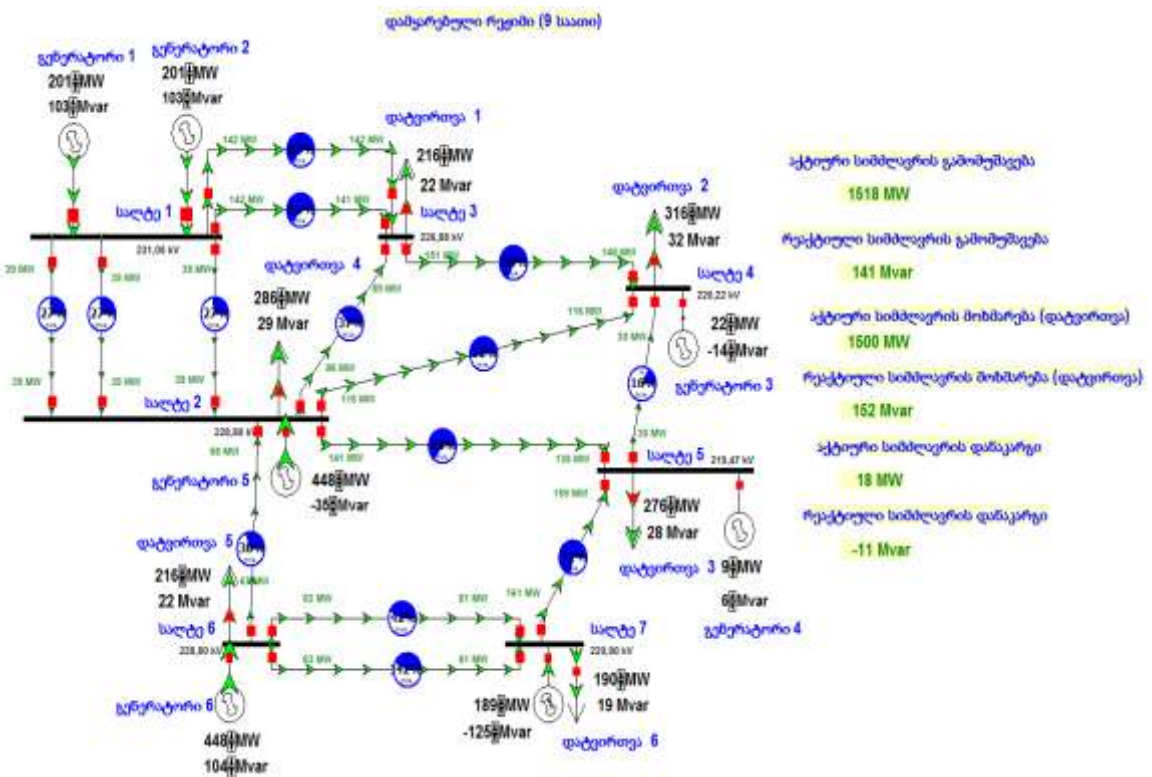
დანართი №14. ელექტროენერგეტიკული სისტემის მუშაობის ოპტიმალური რეჟიმი (6 საათი)



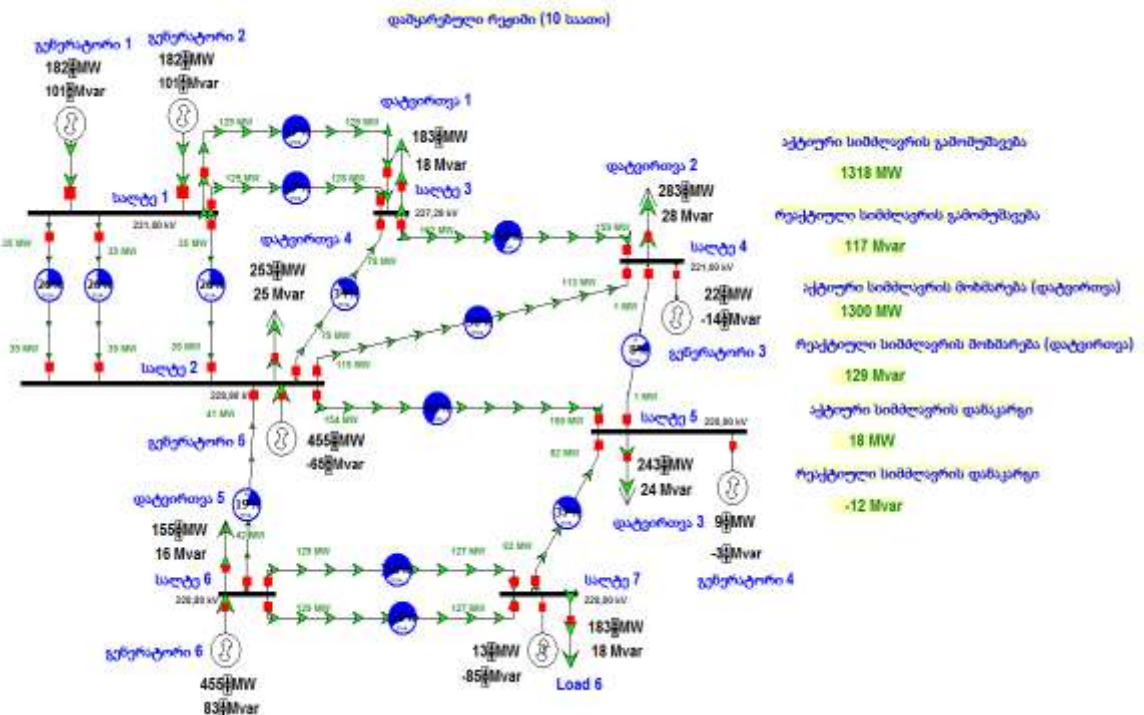
დანართი №15. ელექტროენერგეტიკული სისტემის მუშაობის ოპტიმალური რეჟიმი (7 საათი)



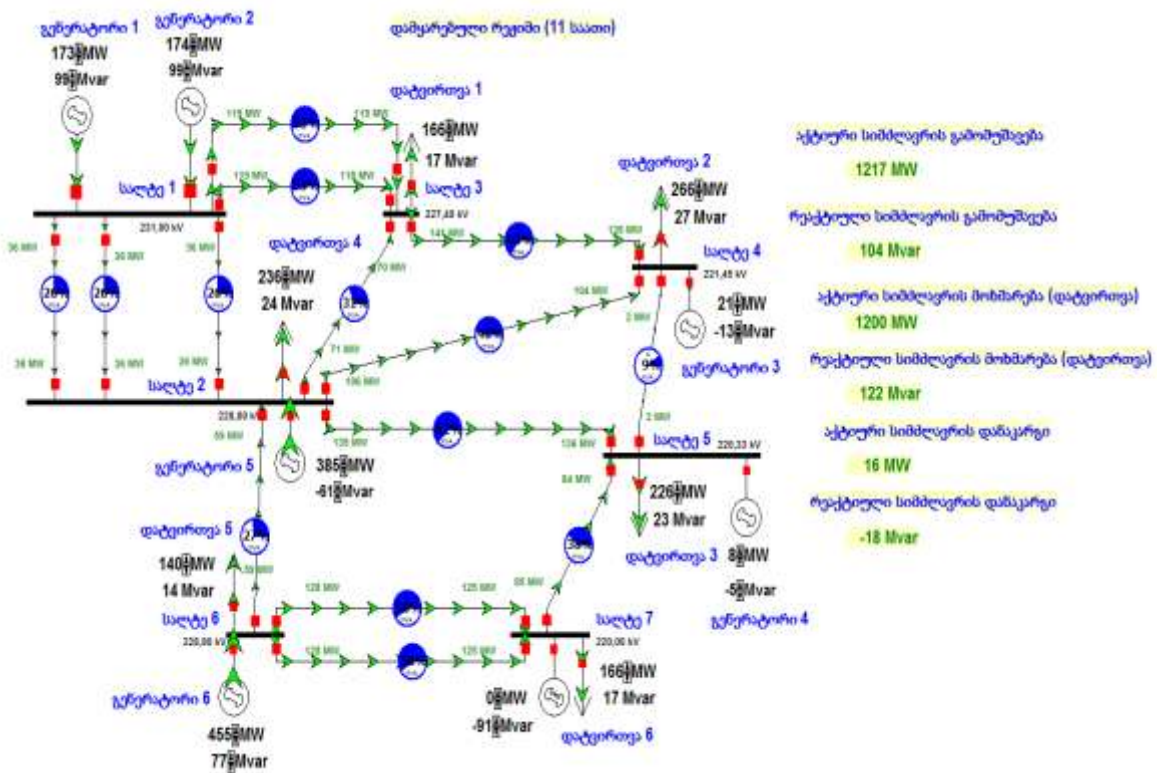
დანართი №16. ელექტროენერგეტიკული სისტემის მუშაობის ოპტიმალური რეჟიმი (8 საათი)



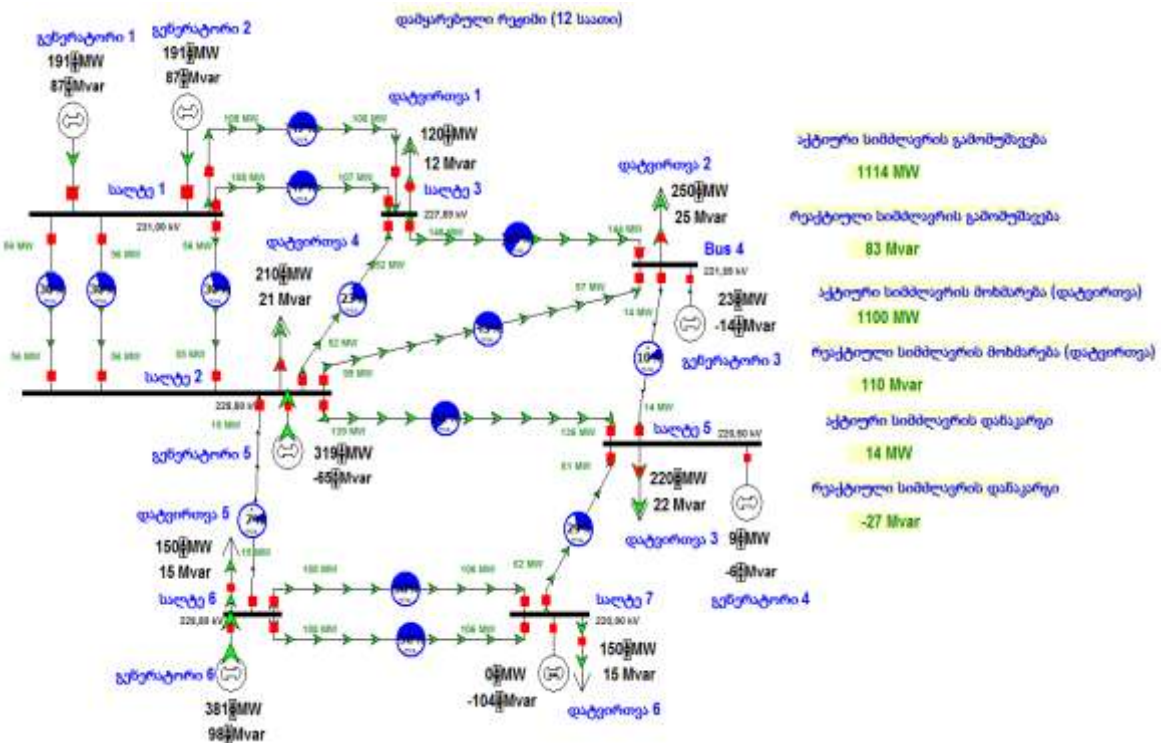
დანართი №17. ელექტროენერგეტიკული სისტემის მუშაობის ოპტიმალური რეჟიმი (9 საათი)



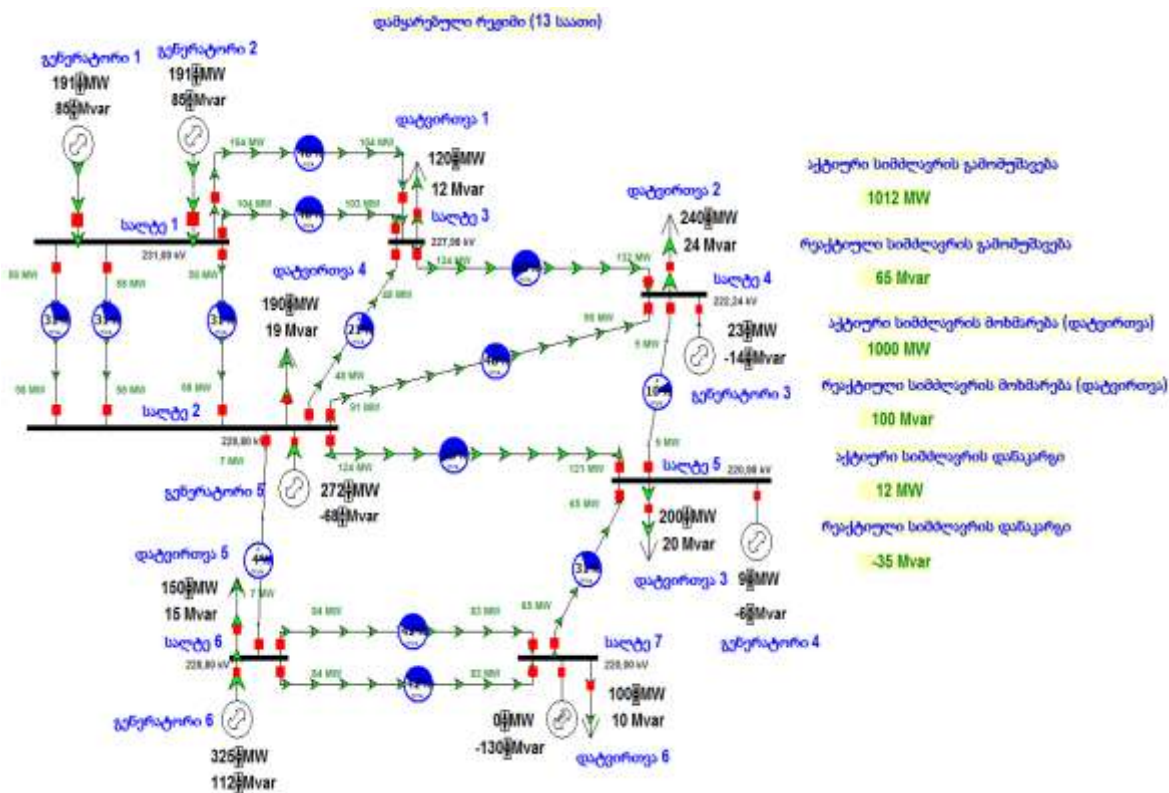
დანართი №18. ელექტროენერგეტიკული სისტემის მუშაობის ოპტიმალური რეჟიმი (10 საათი)



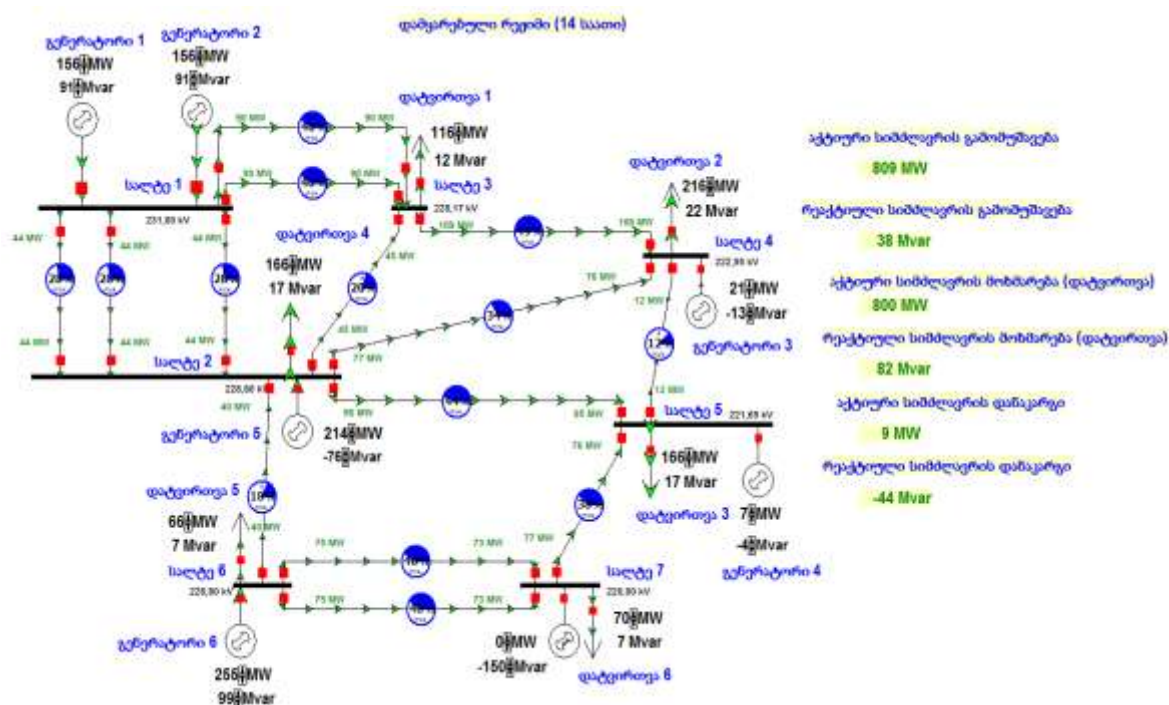
დანართი №19. ელექტროენერგეტიკული სისტემის მუშაობის ოპტიმალური რეჟიმი (11 საათი)



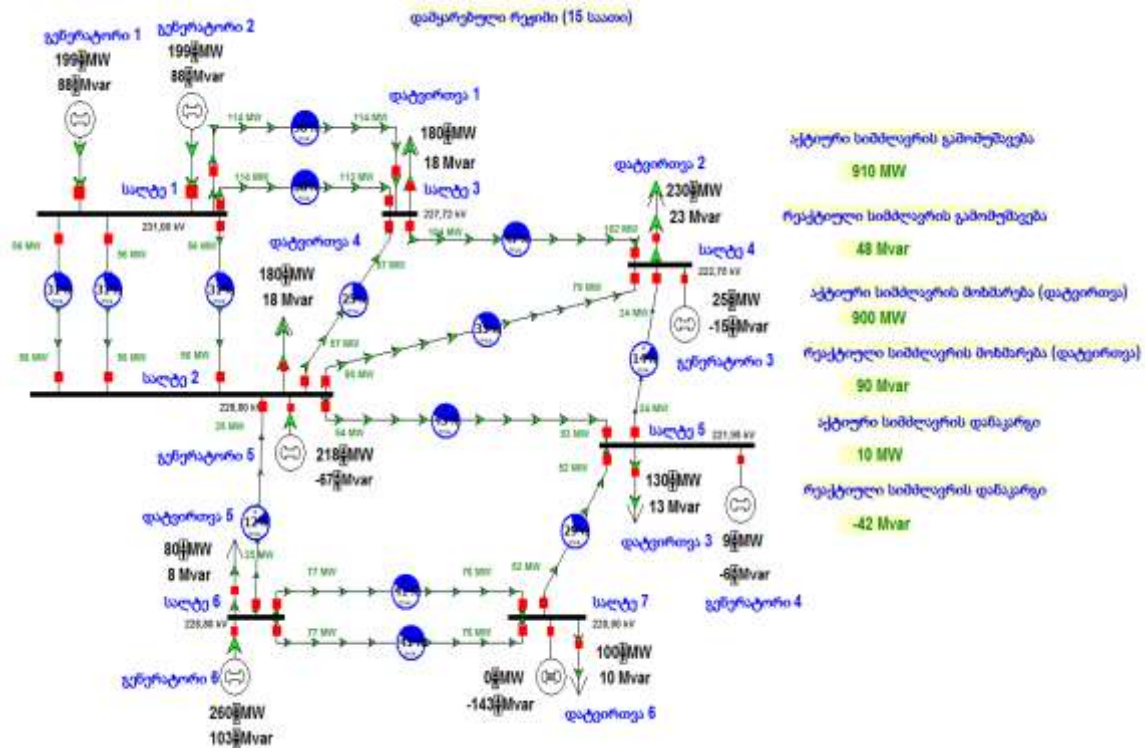
დანართი №20. ელექტროენერგეტიკული სისტემის მუშაობის ოპტიმალური რეჟიმი (12 საათი)



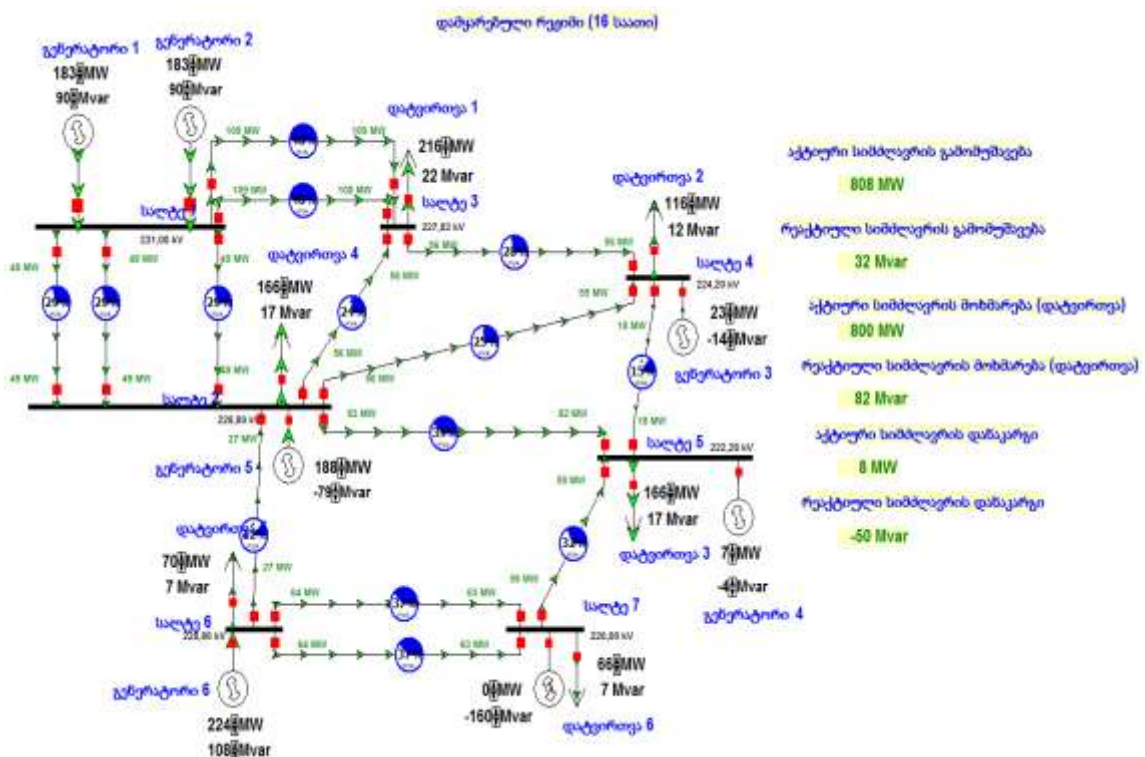
დანართი №21. ელექტროენერგეტიკული სისტემის მუშაობის ოპტიმალური რეჟიმი (13 საათი)



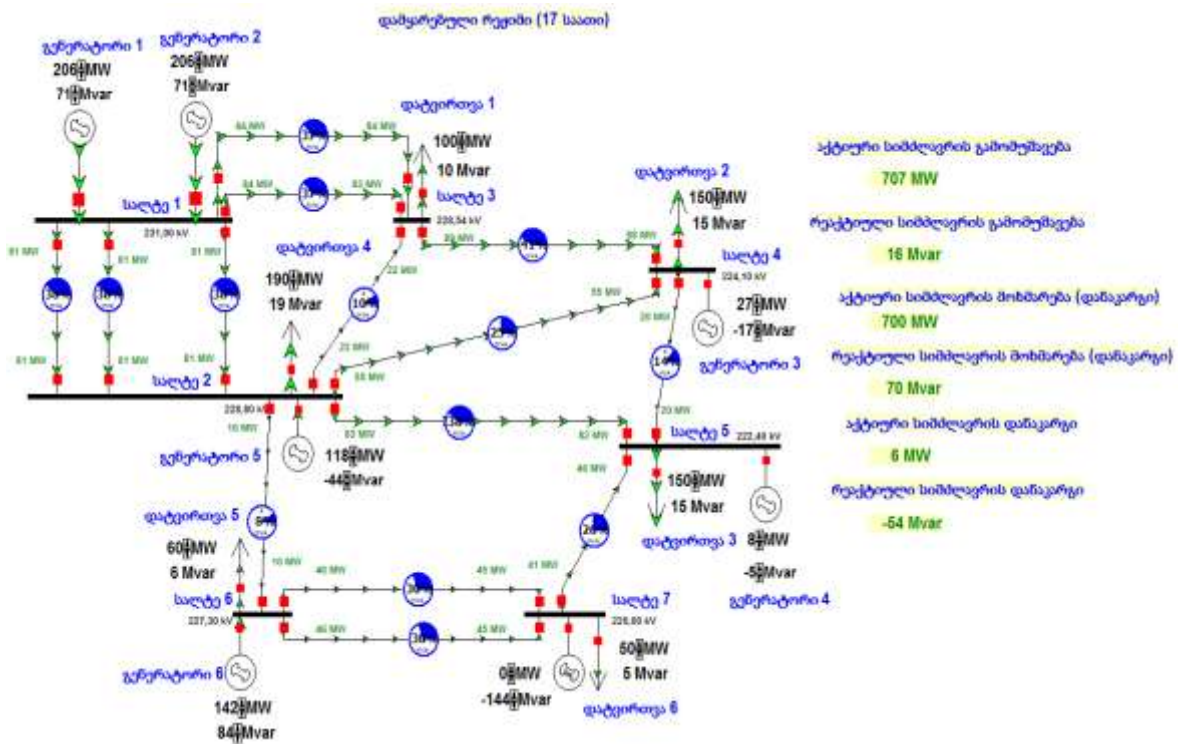
დანართი №22. ელექტროენერგეტიკული სისტემის მუშაობის ოპტიმალური რეჟიმი (14 საათი)



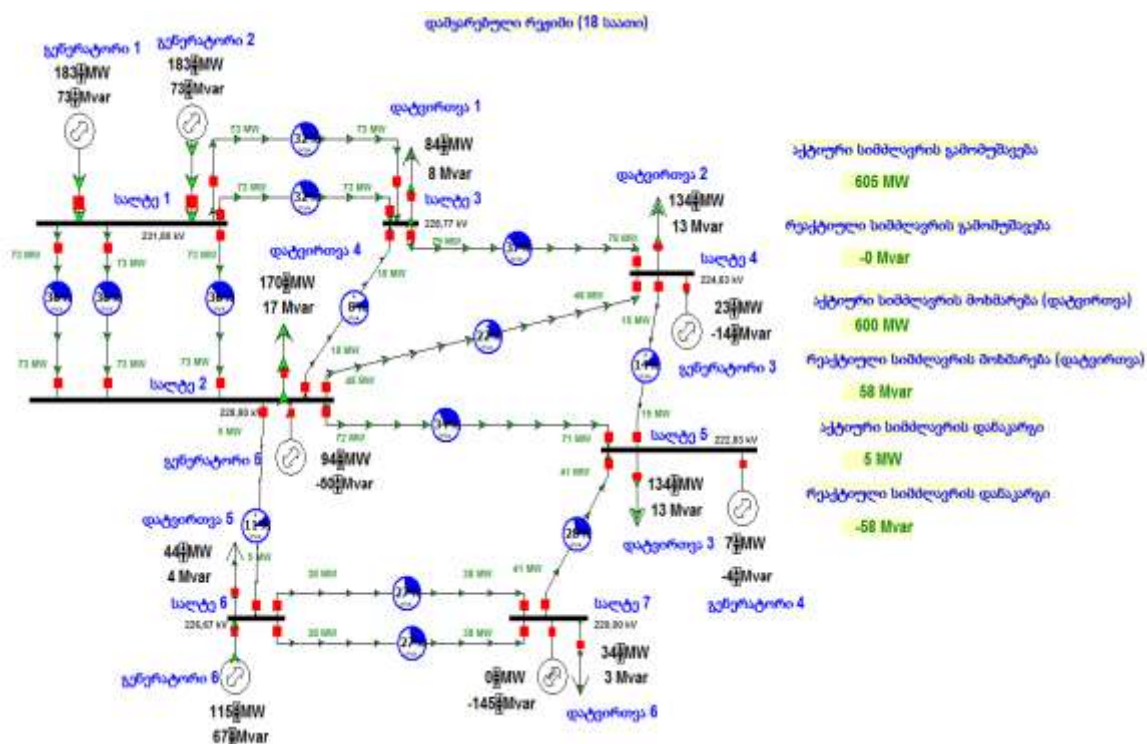
დანართი №23. ელექტროენერგეტიკული სისტემის მუშაობის ოპტიმალური რეჟიმი (15 საათი)



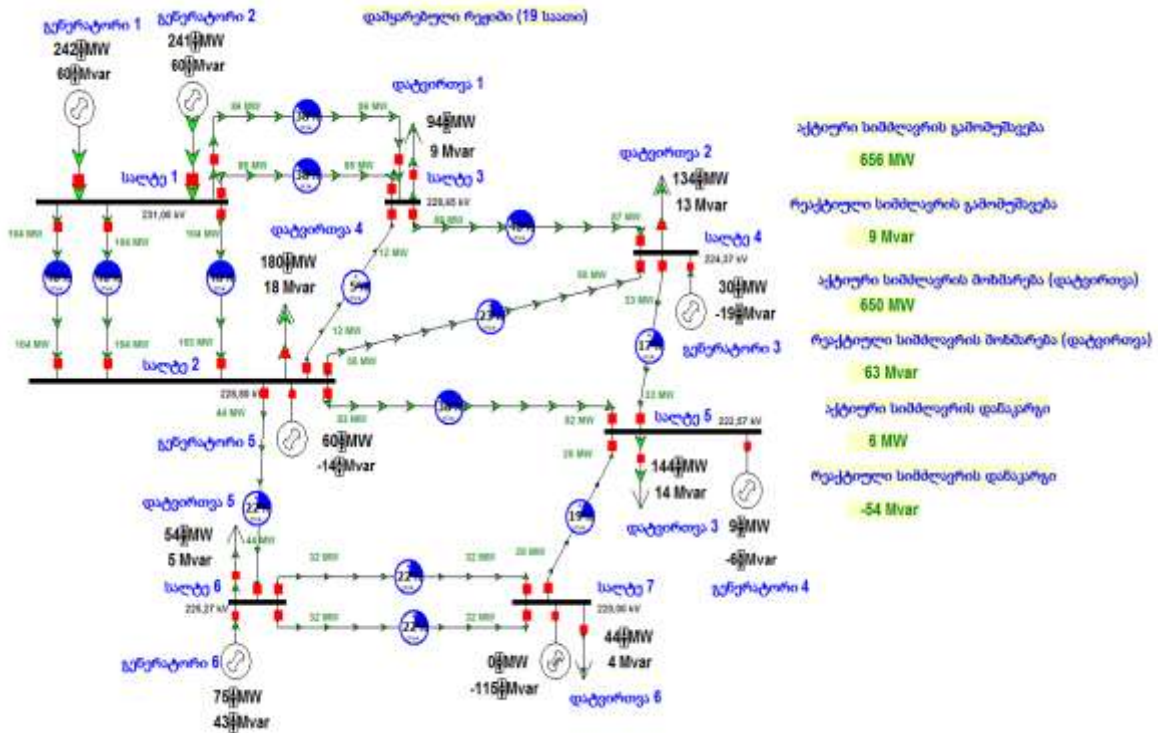
დანართი №24. ელექტროენერგეტიკული სისტემის მუშაობის ოპტიმალური რეჟიმი (16 საათი)



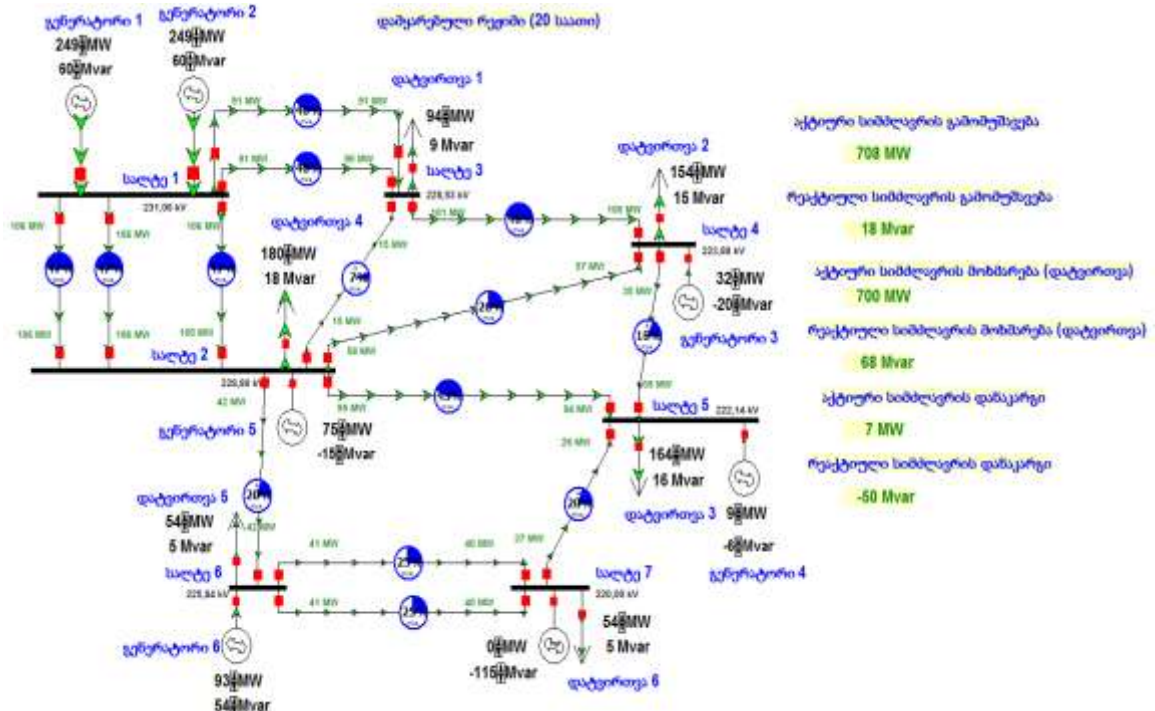
დანართი №25. ელექტროენერგეტიკული სისტემის მუშაობის ოპტიმალური რეჟიმი (17 საათი)



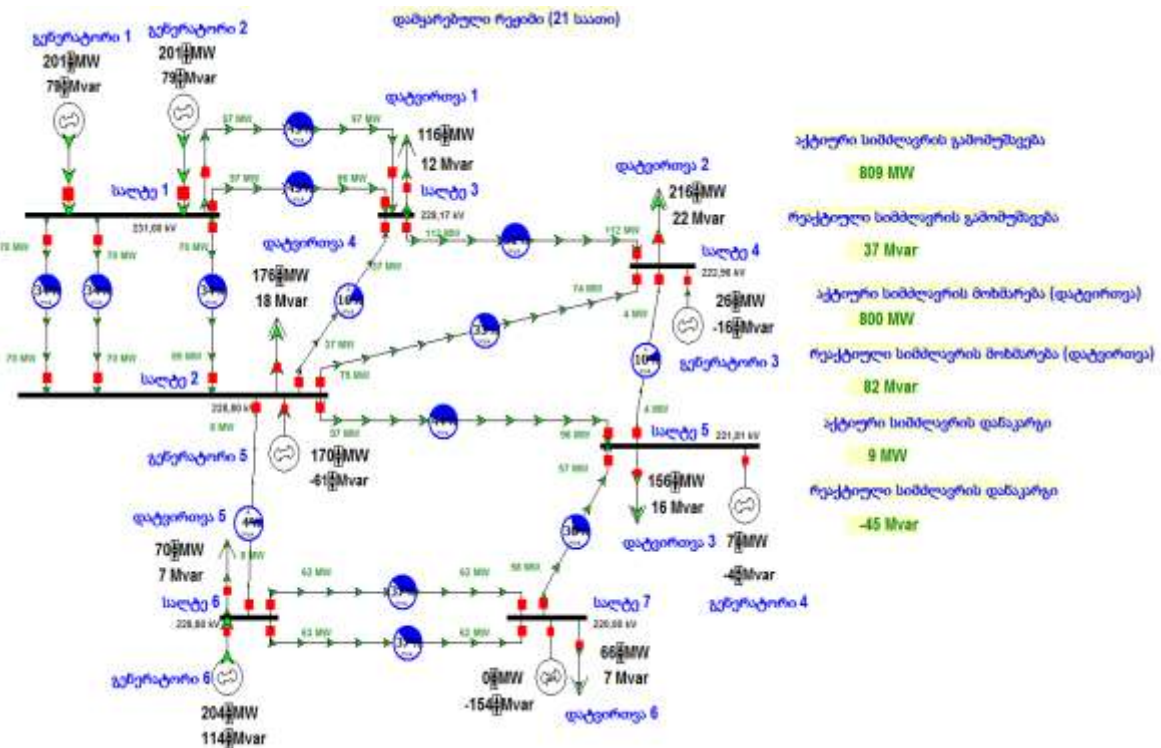
დანართი №26. ელექტროენერგეტიკული სისტემის მუშაობის ოპტიმალური რეჟიმი (18 საათი)



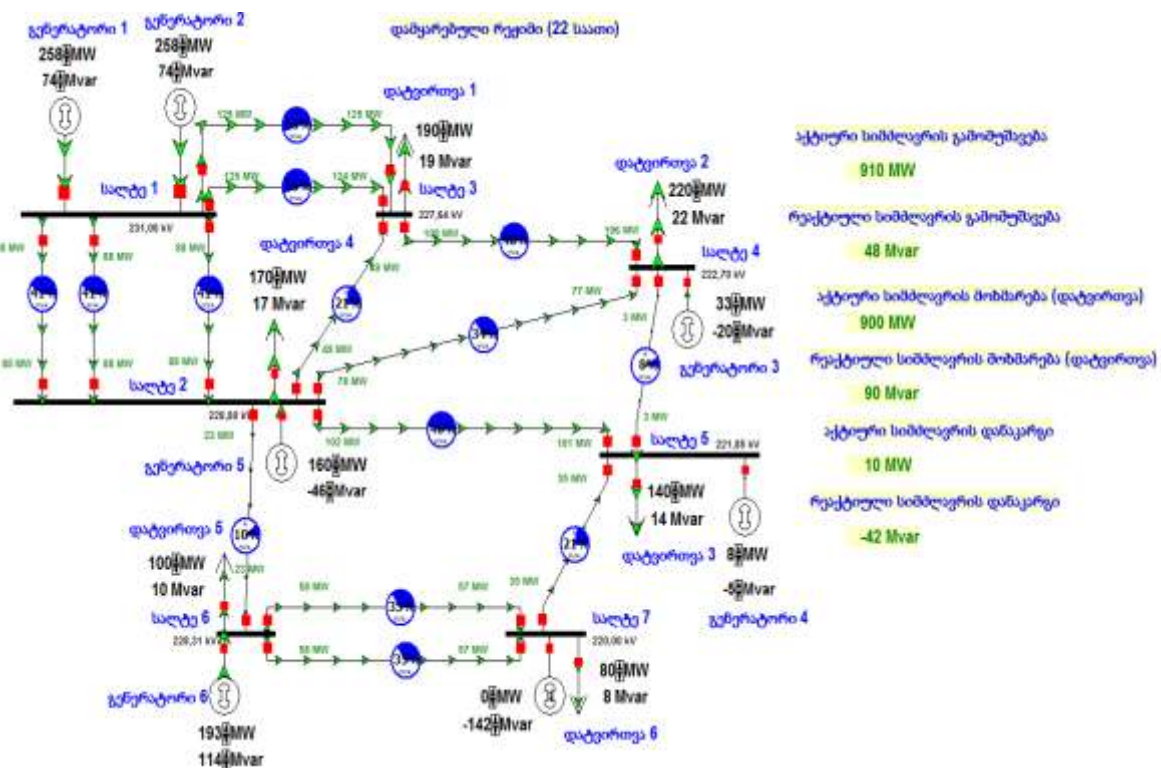
დანართი №27. ელექტროენერგეტიკული სისტემის მუშაობის ოპტიმალური რეჟიმი (19 საათი)



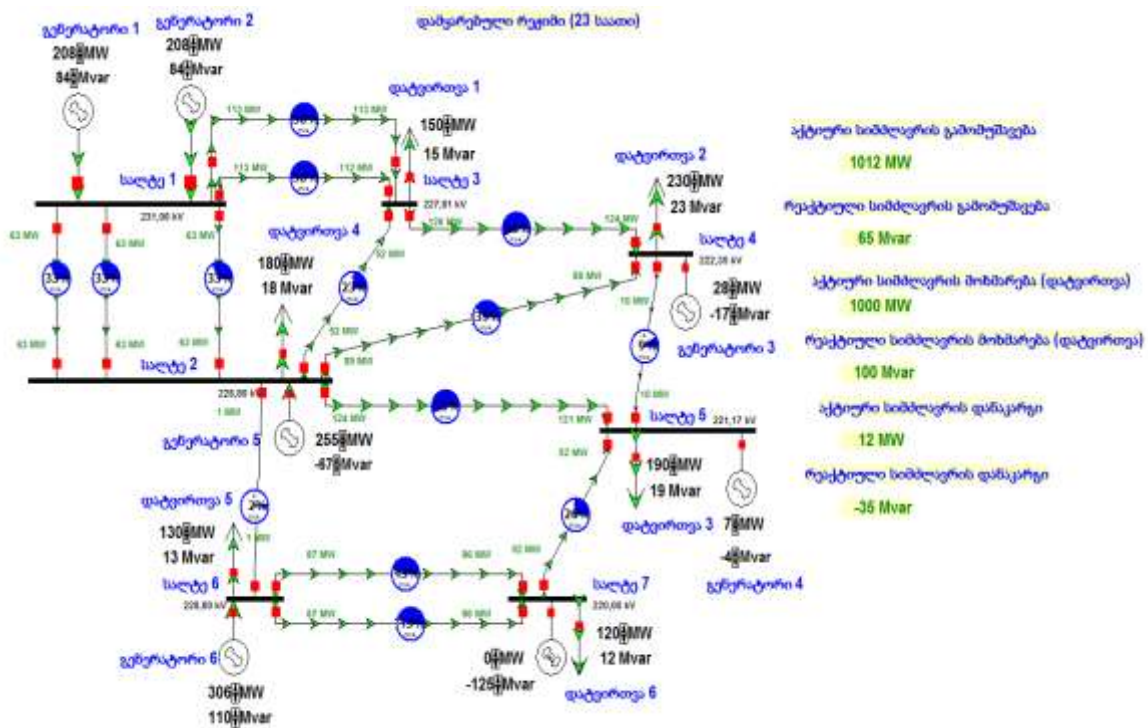
დანართი №28. ელექტროენერგეტიკული სისტემის მუშაობის ოპტიმალური რეჟიმი (20 საათი)



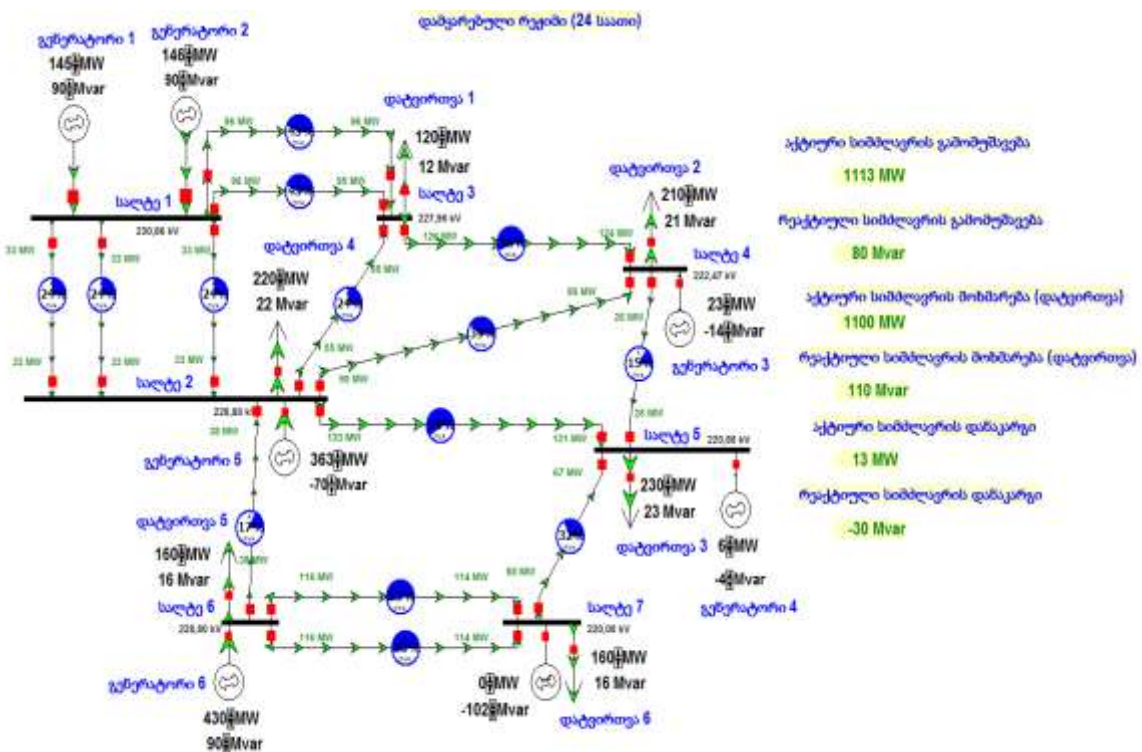
დანართი №29. ელექტროენერგეტიკული სისტემის მუშაობის ოპტიმალური რეჟიმი (21 საათი)



დანართი №30. ელექტროენერგეტიკული სისტემის მუშაობის ოპტიმალური რეჟიმი (22 საათი)



დანართი №31. ელექტროენერგეტიკული სისტემის მუშაობის ოპტიმალური რეჟიმი (23 საათი)



დანართი №32. ელექტროენერგეტიკული სისტემის მუშაობის ოპტიმალური რეჟიმი (24 საათი)

დანართი №33. ელექტროენერგეტიკული სისტემის 24 საათიანი რეჟიმის პარამეტრები

